



ACADEMIA ROMÂNĂ  
Institutul de Geodinamică "Sabba S. Ștefănescu"  
**Laboratorul Dinamica Globului Terestru**

Str. Jean-Louis Calderon, Nr. 19-21, București-37, România, R-020032,  
fax:(4021) 317.2120, tel. (4021) 317.2126; e-mail: [inst\\_geodin@geodin.ro](mailto:inst_geodin@geodin.ro)  
<http://www.geodin.ro/~prezentare/>

**DIRECTOR,**

**Dr. Crișan DEMETRESCU**  
Membru corespondent al Academiei Române



UNIUNEA EUROPEANĂ



GUVERNUL ROMÂNIEI



Instrumente Structurale  
2007 - 2013

Programul Operațional Sectorial Creșterea Competitivității Economice  
Axa prioritată 2: Competitivitate prin Cercetare, Dezvoltare Tehnologică și Inovare  
Operațiunea: O.2.1.2 „Proiecte CD de înalt nivel științific la care vor participa  
specialiști din străinătate”

**Proiect: Infrastructură cibernetică pentru studii geodinamice relateionate cu  
zona seismogenă Vrancea: ID-593, cod SMIS-CSNR 12499**

**Etapa 3: Construirea unor modele geodinamice tridimensionale de înaltă  
rezolutie cu ajutorul sistemului HPCC/HPVC/GeoWall**

**Perioada: 18 decembrie 2011- 17 iunie 2012**

**STUDIU  
PRIVIND ACTIVITATEA DE ACHIZITIONARE ȘI  
PROCESARE DE NOI DATE DE TEREN (3)**

**Director de proiect,**

Dr. Vlad Constantin Manea

**A U T O R I:**

Dr. Lucian Besutiu

Dr. Ligia Atanasiu

Dr. Luminita Zlaganean

Drd. Mihai Pomeran

# CUPRINS

	Pag.
<b>1. INTRODUCERE</b>	<b>3</b>
<b>1.1. Observatii gravimetrice</b>	3
<b>1.2. Determinari geodezice</b>	4
<b>2. ACHIZIȚIE DE DATE GRAVIMETRICE</b>	<b>5</b>
<b>2.1. Caracteristicile gravimetrului Scintrex CG-5 AUTOGRAV</b>	5
<b>2.2. Urmărirea variațiilor în timp ale gravitației în Laboratorul de gravitate al IGAR (LG-IGAR)</b>	8
2.2.1. Tehnica înregistrărilor în regim staționar: laboratorul de gravitate	8
2.2.2. Variații măreice ale gravitației	12
2.2.3. Oscilații ale gravitației produse de cutremurele majore	68
<b>2.3. Urmărirea evoluției spațio-temporale a gravitației</b>	79
2.3.1. Determinări de gradient vertical în cadrul LG-IGAR	79
2.3.2. Legături între LG-IGAR și rețelele naționale de gravitate	98
<b>3. ACHIZITIE DE DATE GEODINAMICE: INREGISTRAREA MISCARILOR DE PE FALIA PECENEAGA_CAMENA</b>	<b>110</b>
<b>3.1. Aspecte meteorologice: Observatorul de geodinamică Başpunar</b>	110
<b>3.2. Măsuri tehnologice de îmbunătățire a calității observațiilor</b>	111
<b>3.3 Aspecte metodologice legate de prelucrare</b>	112
3.3.1. Considerații asupra software-ului utilizat	112
3.3.2. Determinarea distanței reduse la orizontală	113
3.3.3. Reducerea influenței factorilor atmosferici	113
<b>3.4. Rezultate obținute</b>	114
3.4.1. Date meteorologice	115
3.4.2. Date achizitionate cu stația Leica TC 1201	118
3.4.3. Date achizitionate cu stația Leica TCR 1201	120
<b>4. ANALIZA REZULTATELOR OBTINUTE</b>	<b>122</b>
4.1. Date gravimetrice	122
4.1.1. Operațiuni auxiliare în studiul evoluției spațio-temporale a gravitației	122
4.1.2. Tentative de discriminare a semnalului gravimetric produs de cutremure	124
4.2. Date geodezice	125
<b>5. CONCLUZII</b>	<b>126</b>
<b>BIBLIOGRAFIE</b>	<b>127</b>

# **1. INTRODUCERE**

Achiziția și procesarea de noi date de teren a continuat în etapa a treia pe două direcții majore:

- monitorizarea evolutiei câmpului gravitației
- monitorizarea activității Faliei Peceneaga-Camena.

Date fiind particularitățile climatice ale perioadei cuprinse în etapa a treia de cercetare, (decembrie 2011 - mai 2012), observațiile efectuate s-au desfășurat preponderent în condiții de laborator, cu toate că a fost găsită și o fereastră de timp favorabilă în care s-au efectuat determinări de teren auxiliare pentru transferul unor valori absolute de gravitate din rețelele naționale de referință și din rețeaua europeană UNIGRACE pe pilastrul din laboratorul de gravitate.

## **1.1. OBSERVAȚII GRAVIMETRICE**

Programate și desfășurate permanent în cadrul proiectului acestea sunt dedicate monitorizării indirecte a dinamicii maselor subcrustale.

De altfel, observații anterioare în areal au arătat o variație nemareică a gravitației care pare a se corela cu fenomenele de seismicitate. În consecință, datele gravimetrice ar putea furniza unul din elementele de constrângere pentru viitoarele modele numerice create cu ajutorul infrastructurii cibernetice, contribuind totodată la validarea lor prin confirmarea/infirmarea caracterului de predictibilitate.

Pentru punerea în practică a acestei categorii de observații de teren, Institutul de Geodinamică al Academiei Române dispune de două categorii de infrastructură:

- o rețea națională de geodinamică, incluzând patru geotraverse care traversează principalele contacte litosferice de pe teritoriul țării noastre, la care se adaugă o rețea dedicată de gravitate cu stații amplasate în zona Vrancea
- micropolygonul de geodinamică nr. 1 Tulnici-Valea Sării-Vrâncioaia din aria epicentrală, oferind facilitati pentru observatii gravimetrice si geodezice.

In plus, în cadrul Departamentului Dinamica Globului Terestru a fost amenajat și funcționeaza un laborator de gravitate, în care poate fi urmărită evoluția temporală a câmpului gravitației în legătură cu producerea unor cutremure majore. In această etapă

au fost refăcute determinările de gradient vertical ca urmare a construirii infrastructurii cibernetice care a redistribuit masele din clădirea care adăpostește laboratorul.

## 1.2. DETERMINĂRI GEODEZICE

O a doua direcție majoră în care s-a desfășurat achiziția de date a fost monitorizarea alunecării flancurilor Faliei Peceneaga-Camena, pe care date recente de tomografie seismică (Martin et al, 2006) o arată ca pe un contact litosferic major, dezvoltat în legătură cu riftul din bazinul de vest al Mării Negre (Besutiu, Zugravescu, 2004, Besutiu, 2009).

Primele cercetări par să indice o anumită corelație între activitatea faliei menționate și seismicitatea din zona Vrancea, atât cea crustală cât și intermediară (Besutiu și Zlăgnean, 2009; 2010), dar se impune o monitorizare mai de durată precum și îmbunătățirea calității observațiilor efectuate pentru a putea ajunge la rezultate satisfăcătoare.

In acest sens, au continuat și în această etapă observațiile geodezice asupra deplasării celor două compartimente separate de falie: Microplaca Moesică, reprezentată la suprafață prin unitatea Dobrogei Centrale, ca fundament al Platformei Moesice, și Placa Est-Europeană, reprezentată în areal de centura cutată a Dobrogei de Nord (Grădinaru, 1980; 1984).

In cele ce urmează vom prezenta sumar metodologia și instrumentele utilizate în achiziția datelor gravimetrice și/sau geodezice, după care vom arăta rezultatele obținute.

## **2. ACHIZITIE DE DATE GRAVIMERICHE**

### **2.1. CARACTERISTICILE GRAVIMETRULUI SCINTREX CG-5 AUTOGRAV**

Determinările variației gravitației au fost realizate cu gravimetruul relativ Scintrex CG-5 AUTOGRAV având seria # 40387, din dotarea Departamentului Dinamica Globului Terestru. Gravimetru a revenit de la firma producătoare în luna august 2011 după o serie de reparații care l-au repus în funcțiune.



**Fig. 2.1.1.1 Aspect general al gravimetrului Scintrex CG-5 AUTOGRAV**

Iată câteva din caracteristicile tehnice ale instrumentului respectiv:

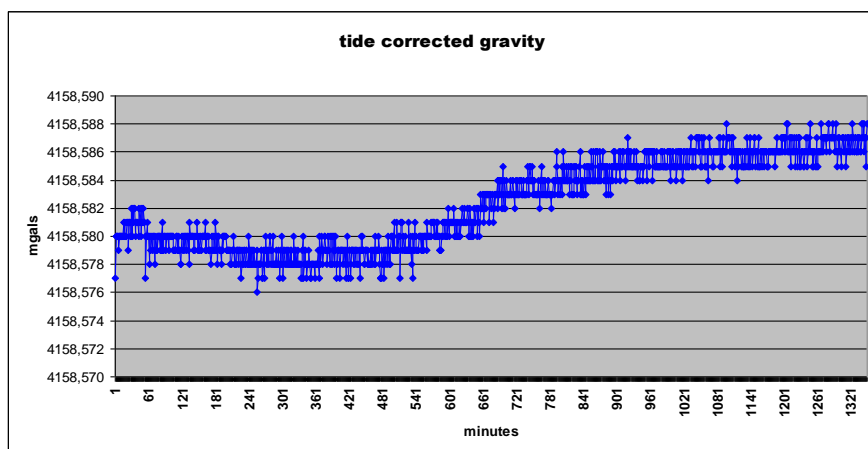
- asistat de un micro-computer incorporat, cu un sistem de operare proprietate Scintrex
- domeniu de măsură de 8000 mgal fără ajustare prealabilă
- rezoluție 1  $\mu$ gal
- posibilitatea lucrului în regim automat la un interval de timp pre-stabilit
- frecvență de măsură de 6 Hz
- citirile sunt afișate pe un display  $\frac{1}{4}$  VGA cu cristale lichide, direct în mgal
- corecții automate: înclinare până la  $\pm 10$  msec de arc
  - marea terestră

- temperatură
- filtru seismic
- eliminarea citirilor vădit eronate pe criterii statistice avansate
- sistem elastic din cuarț plasat în vacuum într-o incintă termostatizată
- neafectat de variații ale câmpului terestru de până la  $\pm 0.5$  mT
- driftul de lungă durată automat compensat până la  $< 0.02$  mgal/zi
- sistem de alimentare care oferă o autonomie energetică de o zi
- stocarea a cca 200.000 citiri într-o memorie solidă (flash-memory) de 12 MB
- ceas intern alimentat de o baterie de Litiu
- receptor GPS încorporat cu posibilități de conectare la o antenă externă
- posibilitatea descărcării datelor înregistrate prin porturi RS-232 sau USB în diferite formate:
  - \*.SGD (Scintrex proprietary format)
  - \*.TXT (ASCII cu antete)
  - \*.XYZ (ASCII ca foi de calcul)
  - \*.SMP (numai pentru valorile primare), etc.

Sensibilitatea cu care este creditat acest instrument este de  $\pm 1$   $\mu$ gal.

Gradul de repetabilitate dat de constructor:  $\pm 5$  gal.

Teste efectuate în laboratorul IGAR la revenirea gravimetru lui după repararea sa la producător par să confirme acești parametri constructivi, chiar dac pentru cicluri mai lungi, repetabilitatea pare să fie ușor inferioară intervalului declarat de constructor.

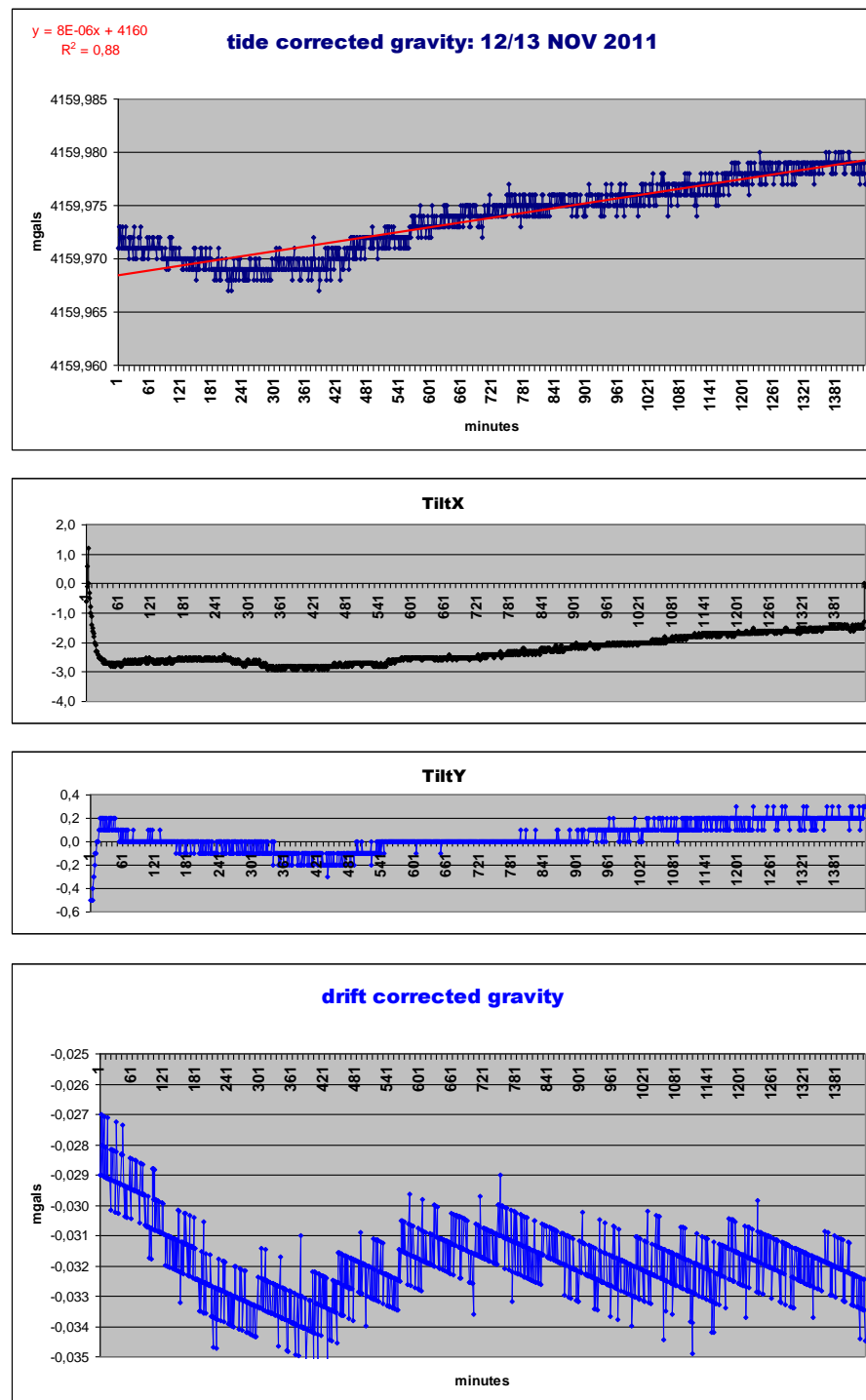


**Fig. 2.1.1.2. Reproductibilitatea citirilor la punct fix pe un interval de 24 ore (30-31 octombrie 2011)**  
Determinari efectuate în laboratorul de gravitate al Departamentului Dinamica Globului Terestru

Se observă o ușoară tendință de creștere ce pare datorată unui efect rezidual de drift.

Figura 2.1.1.3 ilustrează un alt test, efectuat în perioada 12-13 noiembrie 2011, în care

este înălțurat și acest efect rezidual, fapt care ameliorează performanțele instrumentului. Sunt prezentate de asemenea înregistrările înclinării instrumentului pe perioada testării după două axe reciproc perpendiculare (Tilt X și Tilt Y).



**Fig. 2.1.1.3. Ameliorarea reproductibilității citirilor la punct fix cu gravimetru Scintrex CG-5 prin introducerea corecției de drift suplimentar. Tilt X, înclinarea de-a lungul axei Ox; Tilt Y, înclinarea după axa Oy**

Determinări efectuate în laboratorul de gravitate al Departamentului Dinamica Globului Terestru

## **2.2. URMĂRIREA VARIAȚIILOR ÎN TIMP ALE GRAVITĂȚII ÎN LABORATORUL DE GRAVITATE AL IGAR (LG-IGAR)**

### **2.2.1. Tehnica determinărilor în regim staționar: laboratorul de gravitate al IGAR**

Laboratorul subteran de gravimetrie este amenajat în subsolul clădirii principale a sediului central al Institutului de Geodinamică al Academiei Române.

Coordonatele laboratorului sunt următoarele:

Latitudine: 44.4382° N

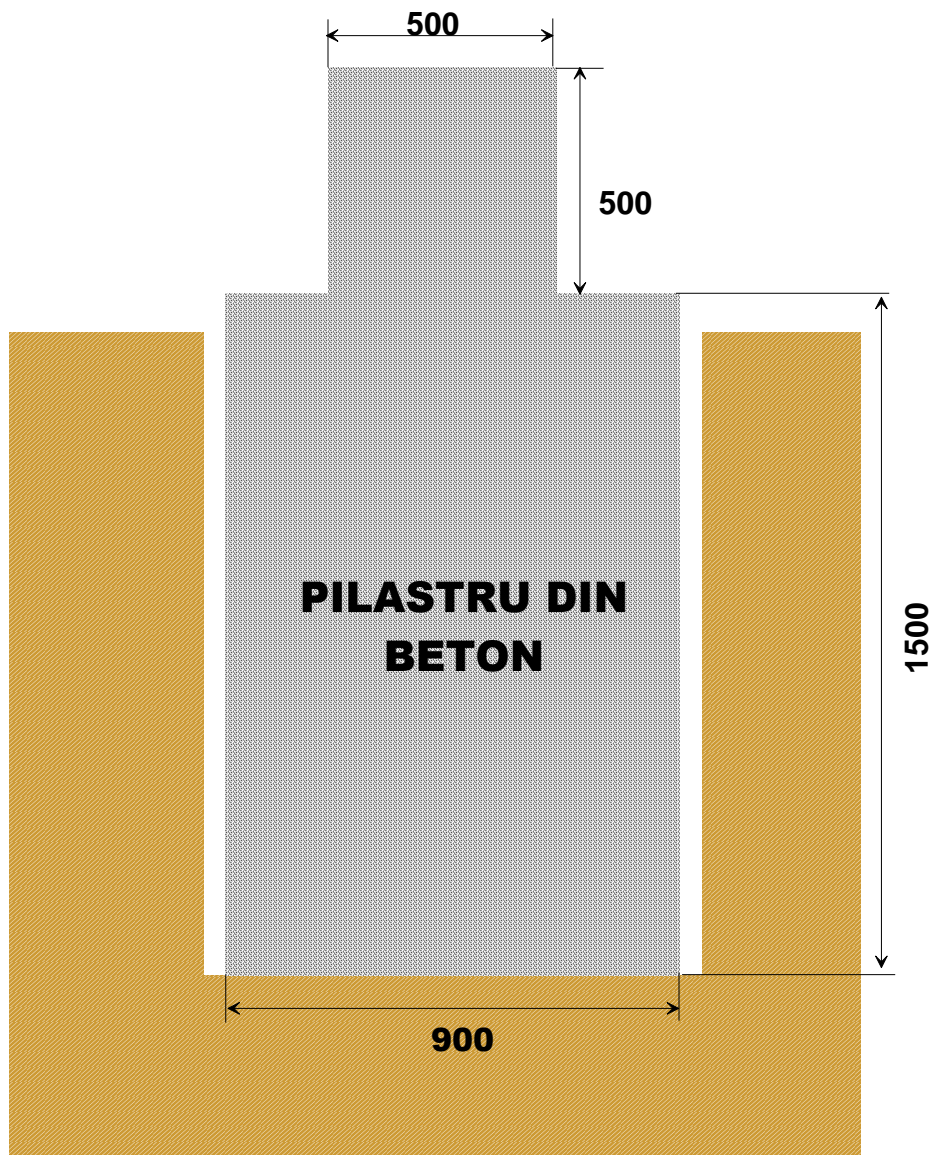
Longitudine: 26.1071° E

Laboratorul este amenajat ca o incintă separată care găzduiește instrumentul de măsură și mijloace IT pentru stocarea și procesarea informației furnizate (Fig. 2.1.2.1)



**Fig. 2.2.1.1 Aspect general al laboratorului de gravitate**

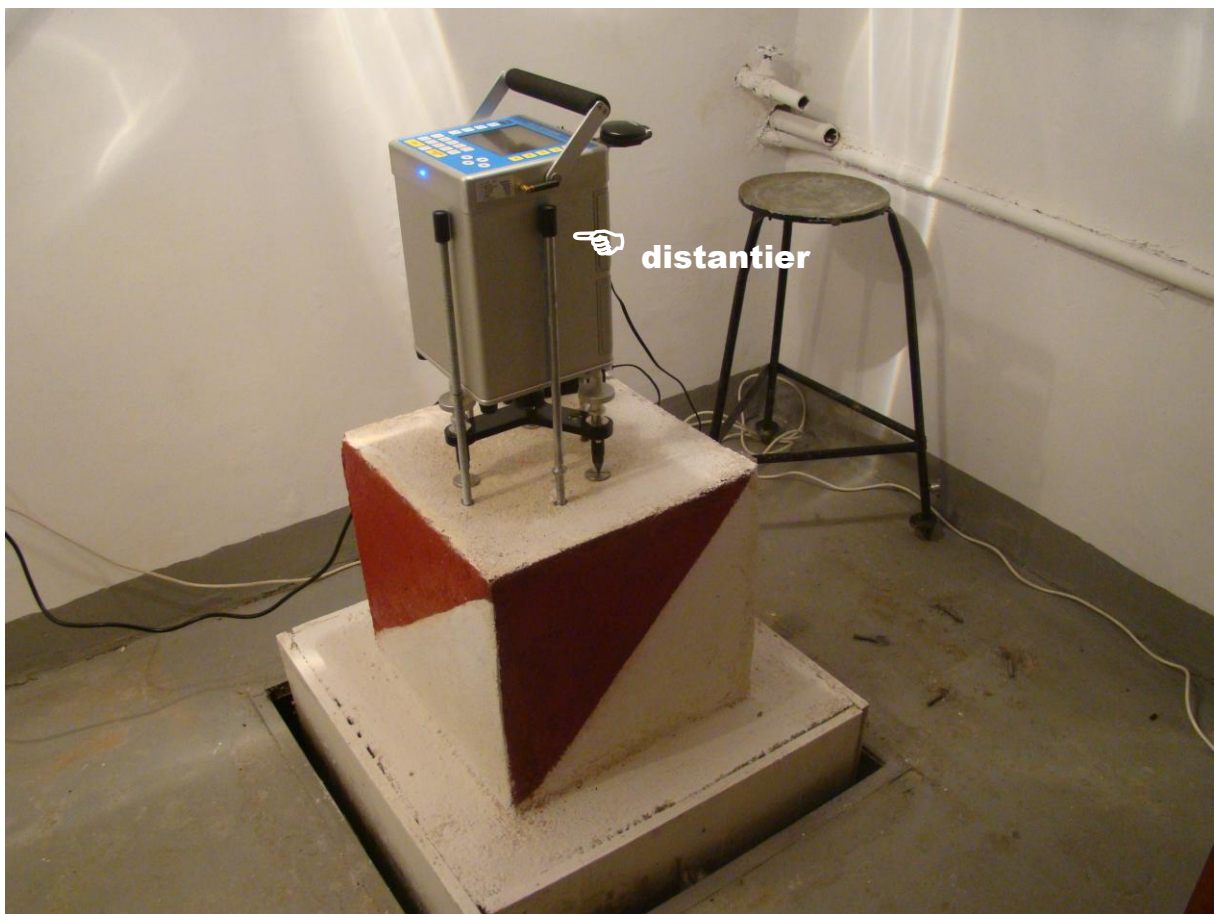
In vederea asigurării unui mediu stabil de funcționare a gravimetrului, a fost construit un pilaster special din beton armat, de formă paralelipipedică, având o adâncime de îngropare de 1.5 metri, care expune la suprafață un cub din beton cu latura de 0.5 m pe care a fost instalat gravimetrul (Fig. 2.1.2.2).



**Fig. 2.2.1.2. Schiță constructivă a pilastrului pe care funcționează gravimetrul în laboratorul subteran**

După cum se poate observa și din figură, pilastrul din beton este separat de podea printr-un spațiu de 5 cm de aer, spre a împiedica transmiterea tensiunilor și vibrațiilor din subsol către gravimetru, cu toate că instrumentul este prevăzut constructiv cu un filtru seismic pentru diminuarea mișcărilor stochastice ale solului în timpul înregistrărilor variației gravitației.

In vederea prevenirii căderii gravimetrului de pe trepiedul de lucru, ca urmare a unor accelerări neobișnuite ale solului în caz de cutremur, dar și unor posibile manevre neglijente ale operatorului, au fost montați patru distanțieri cu manșoane din cauciuc, câte unul pe fiecare latură a instrumentului (Fig. 2.1.2.3).



**Fig. 2.2.1.3. Imagine de ansamblu a pilastrului pe care se află amplasat gravimetrul, ilustrând spațiul care îl separă de podeaua laboratorului și distantierii de protecție**

Instalat pe acest pilastru, gravimetrul a fost pus să funcționeze în regim automat, stocând medii ale observațiilor efectuate la fiecare minut. De fapt, gravimetrul executa automat 6 citiri în fiecare secunda, iar pentru imbunatatirea calitatii observațiilor s-a preferat folosirea unor cicluri de măsură de 55 sec, cu 5 secunde între cicluri, ceea ce conduce la obținerea unei medii la fiecare minut în care sunt incluse  $55\text{ sec} \times 6\text{ citiri/sec} = 330$  citiri în fiecare din cele 60 cicluri înregistrate timp de o oră..

Gravimetrul dispune de o rutina pentru eliminarea automata a lecturilor vadit eronate (outliers) bazat pe criterii statistice de distribuție normală a rezultatelor. Instrumentul oferă în fișierul cu înregistrări atât abaterea standard a observației stocate cât și numărul de citiri care au fost excluse pe baza criteriului statistic menționat.

Inregistrarea mai conține și unghiurile de abatere de la verticală (înclinarea gravimetrului) după două direcții reciproc perpendiculare, notate Tilt X si Tilt Y.

Intrucat calitatea lecturilor depinde și de temperatura din incinta, aceasta este și un parametru înregistrat, relativ față de temperatura standard de termostatizare ( $55^\circ\text{ C}$ ).

Fig. 2.2.1.4 prezintă imaginea display-ului gravimetrului, expunând parametrii de lucru și valorile instantanee de gravitate obținute.



**Fig. 2.2.1.4 Display-ul gravimetrului Scintrex CG-5 AUTOGRAV în timpul înregistrărilor din laboratorul de gravimetrie**

Imaginea surprinde momentul în care este salvată în memoria instrumentului valoarea medie a gravitației, obținută pe baza determinărilor efectuate într-un interval de 55 secunde. Se pot distinge în imagine parametrii funcționali menționați anterior:

Err/SD abaterea standard a mediei și abaterea unei singure măsurări

Tilt X inclinarea după axa X

Tilt Y inclinarea după axa Y

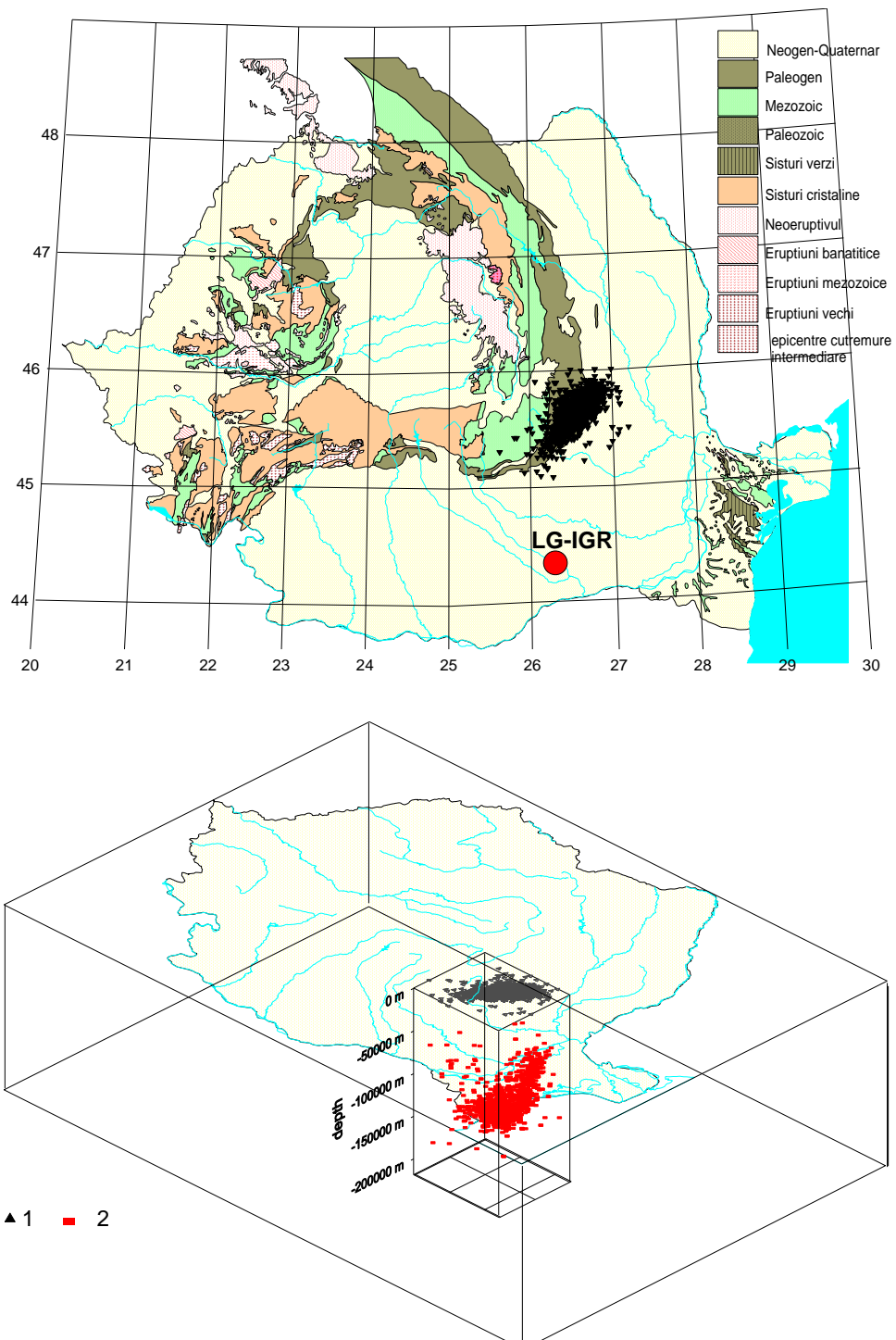
Temperature: abaterea temperaturii din incinta termostatizată față de temperatura standard (în m°K)

Mai pot fi urmărite pe ecran temperatura externă (în °C) și eticheta de timp (hh:mm:ss) care se atașează înregistrării.

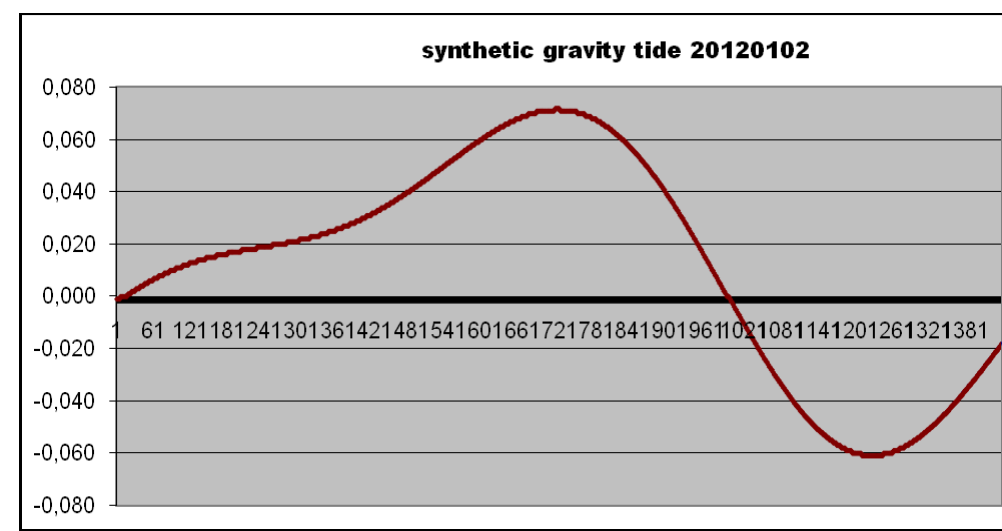
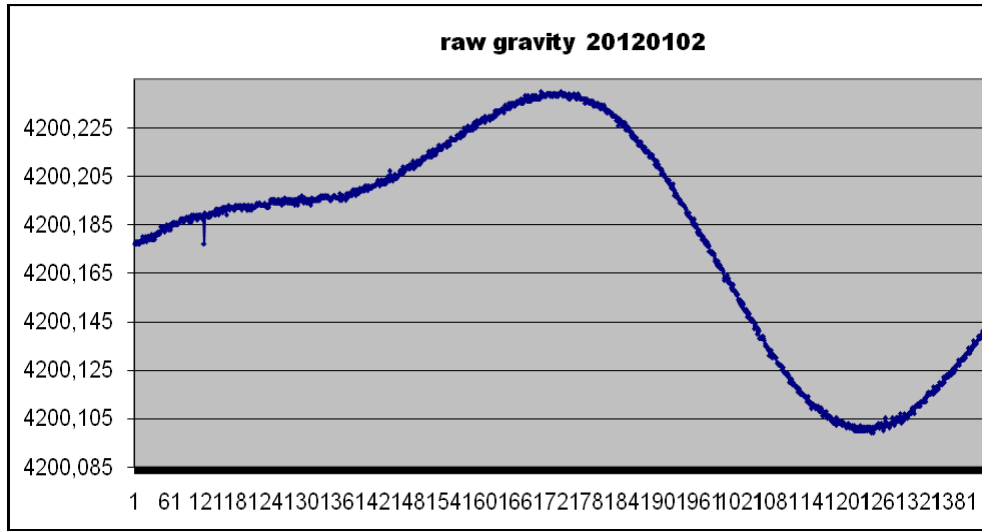
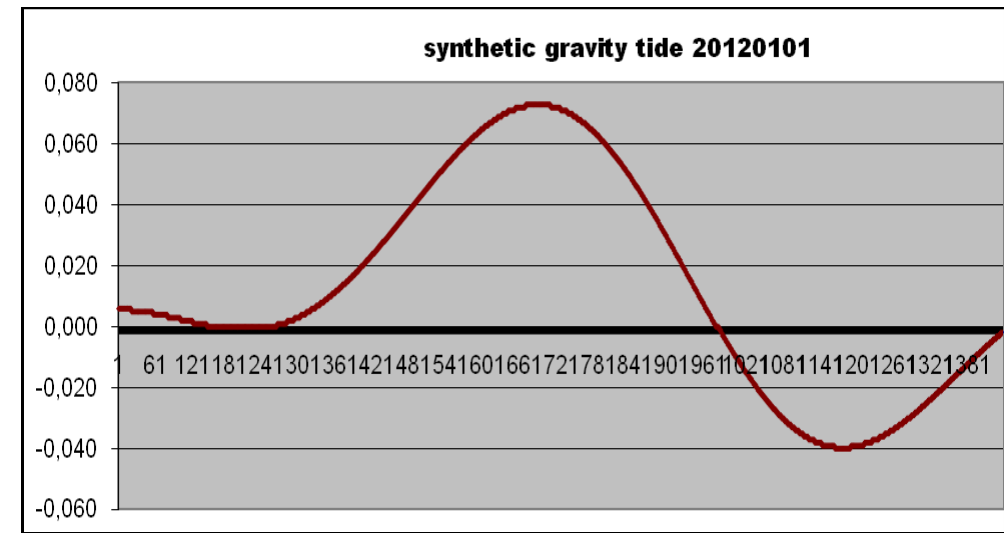
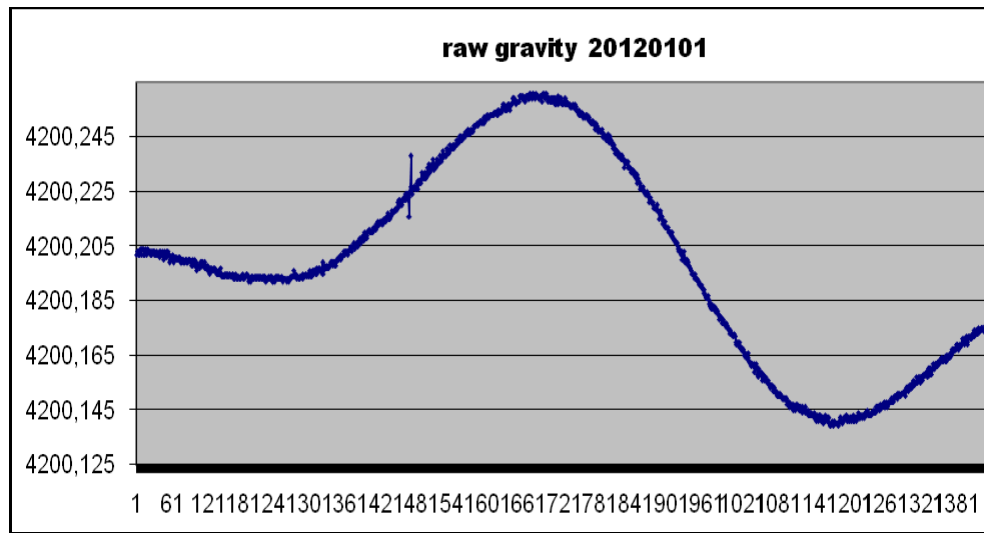
In partea de sus a ecranului, instrumentul afișează ultimele cinci citiri pentru a-i oferi operatorului o imagine de control asupra modului în care se asigură repetabilitatea.

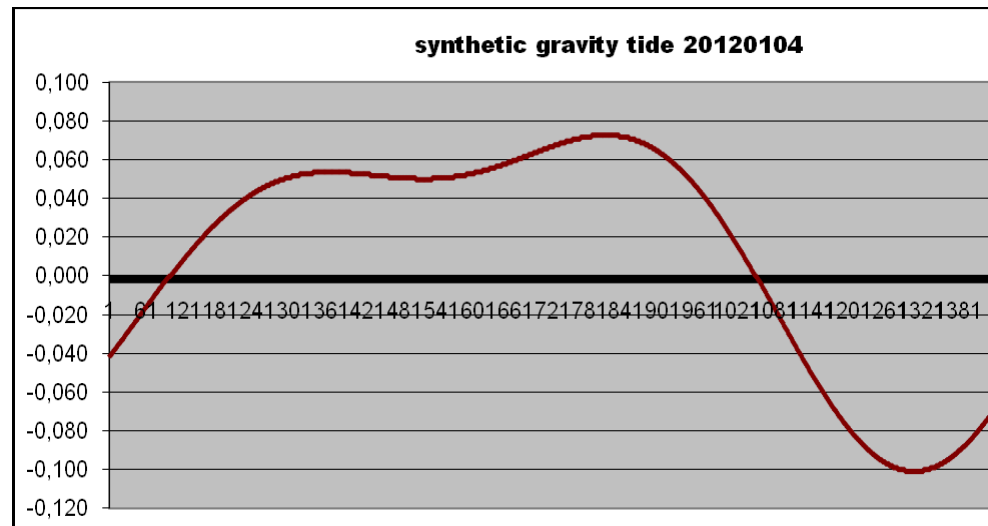
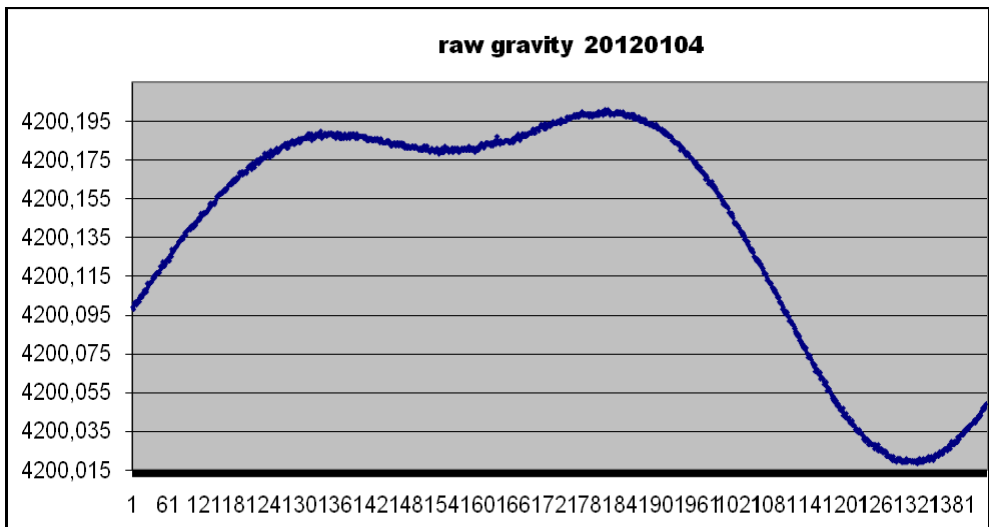
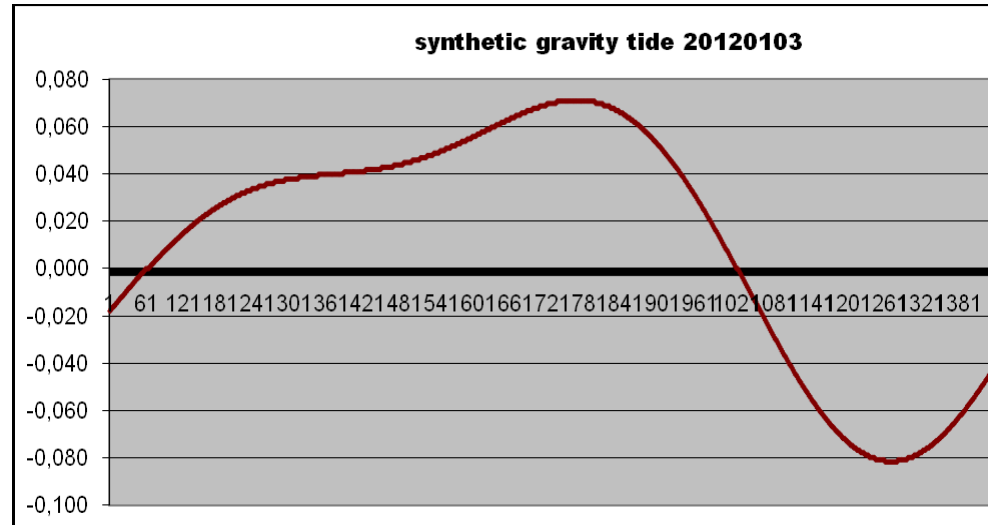
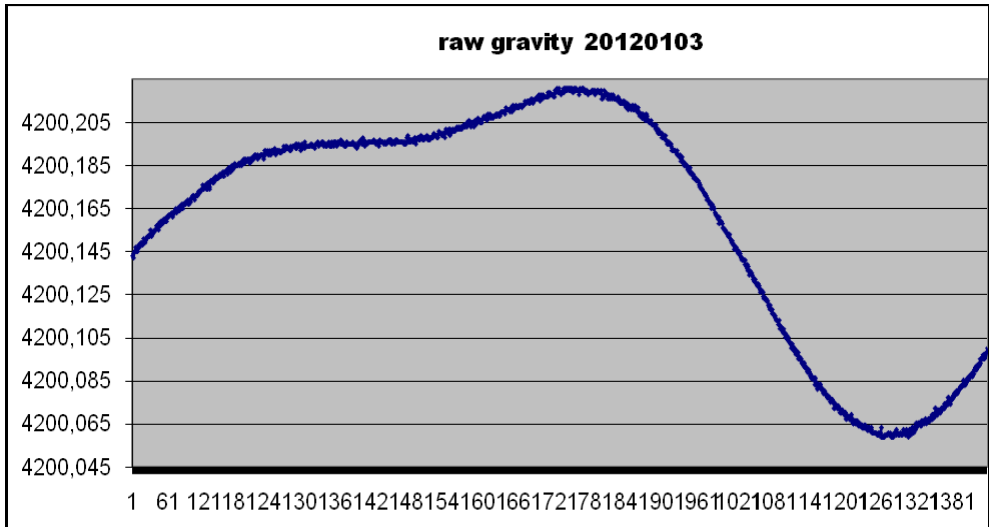
## 2.2.2. Variatiiile mareice ale gravitatii

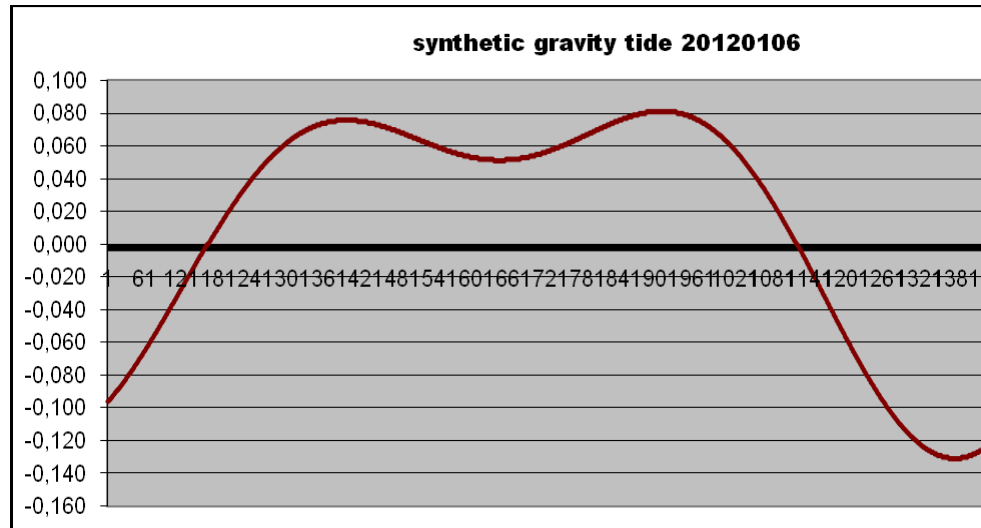
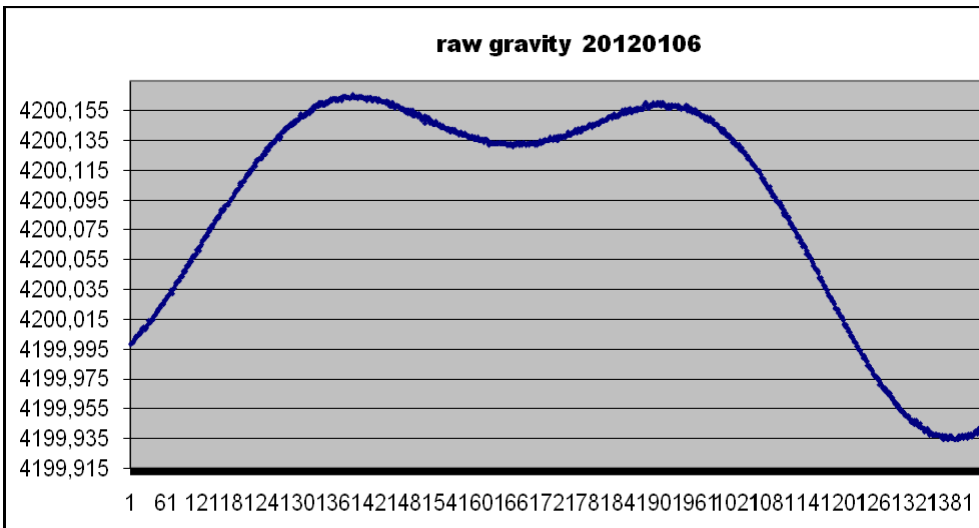
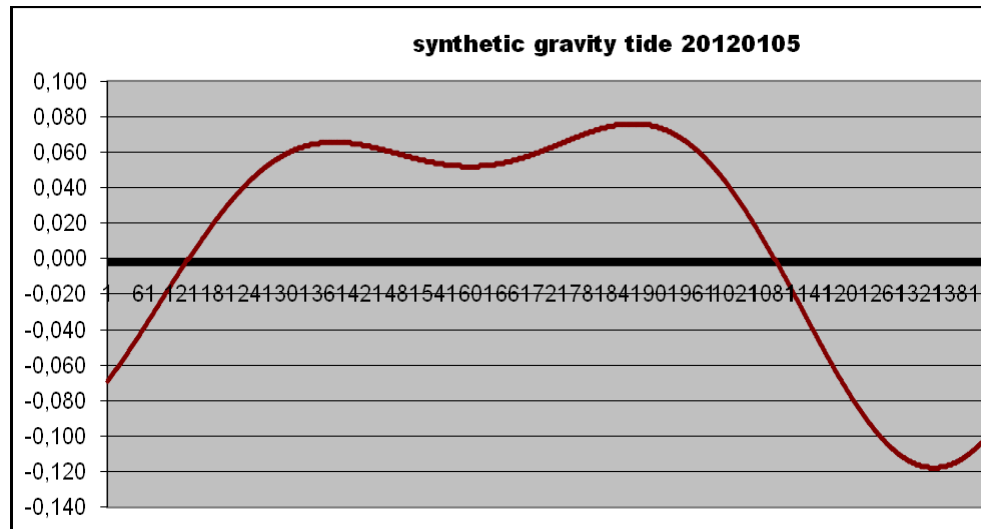
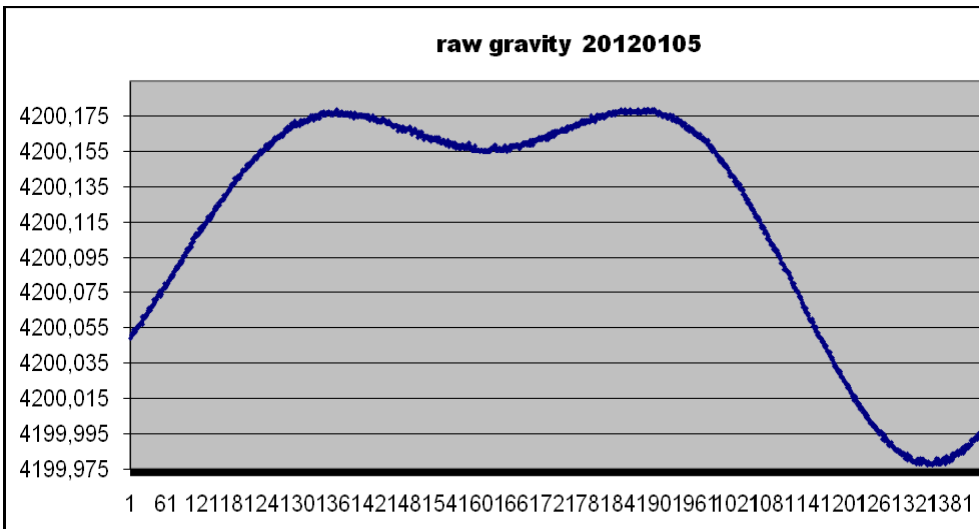
In cele ce urmează vom prezenta o comparație între evoluția în timp a gravitației înregistrată în LG-IGAR și mareea gravimetrică terestră teoretică, urmărind relevarea unor eventuale semnale datorate unor aspecte particulare ale evoluției geodinamice a regiunii Microplăcii Moesice pe care se află amplasat laboratorul.

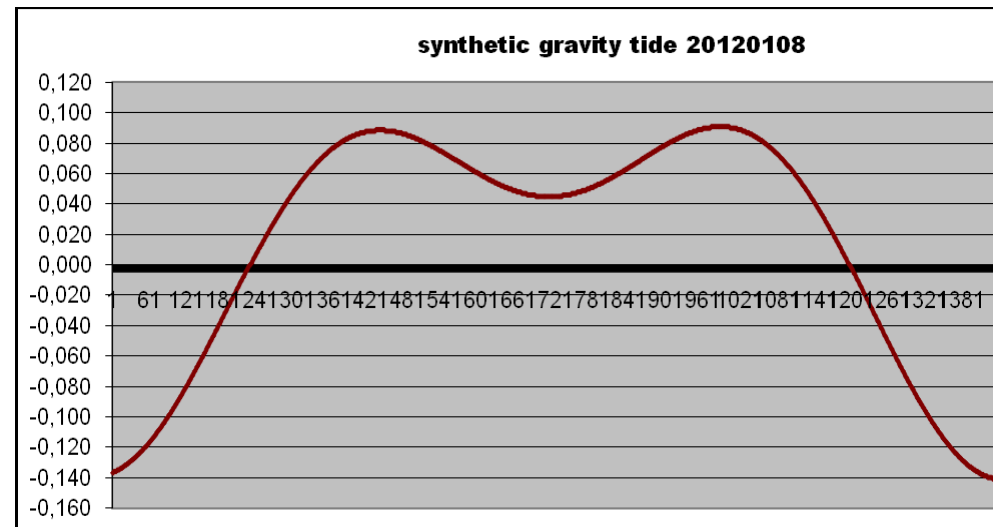
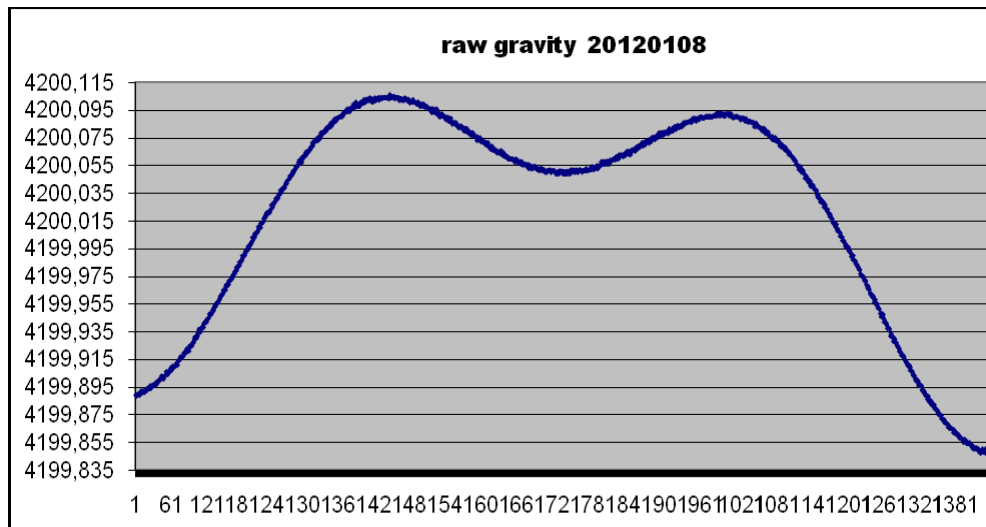
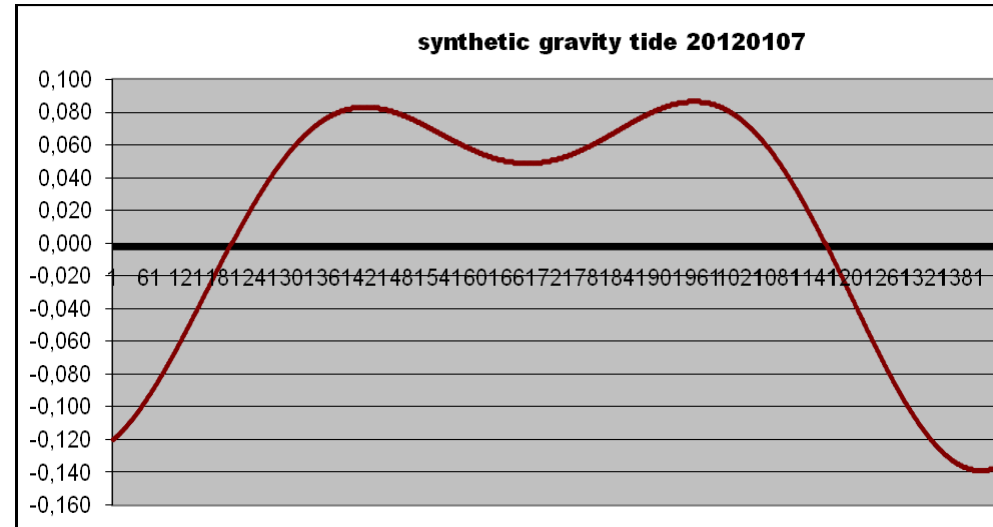
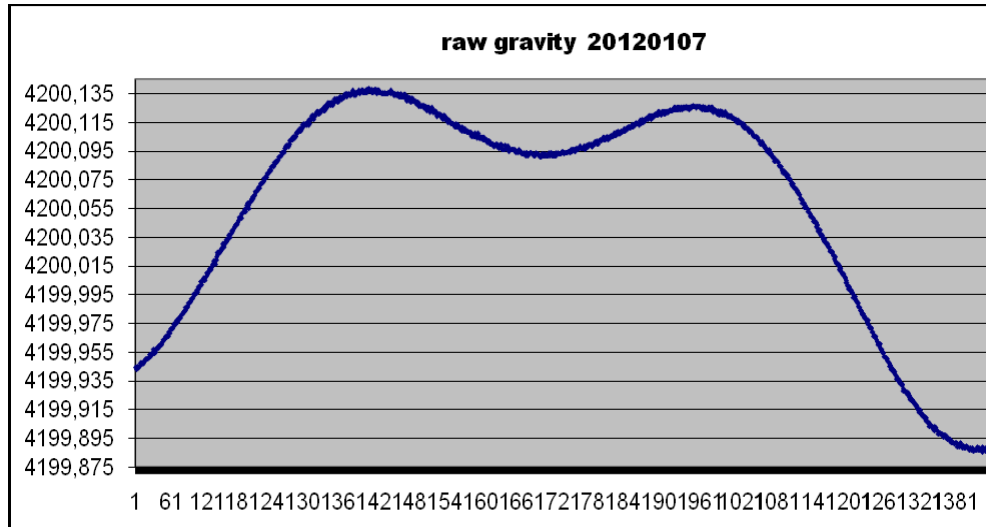


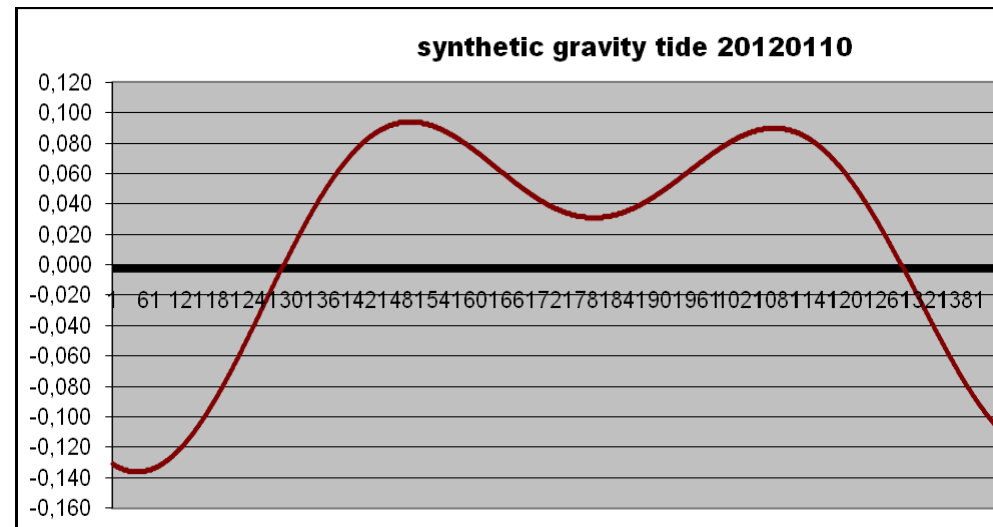
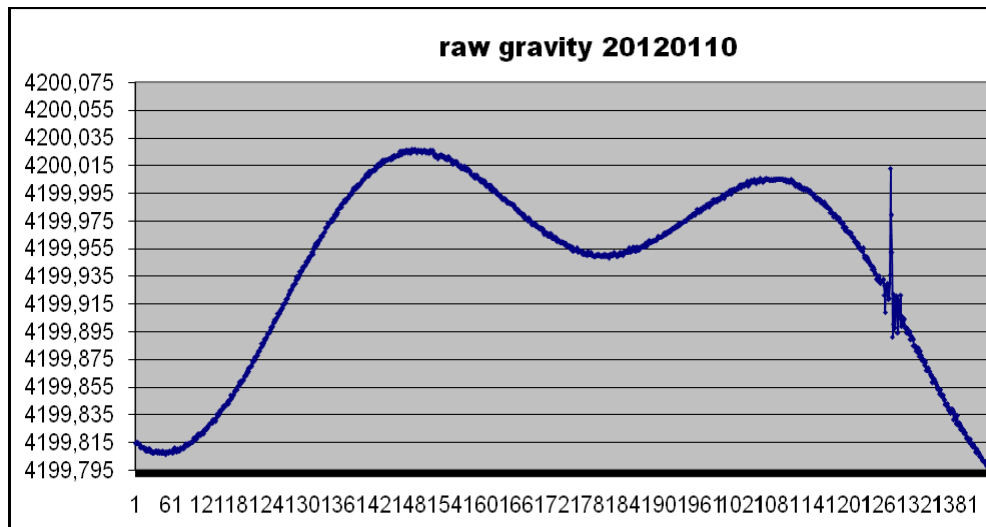
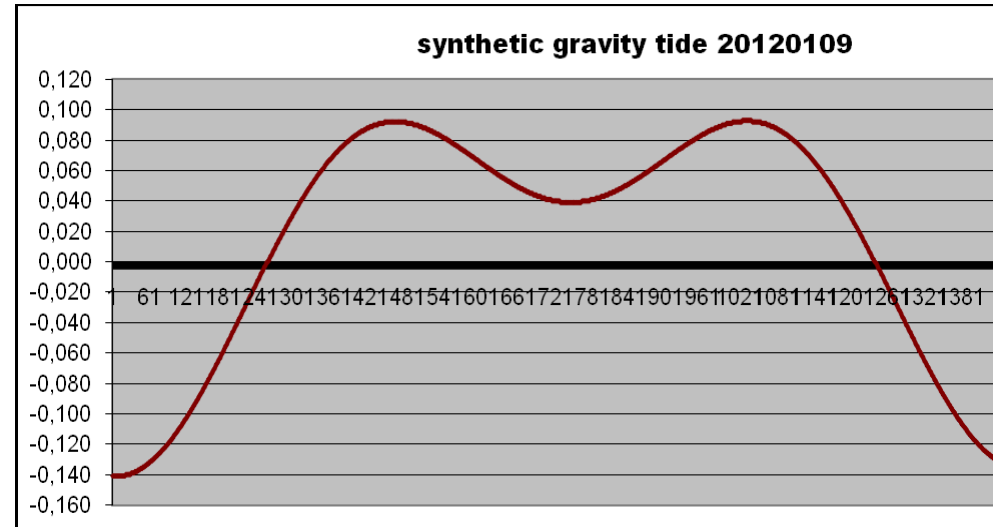
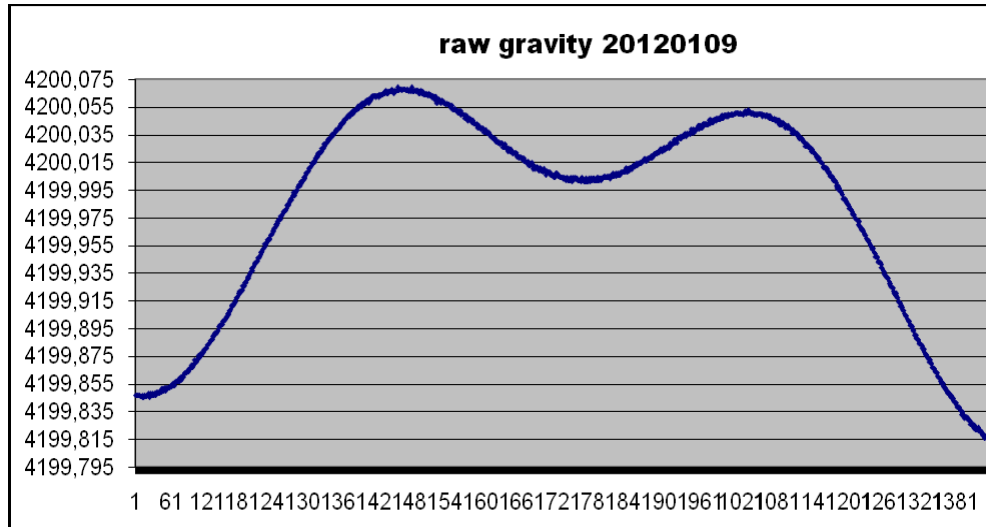
**Fig. 2.2.1 Schita tectonica al teritoriului României cu pozitia cutremurelor intermediare din Vrancea și amplasarea LG-IGAR**  
1, epicentre de seismicitate intermediară; 2, hipocentre

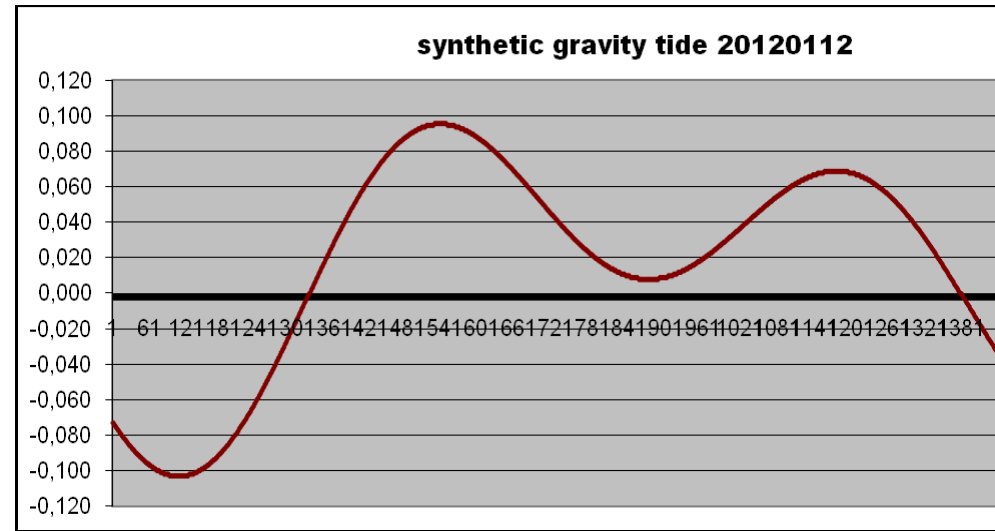
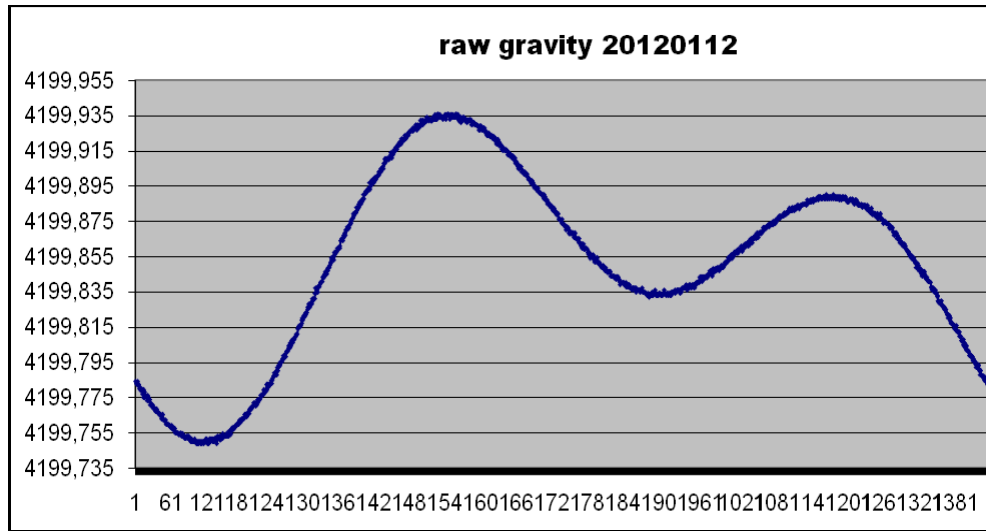
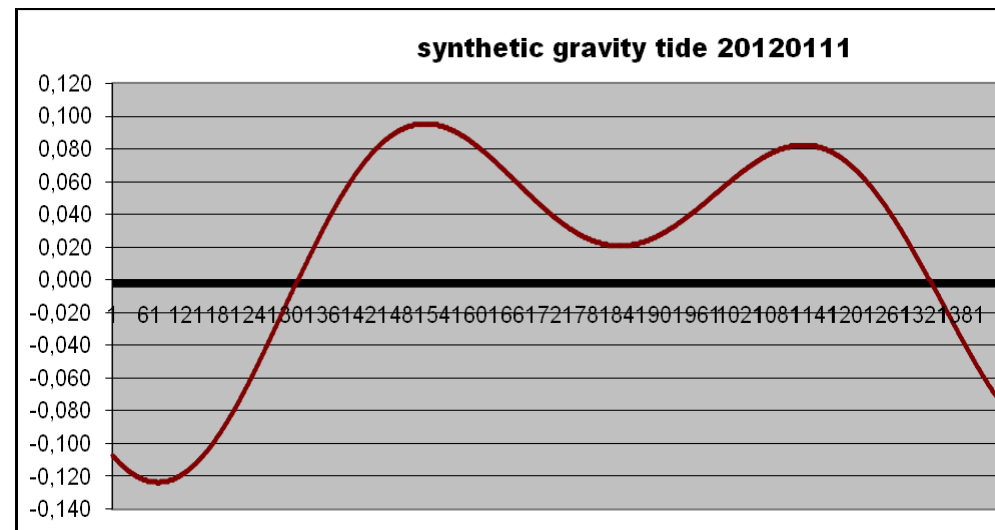
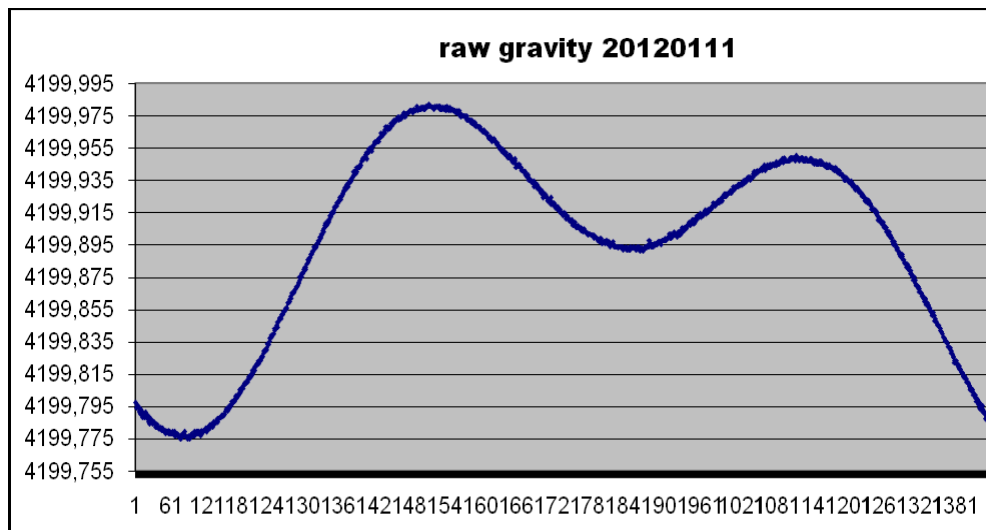


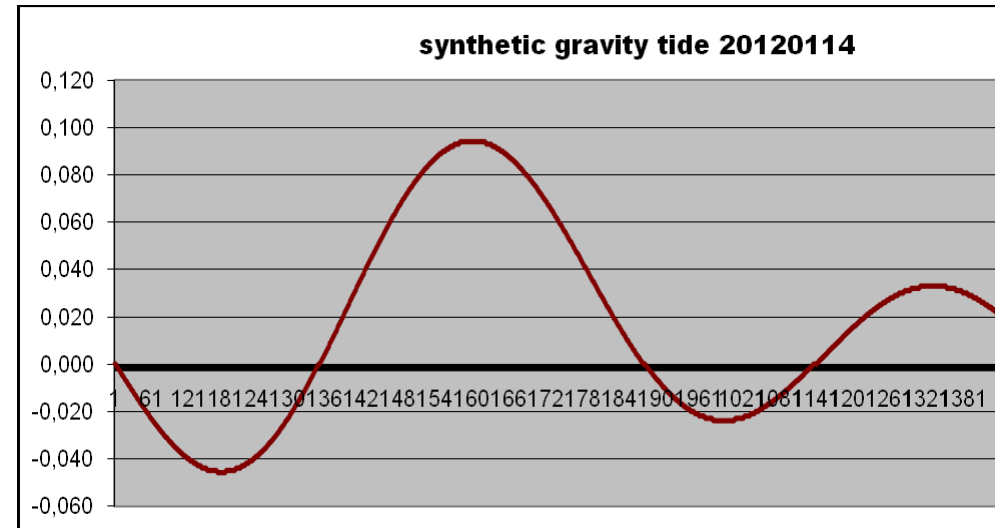
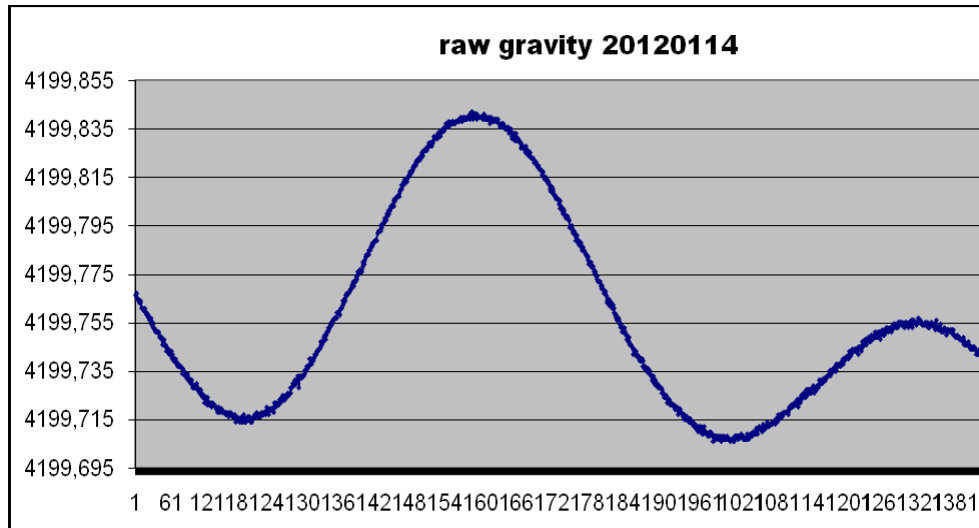
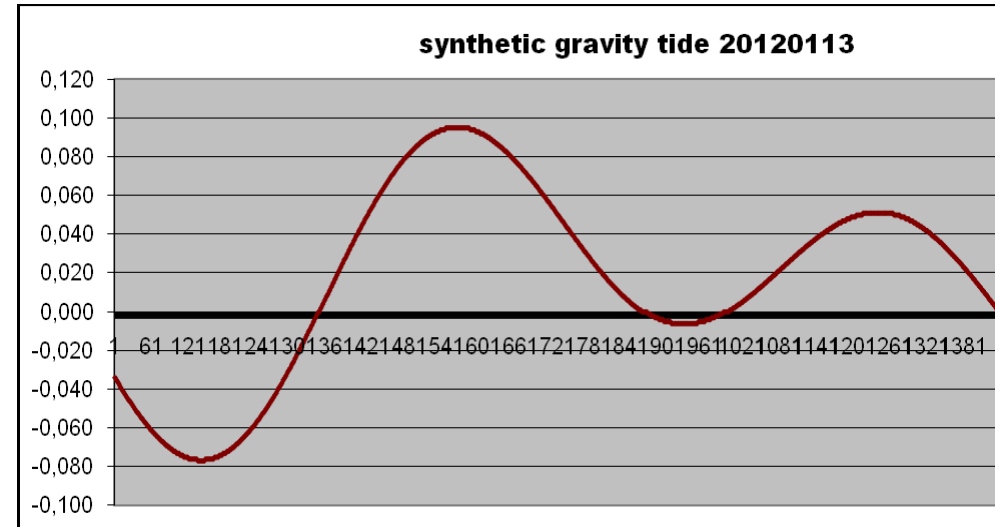
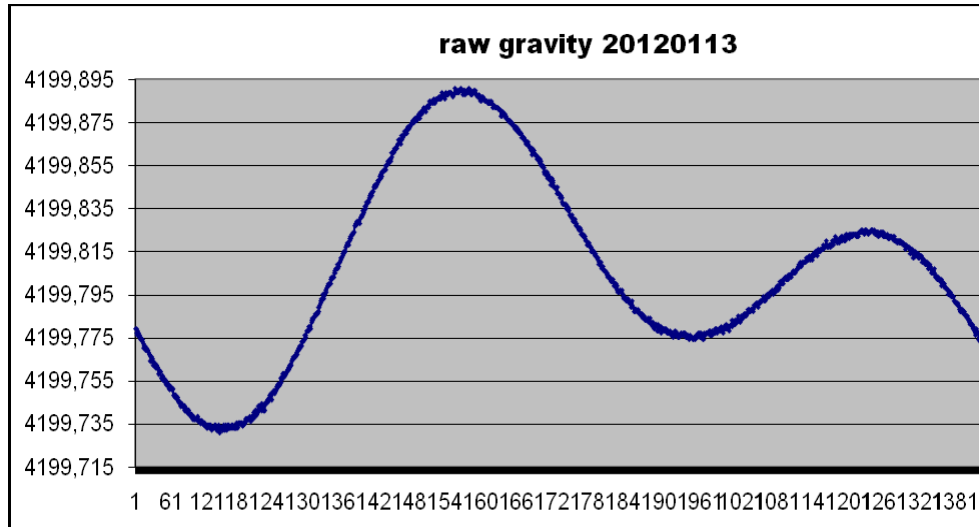


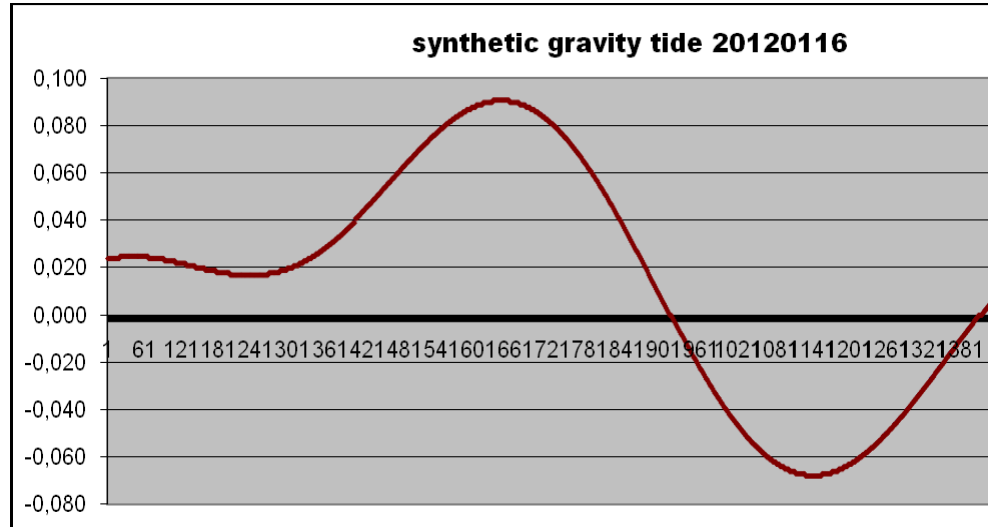
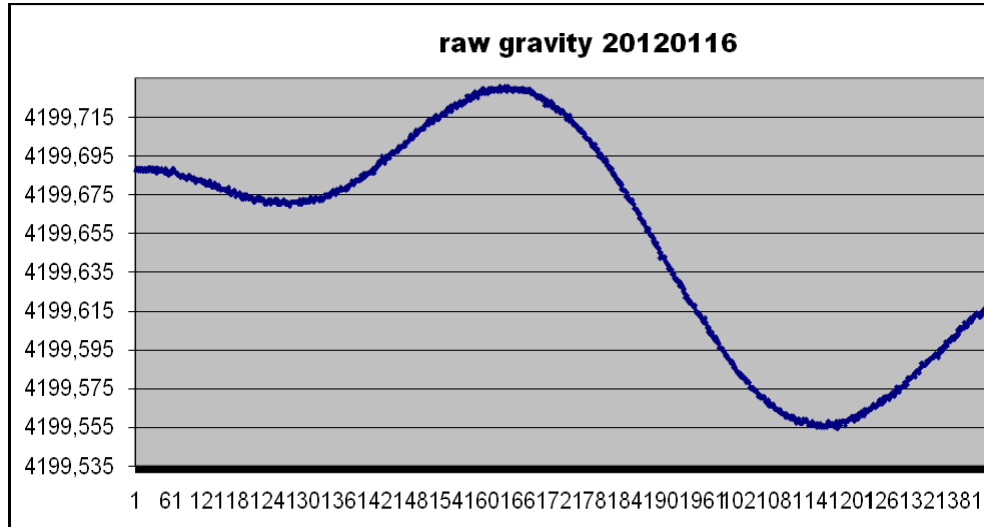
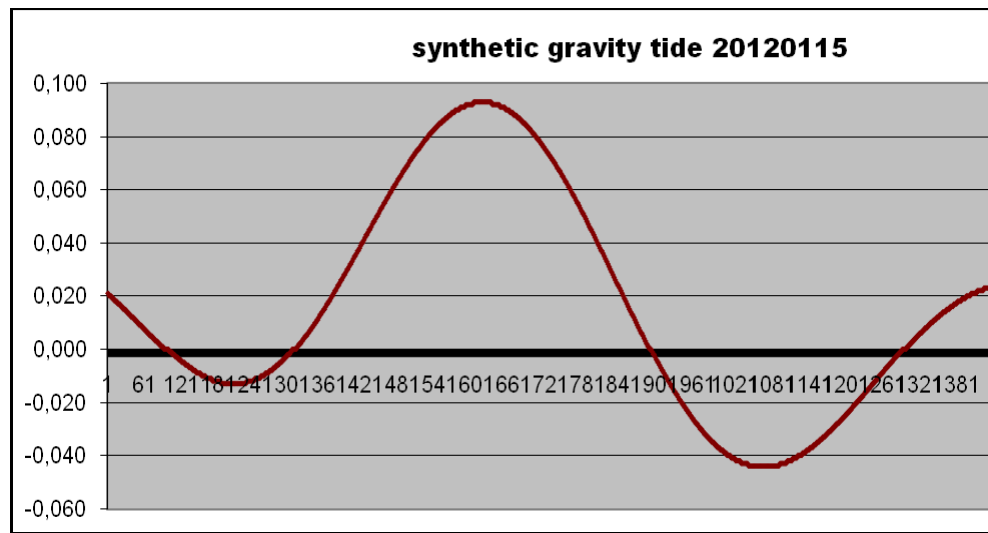
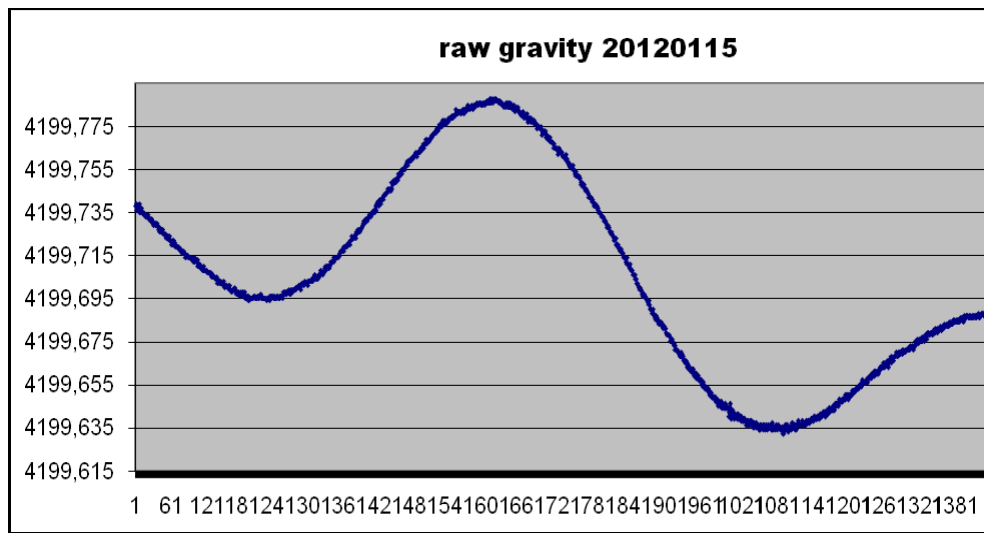


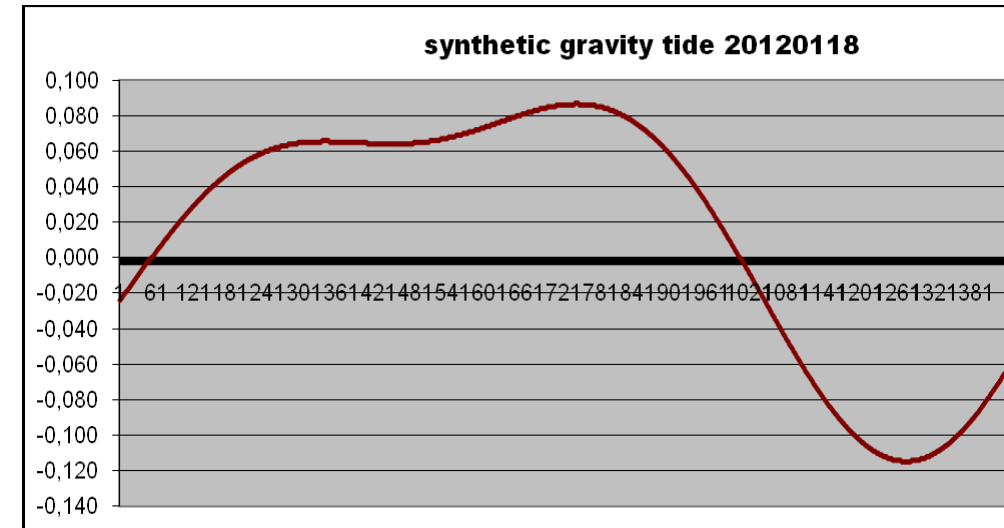
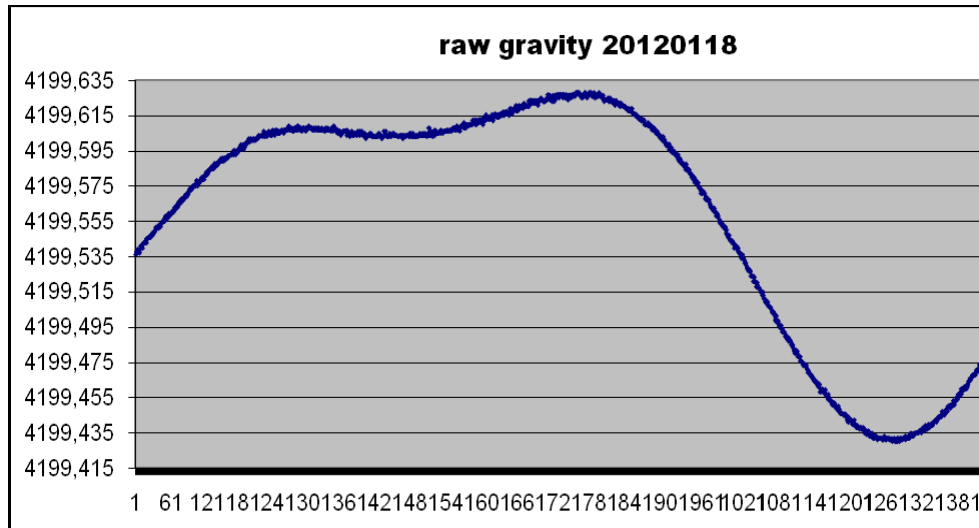
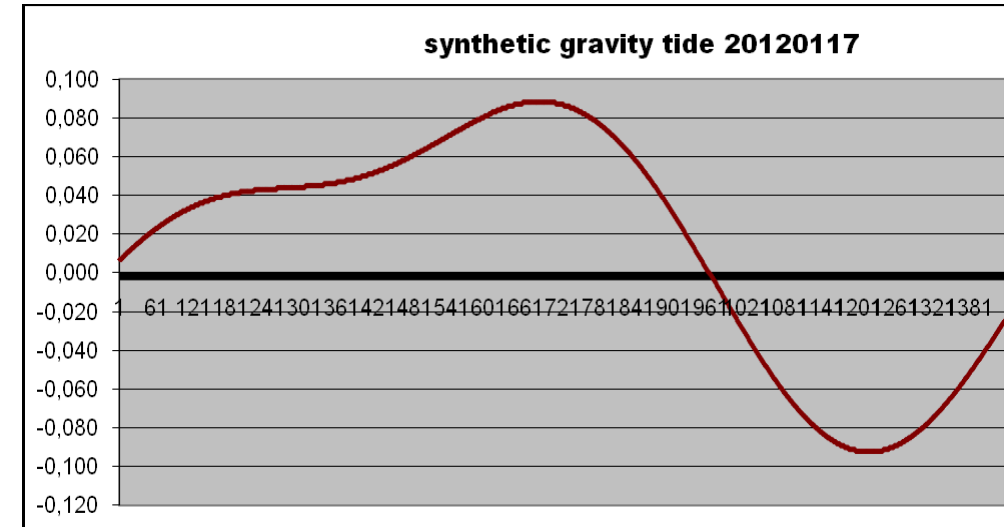
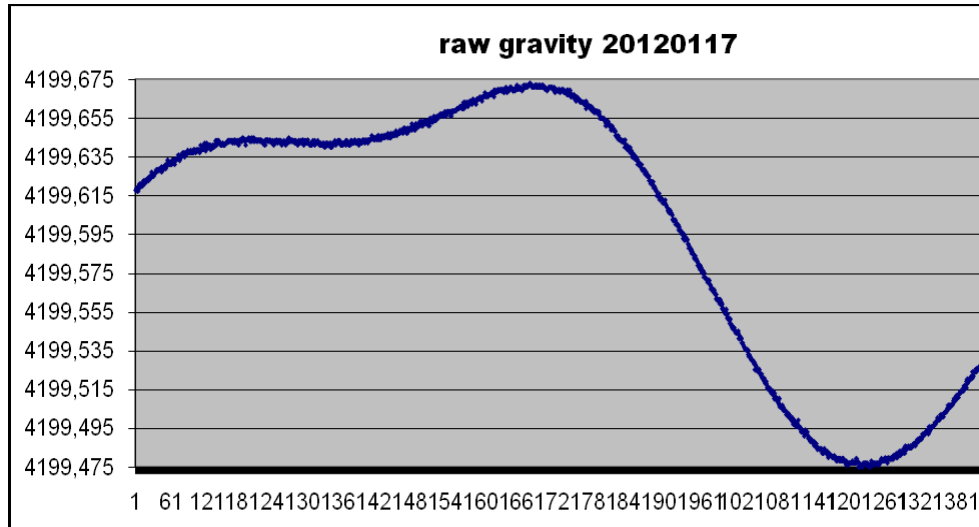


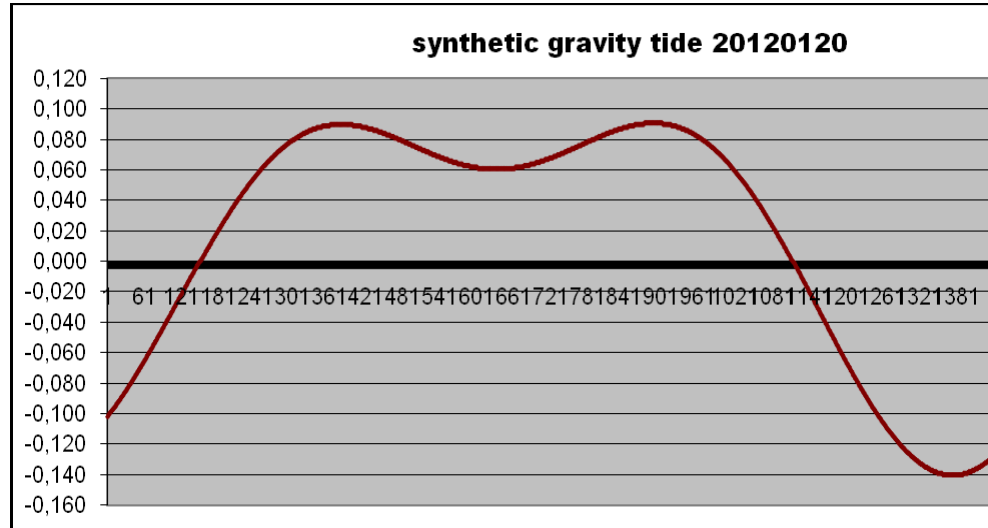
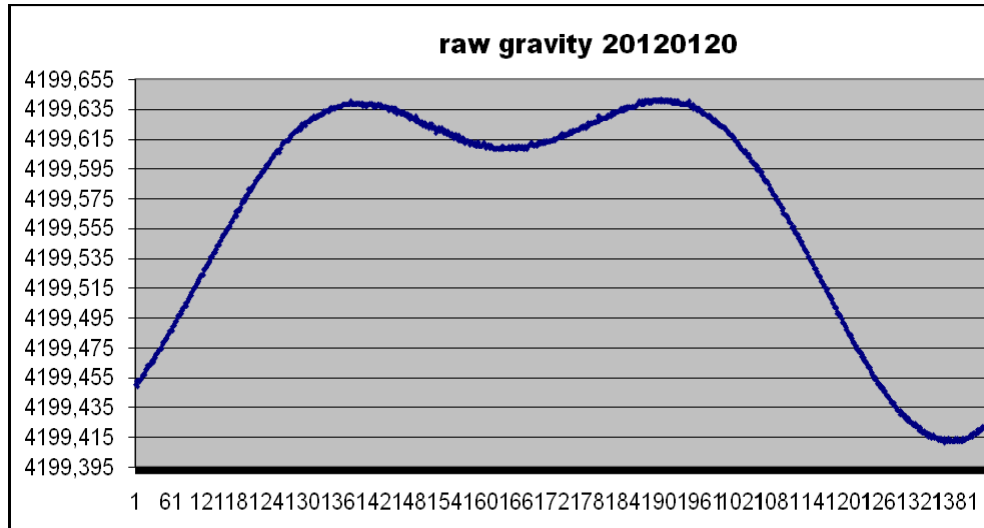
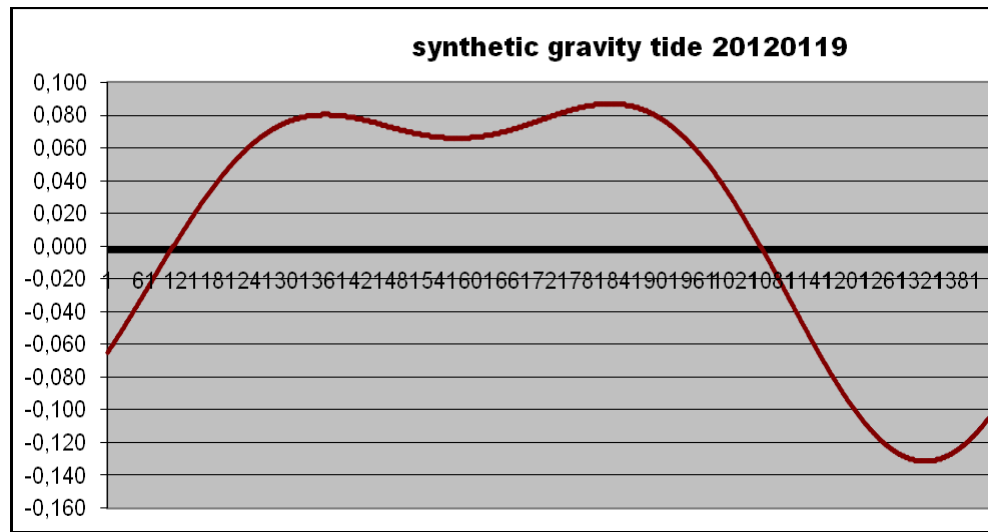
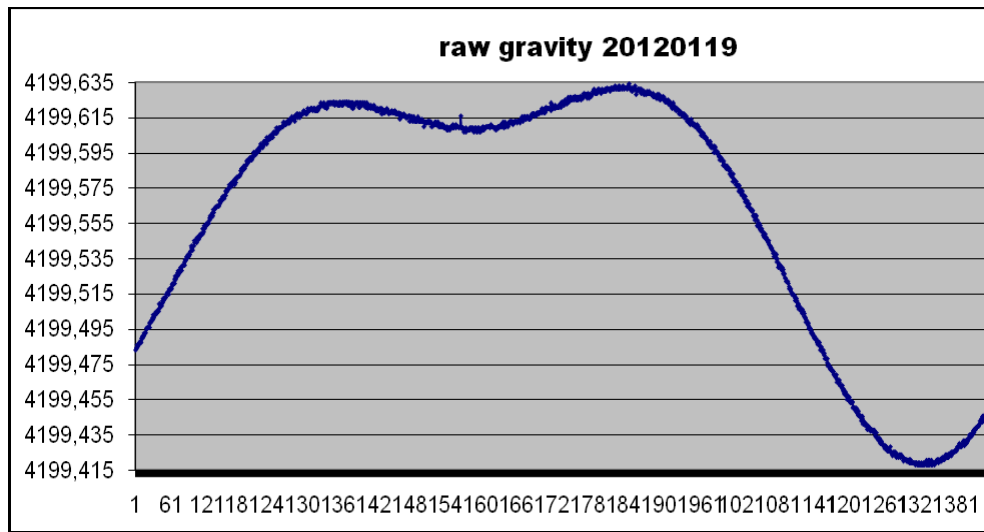


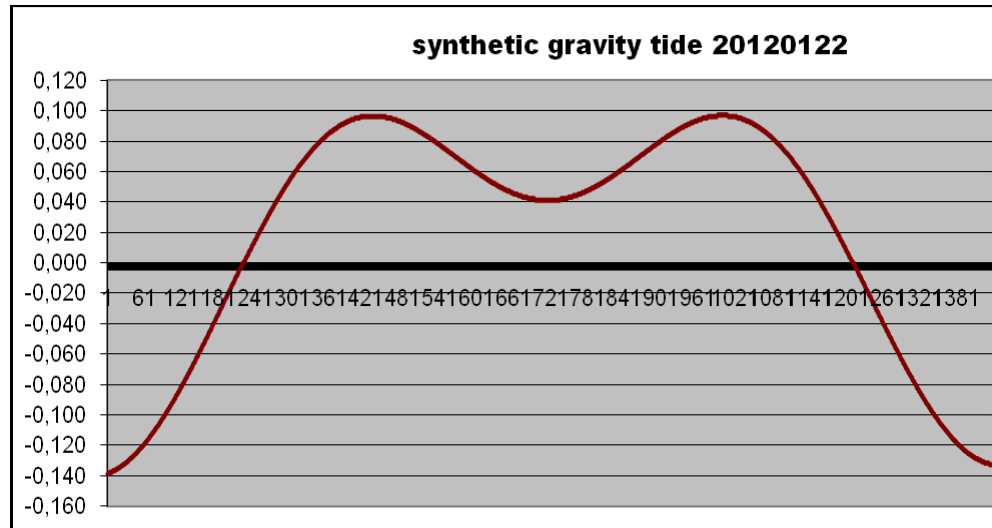
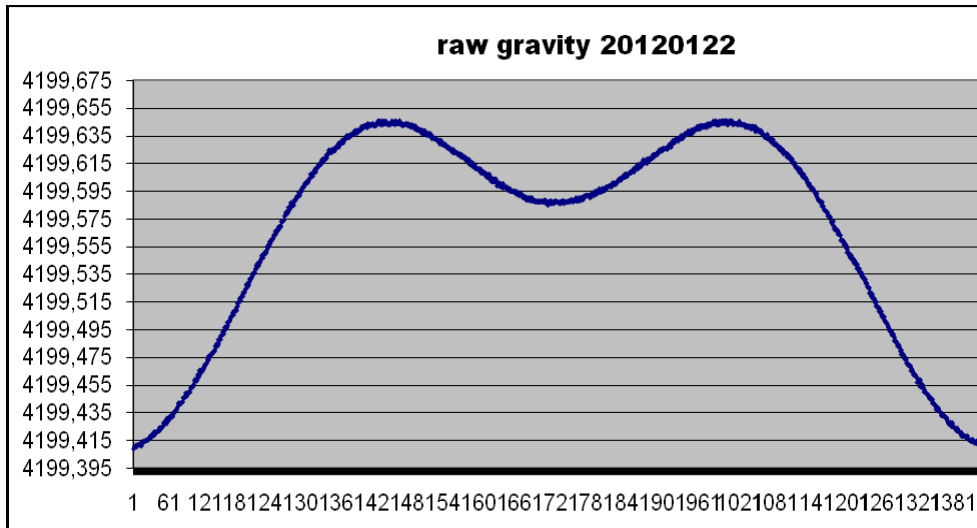
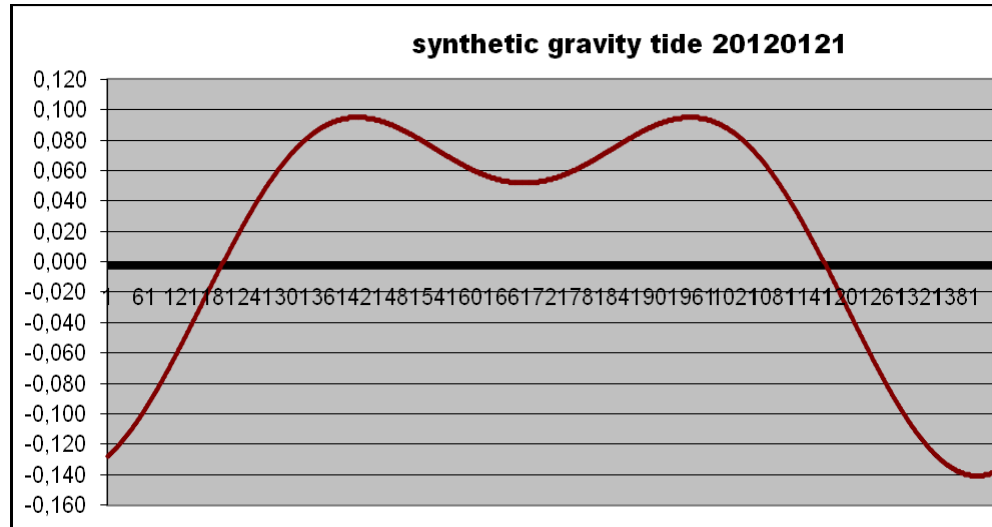
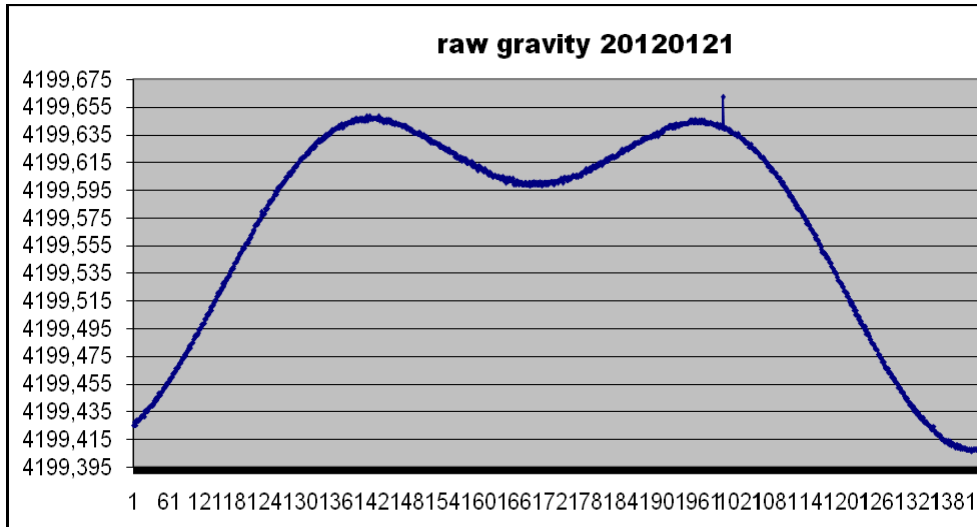


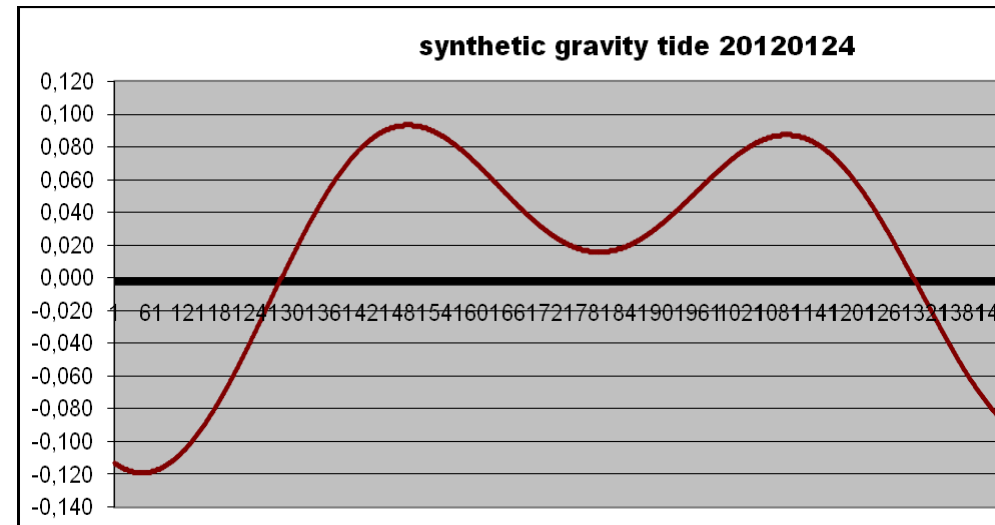
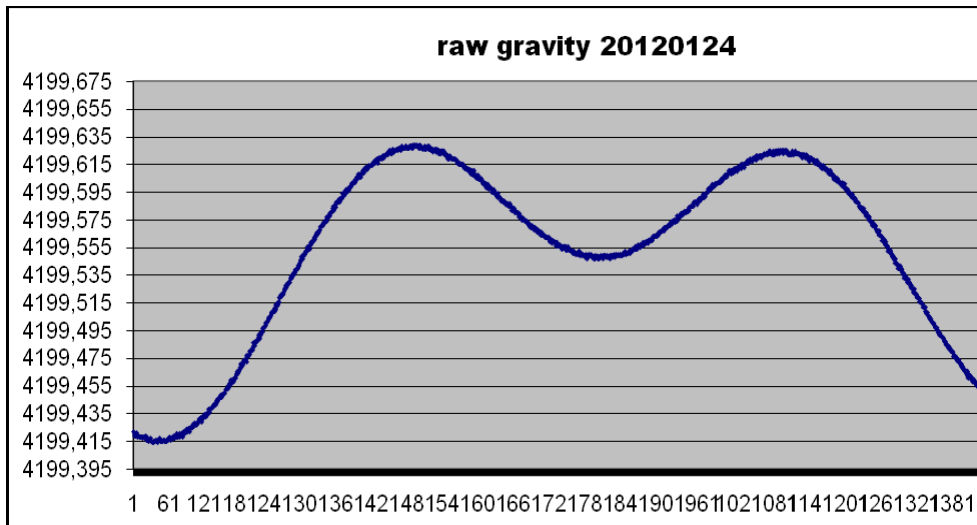
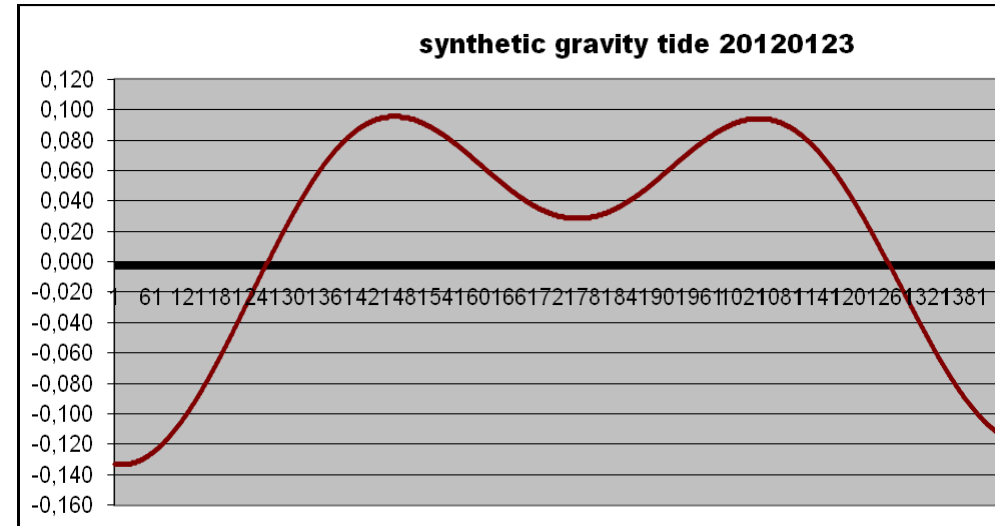
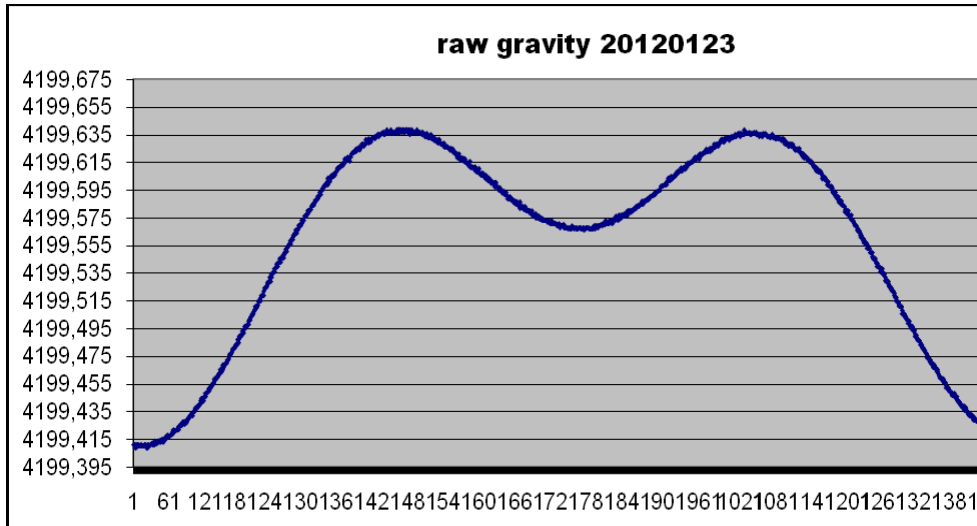


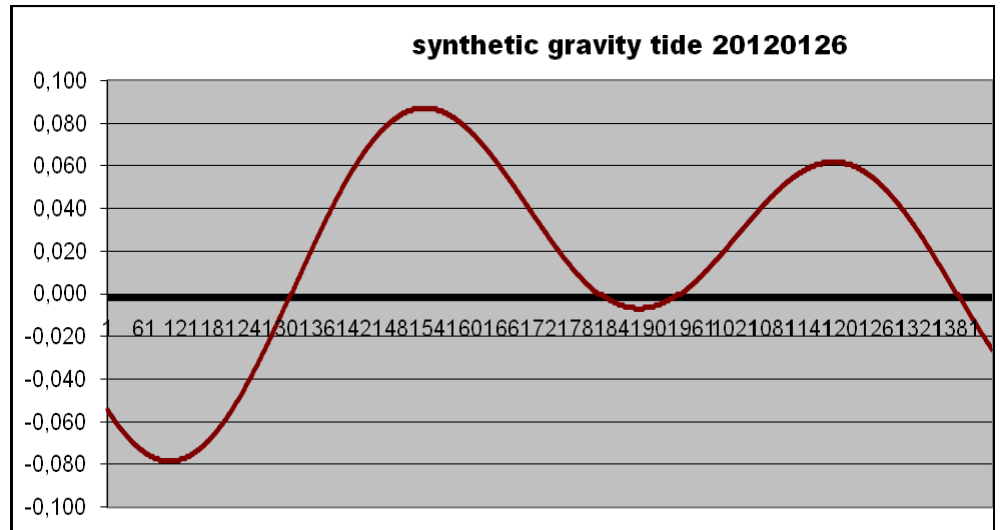
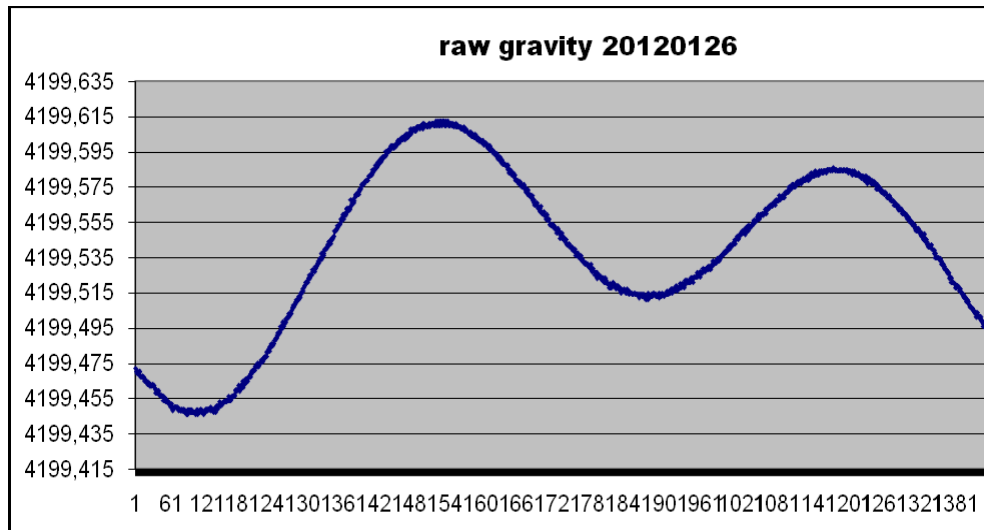
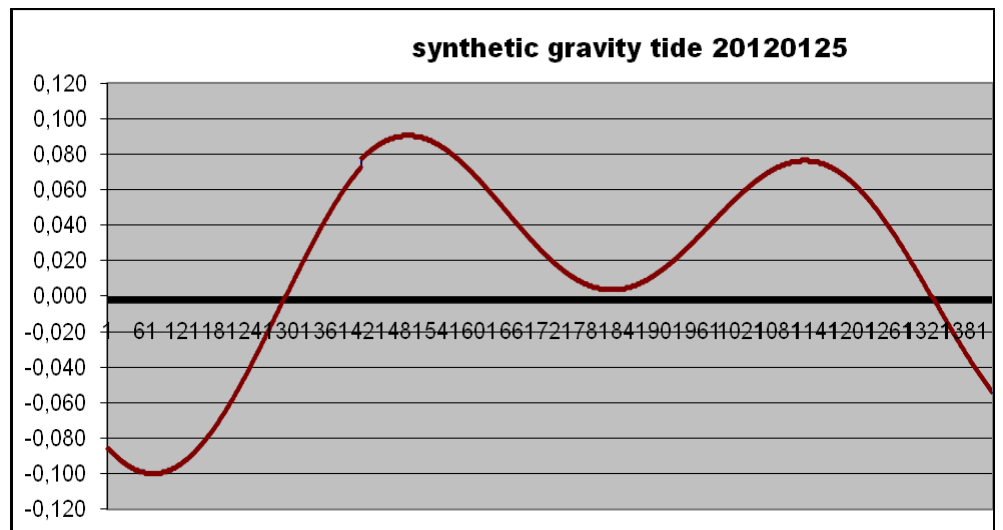
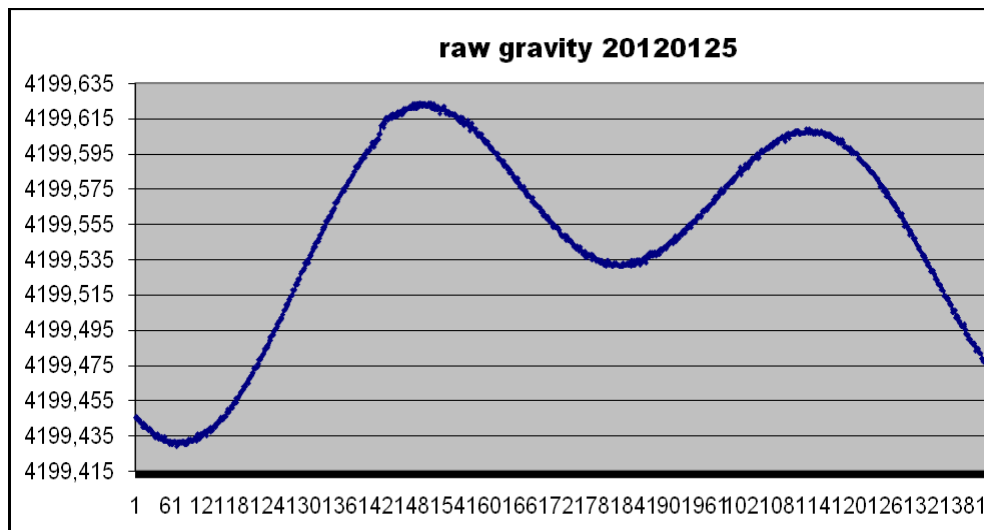


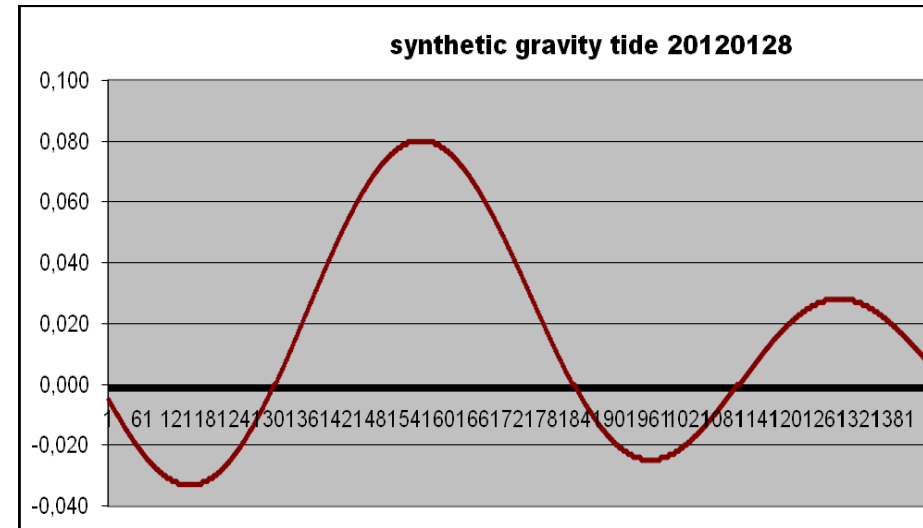
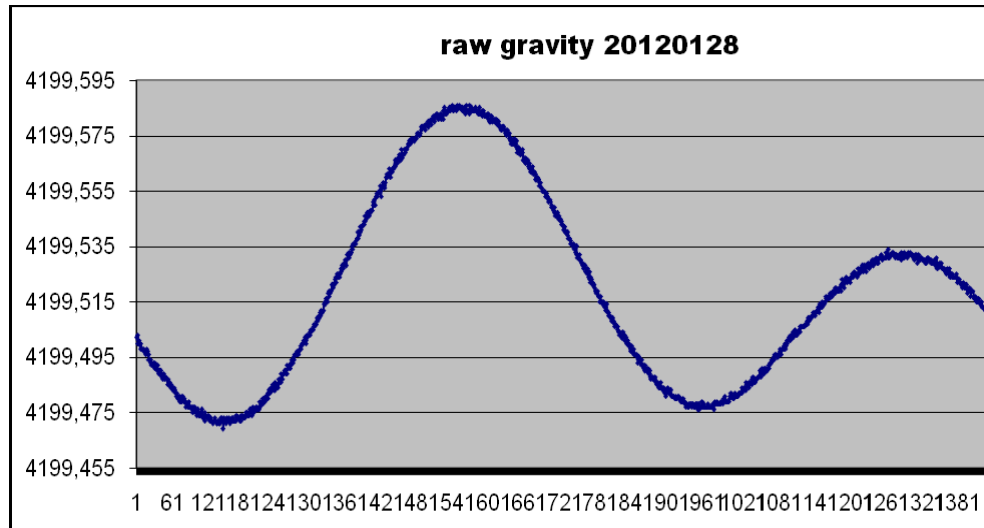
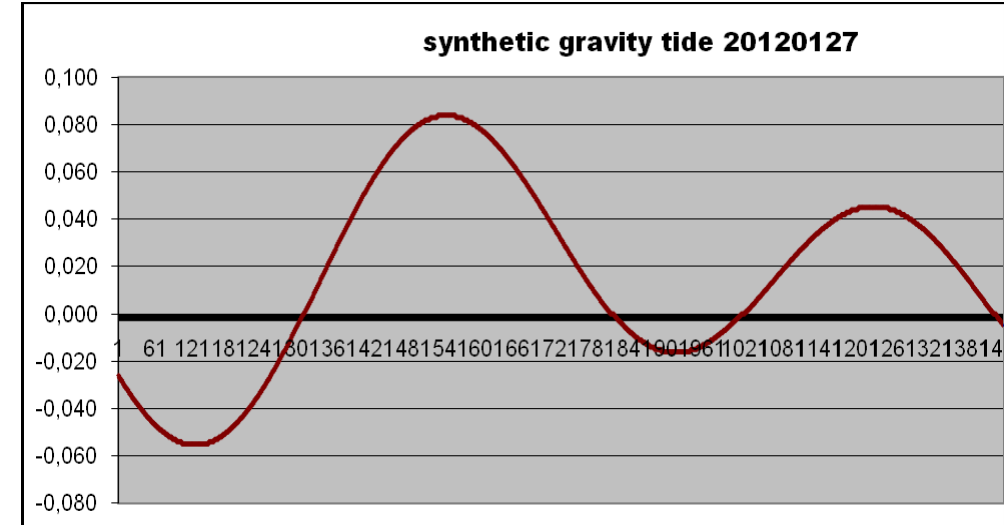
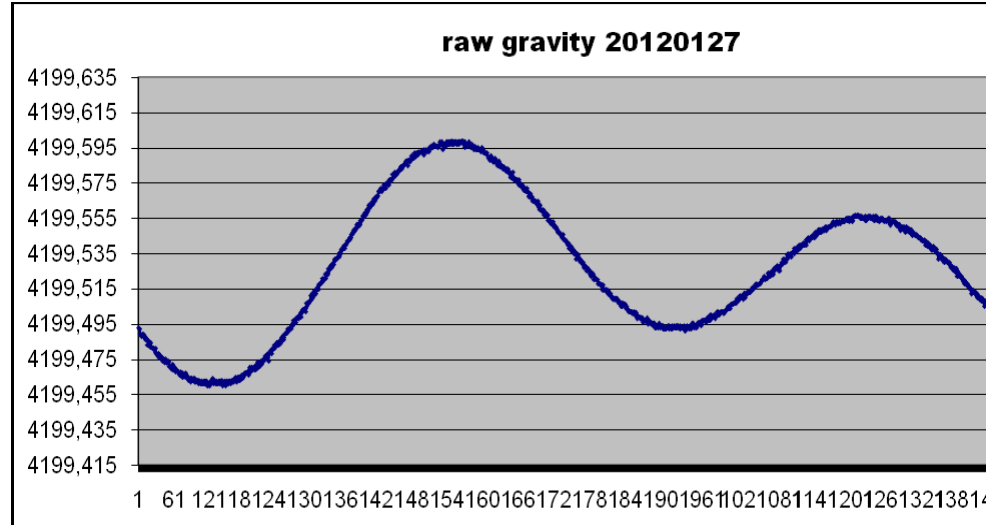


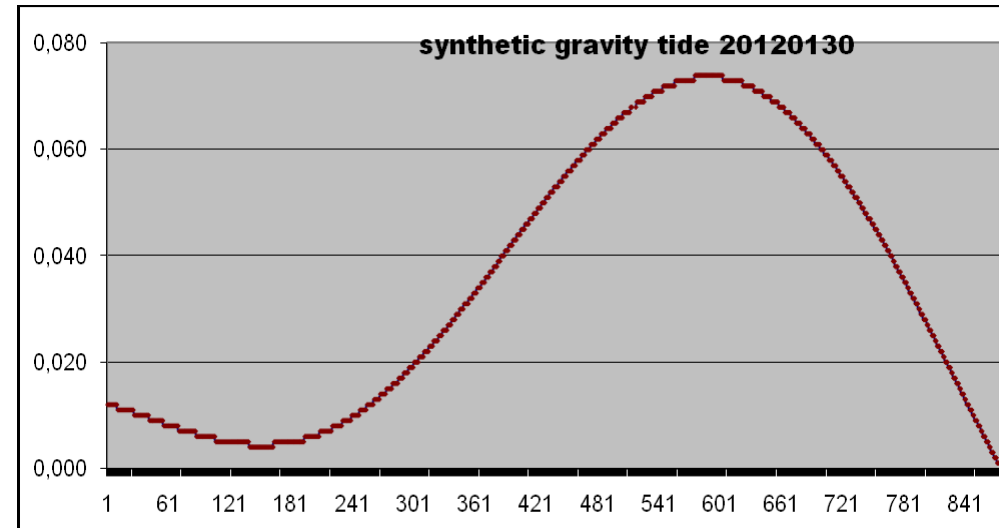
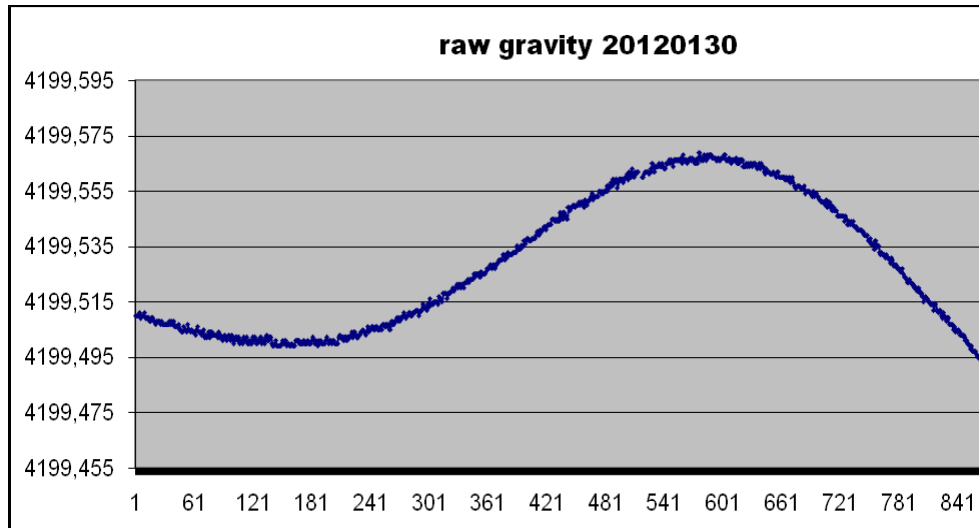
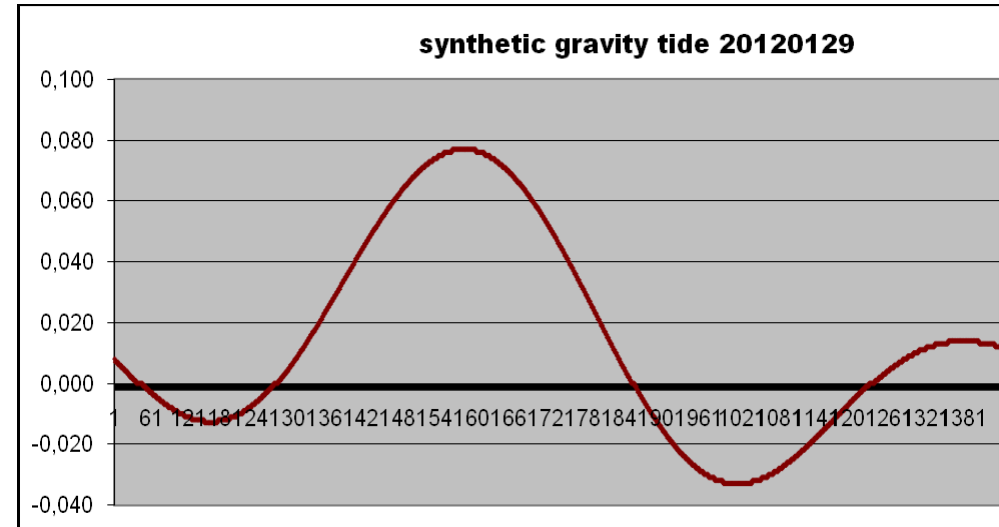
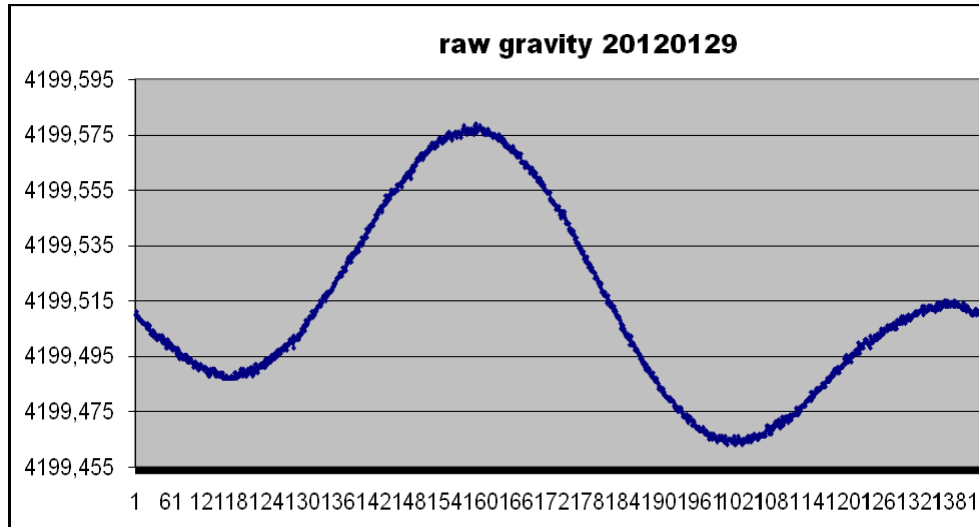


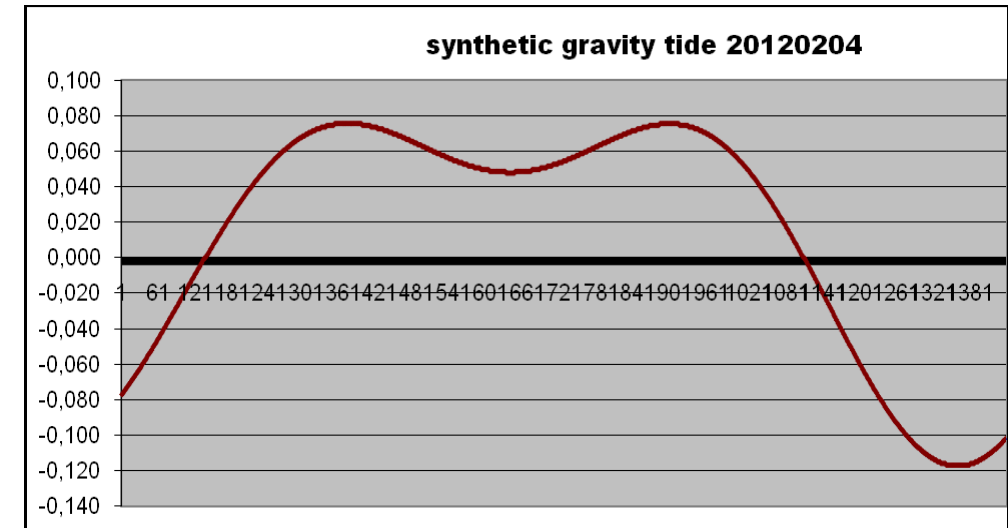
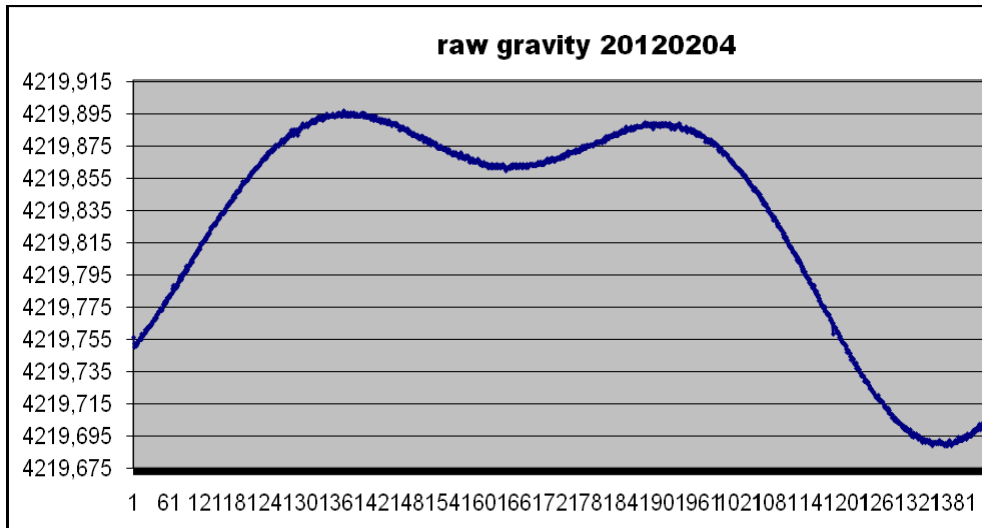
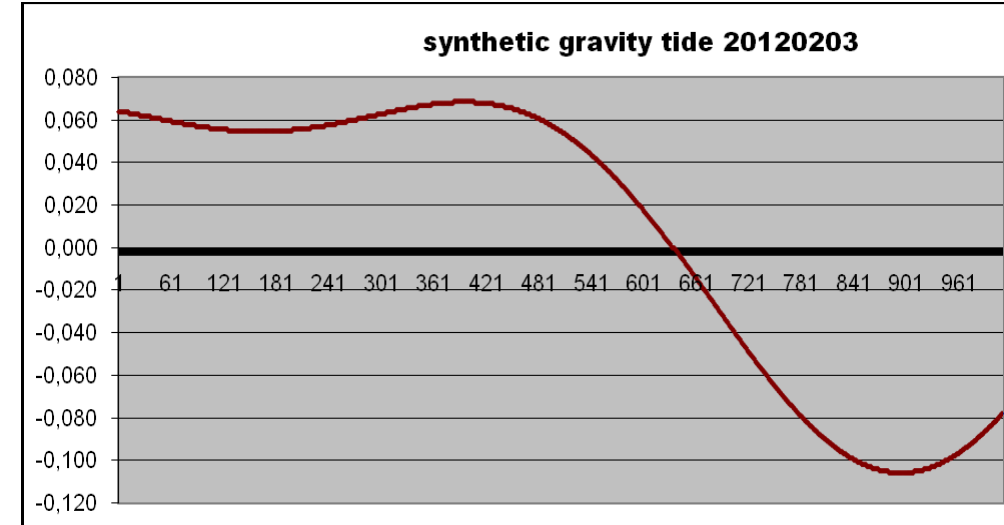
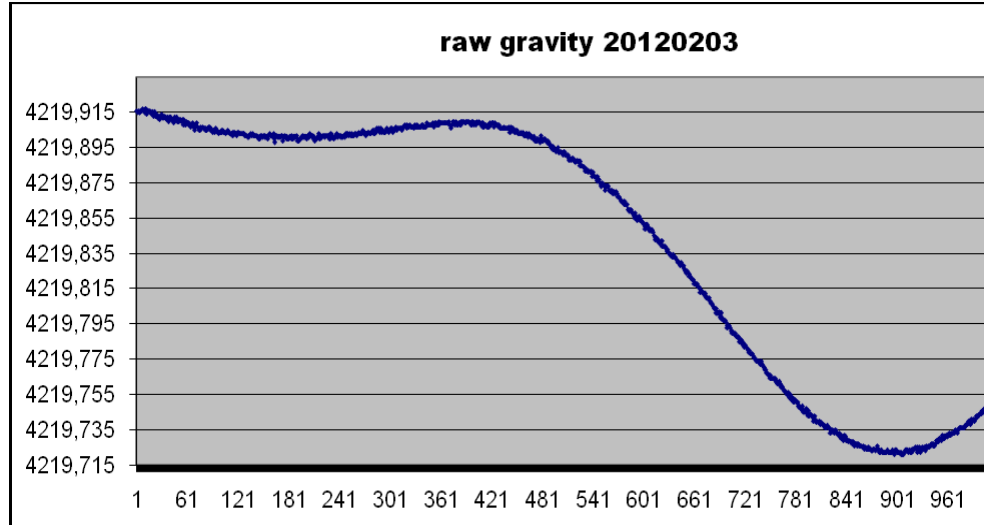


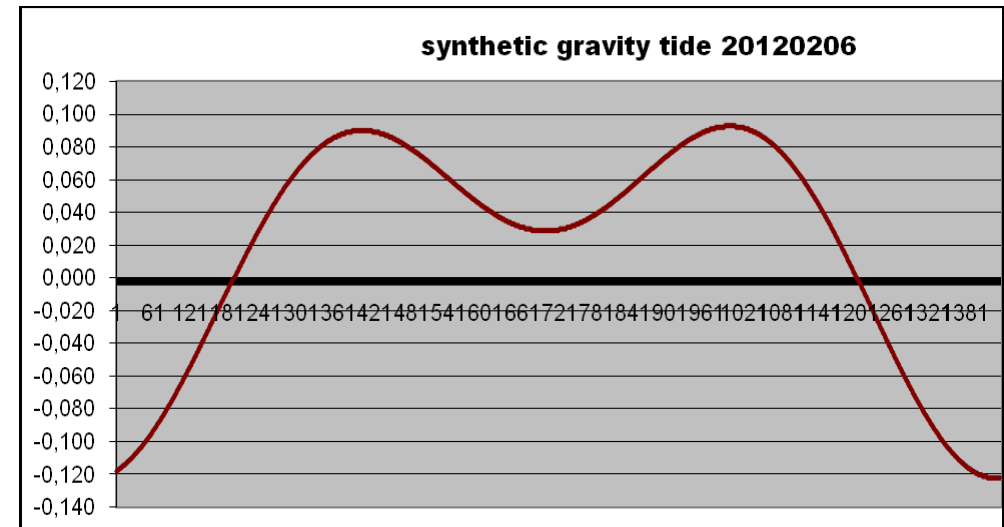
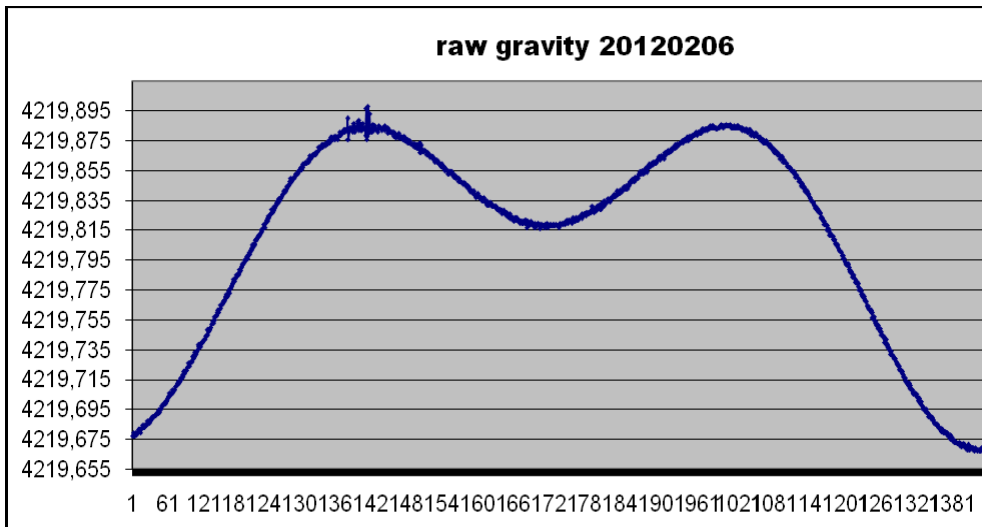
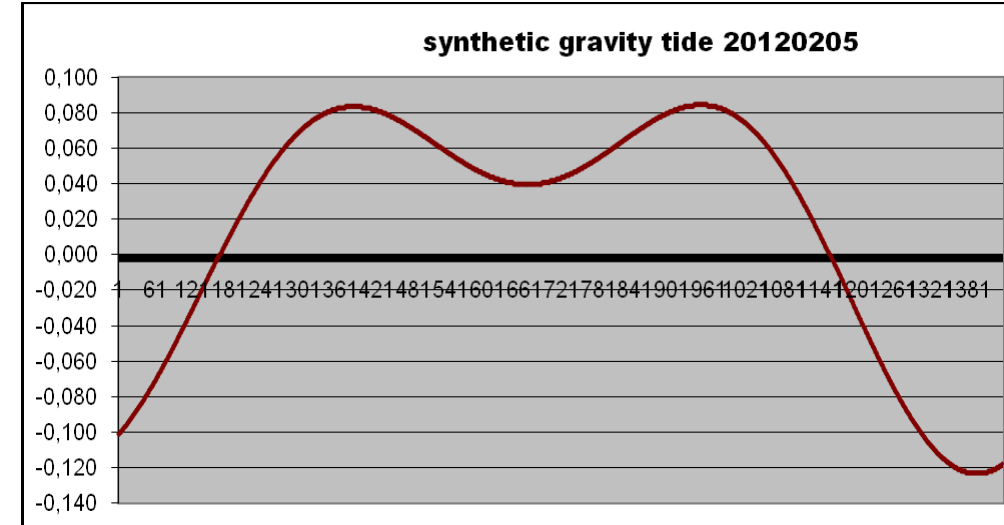
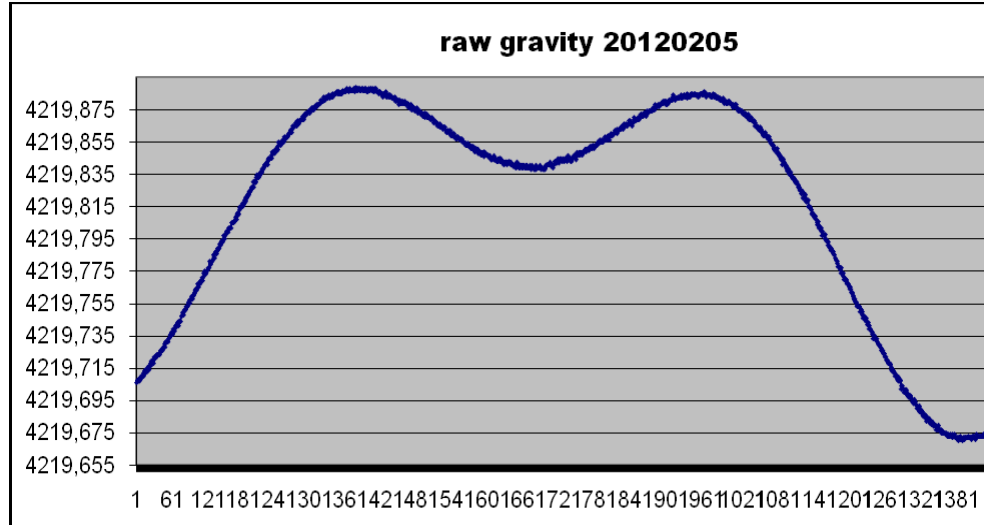


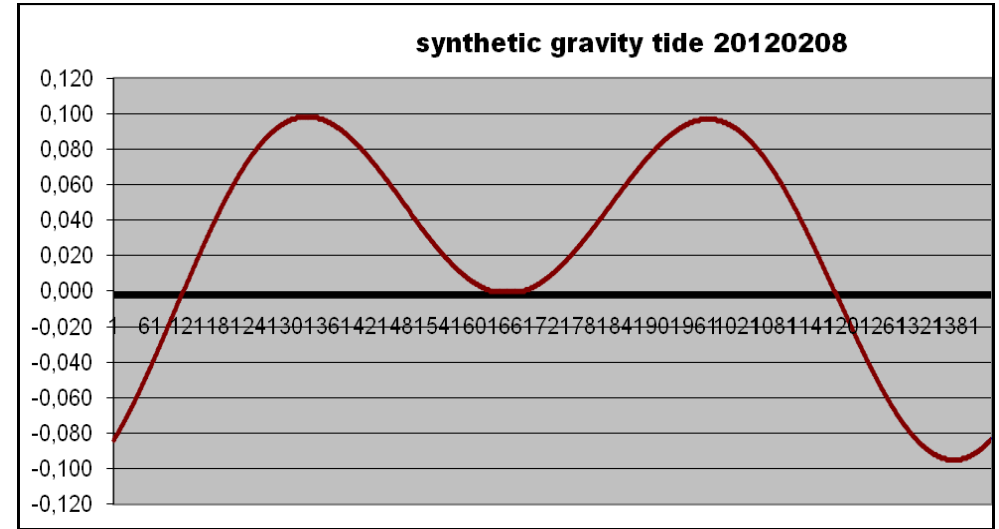
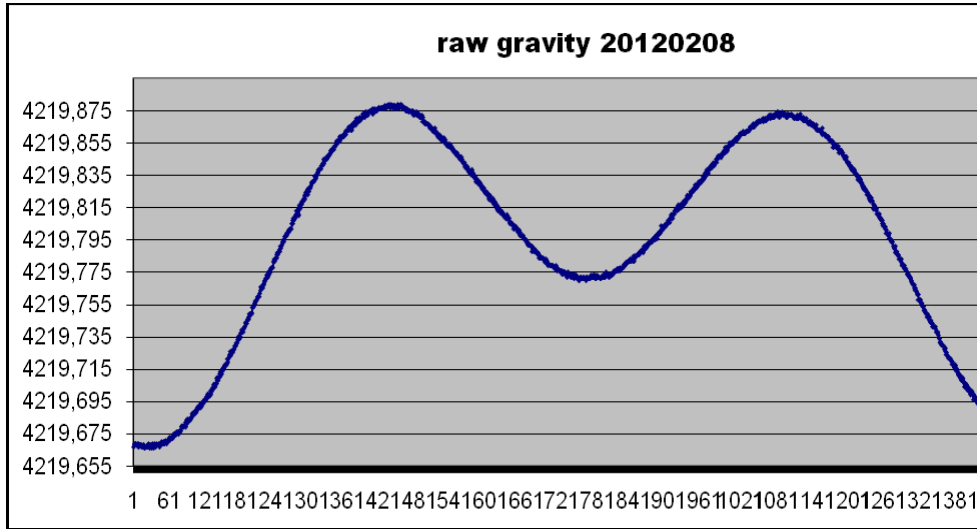
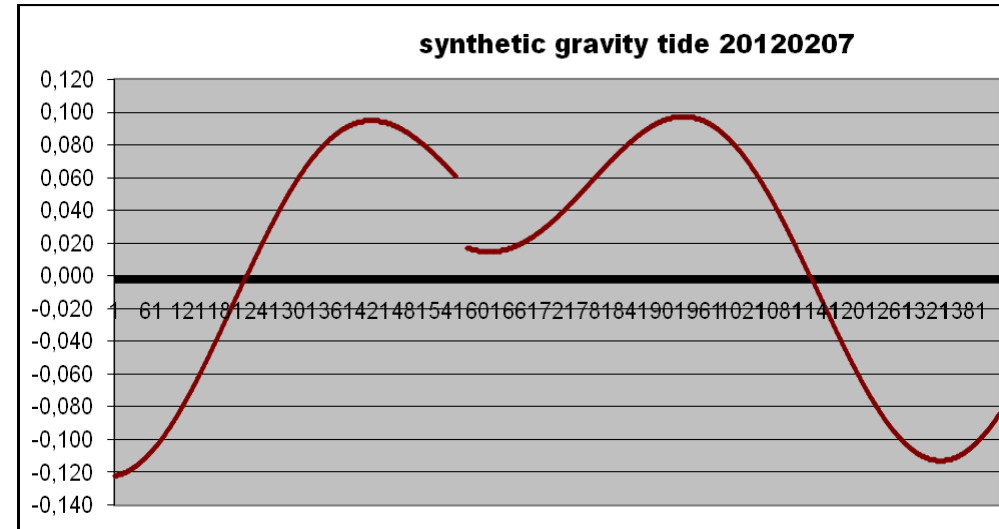
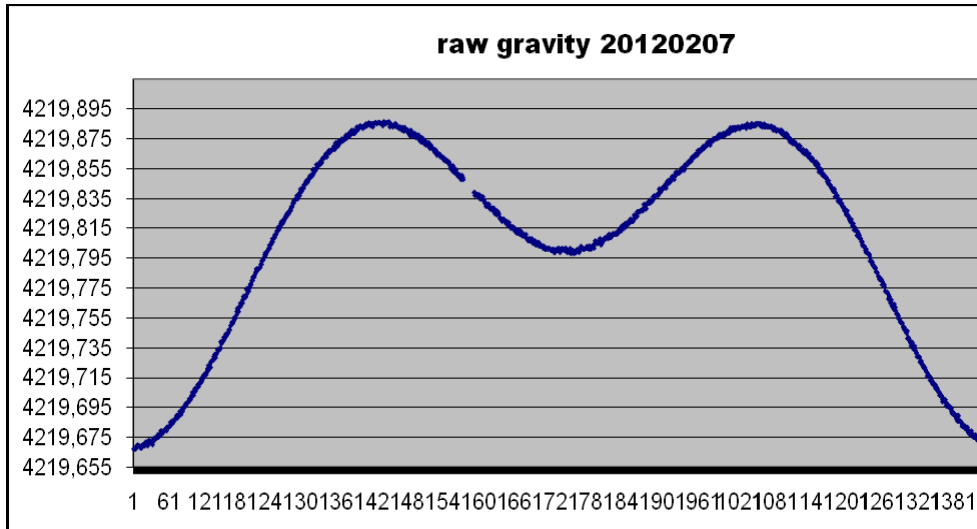


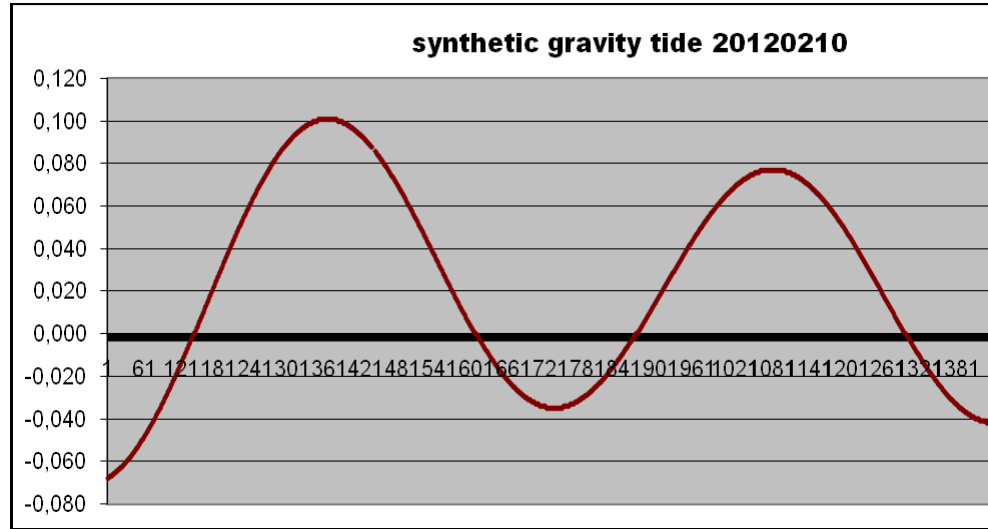
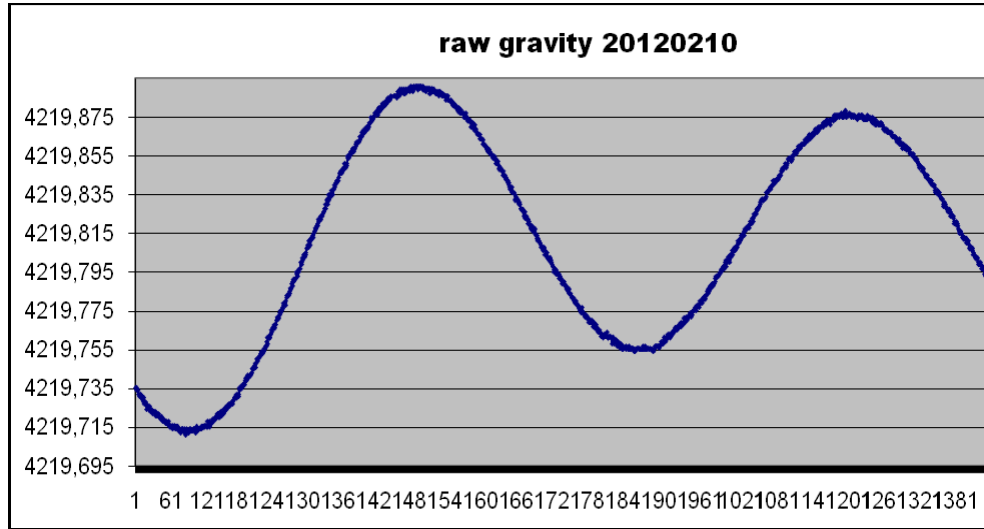
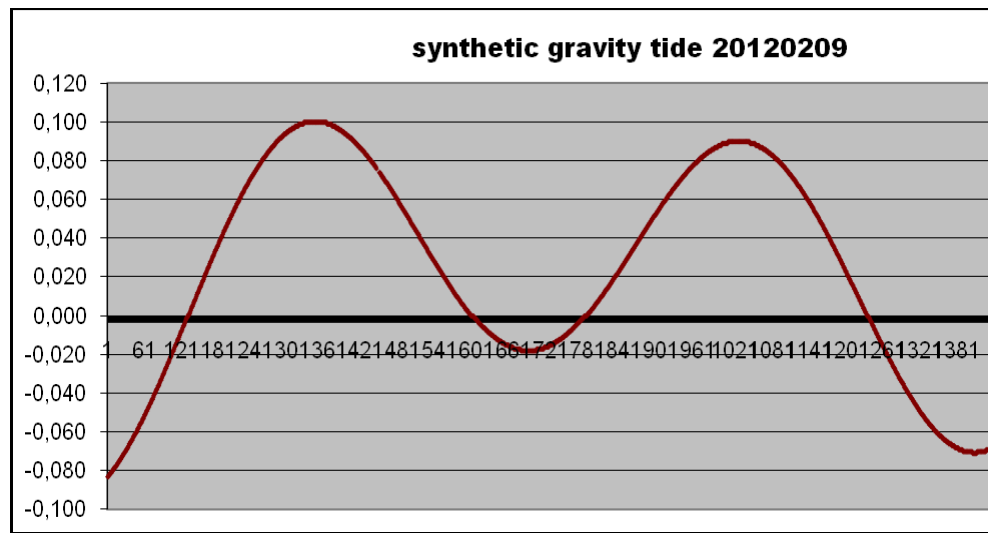
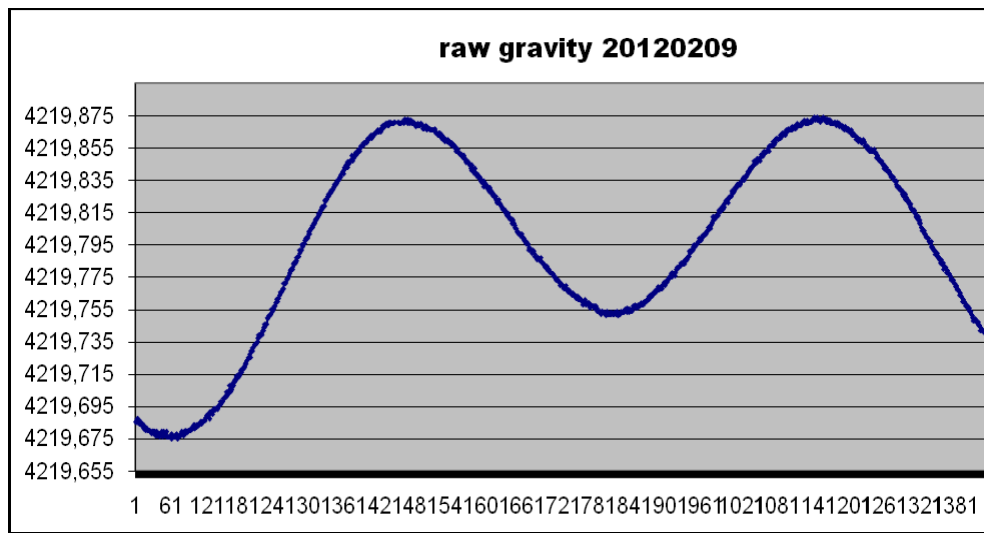


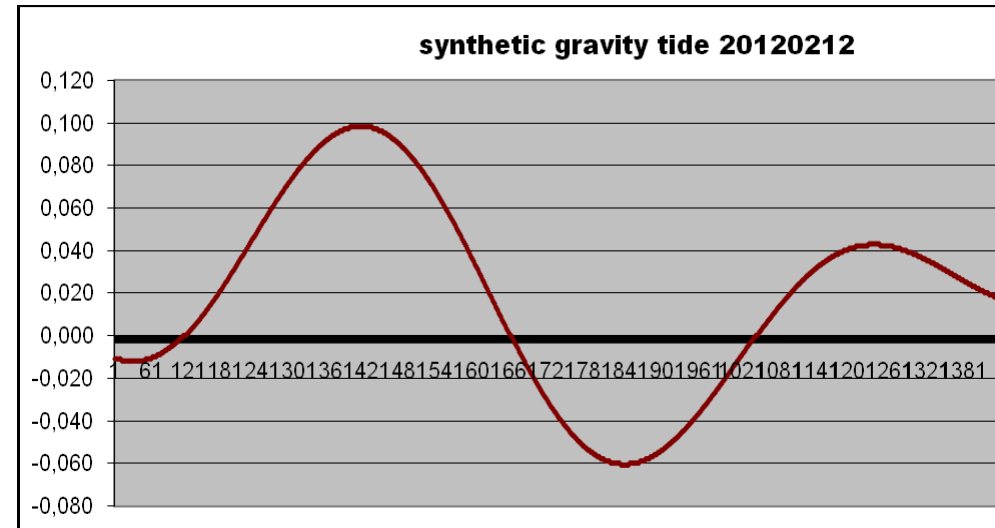
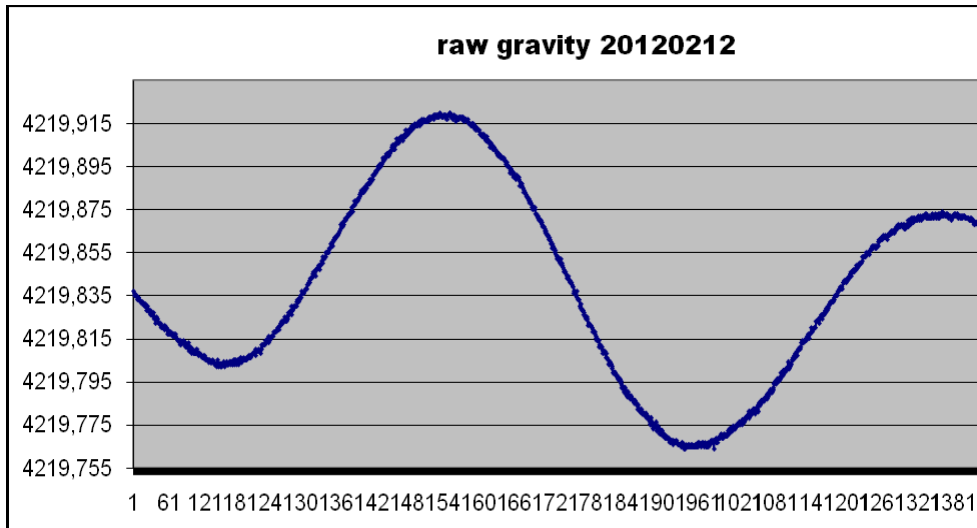
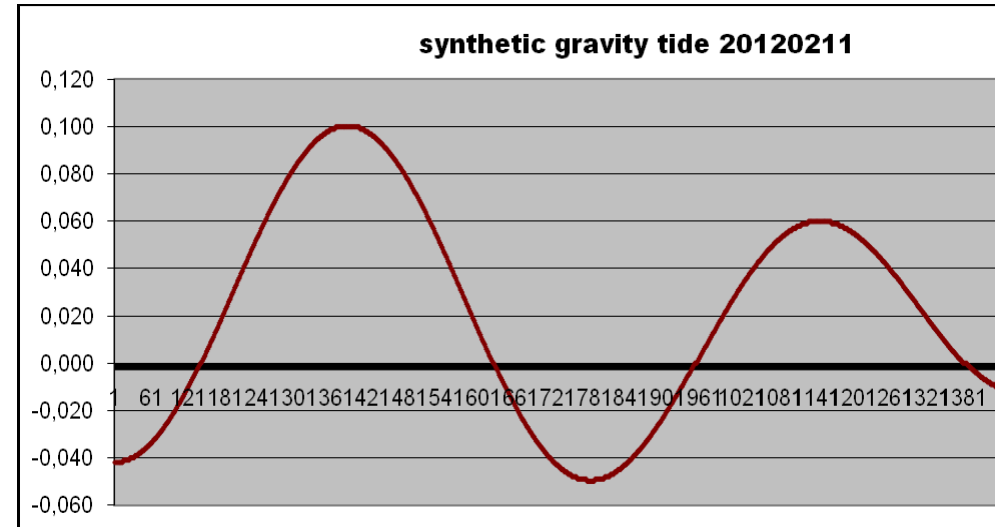
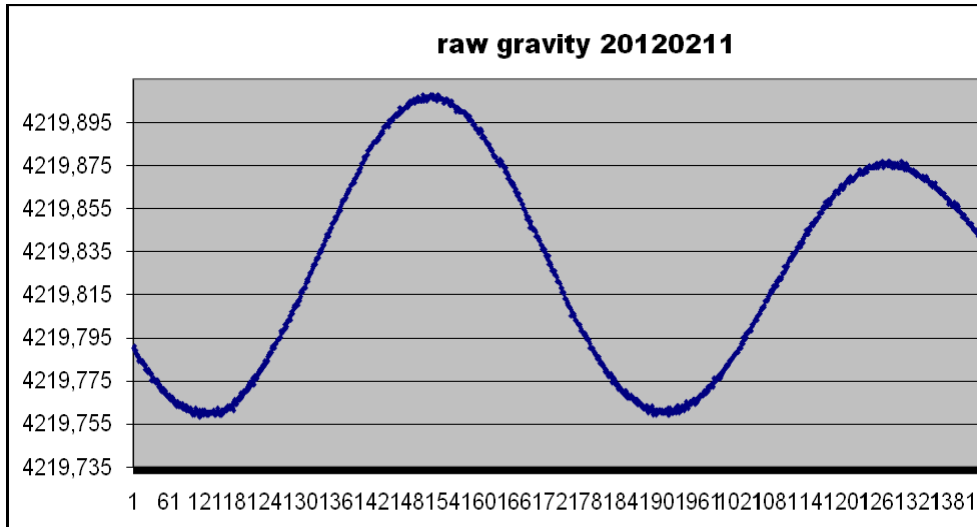


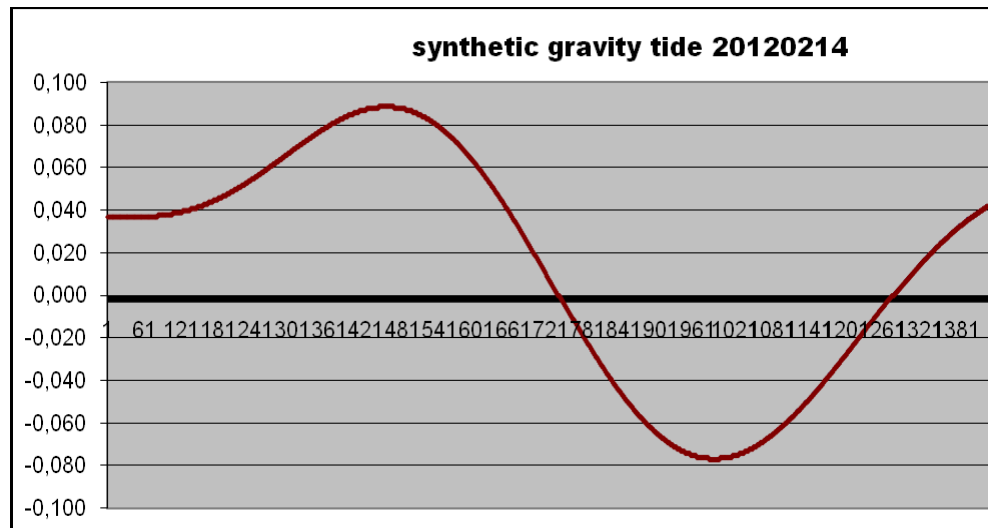
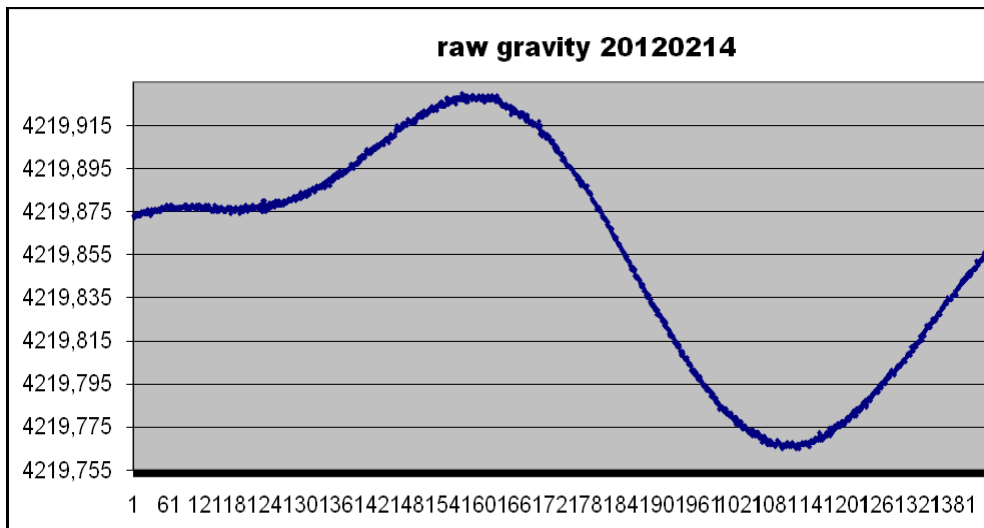
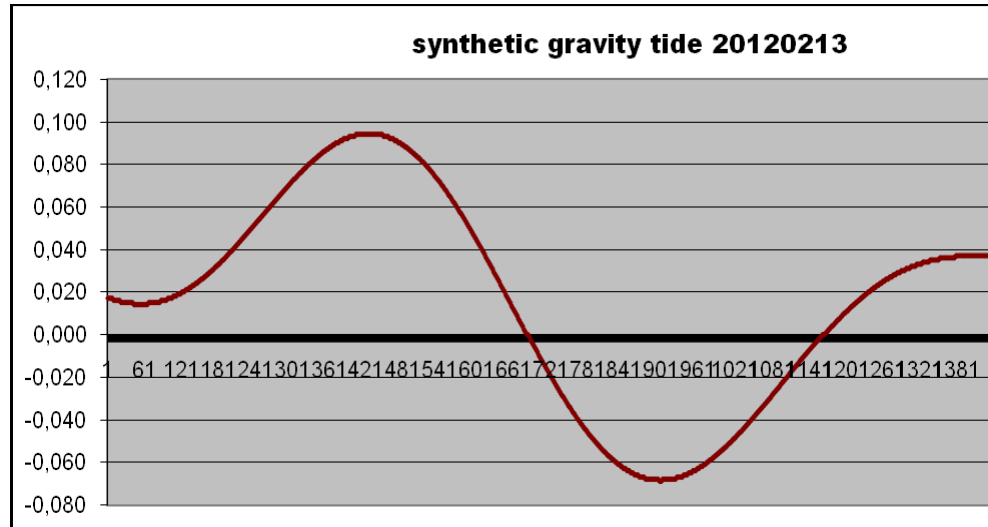
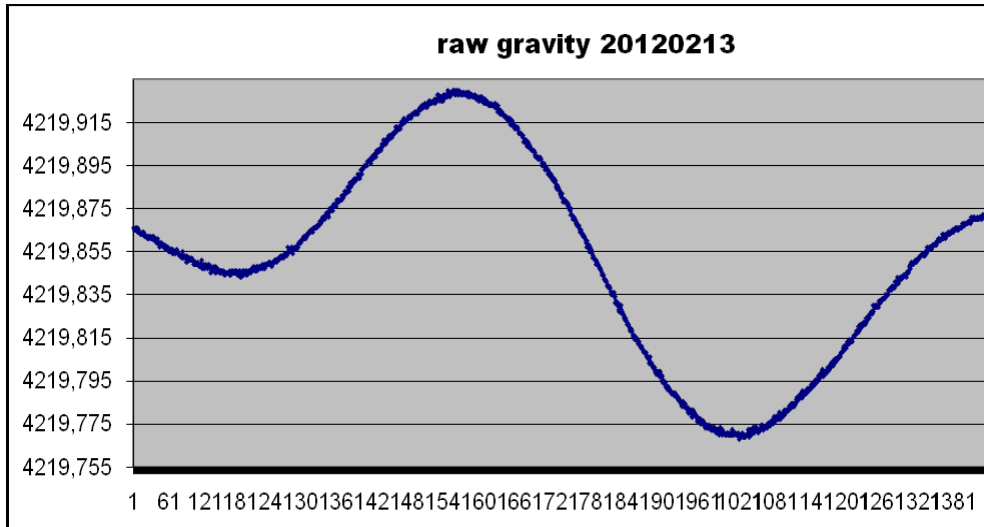


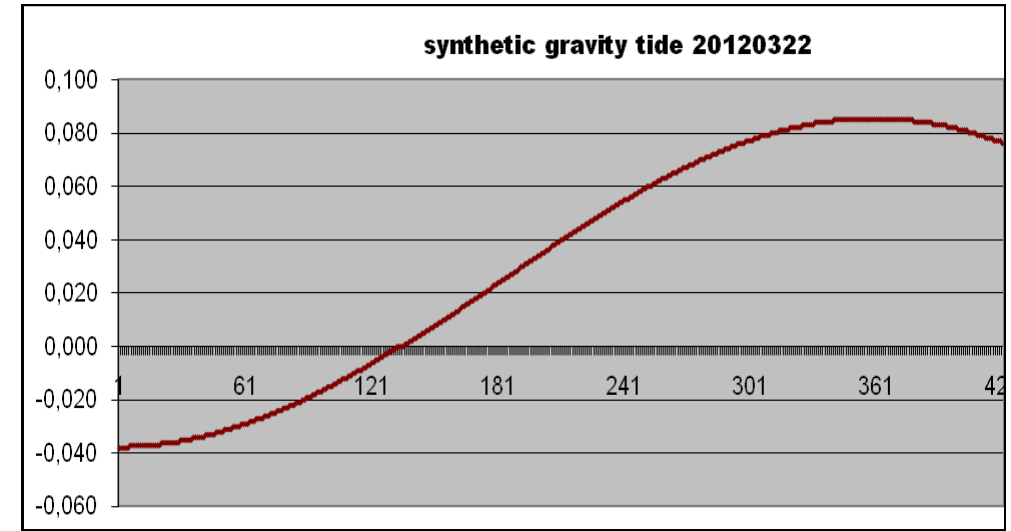
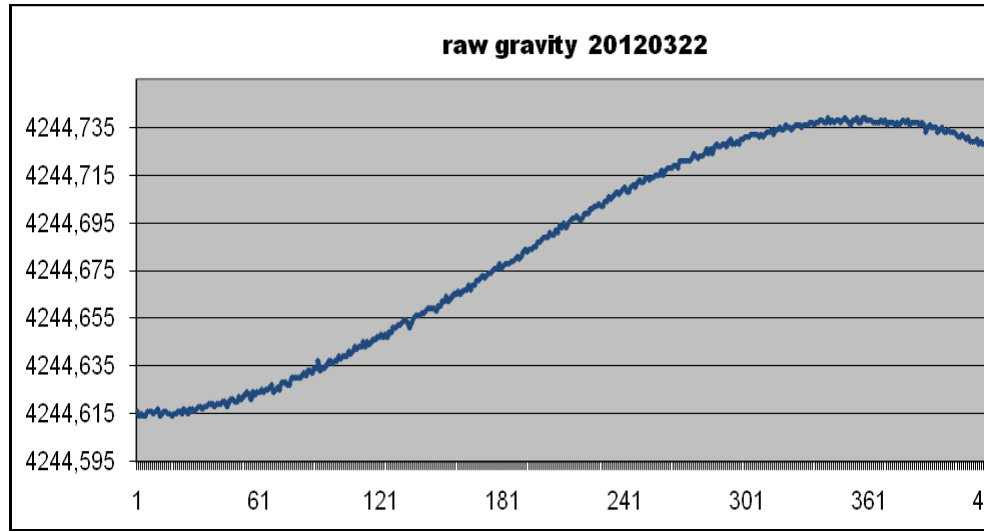
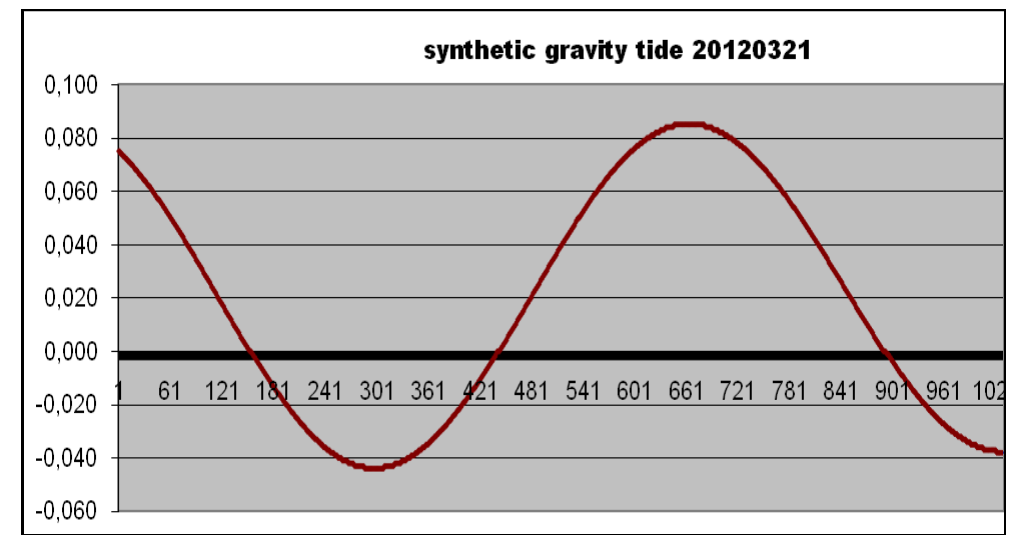
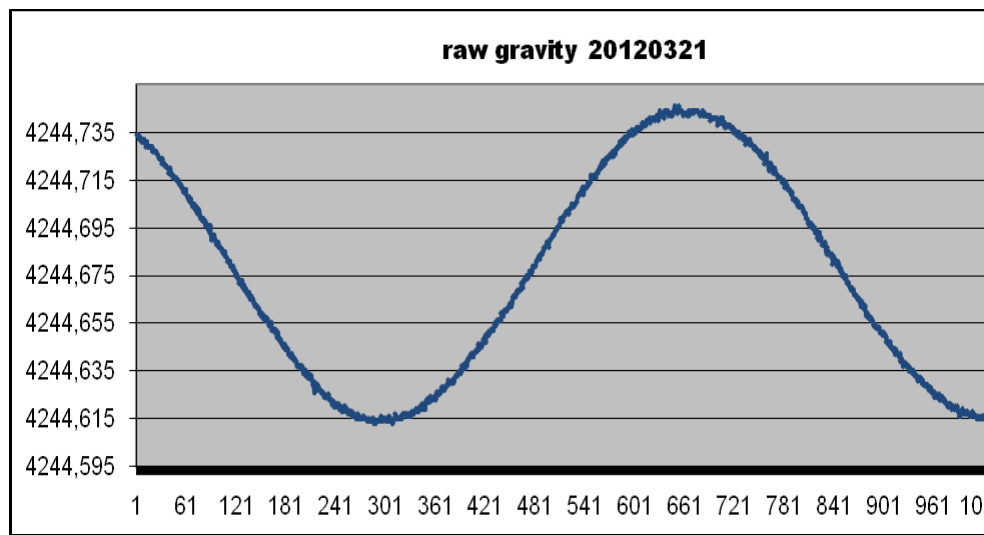


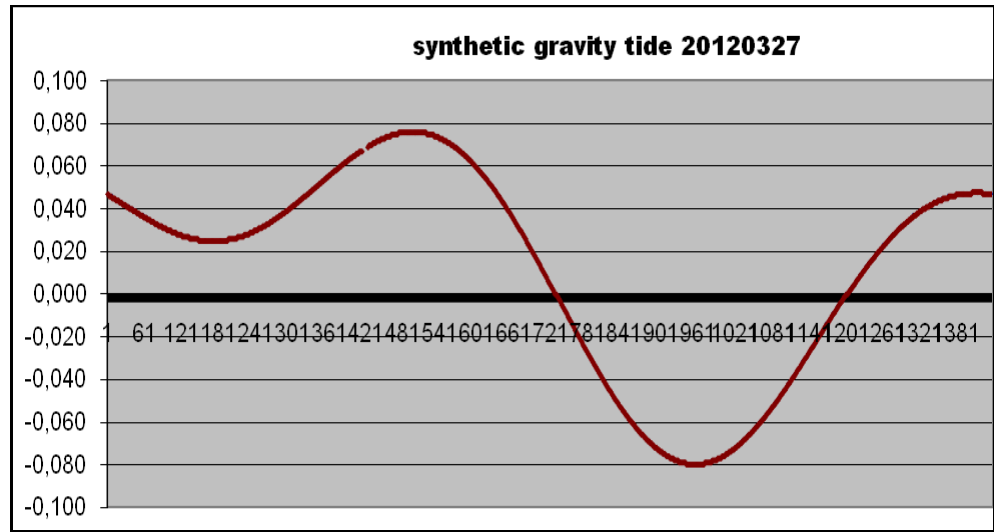
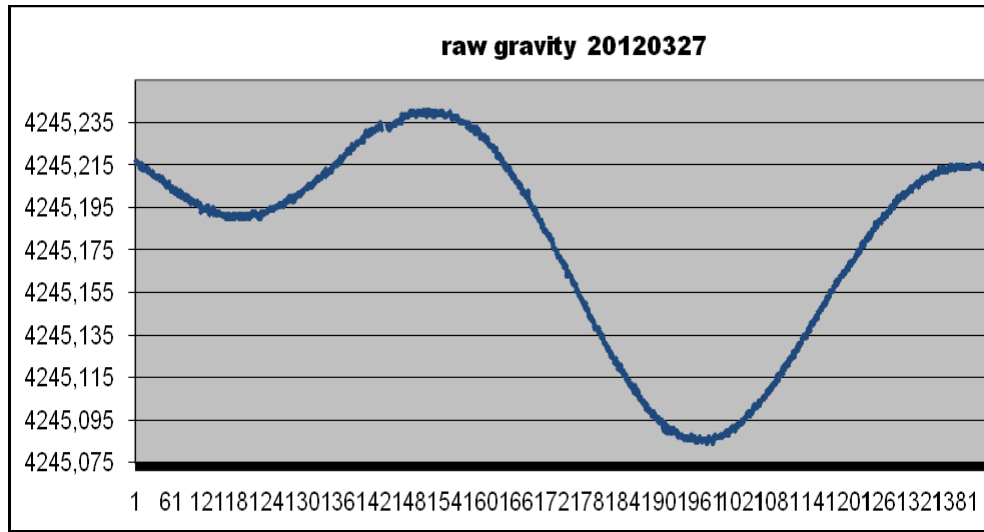
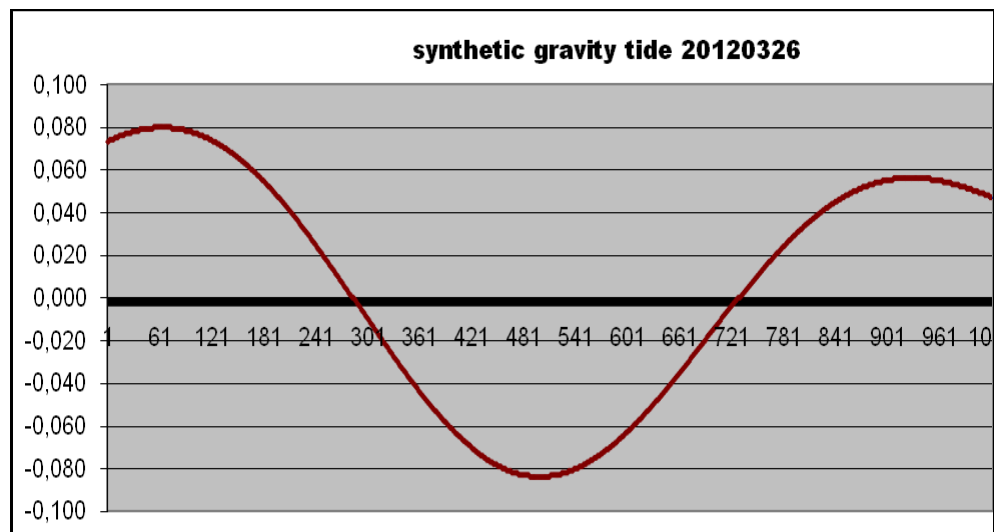
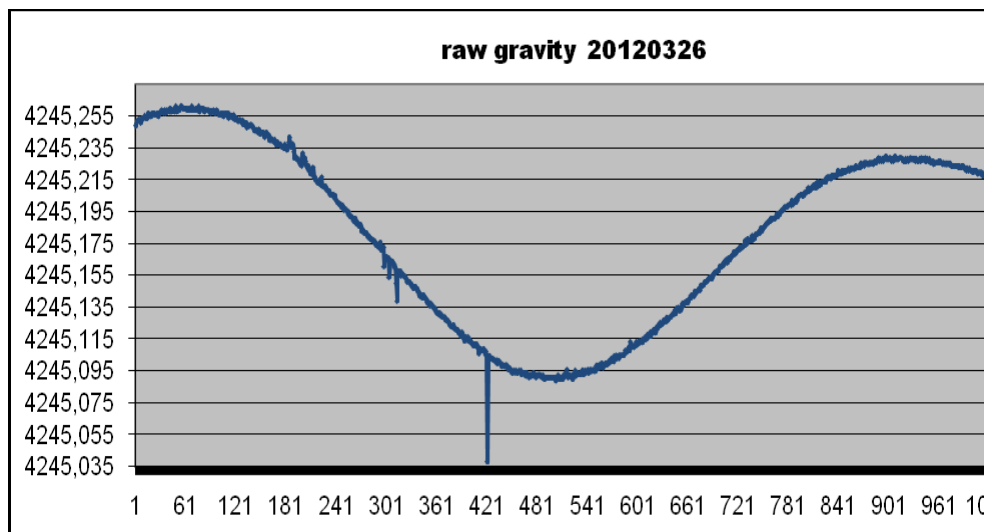


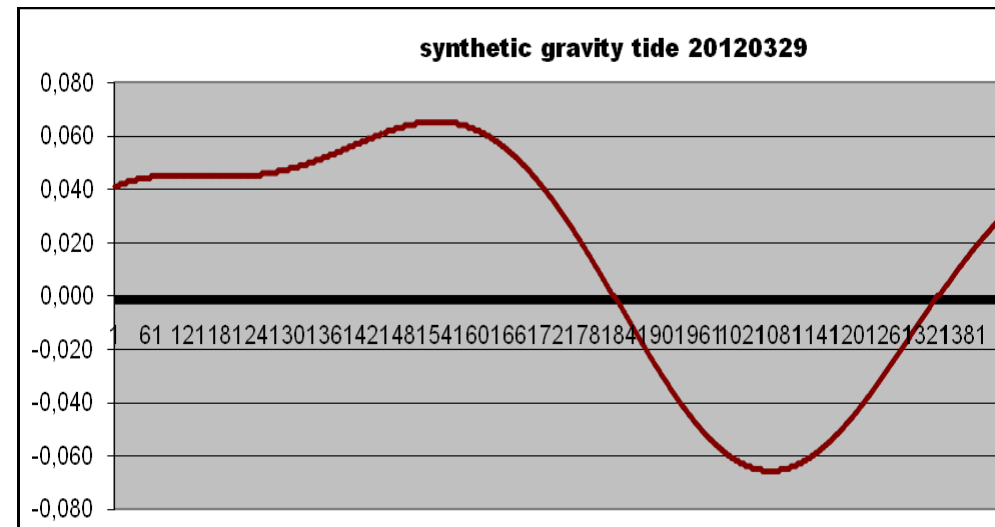
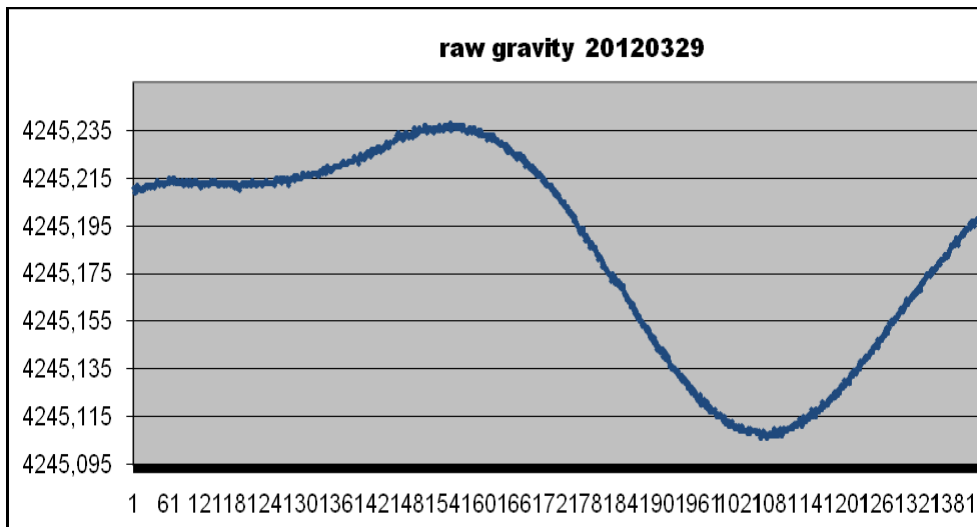
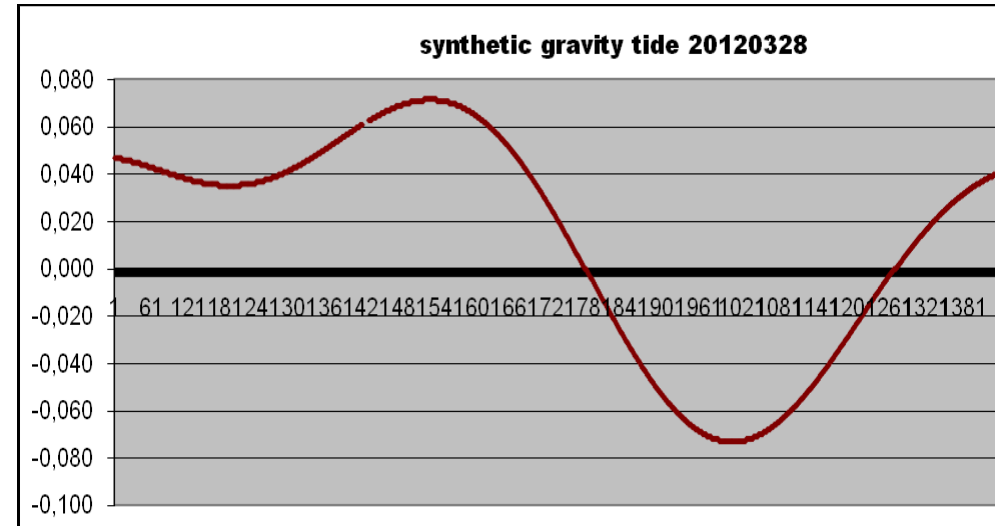
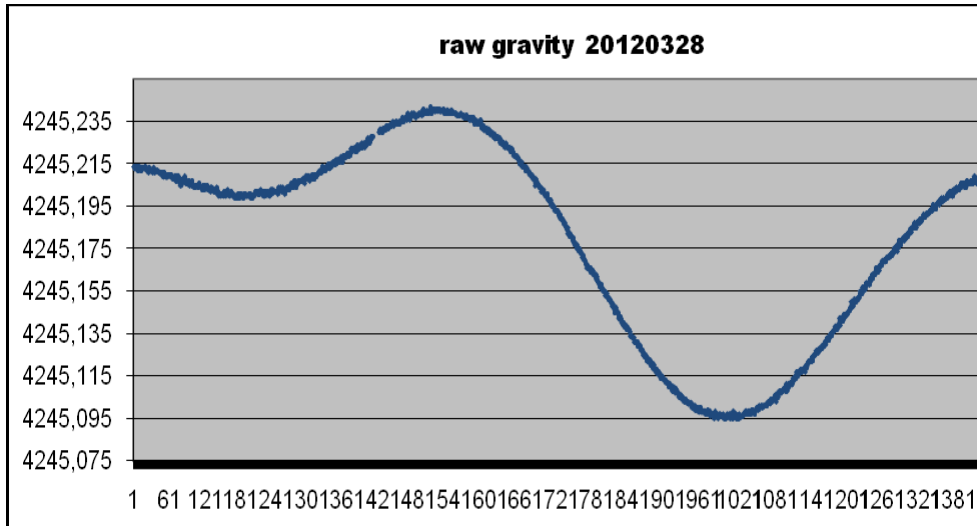


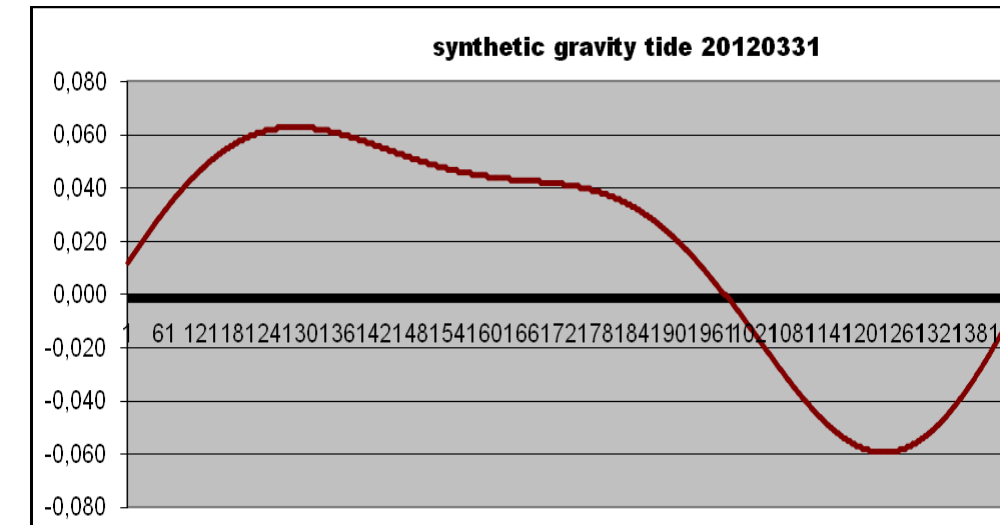
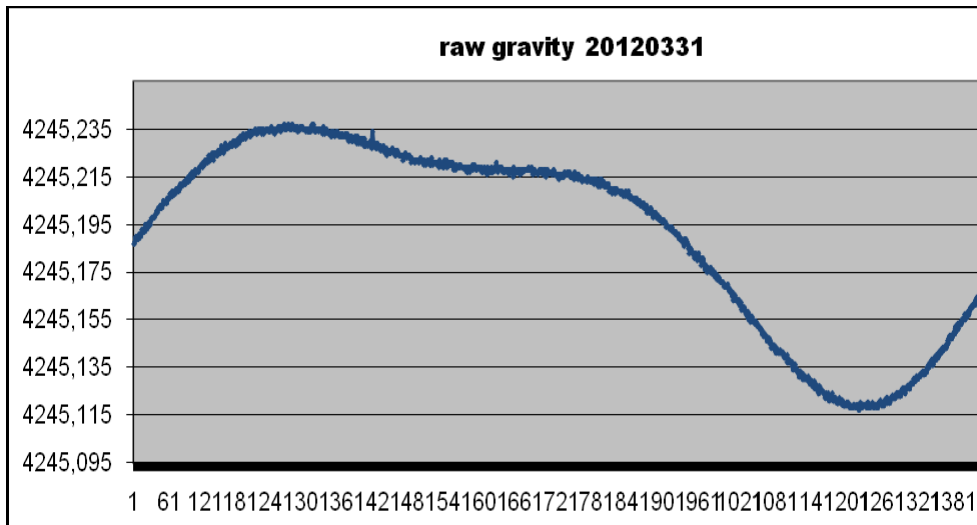
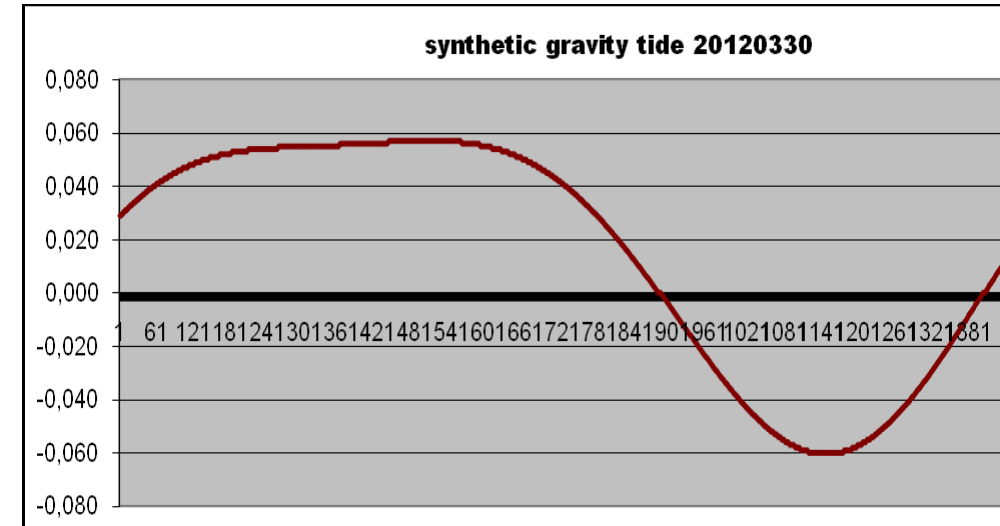
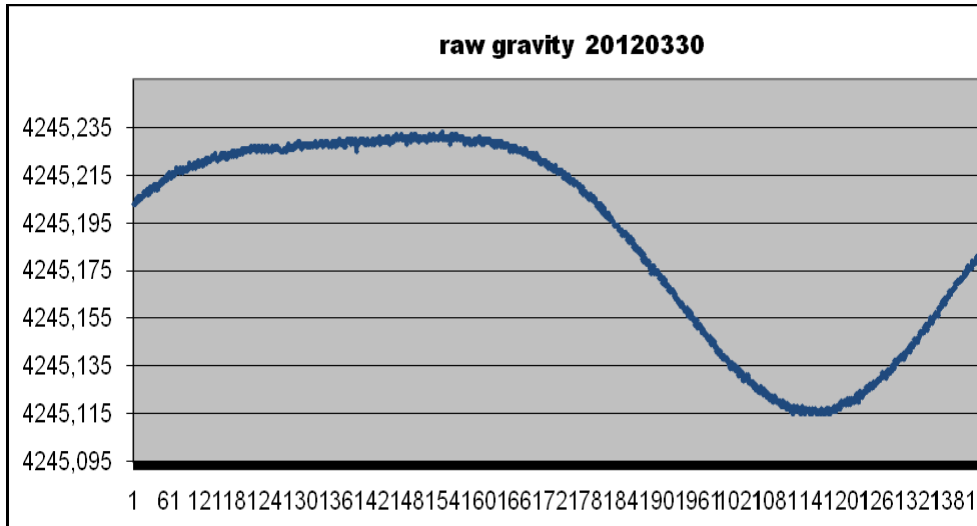


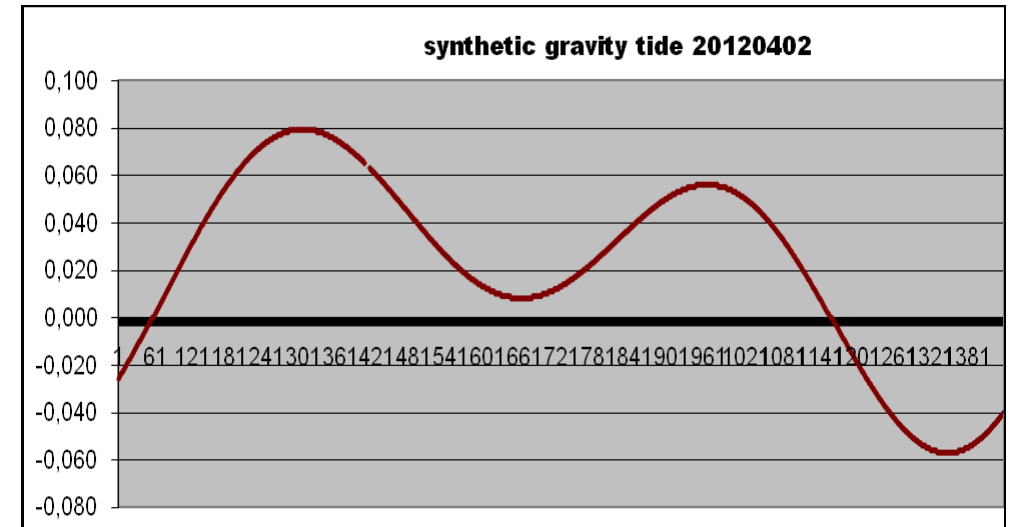
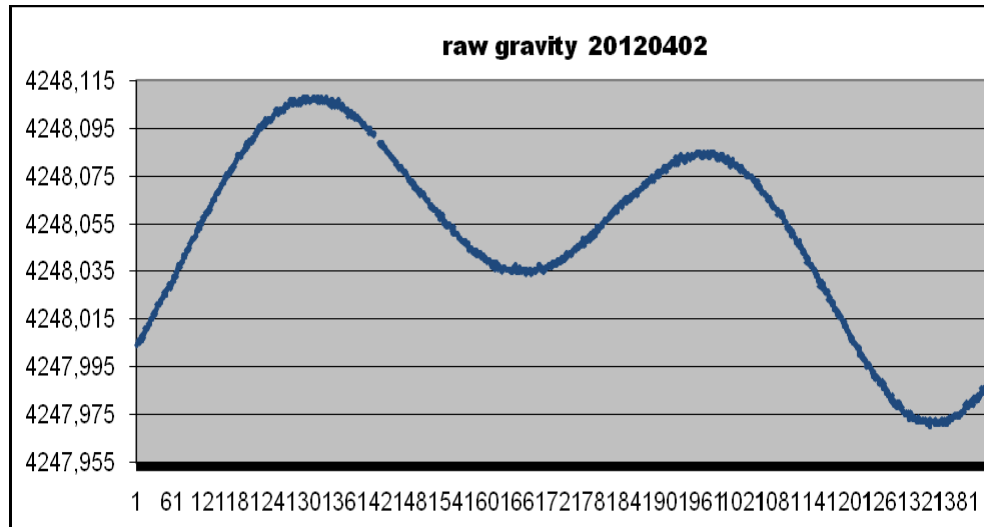
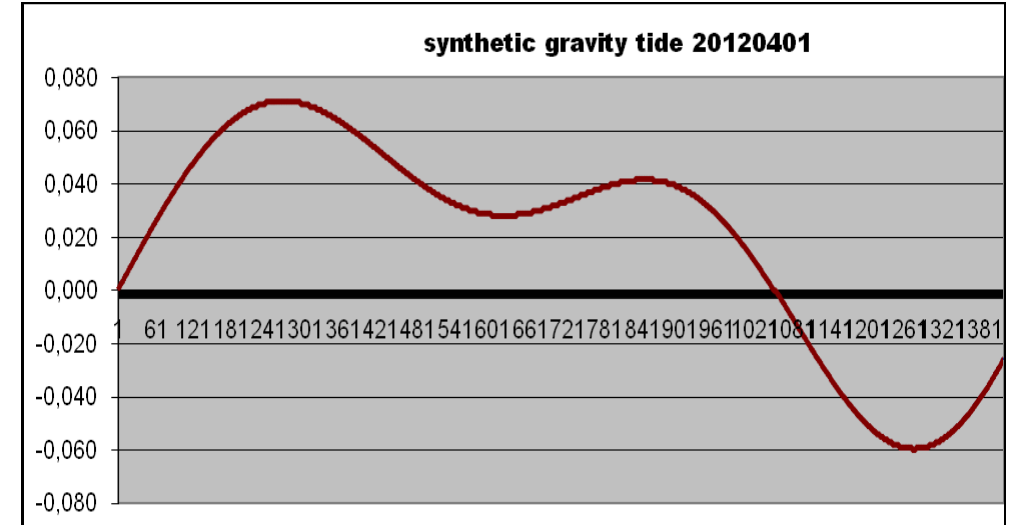
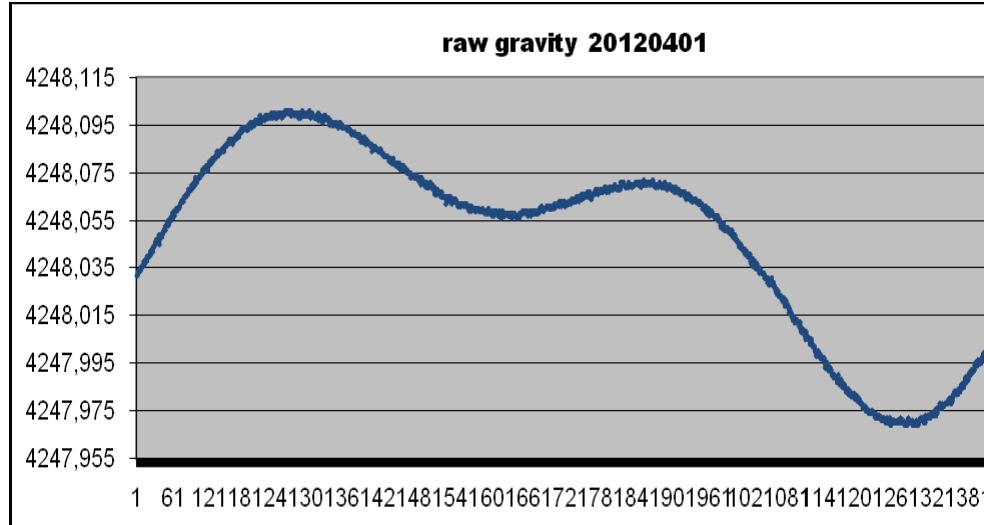


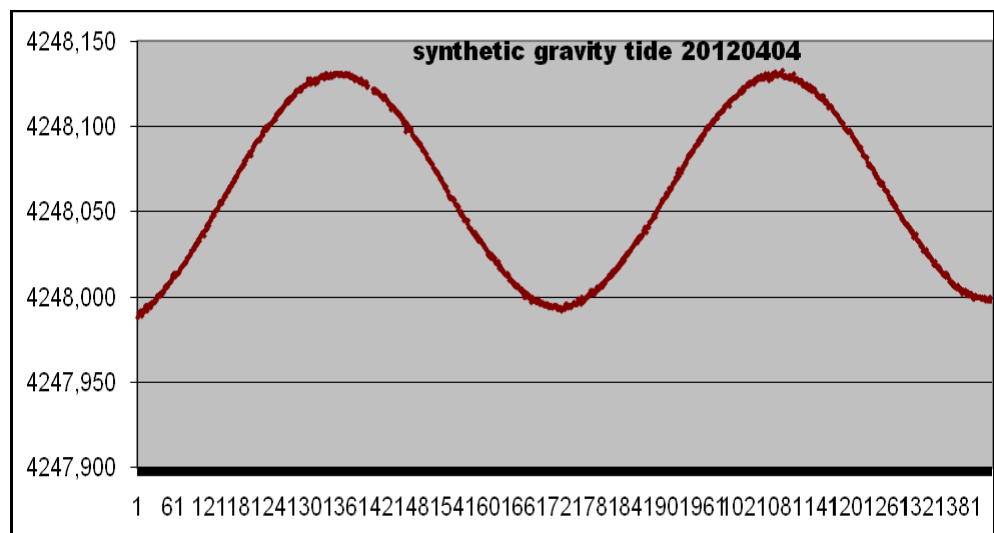
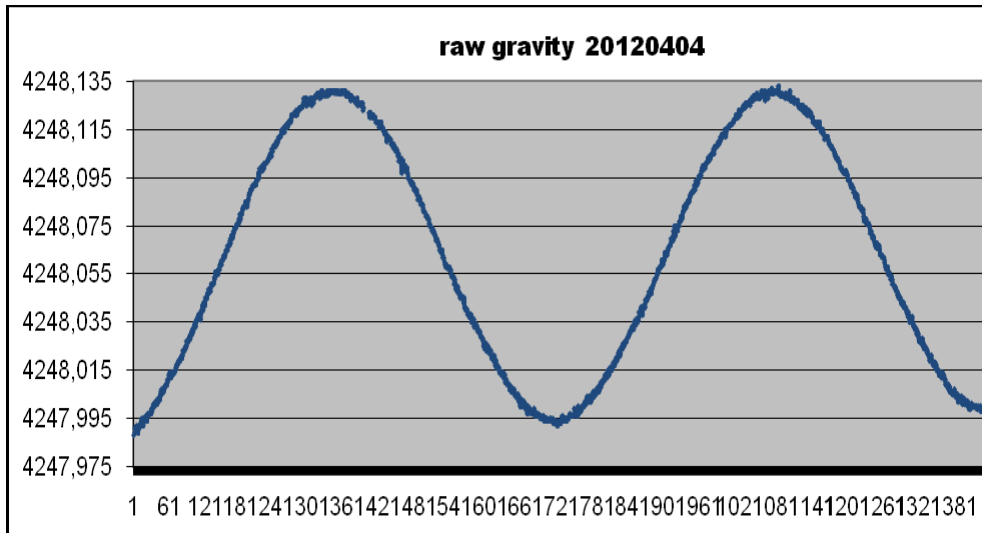
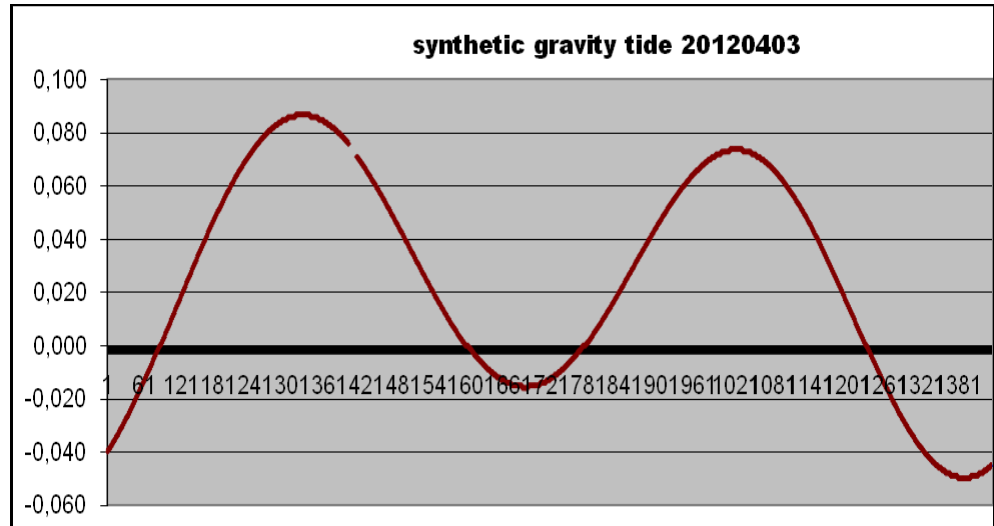
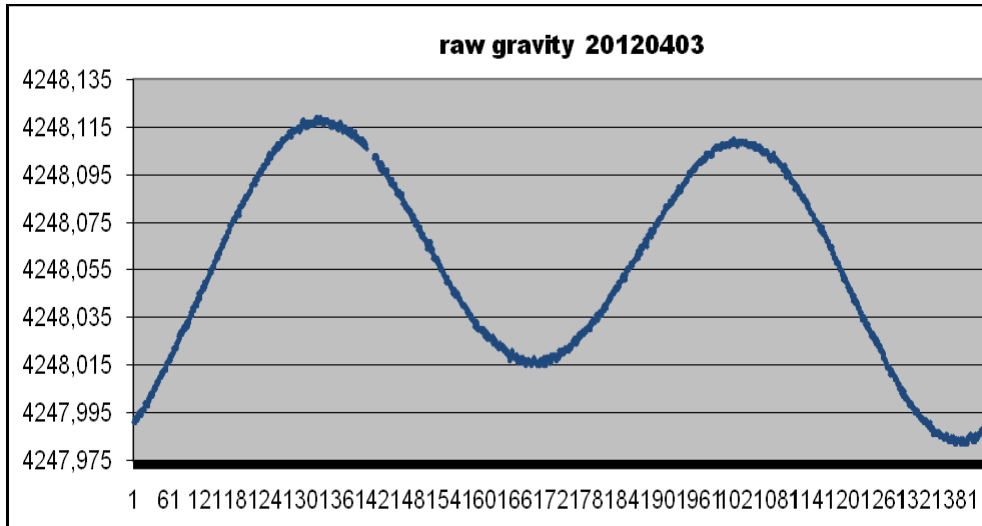


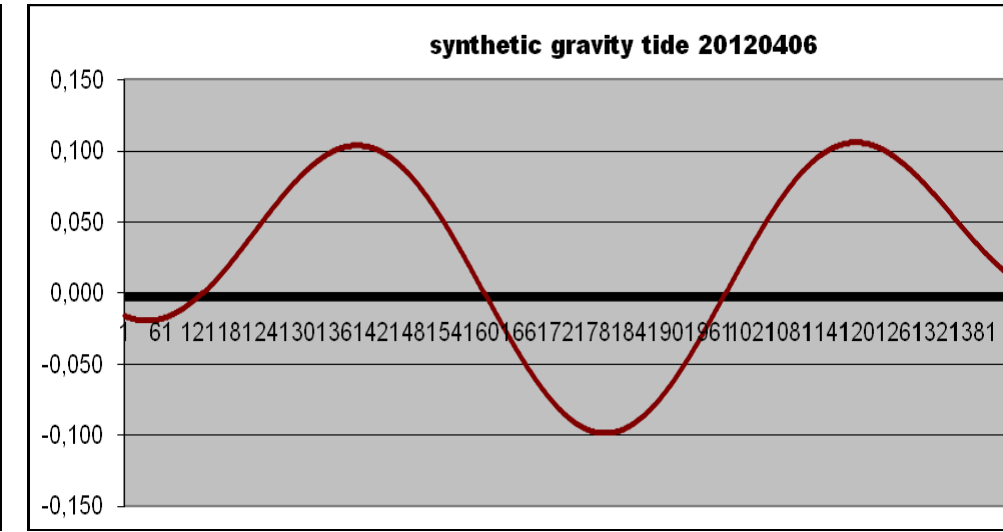
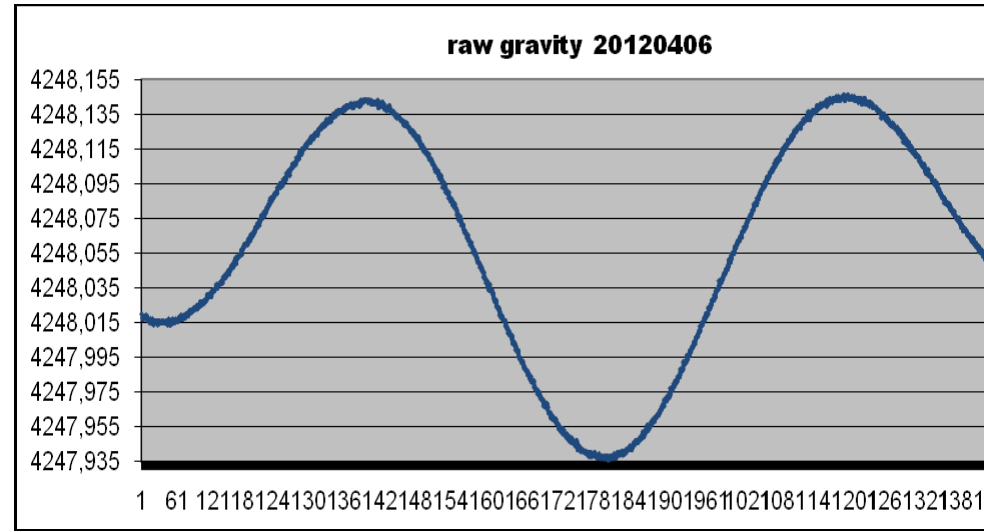
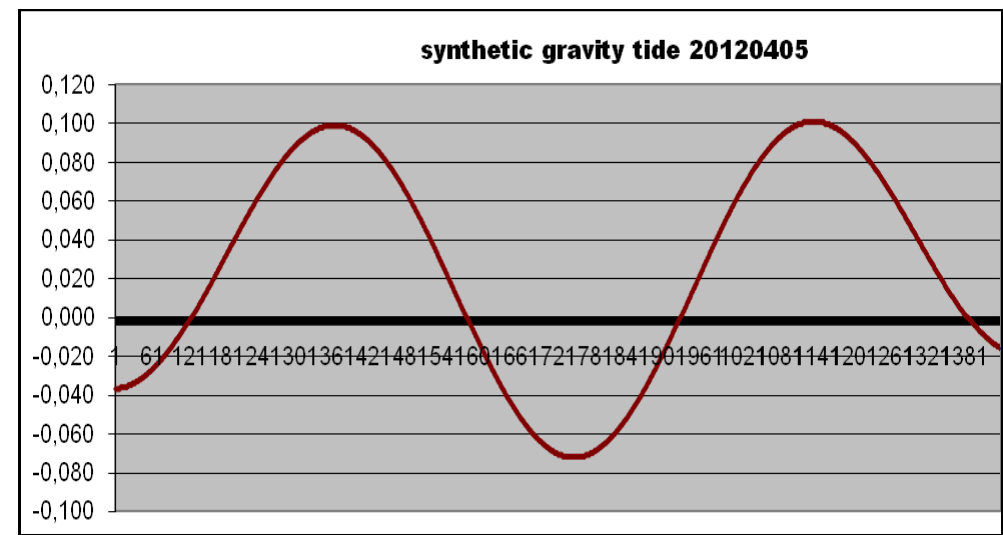
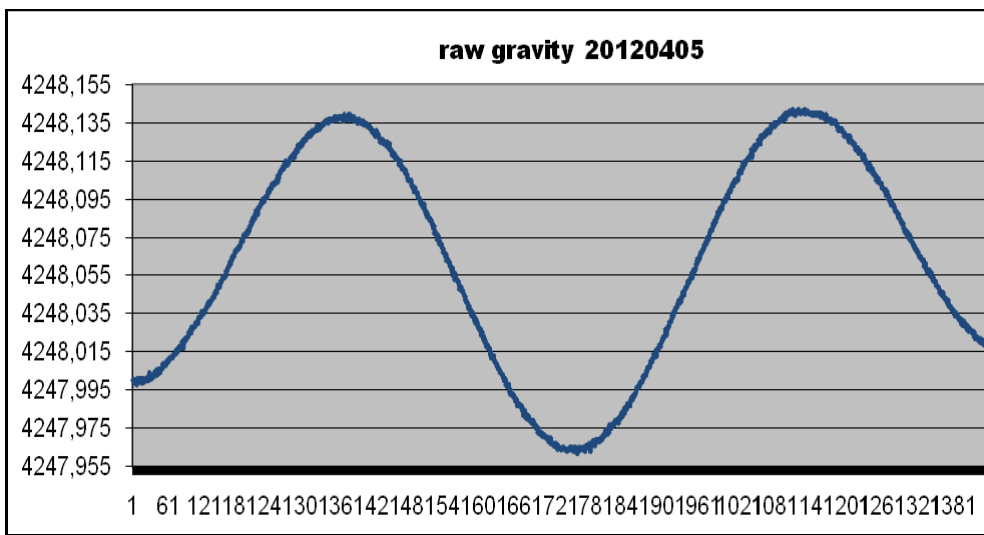


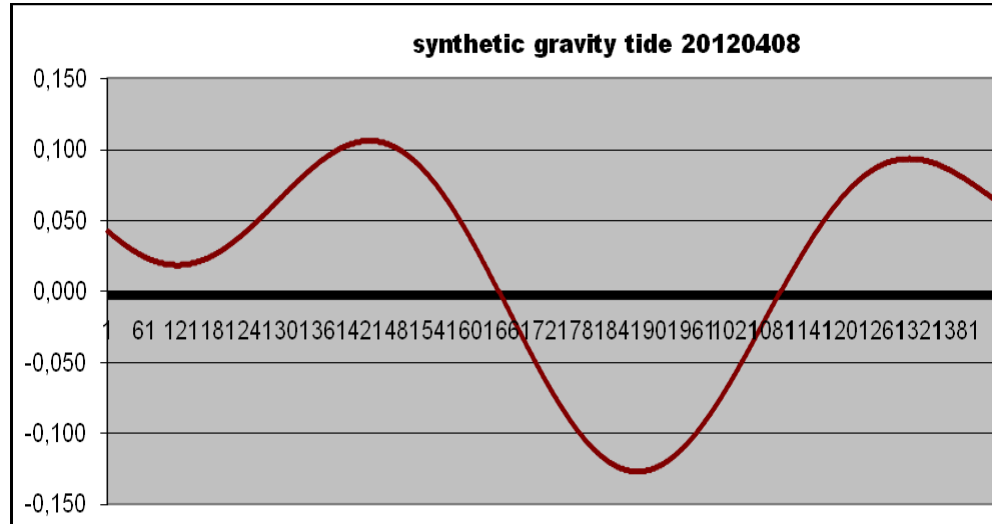
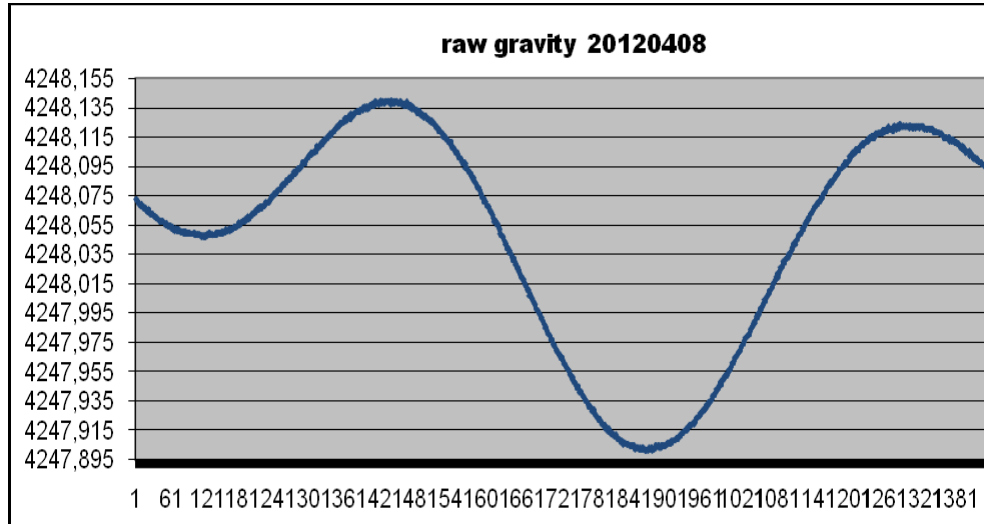
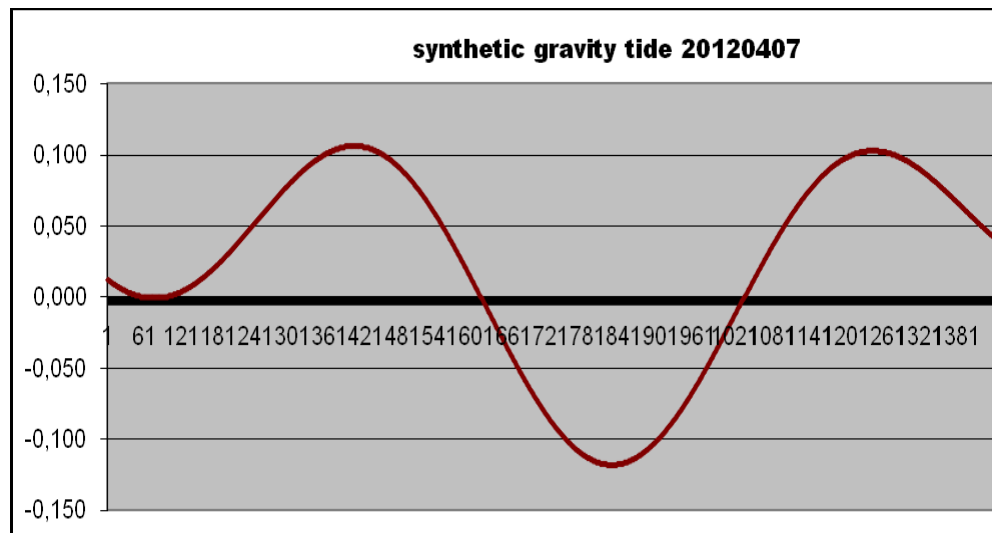
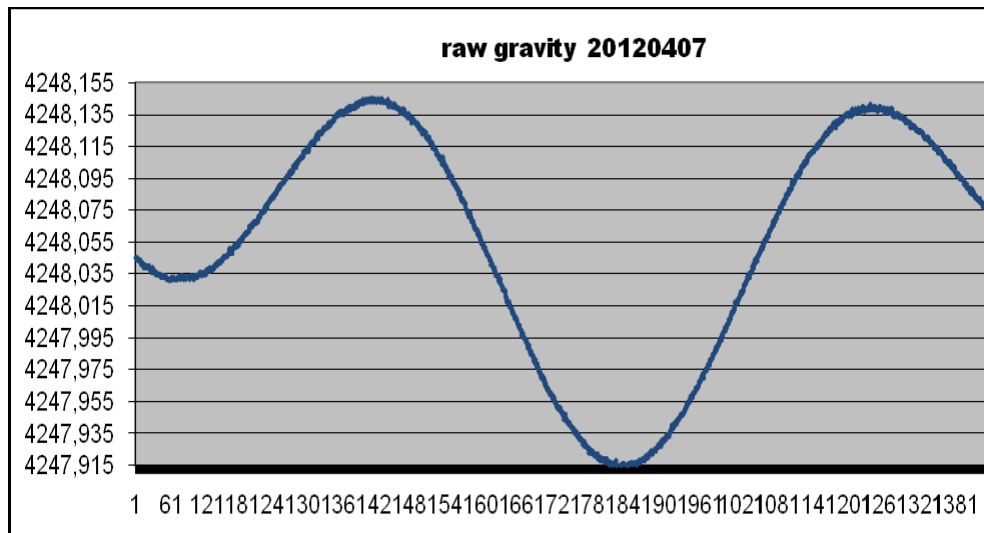


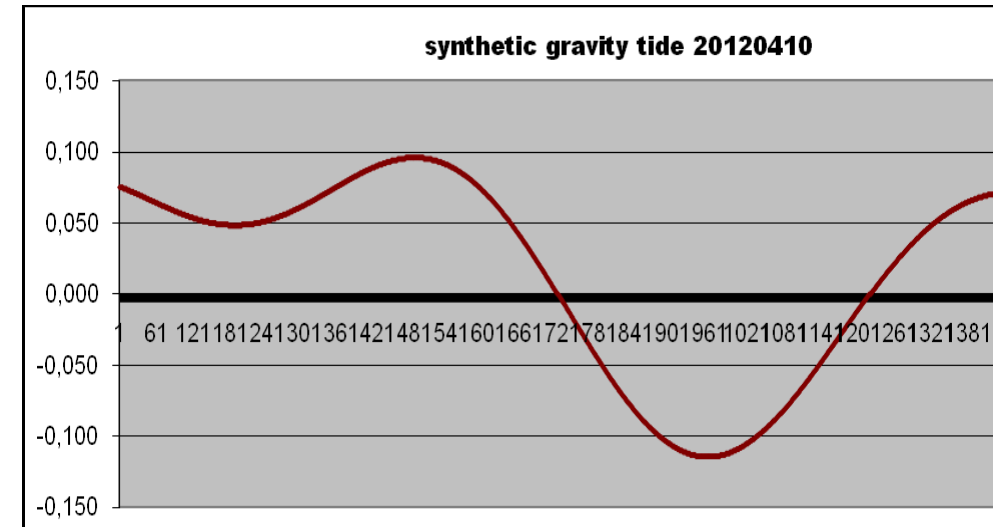
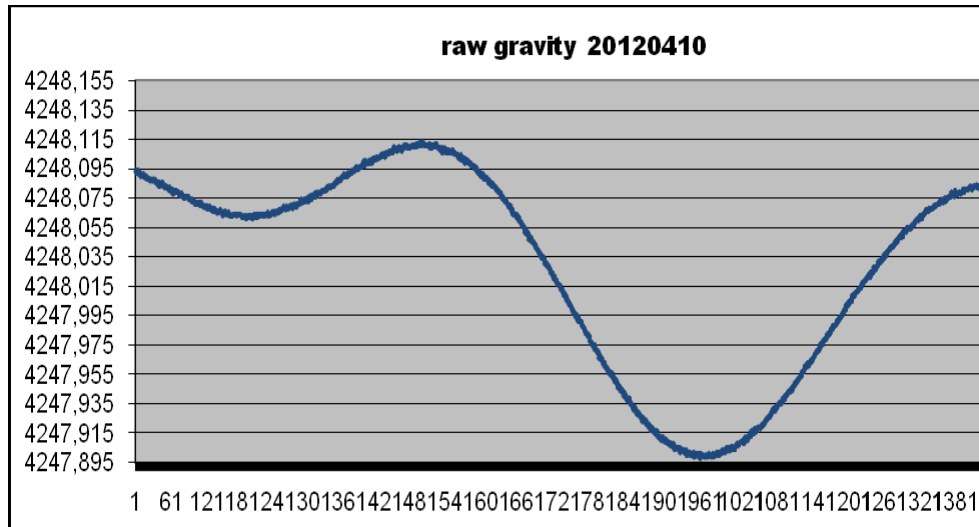
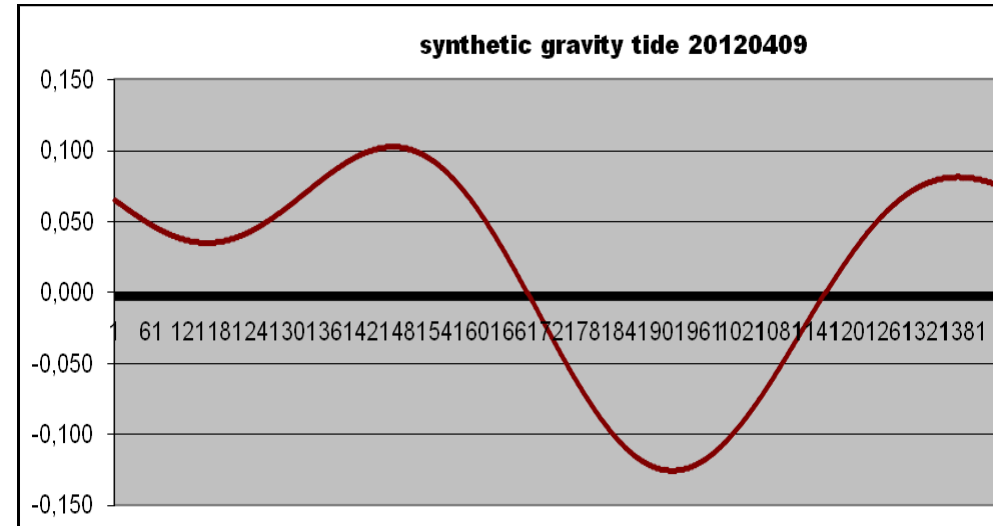
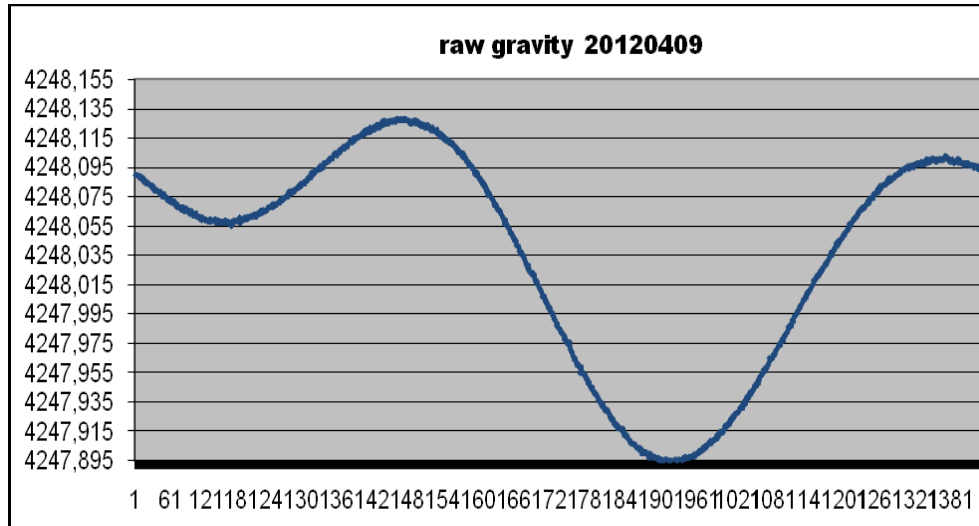


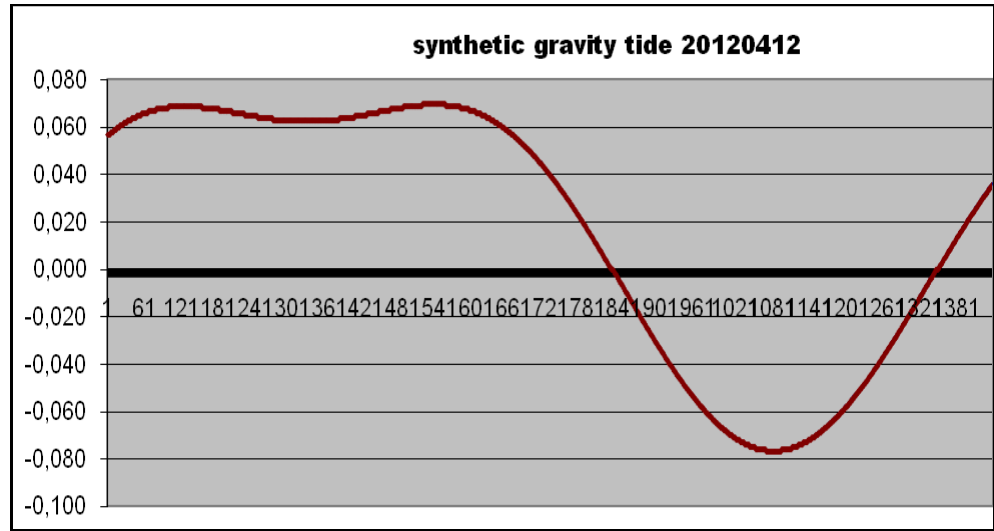
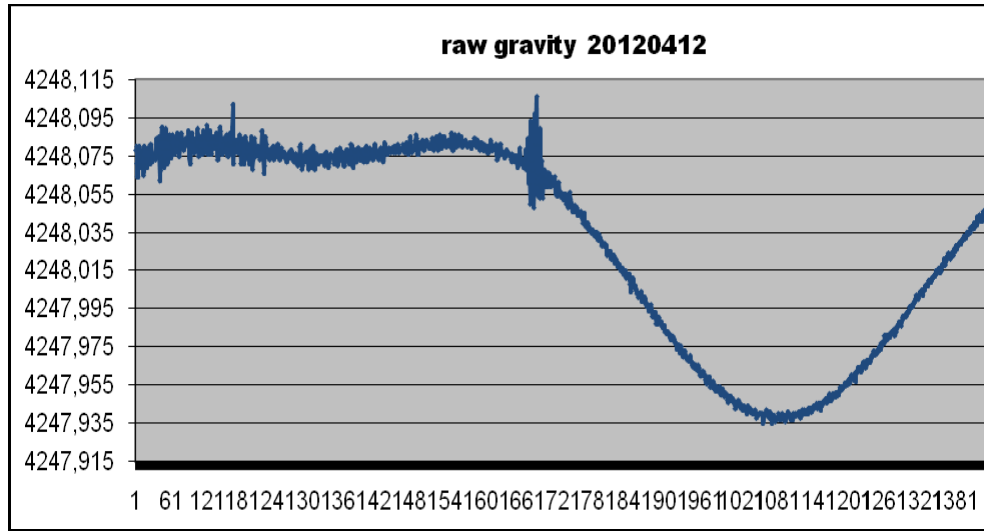
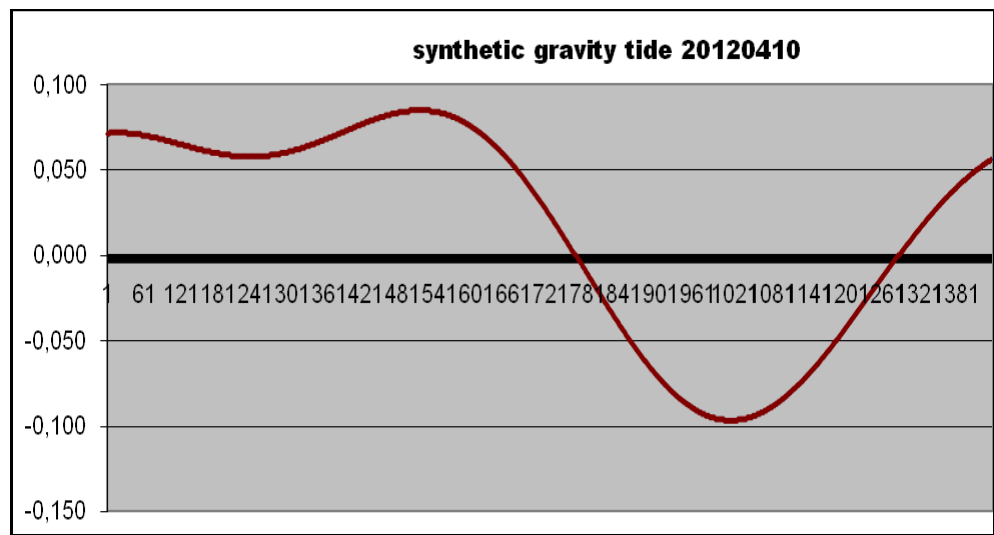
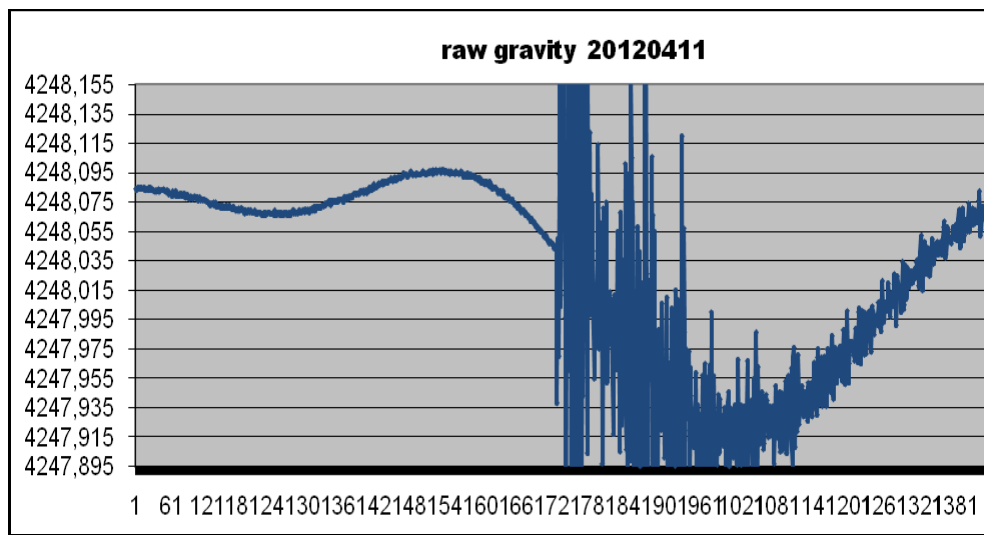


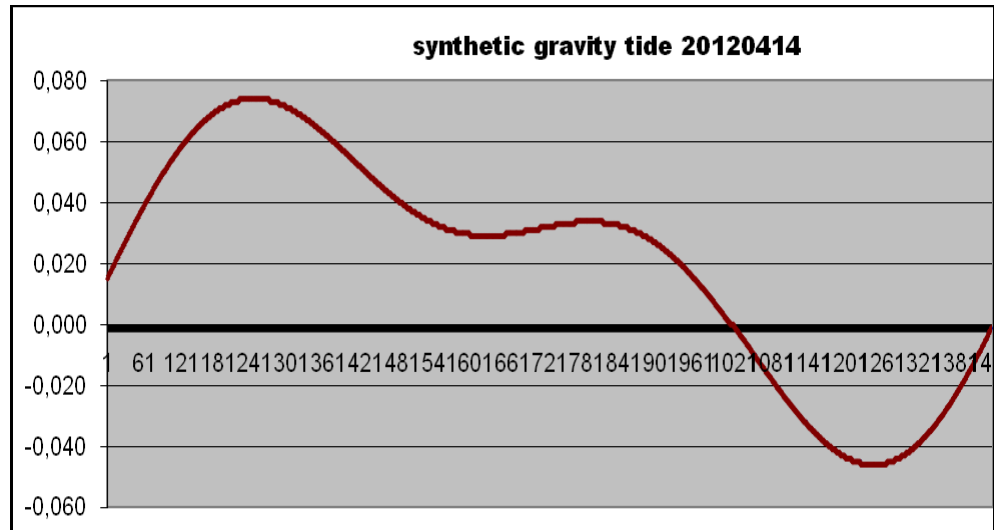
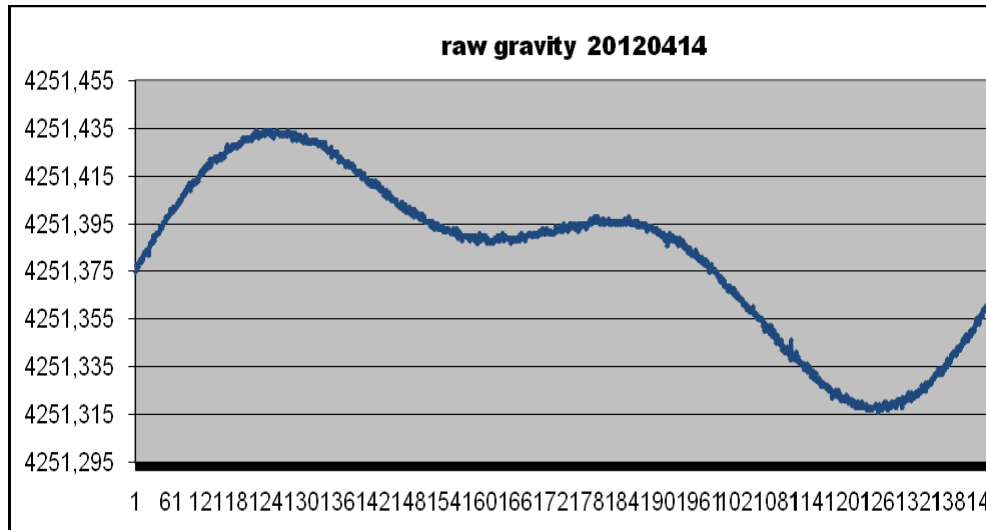
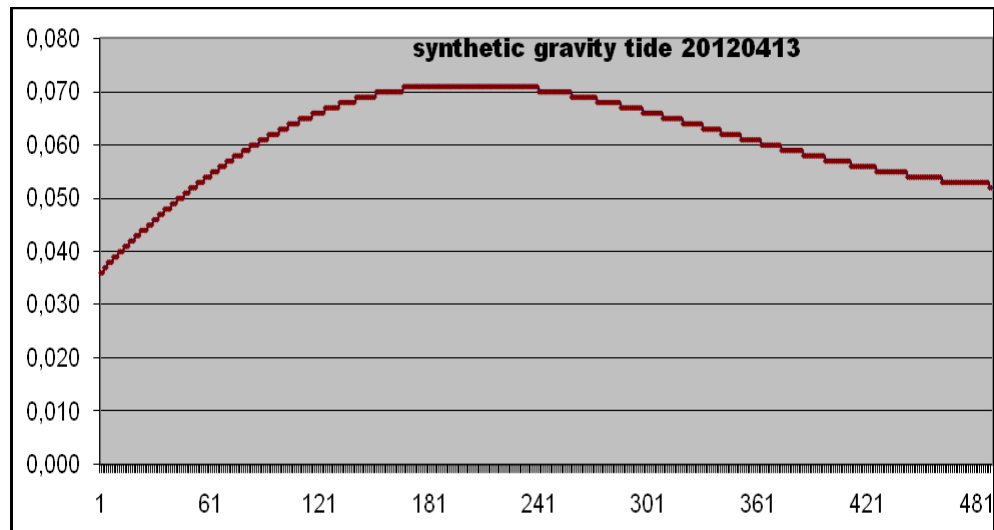
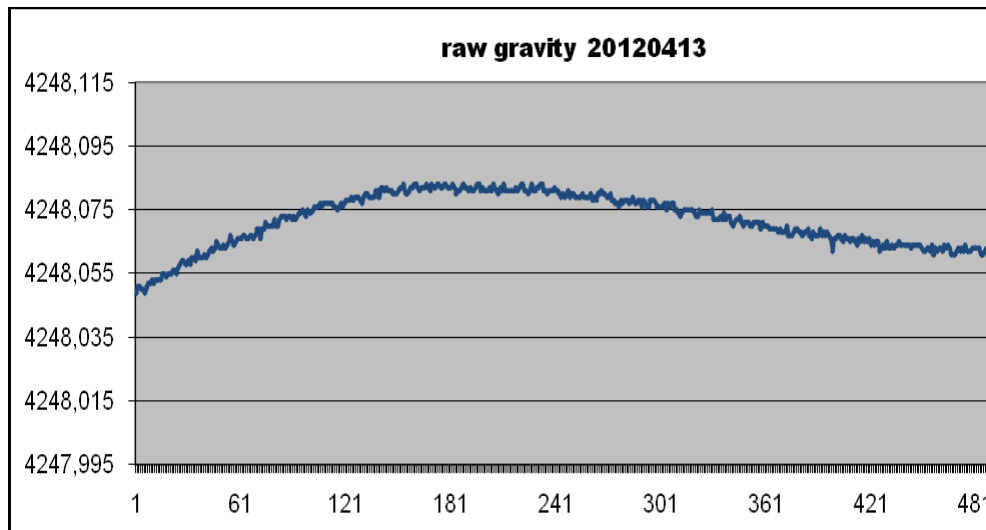


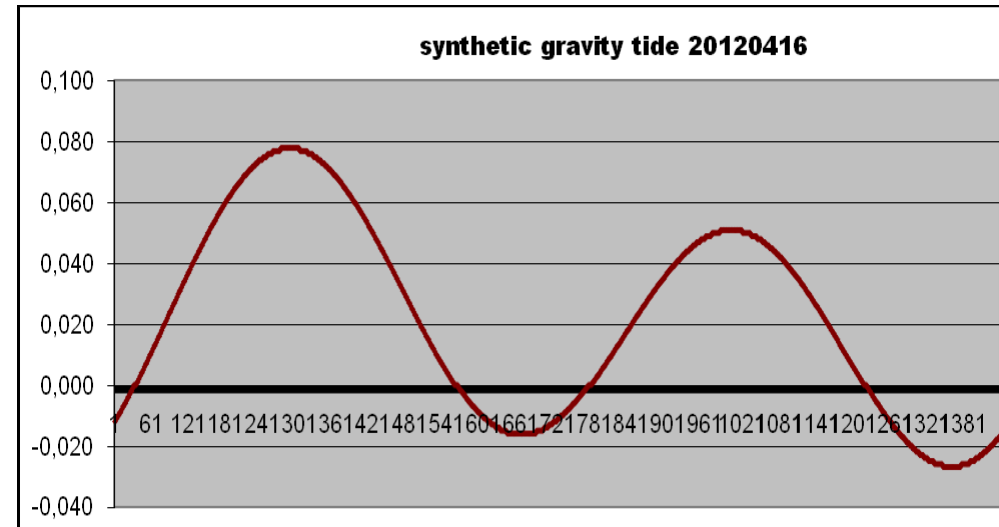
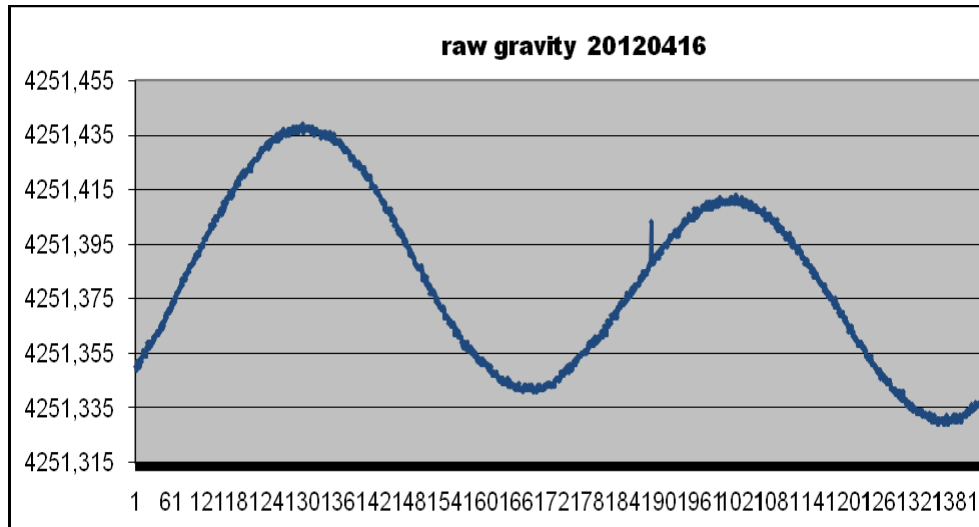
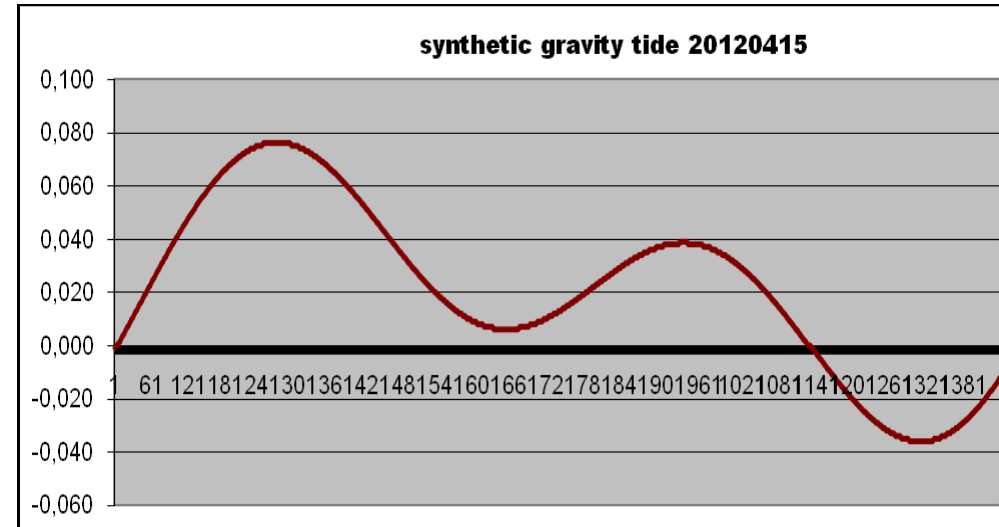
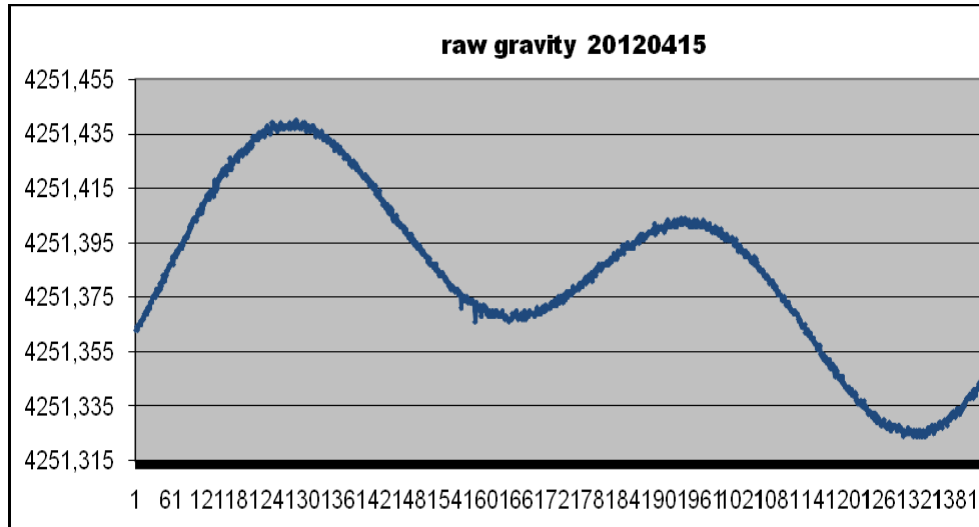


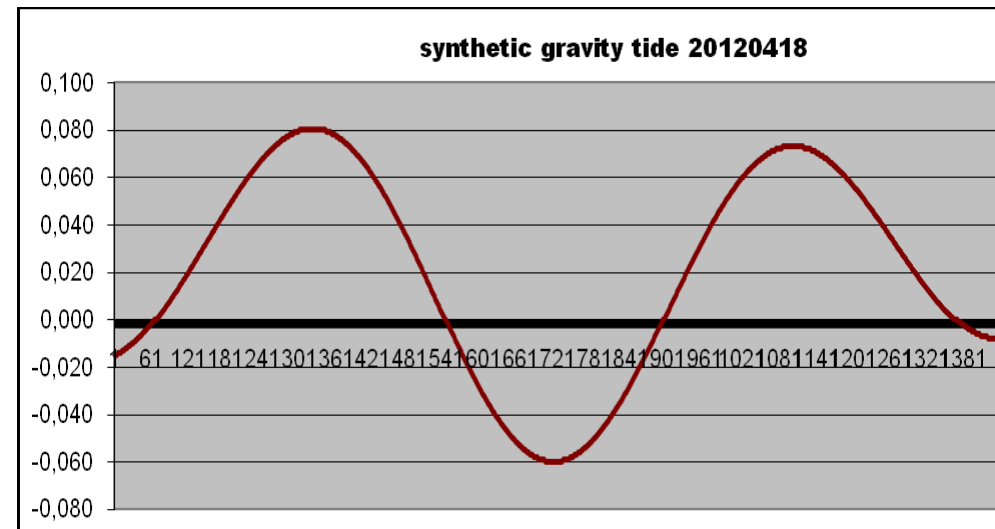
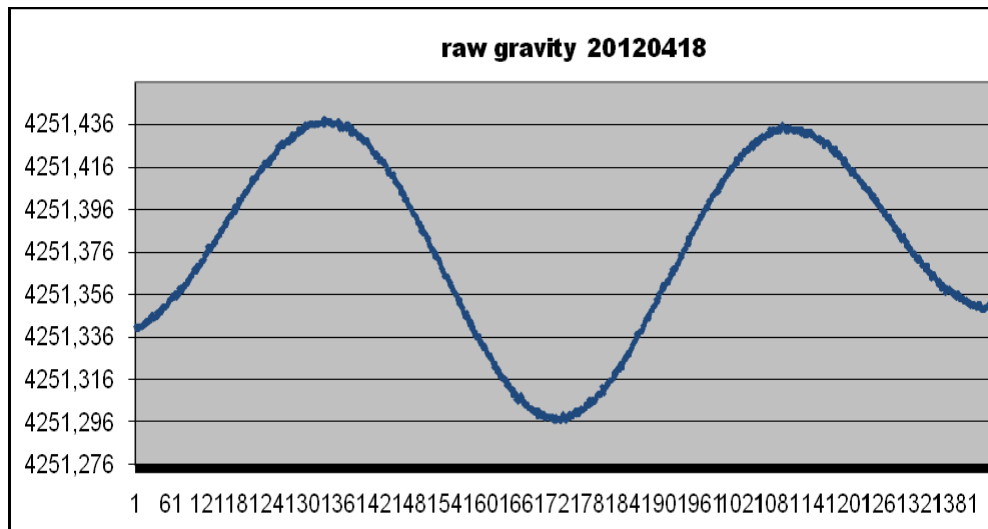
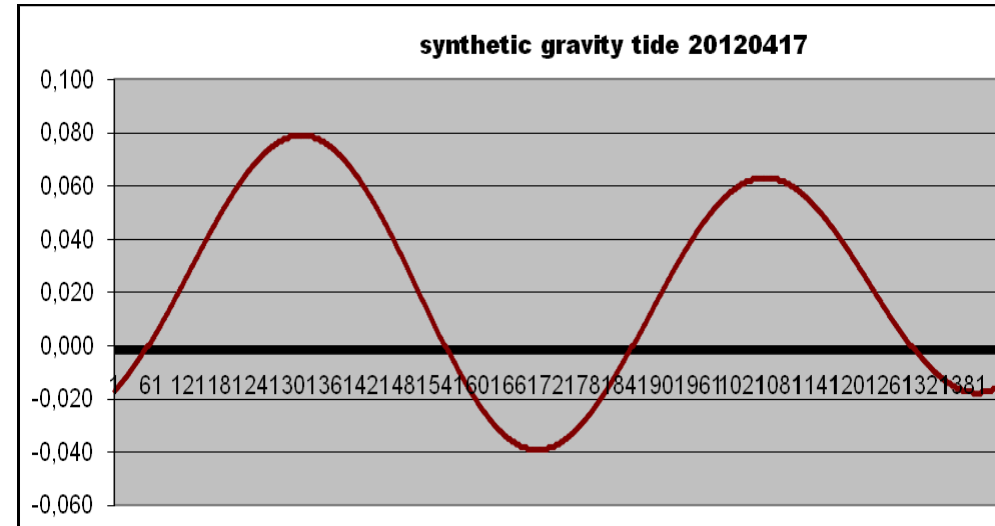
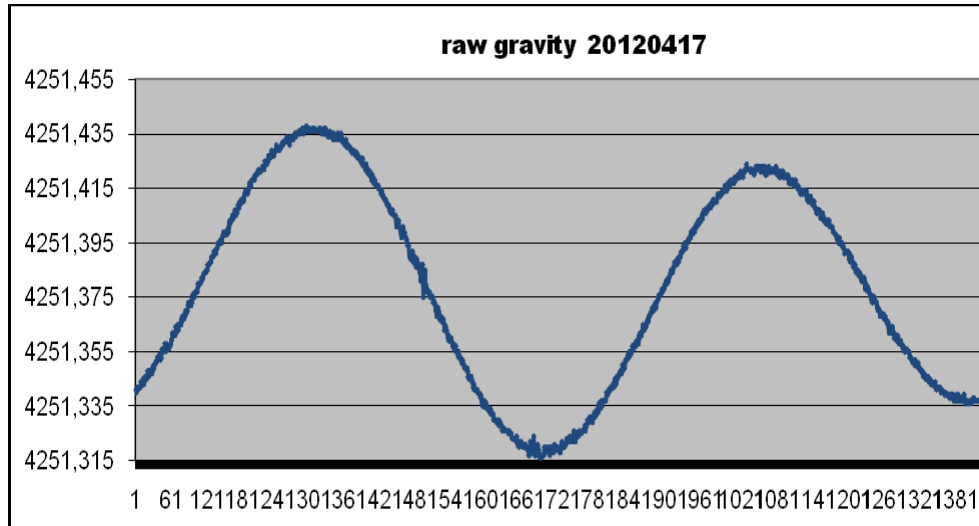


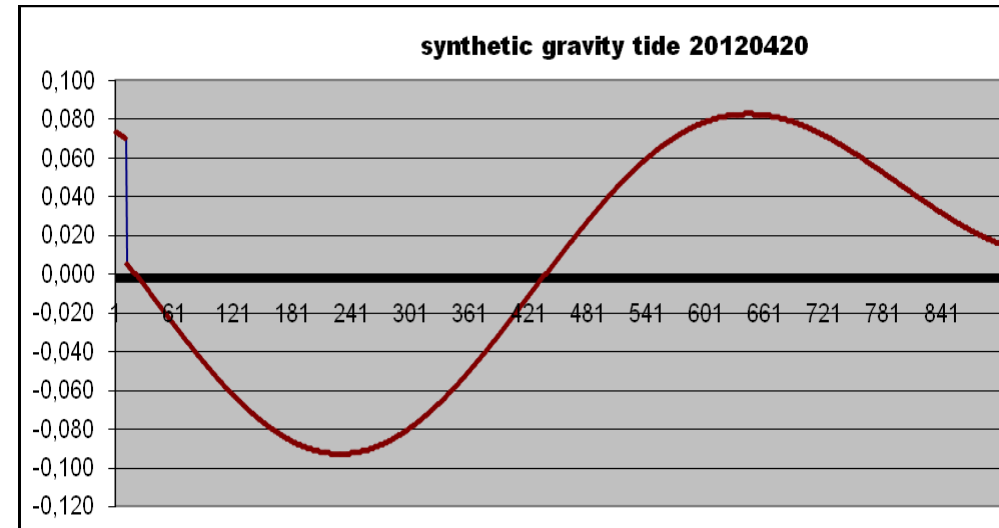
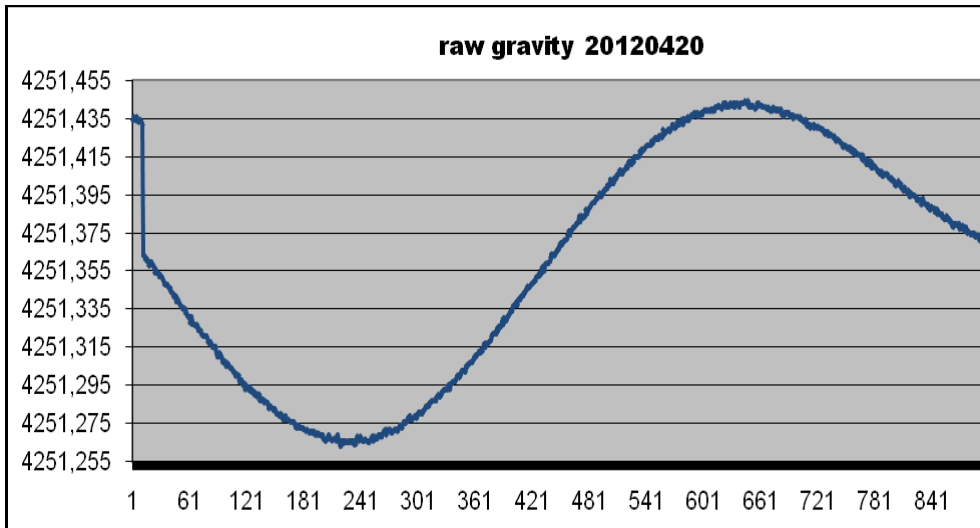
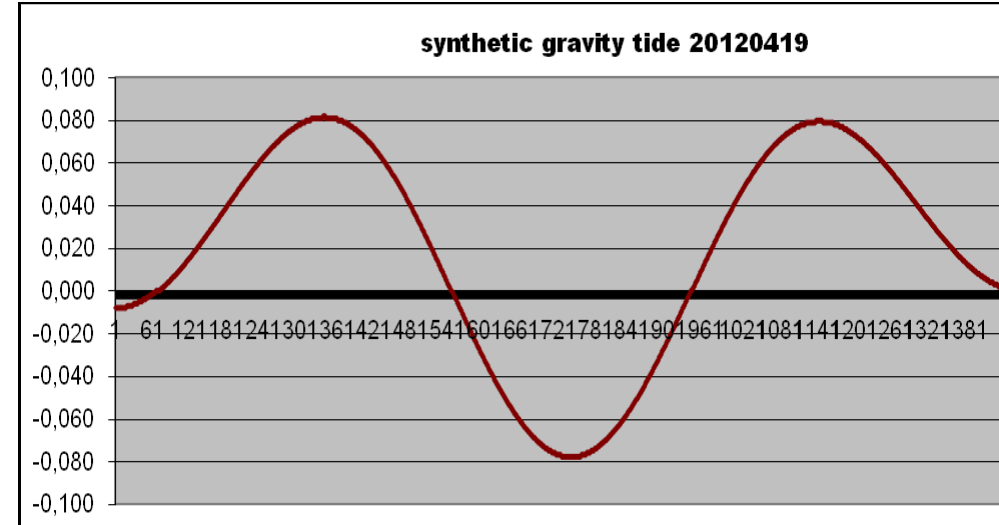
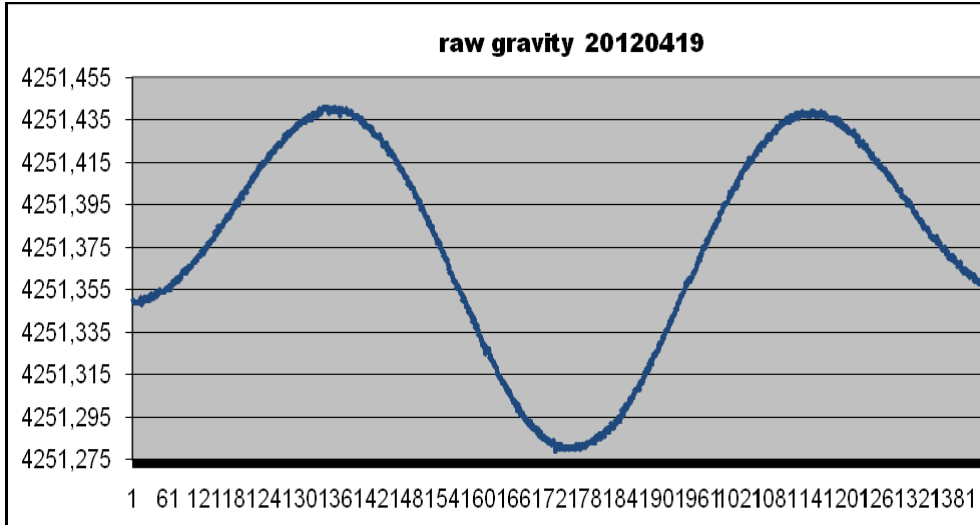


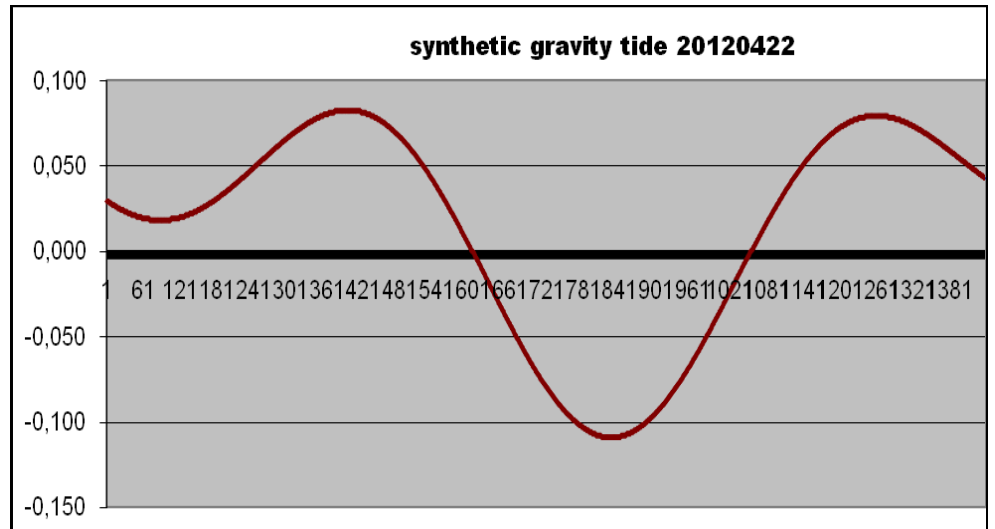
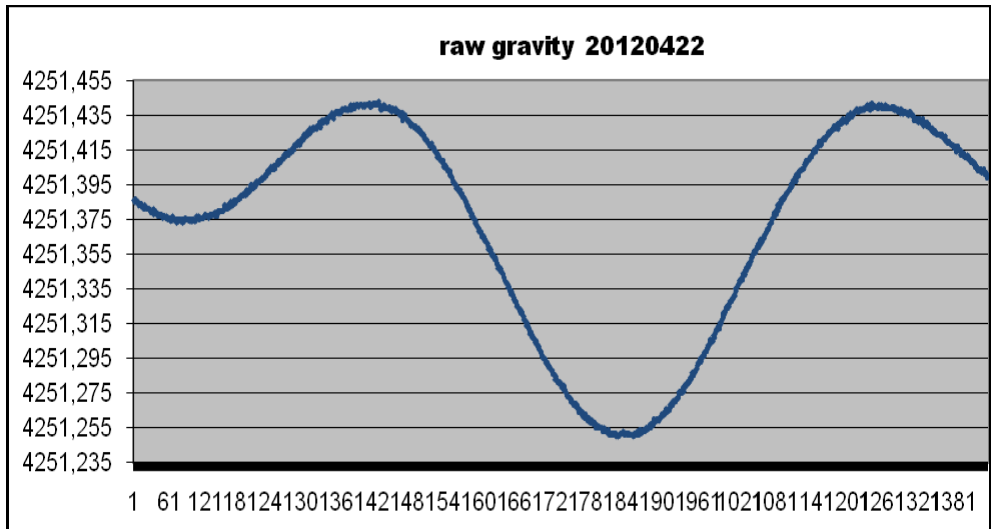
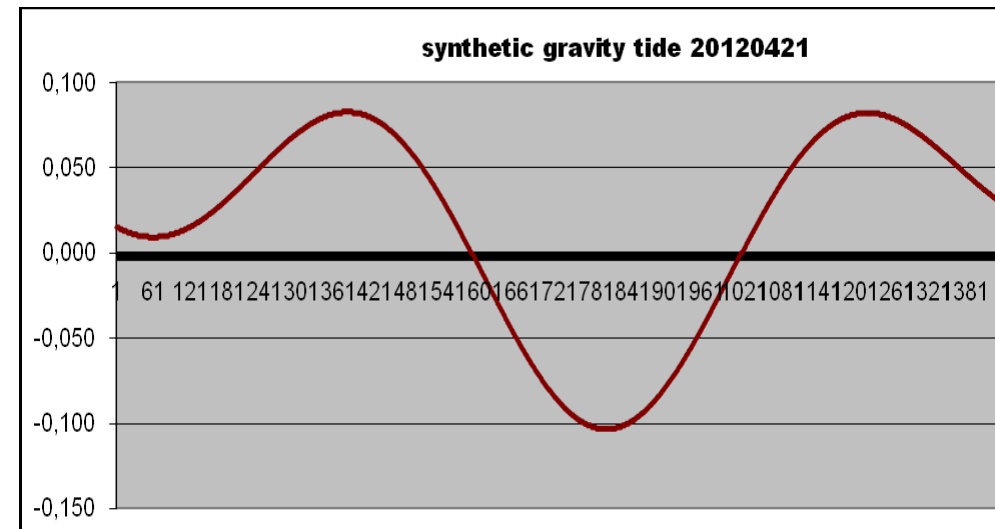
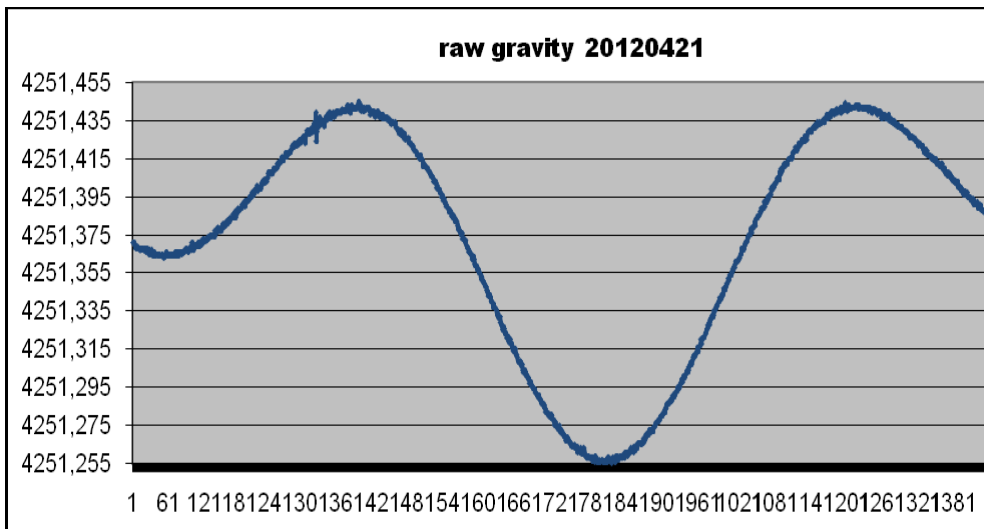


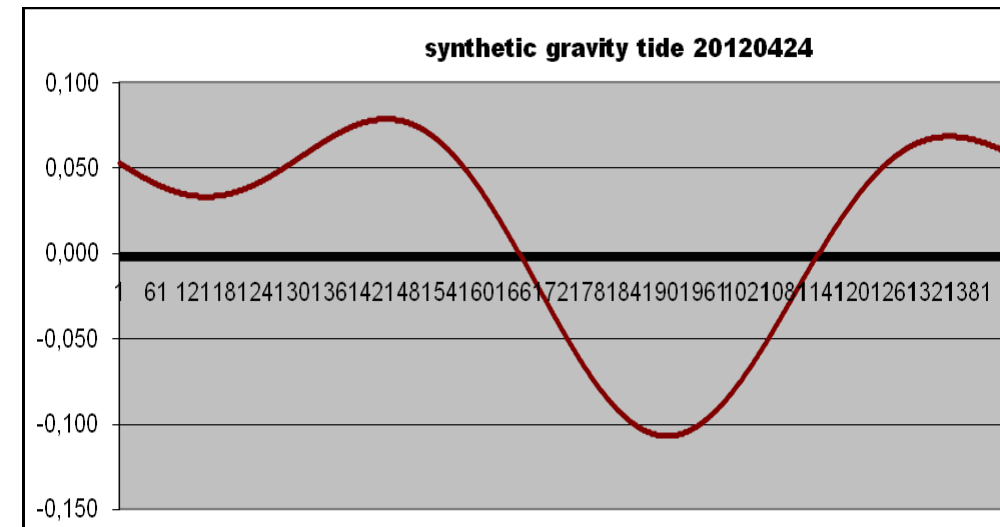
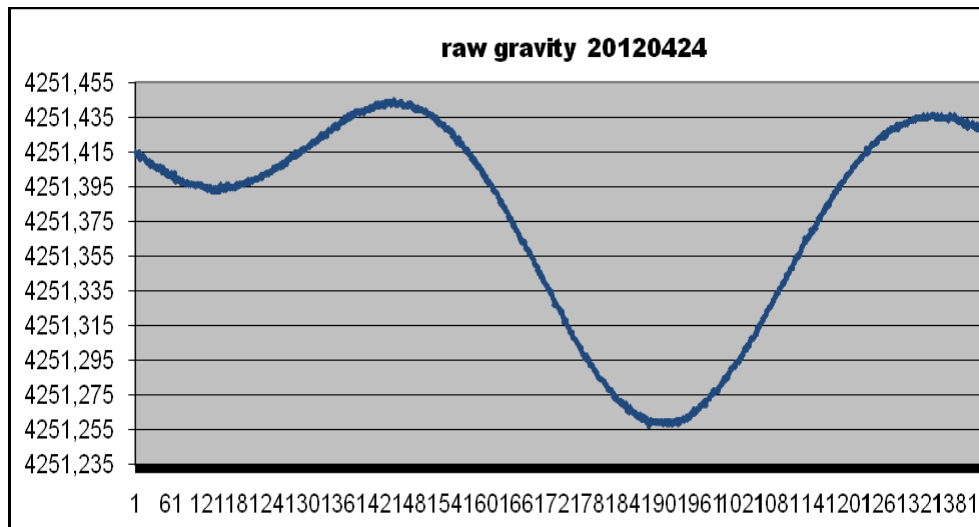
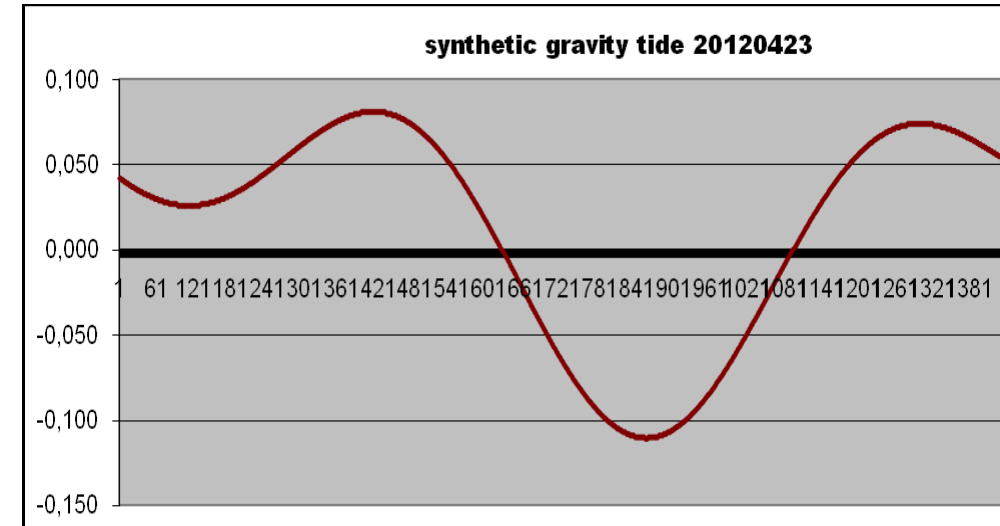
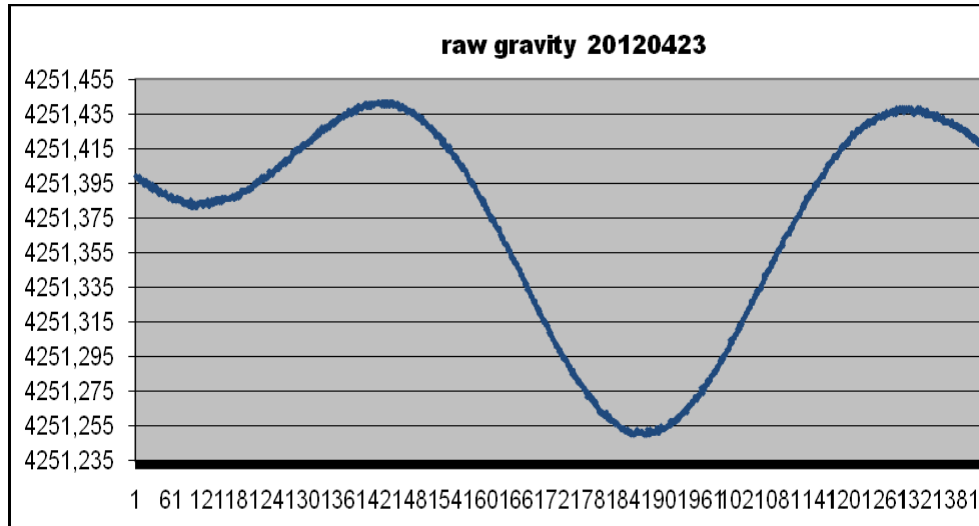


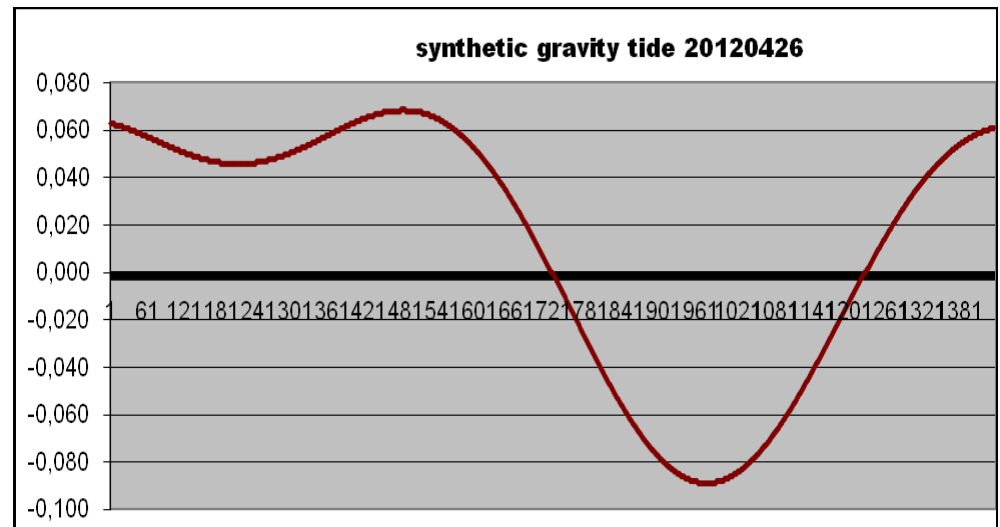
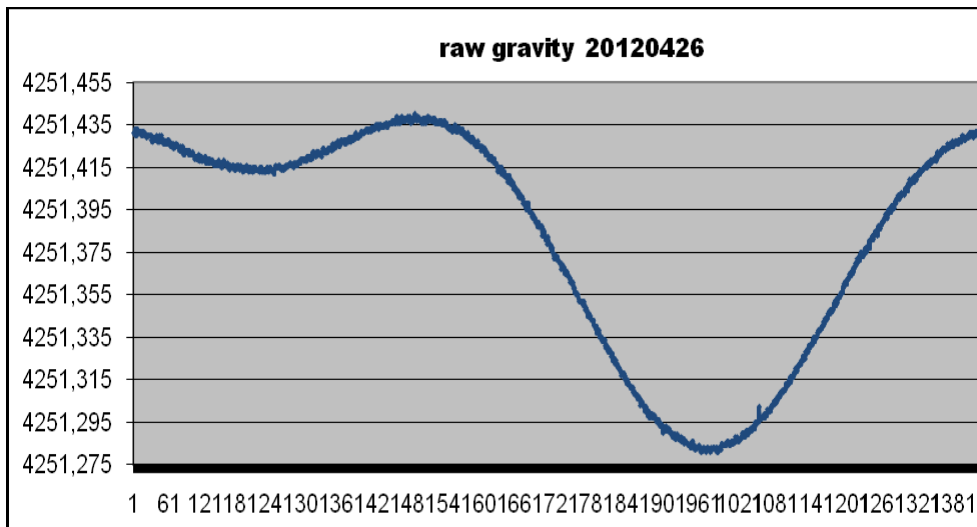
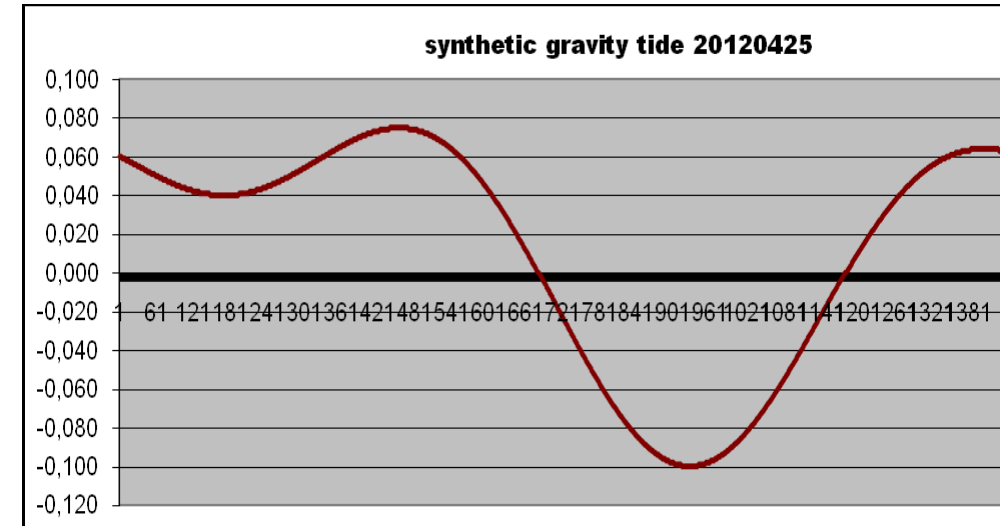
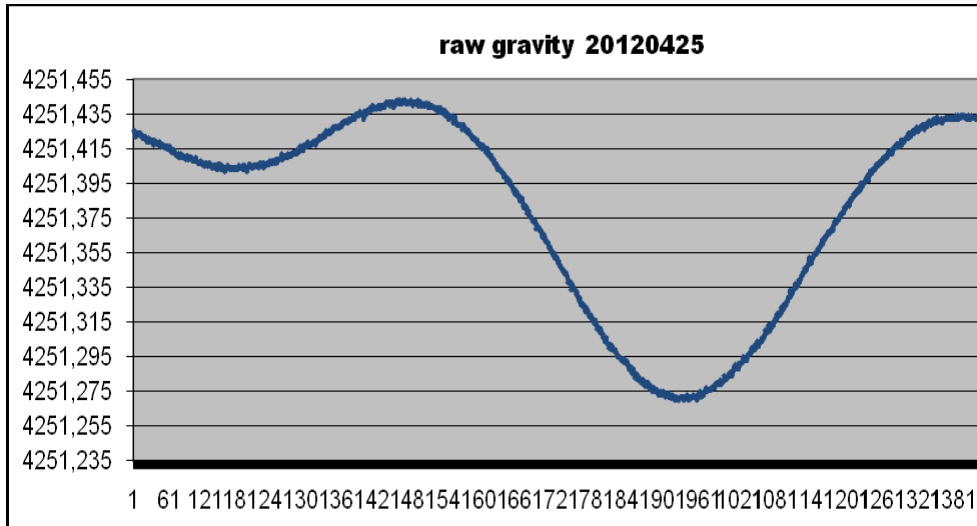


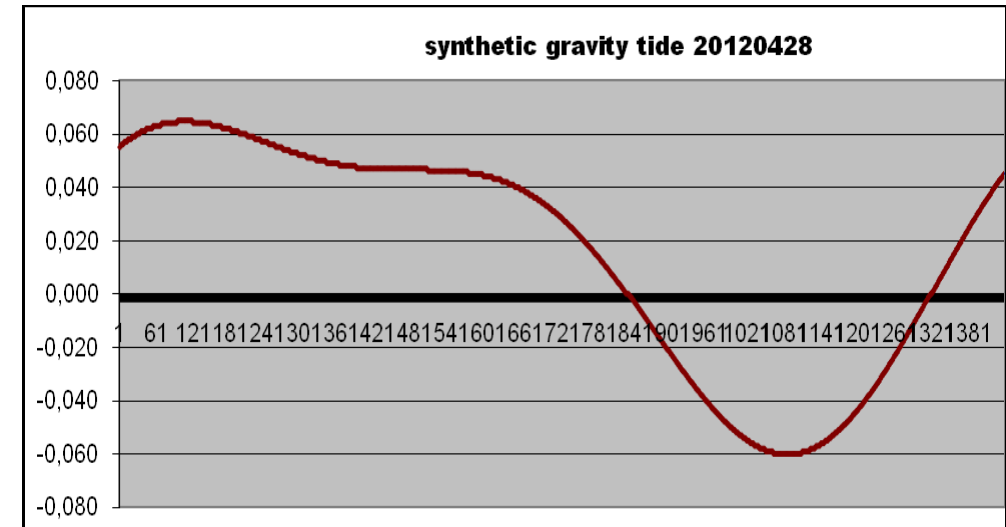
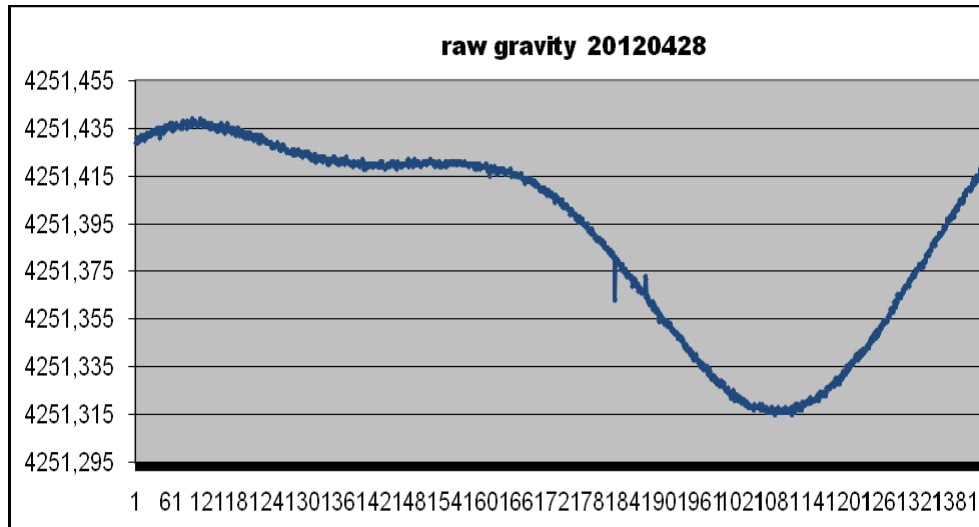
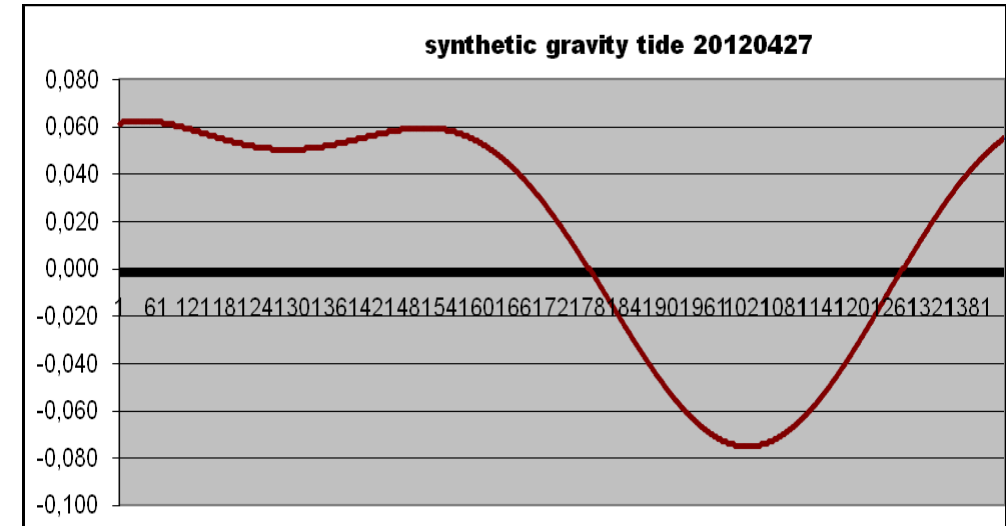
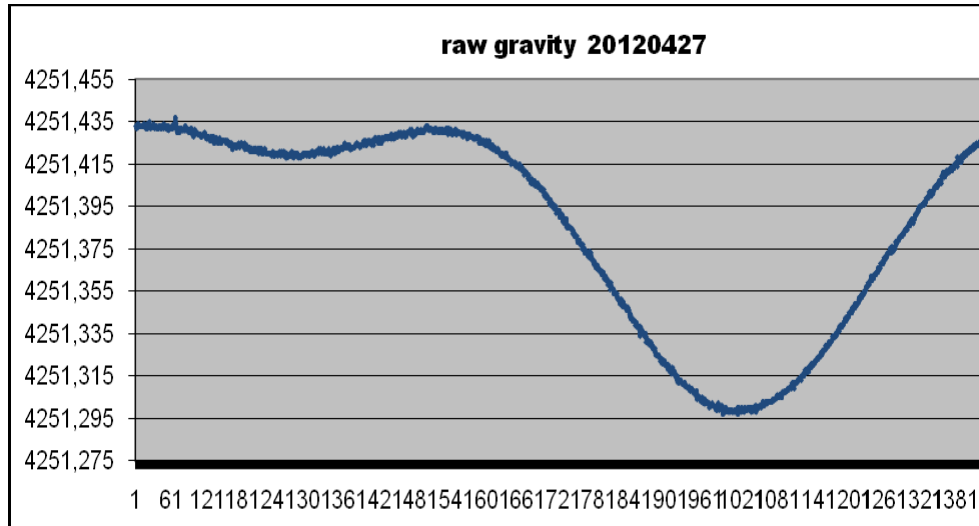


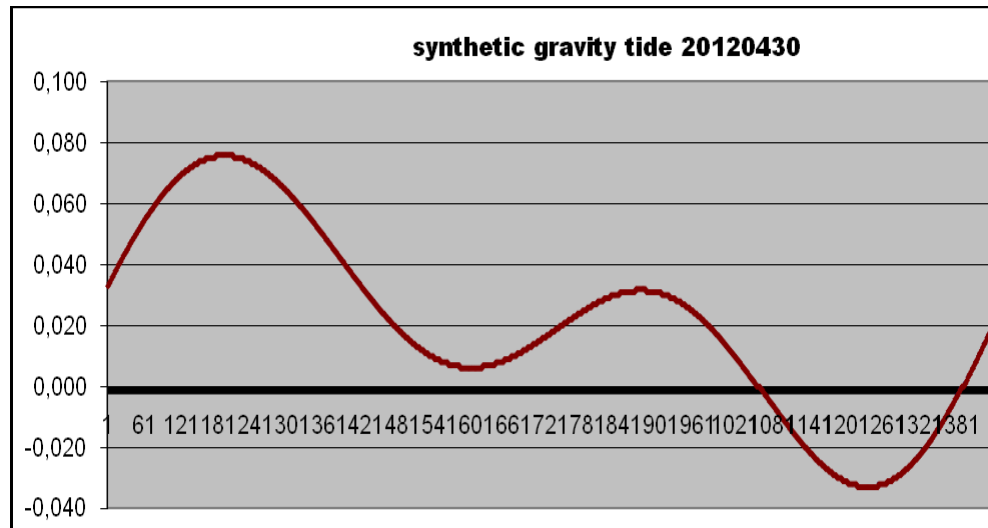
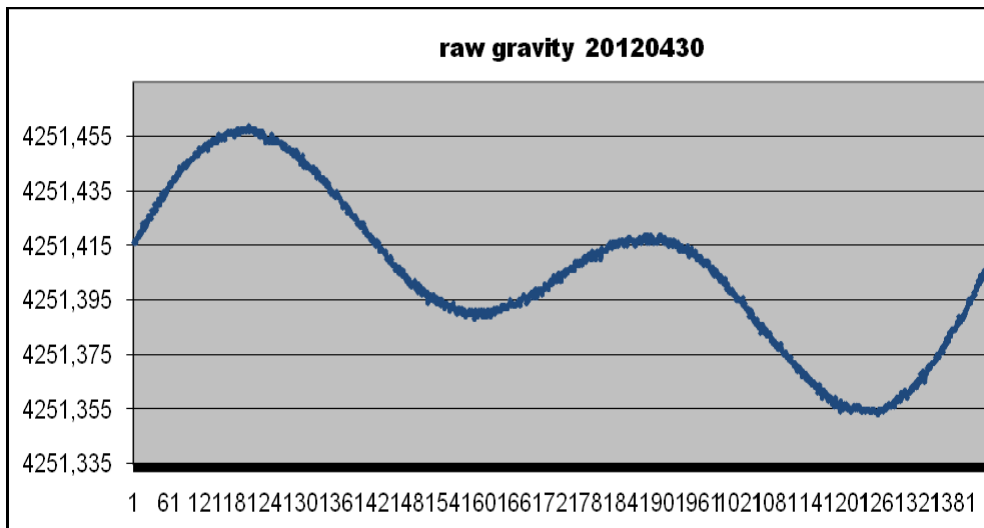
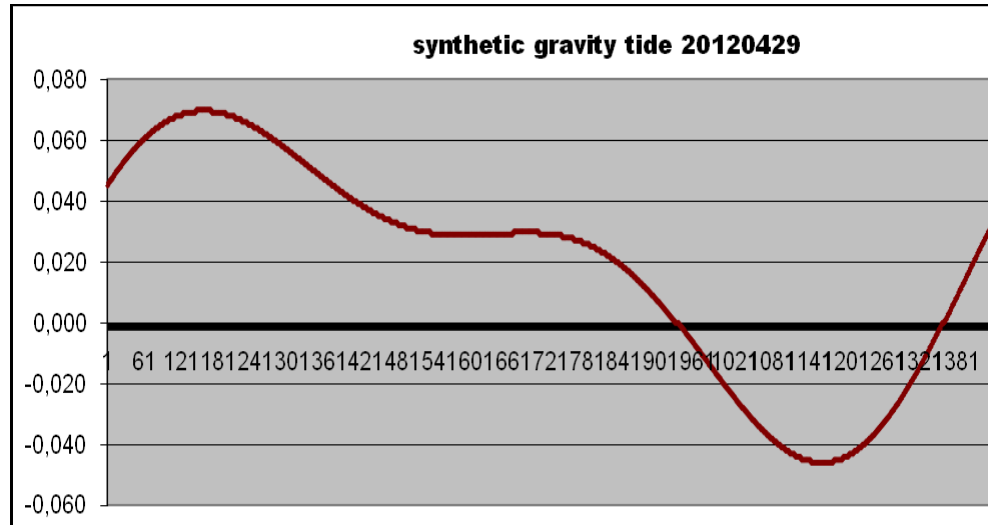
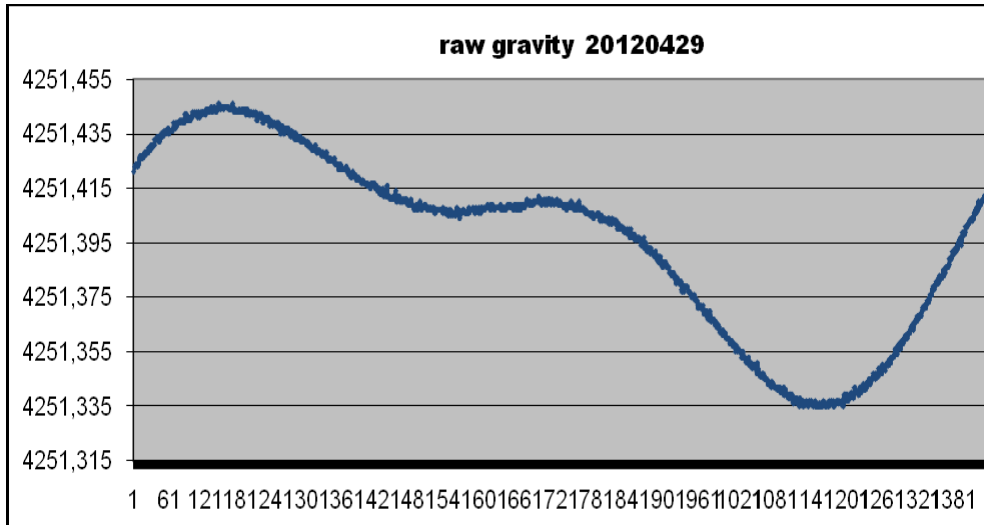


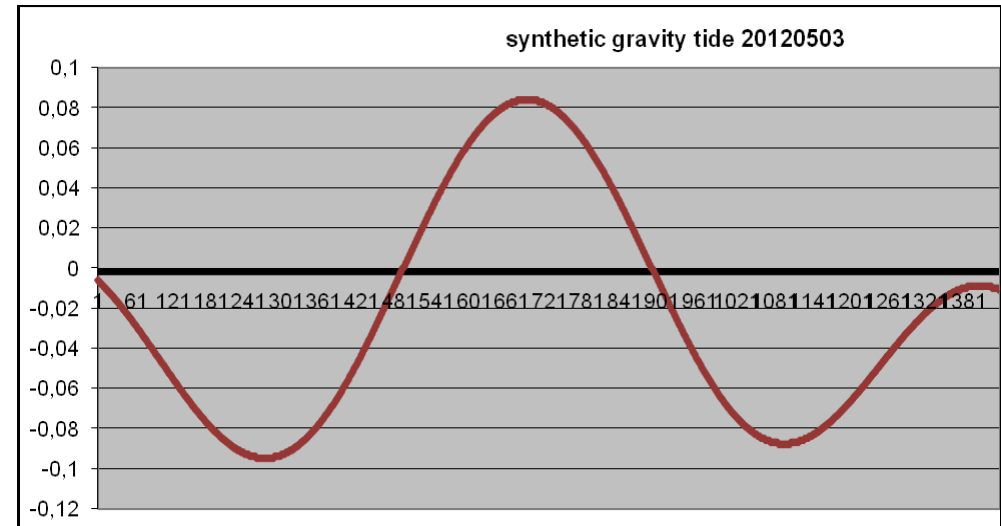
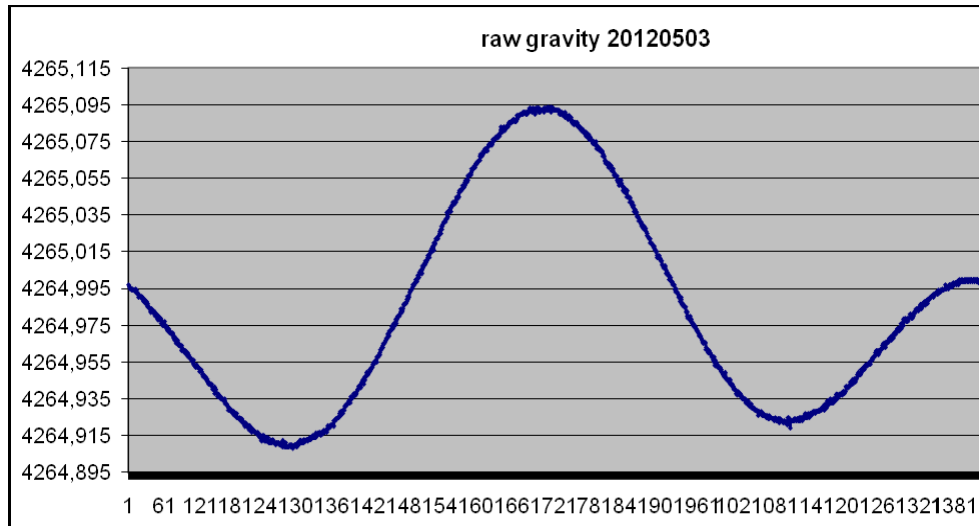
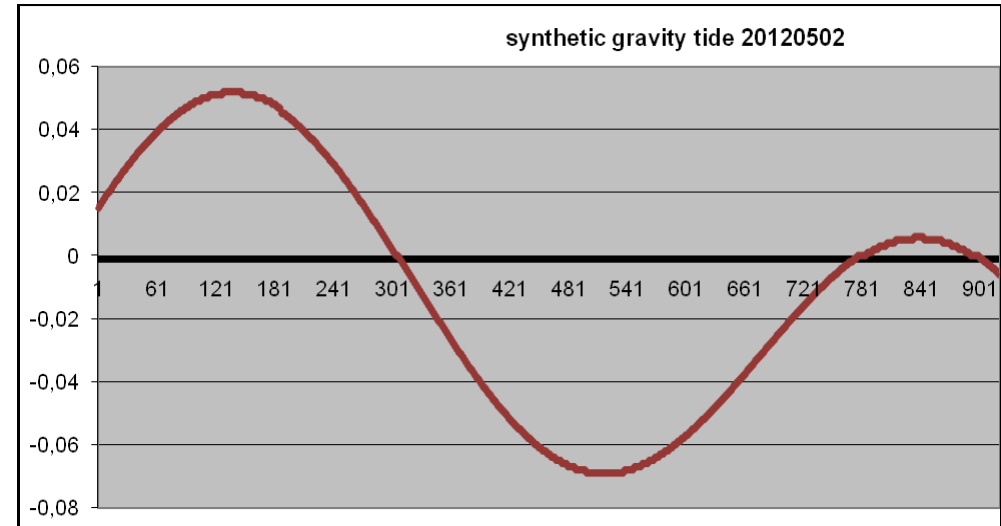
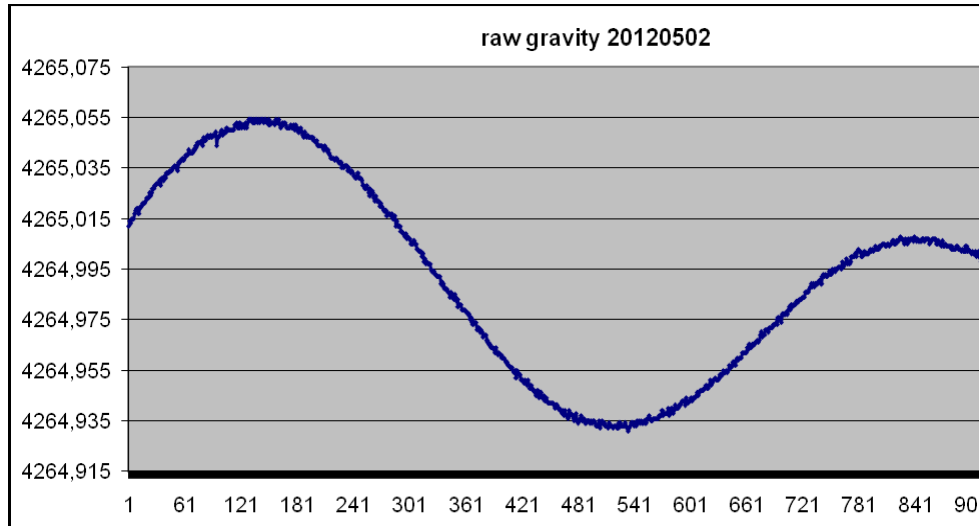


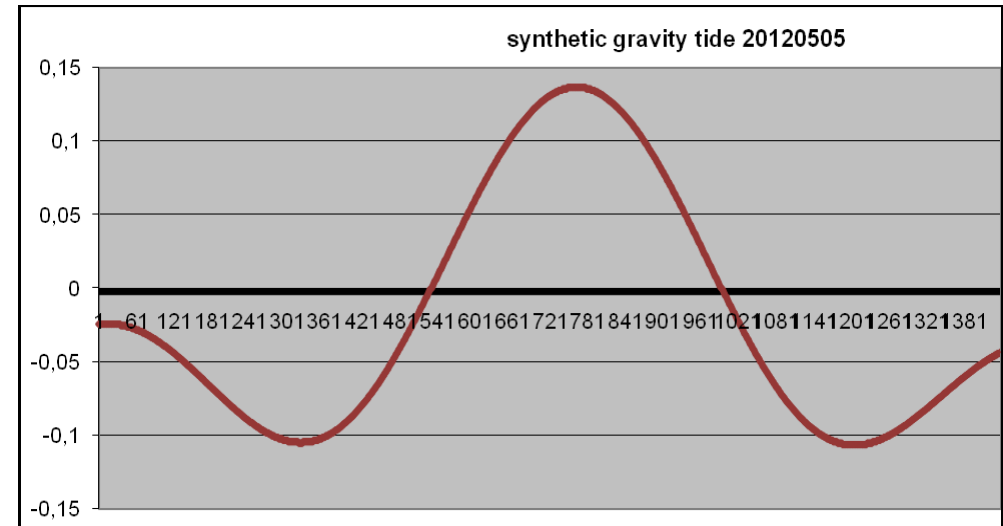
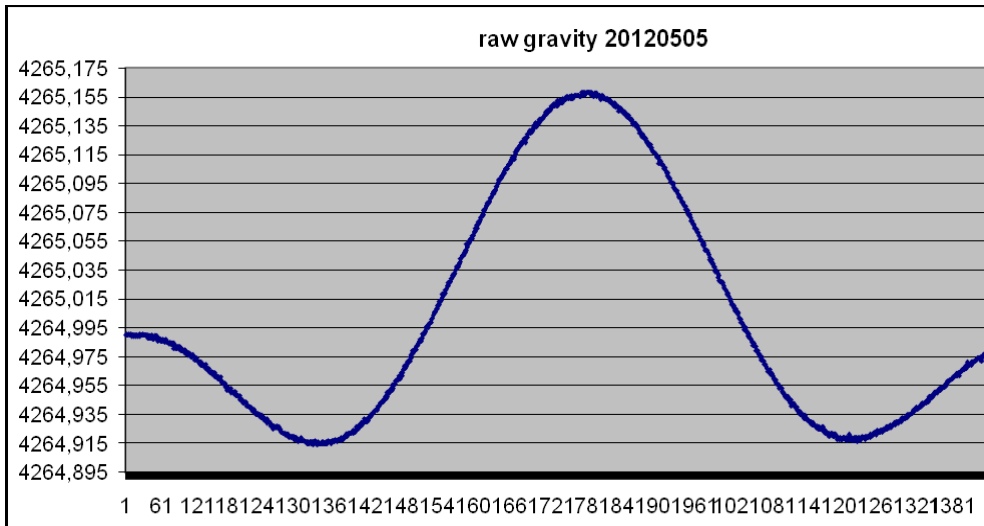
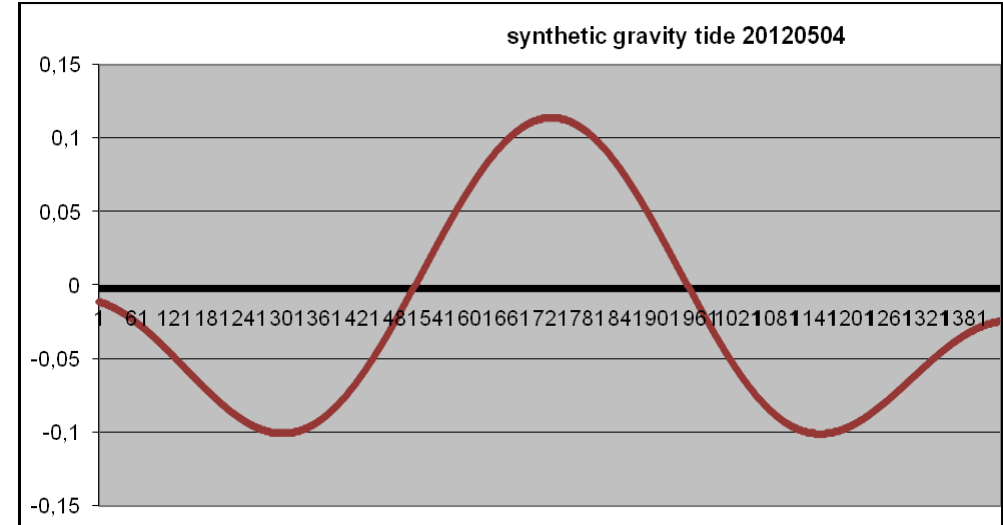
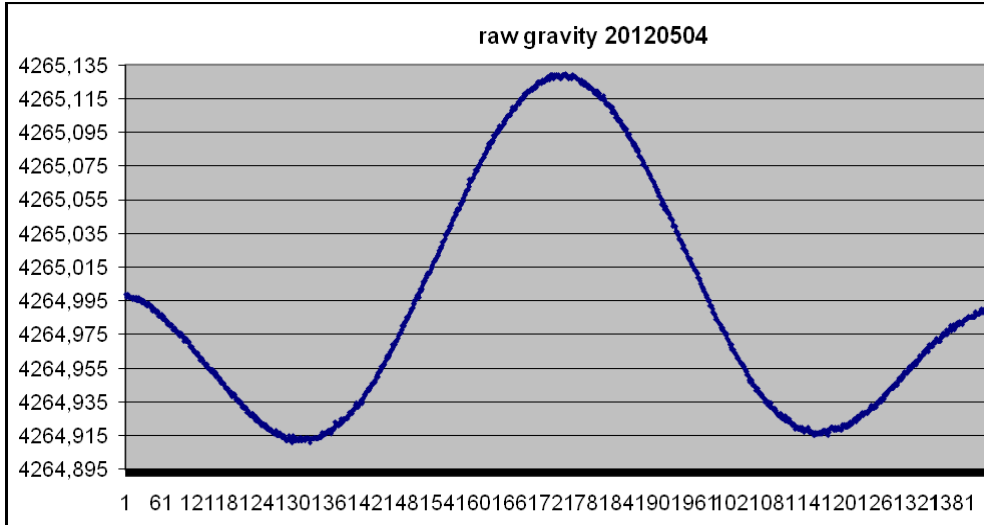


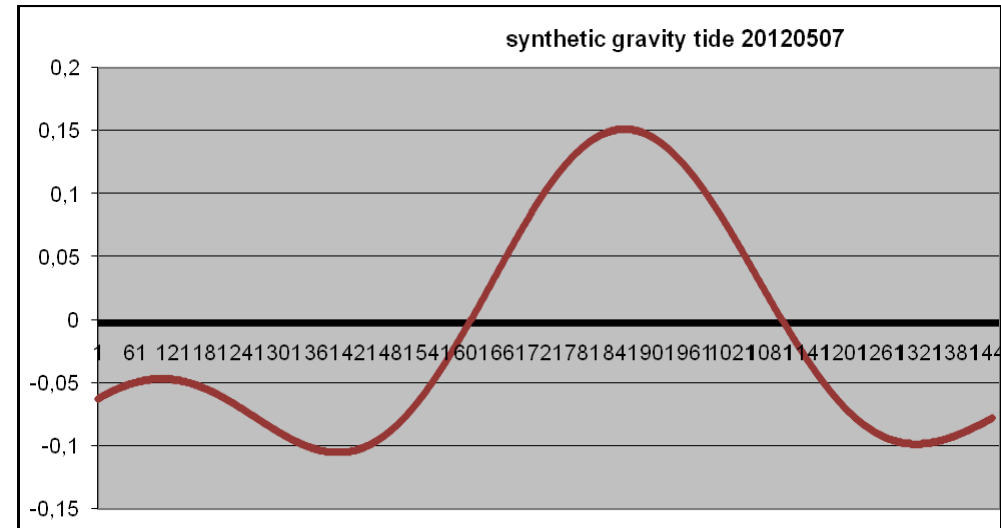
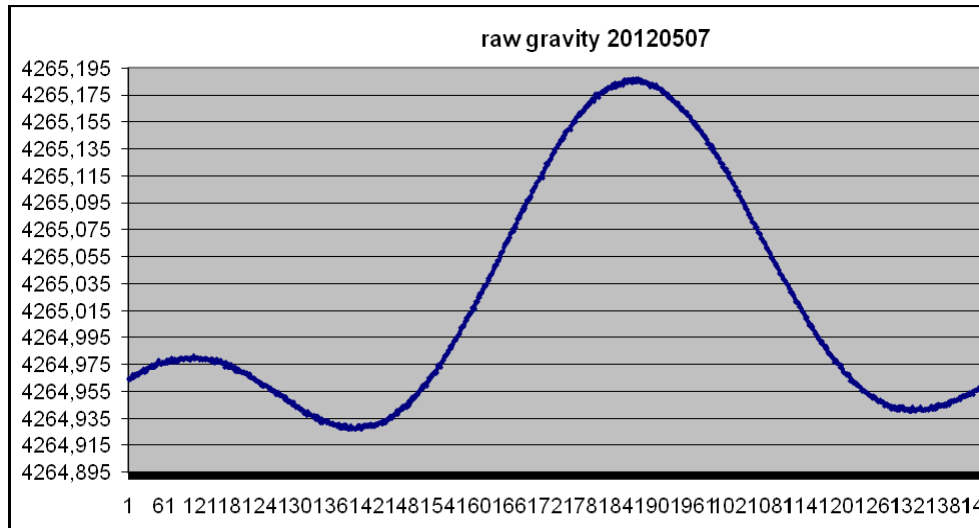
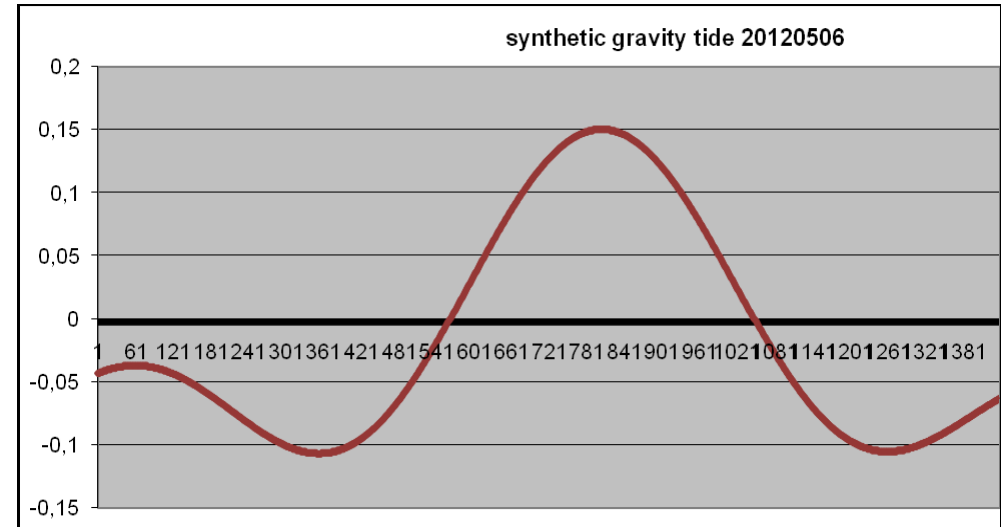
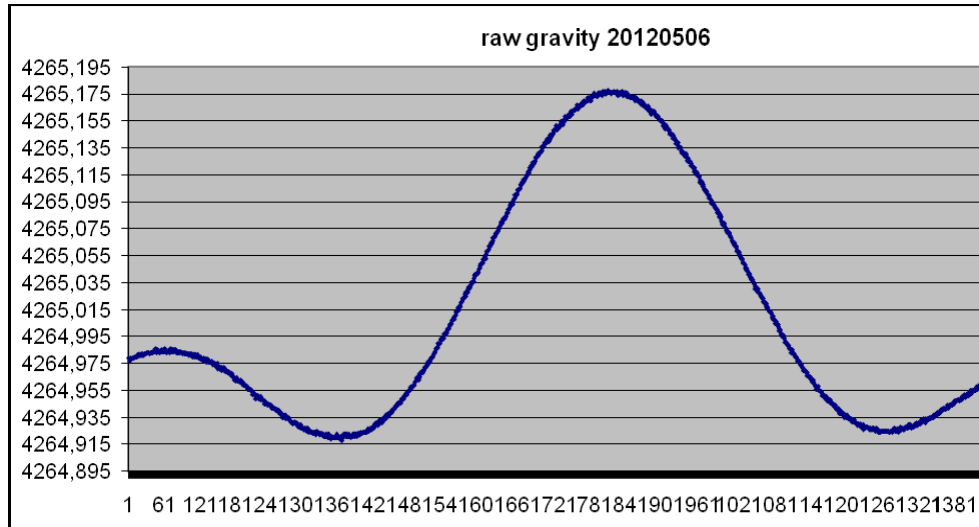


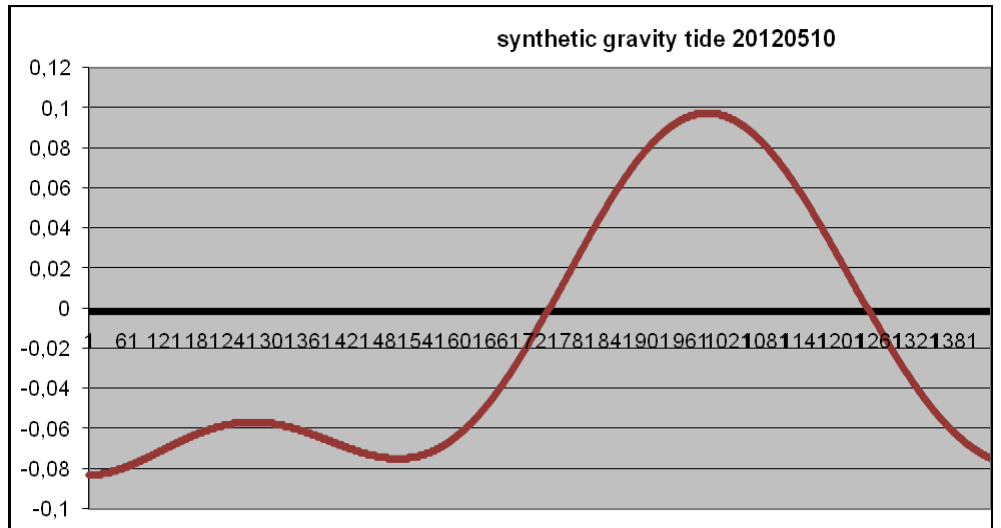
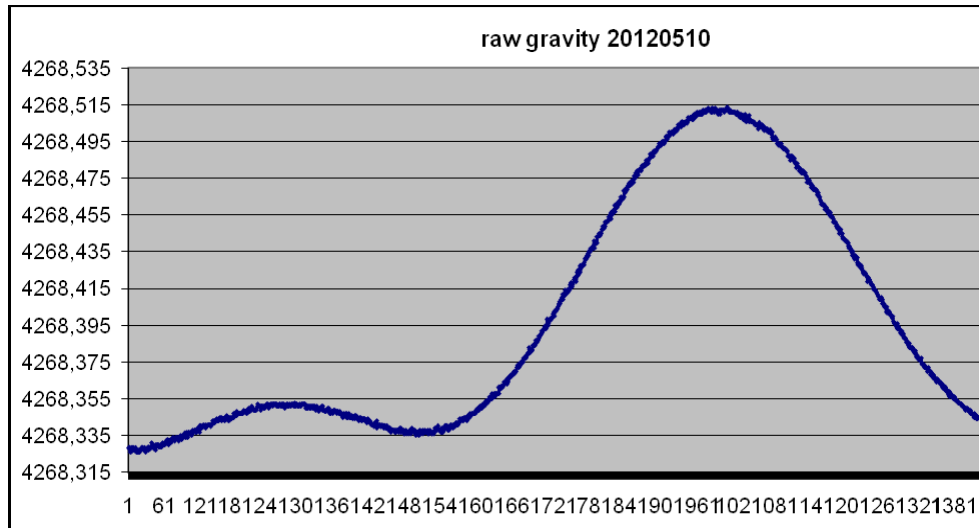
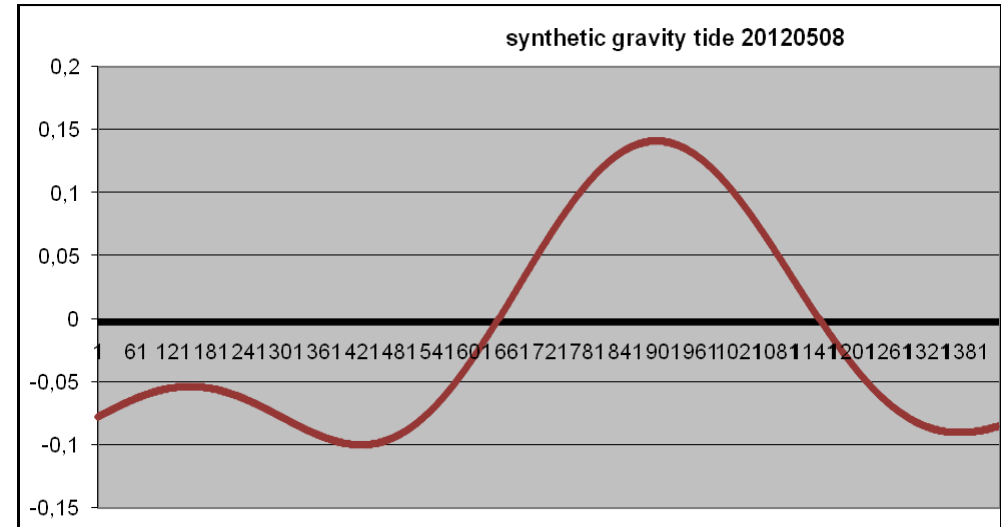
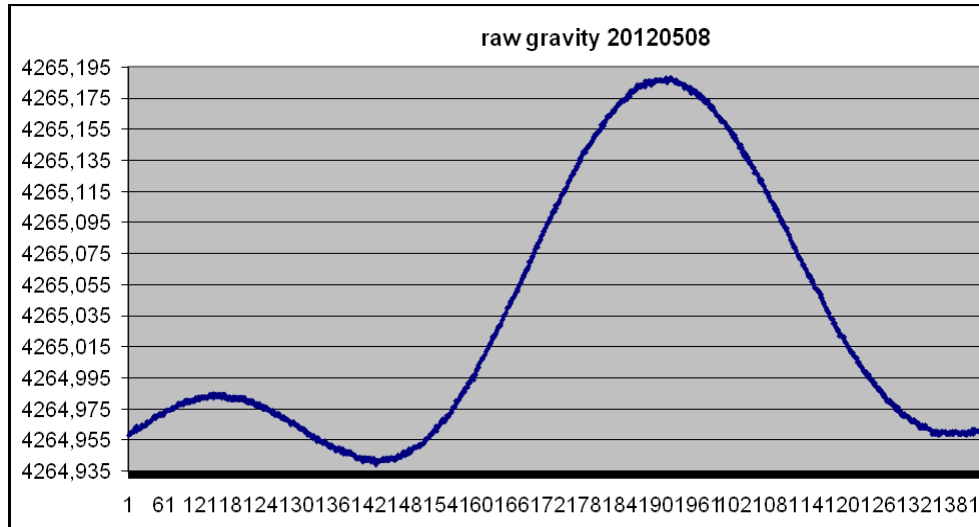


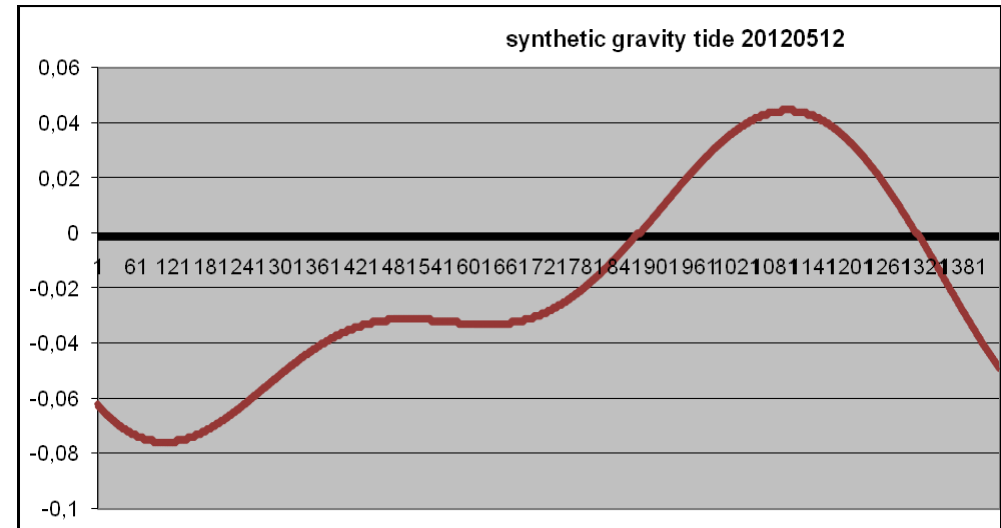
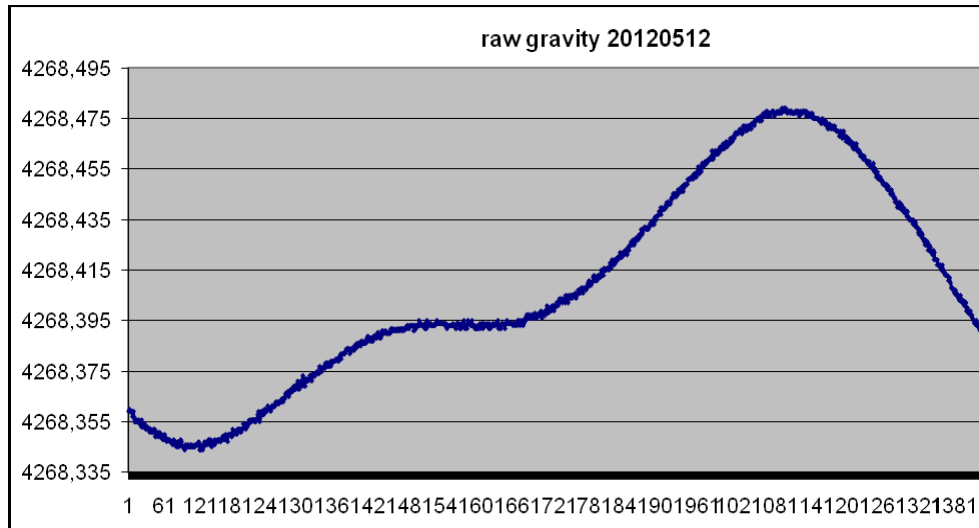
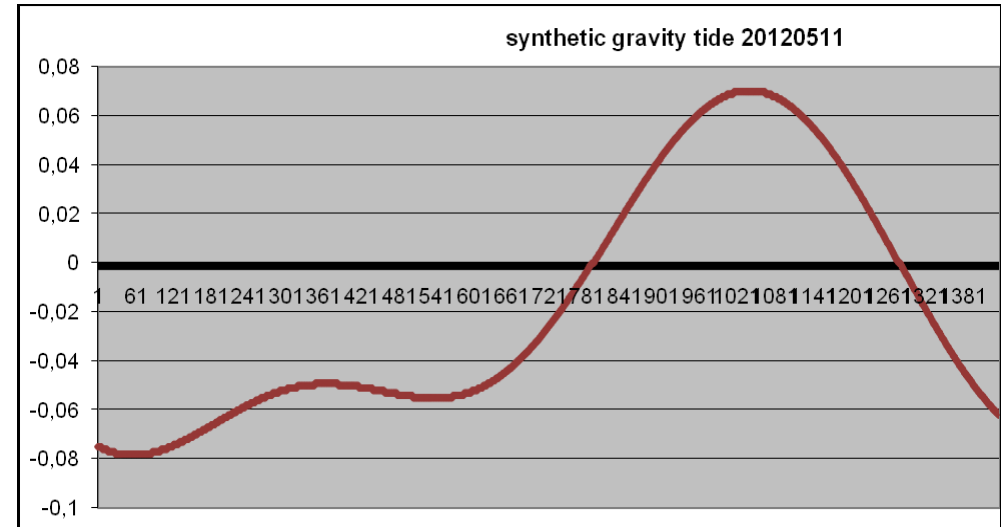
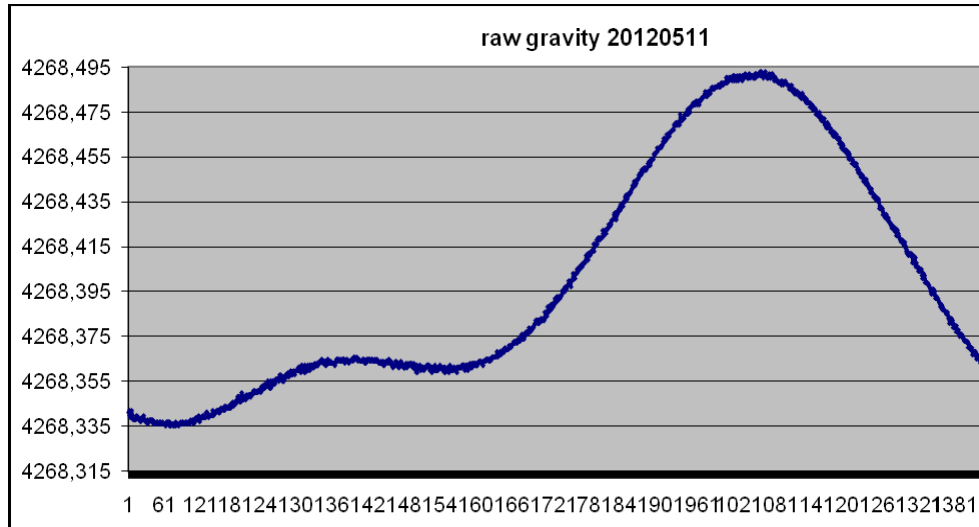


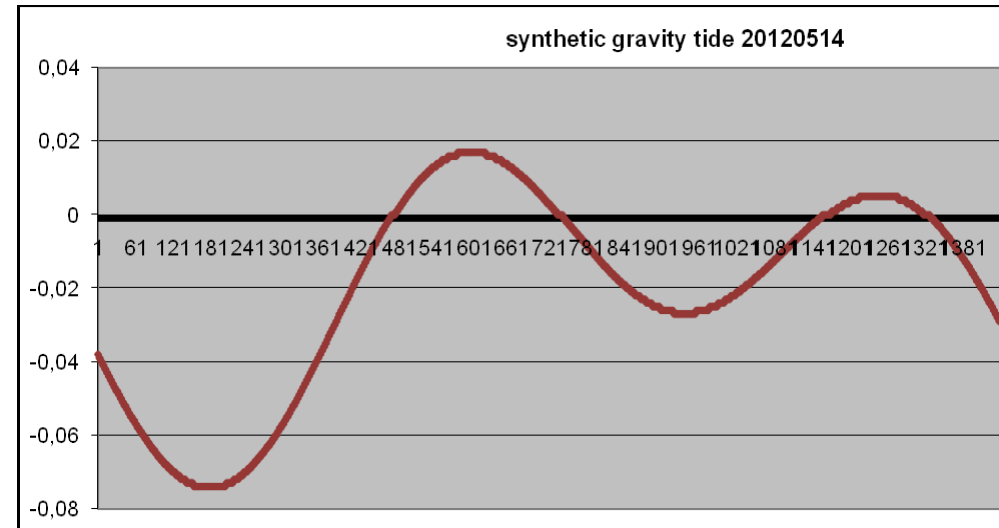
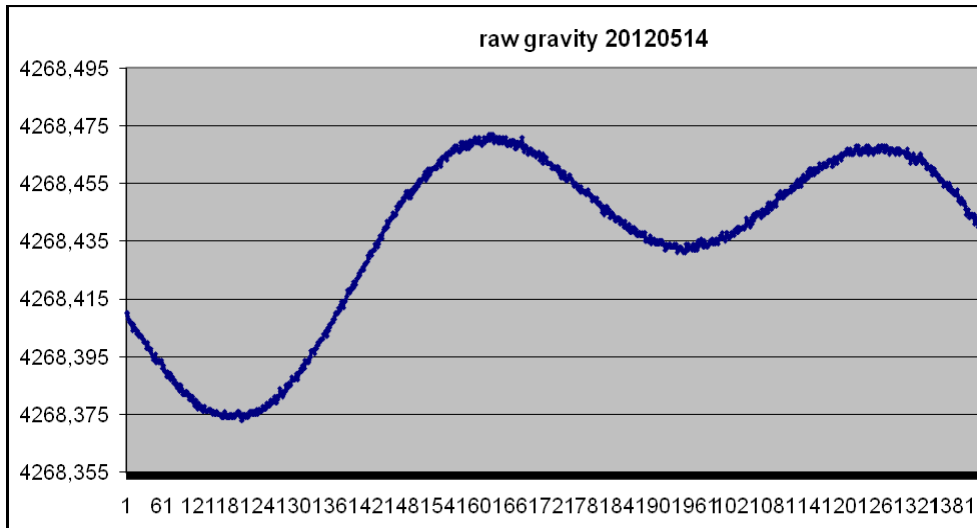
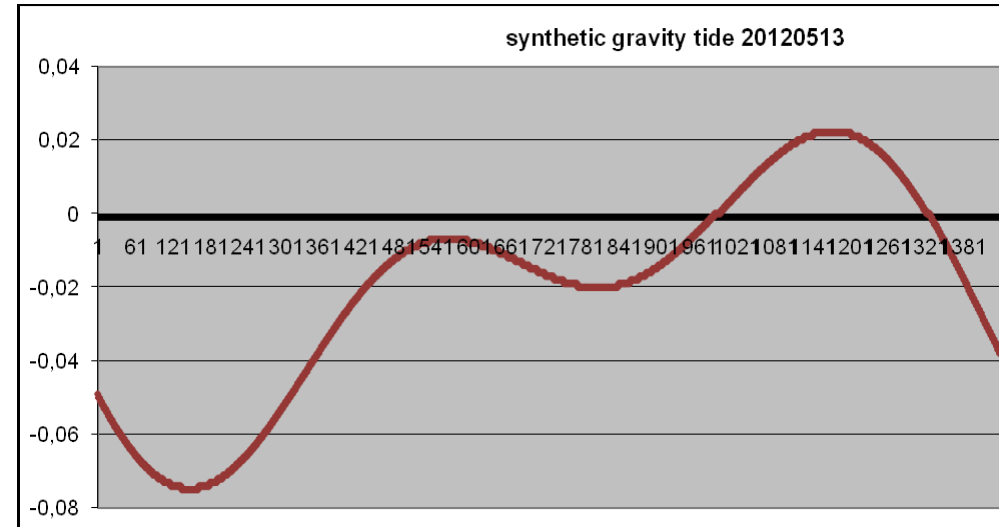
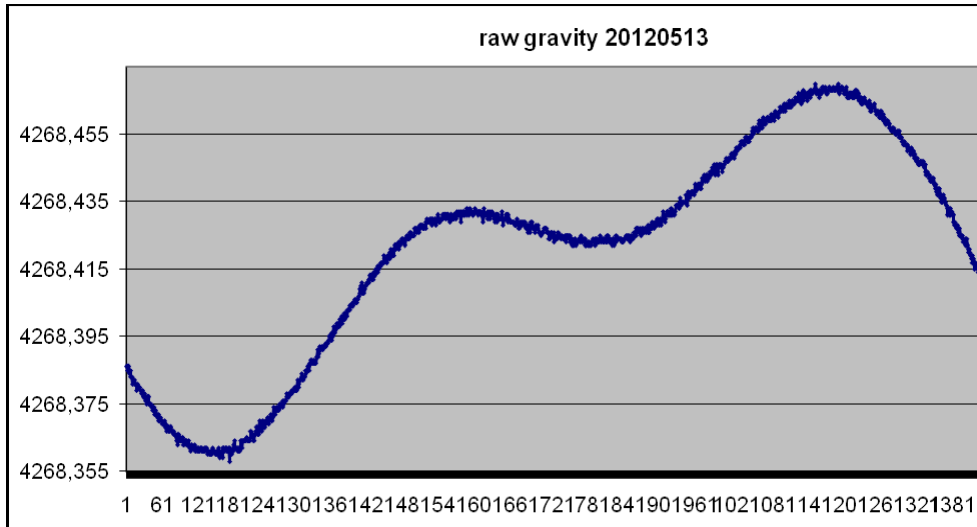


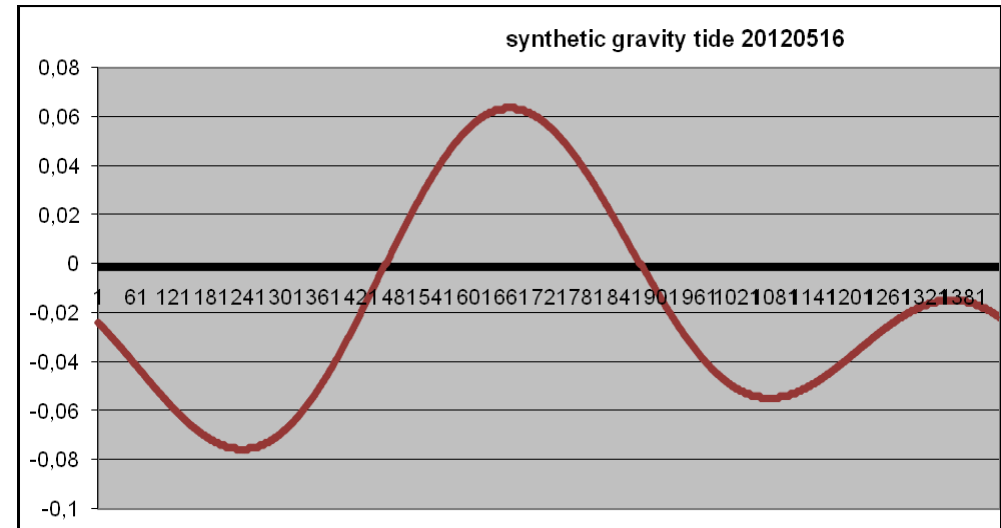
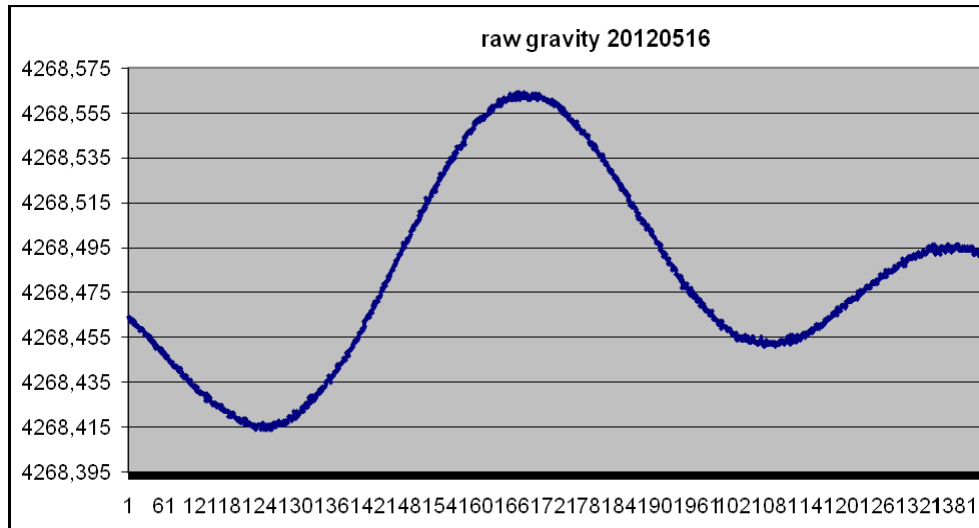
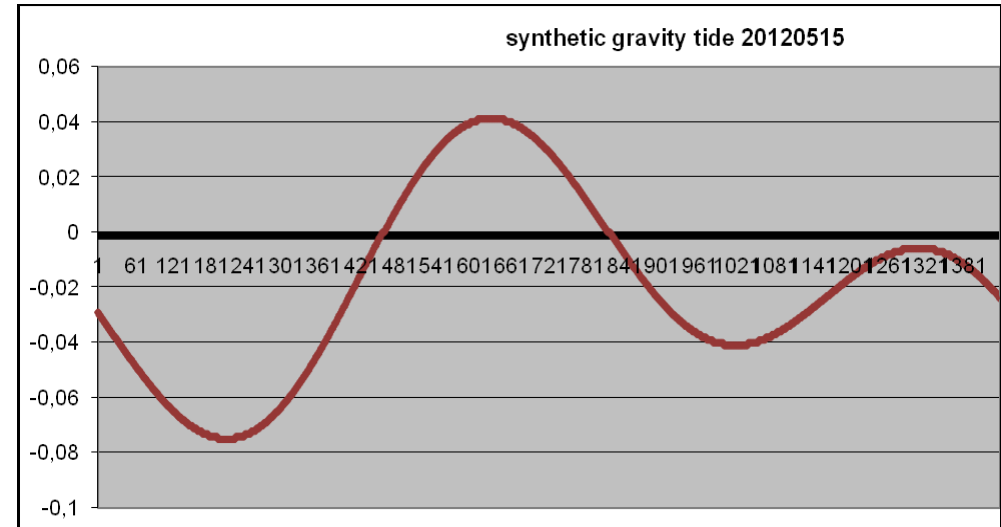
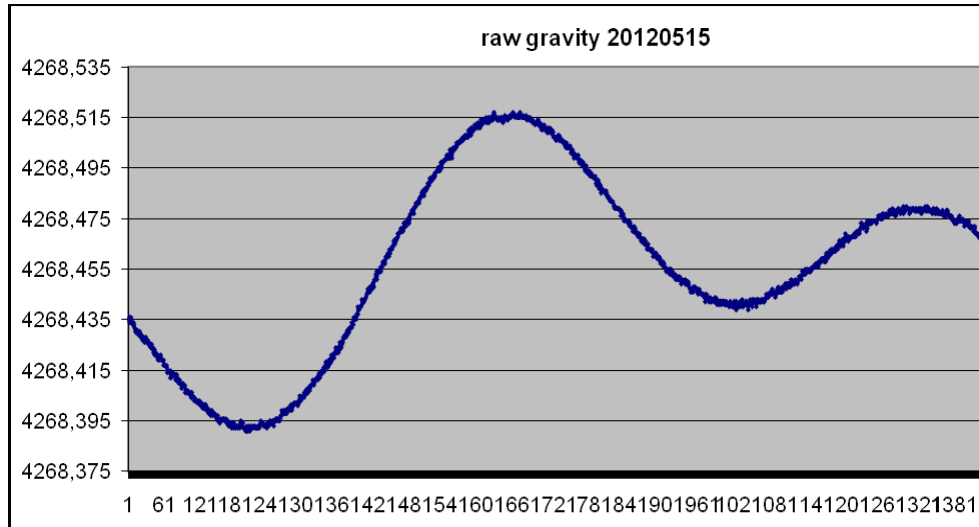


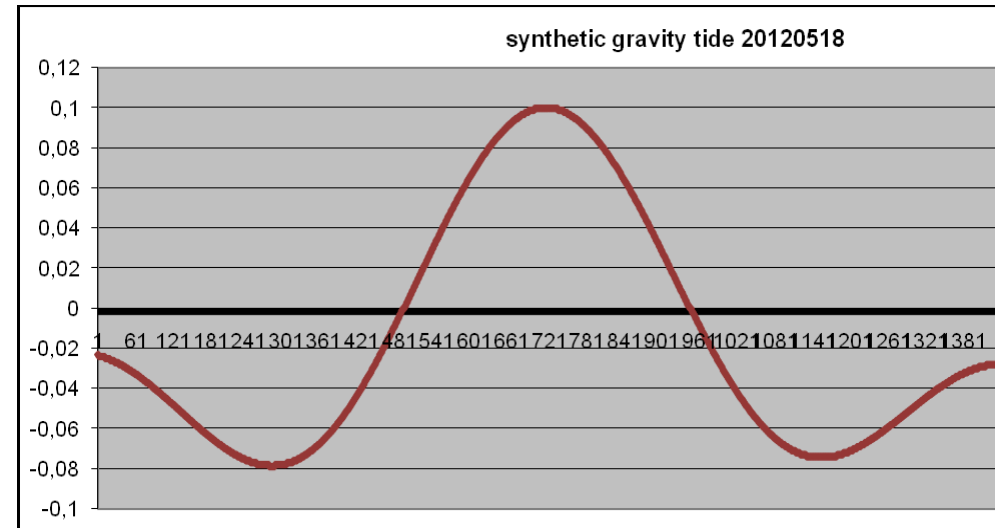
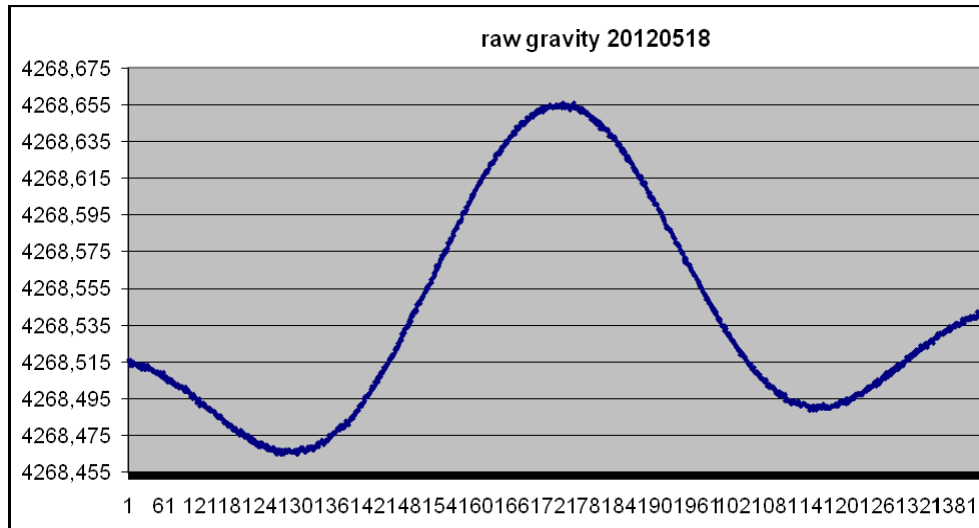
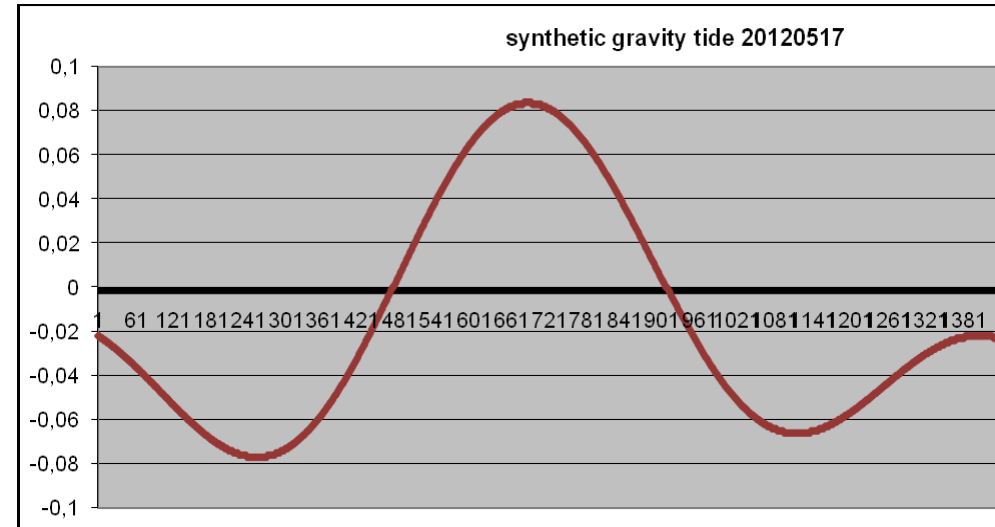
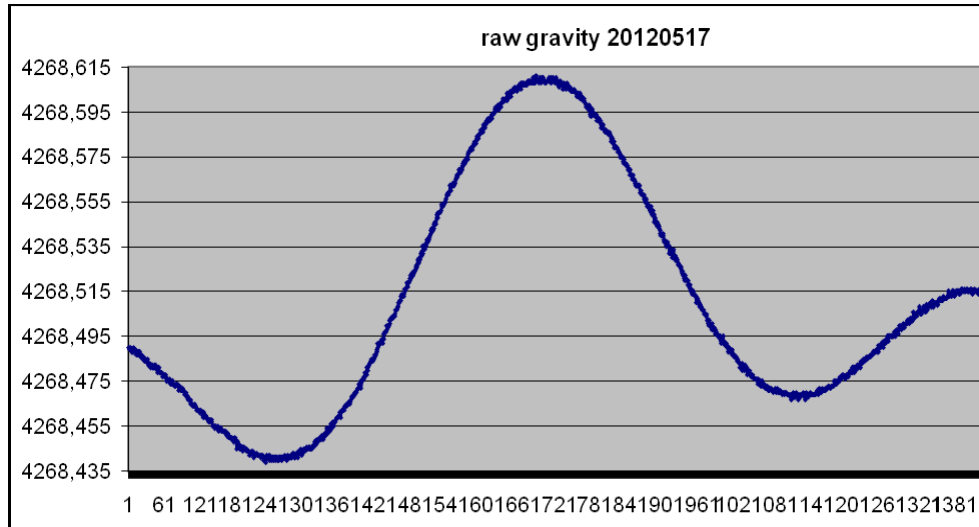


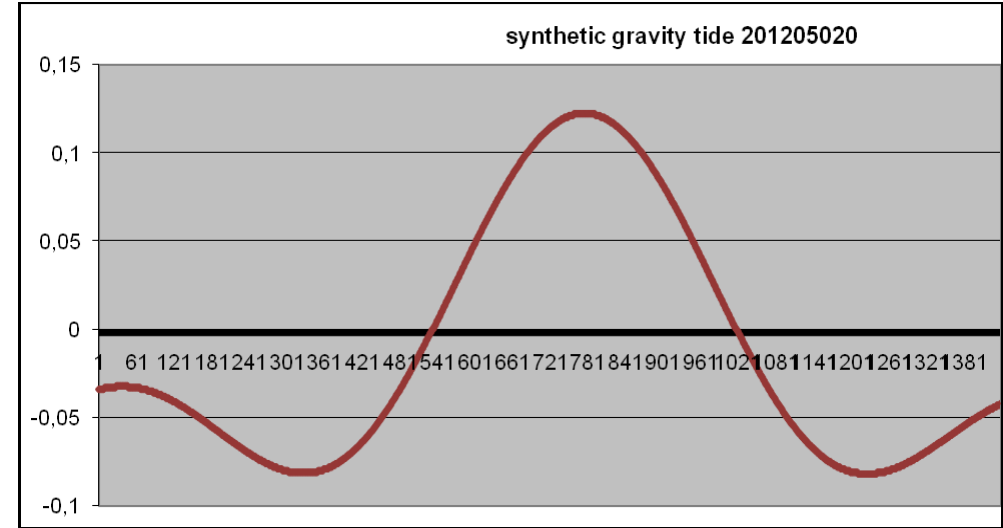
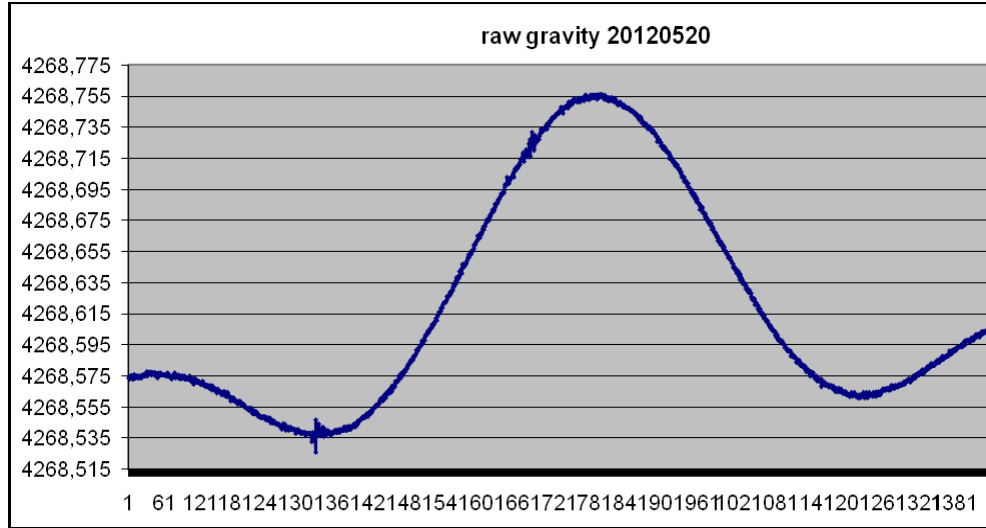
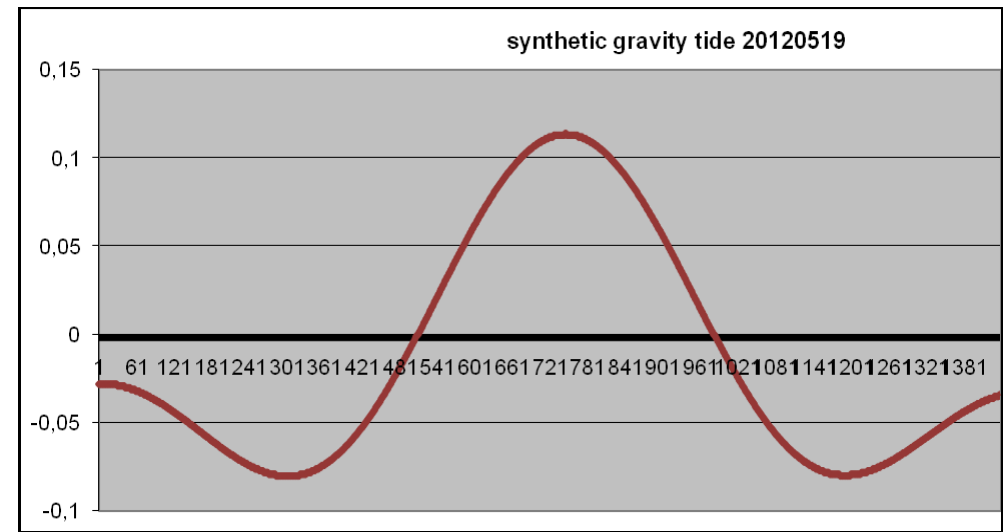
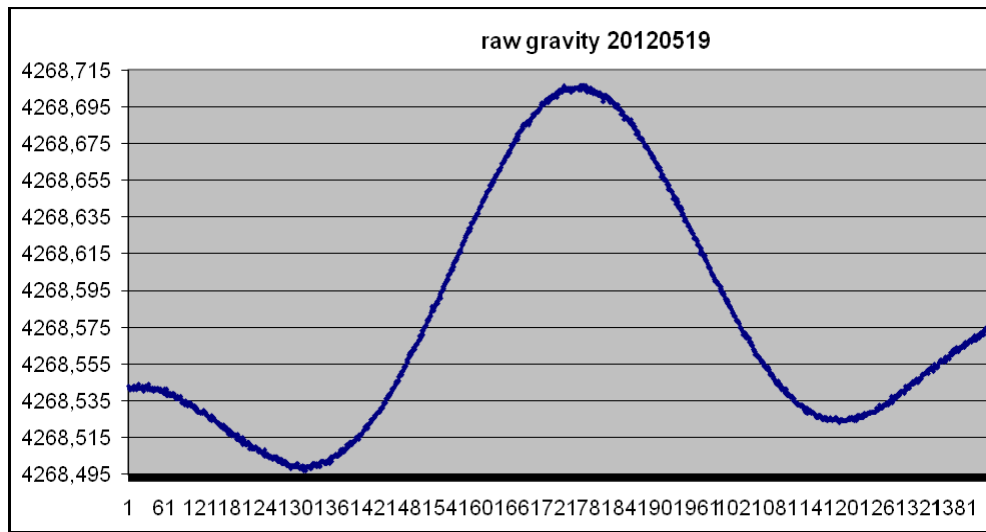


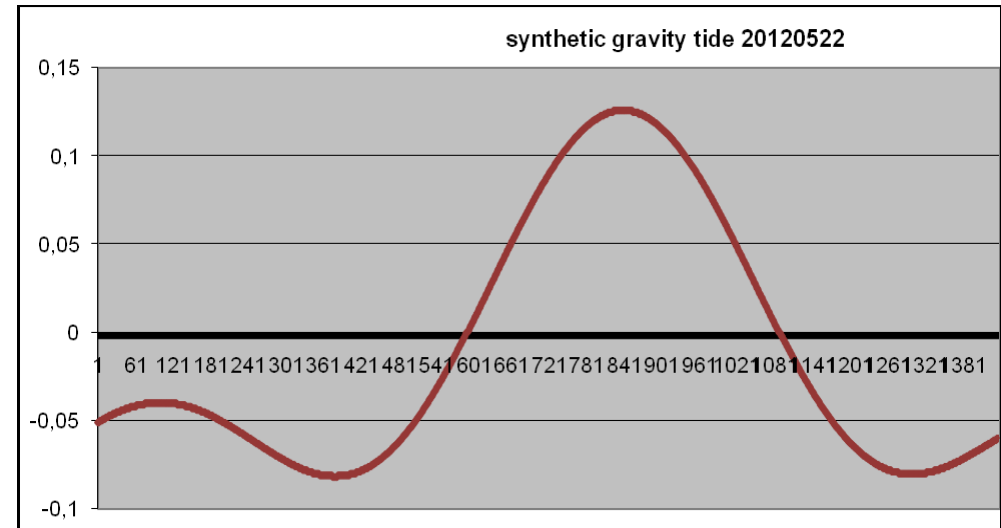
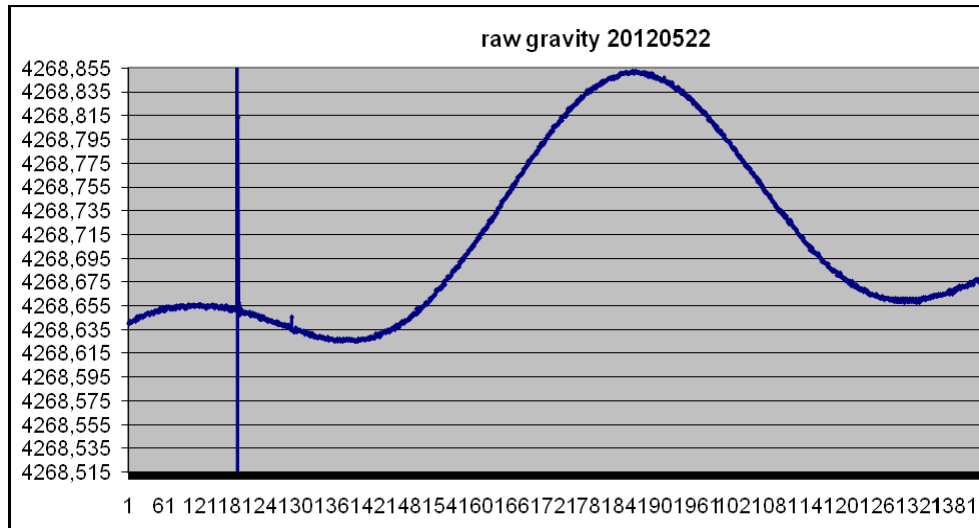
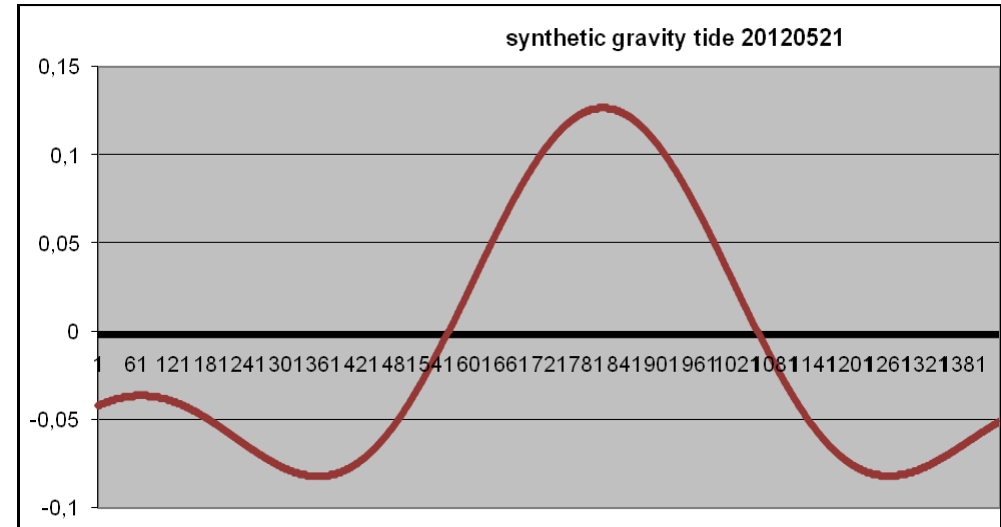
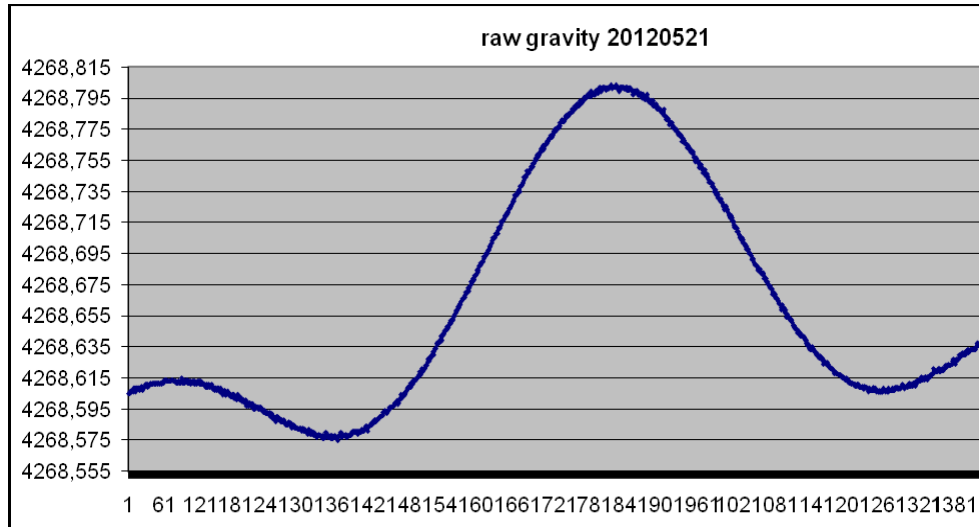


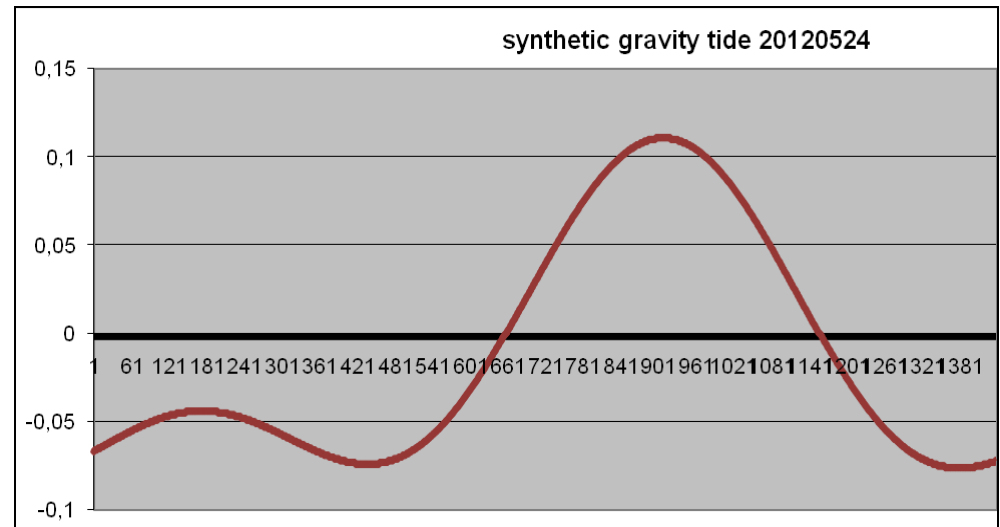
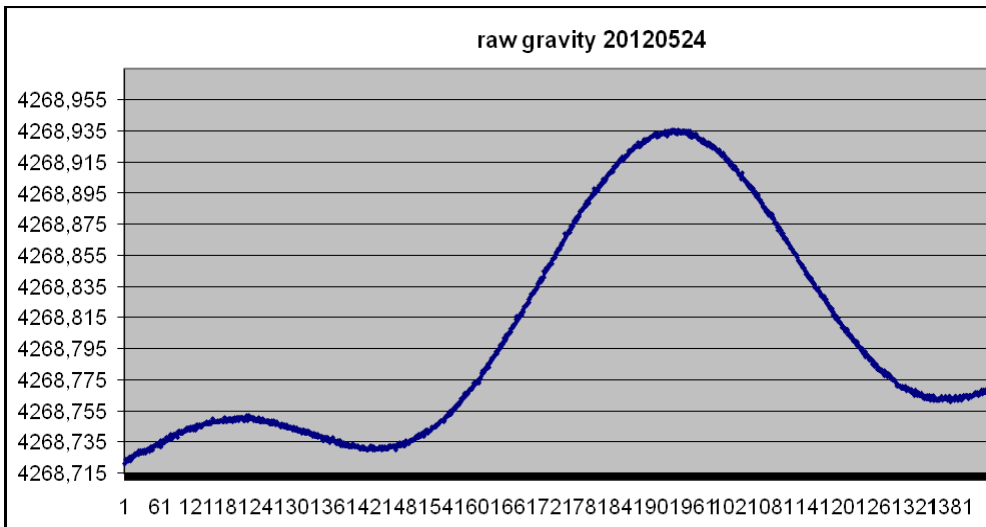
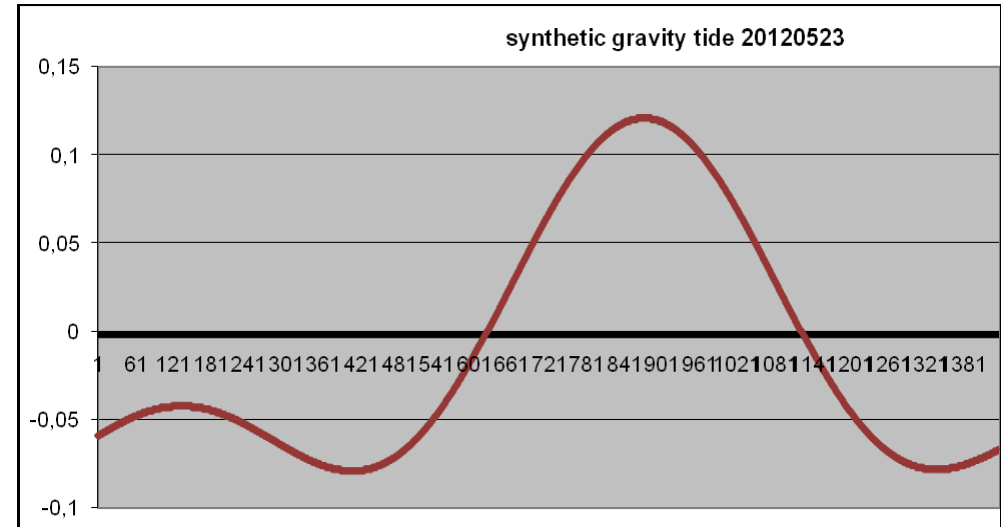
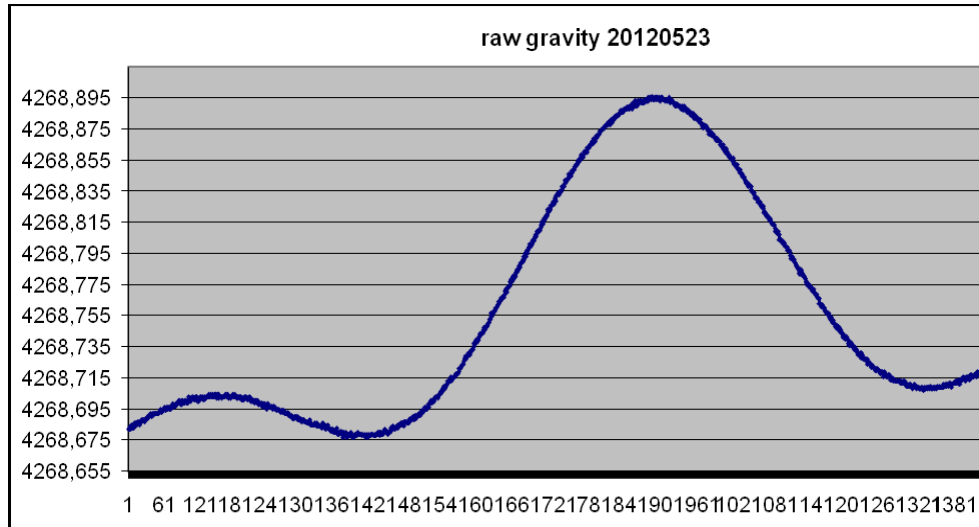


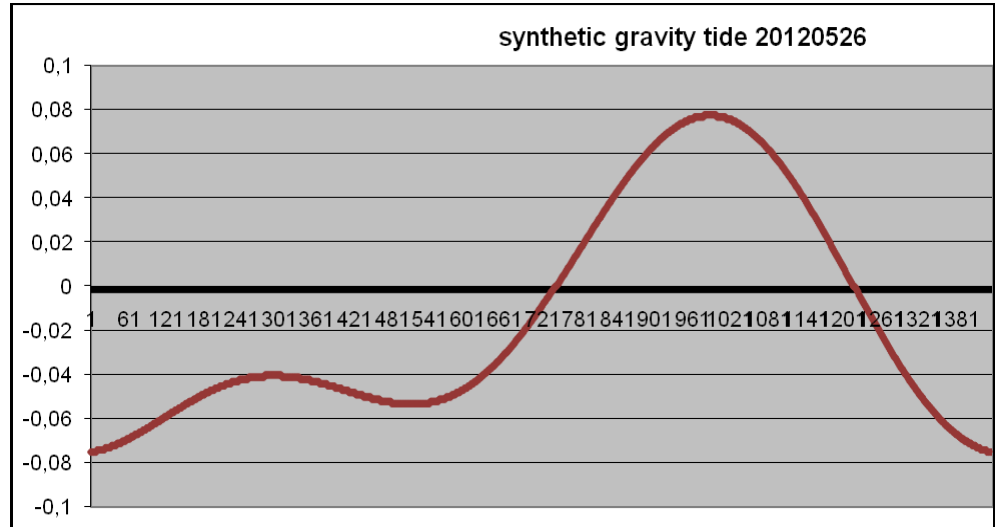
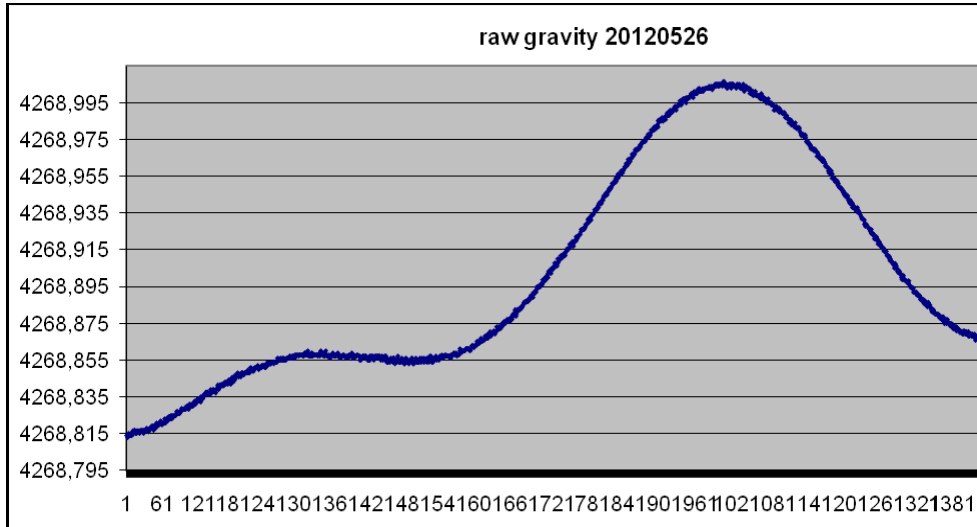
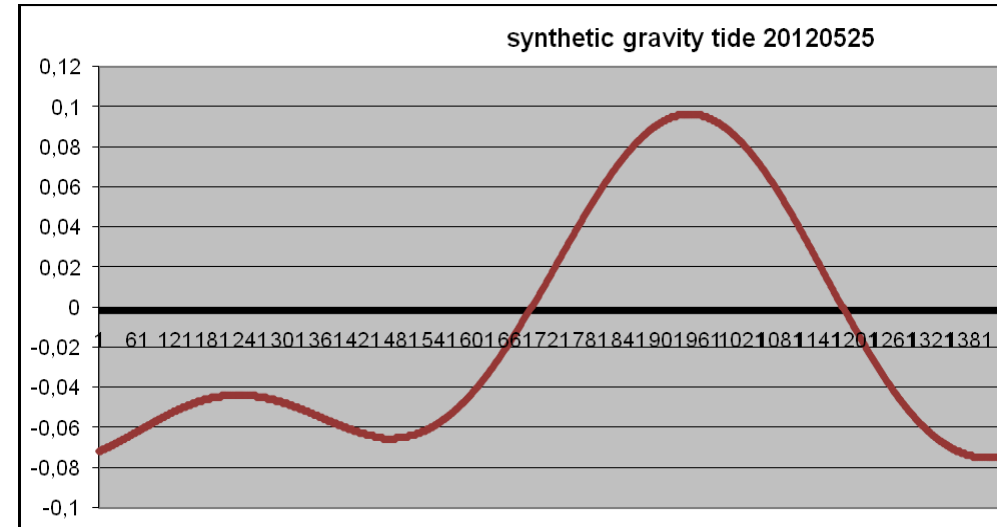
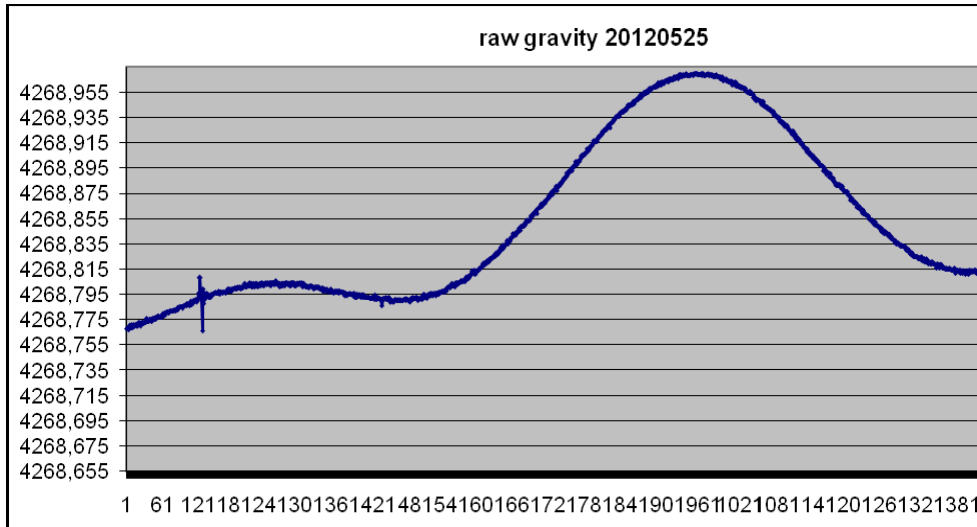


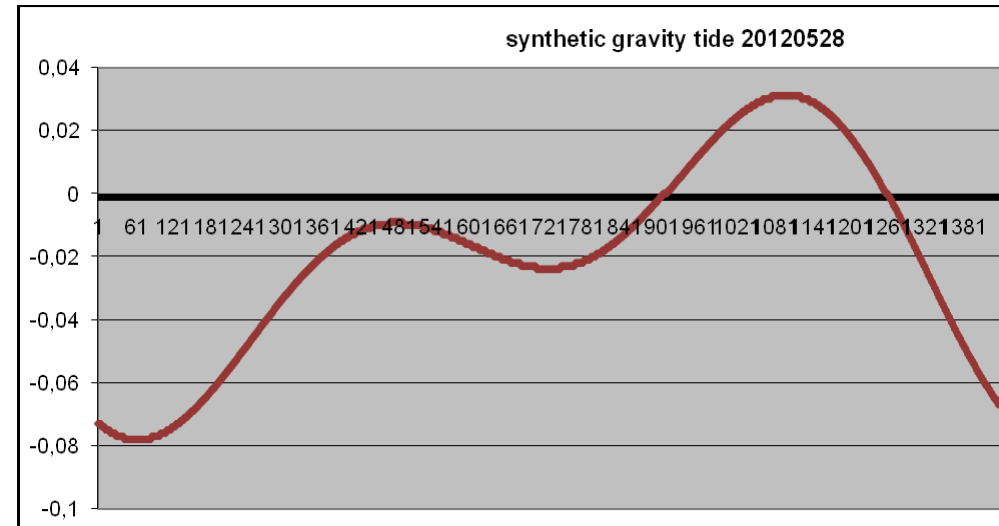
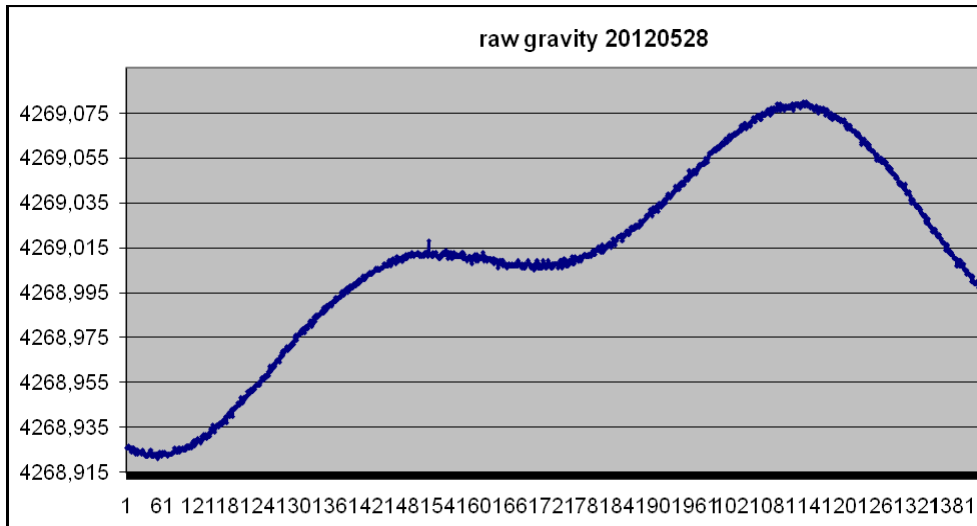
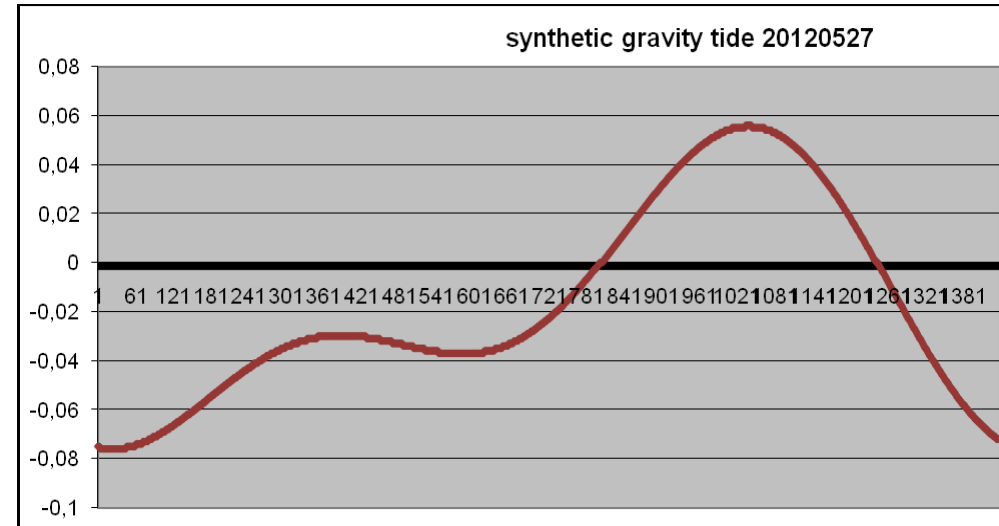
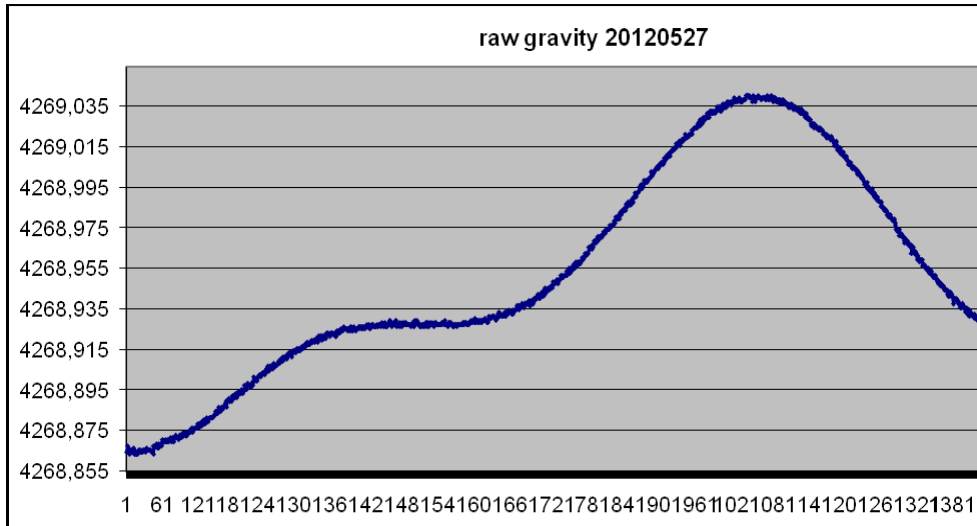


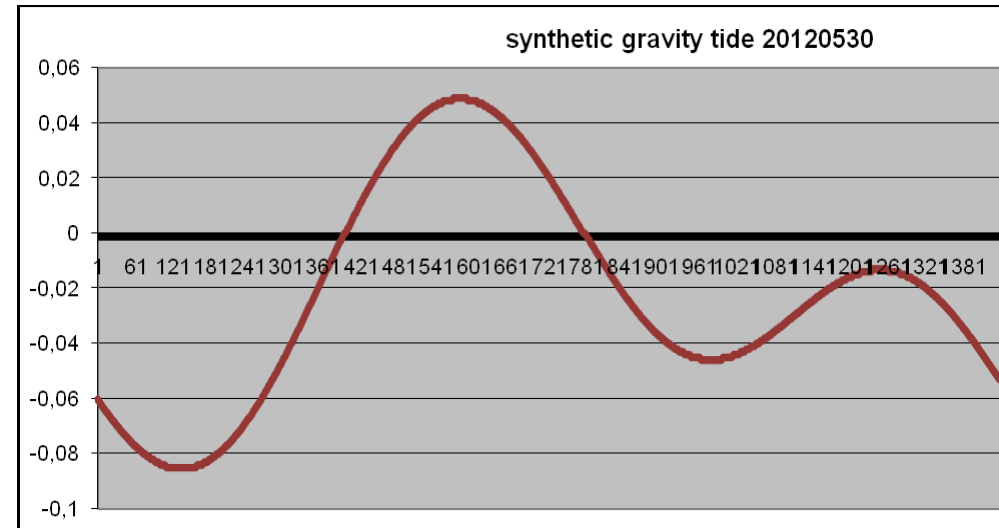
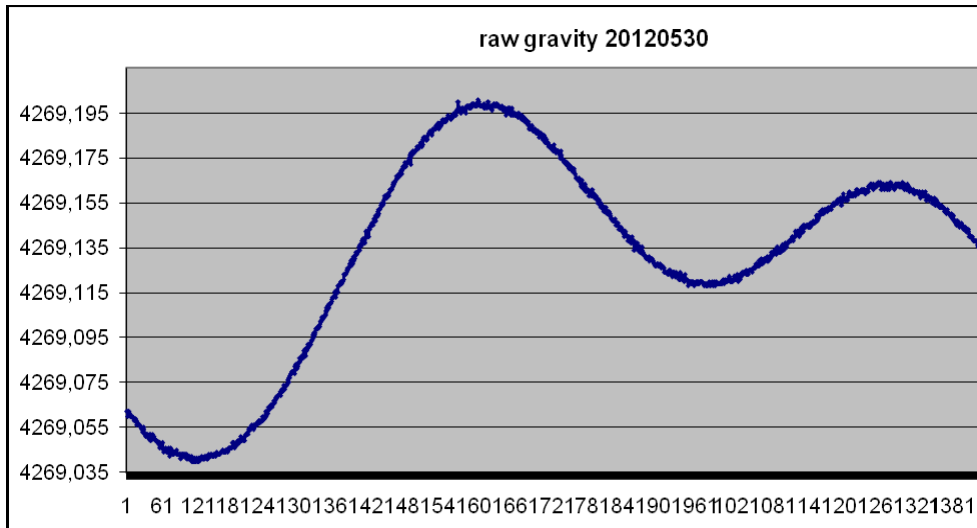
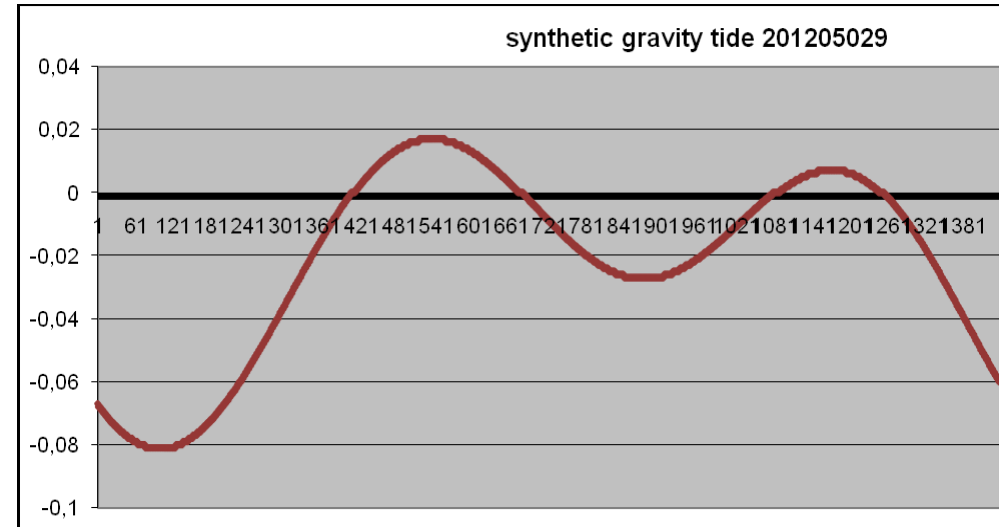
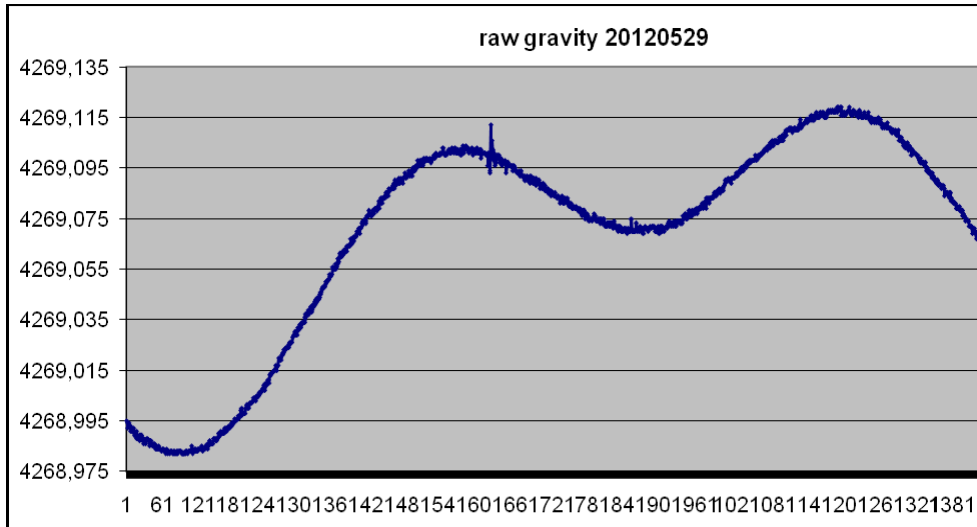


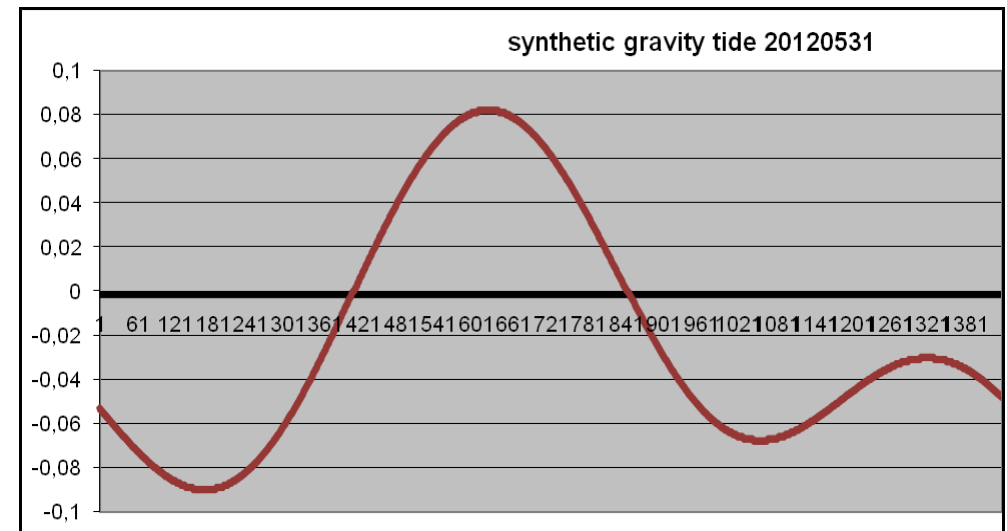
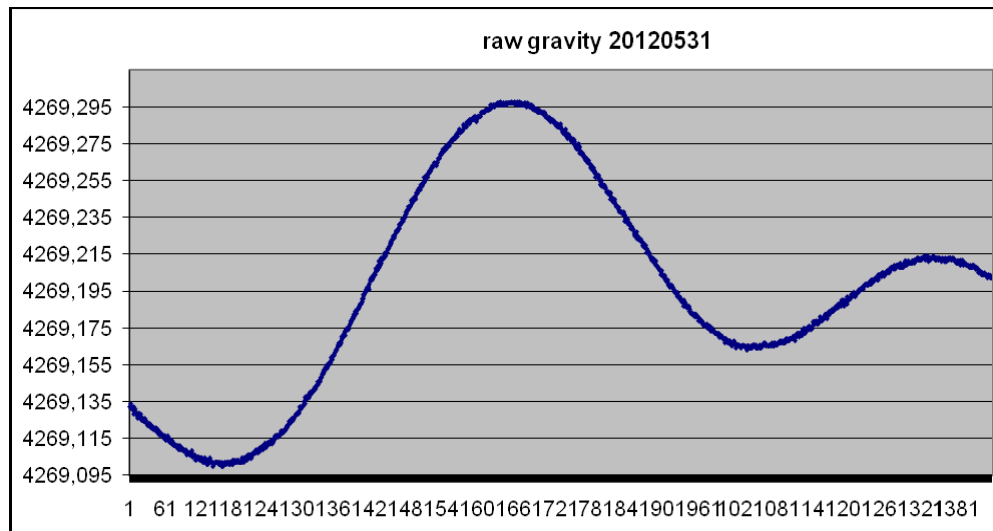












## **2.2.3. Oscilații ale gravitației produse de cutremurele majore**

În urma producerii unui cutremur major, în interiorul Globului sunt generate unde elastice care se propagă în toate direcțiile, reflectându-se și refractându-se pe fiecare din limitele care separă regiuni cu impedanță acustică diferită. Redistribuirile de mase legate de aceste oscilații se reflectă și în variații în câmpul gravitației.

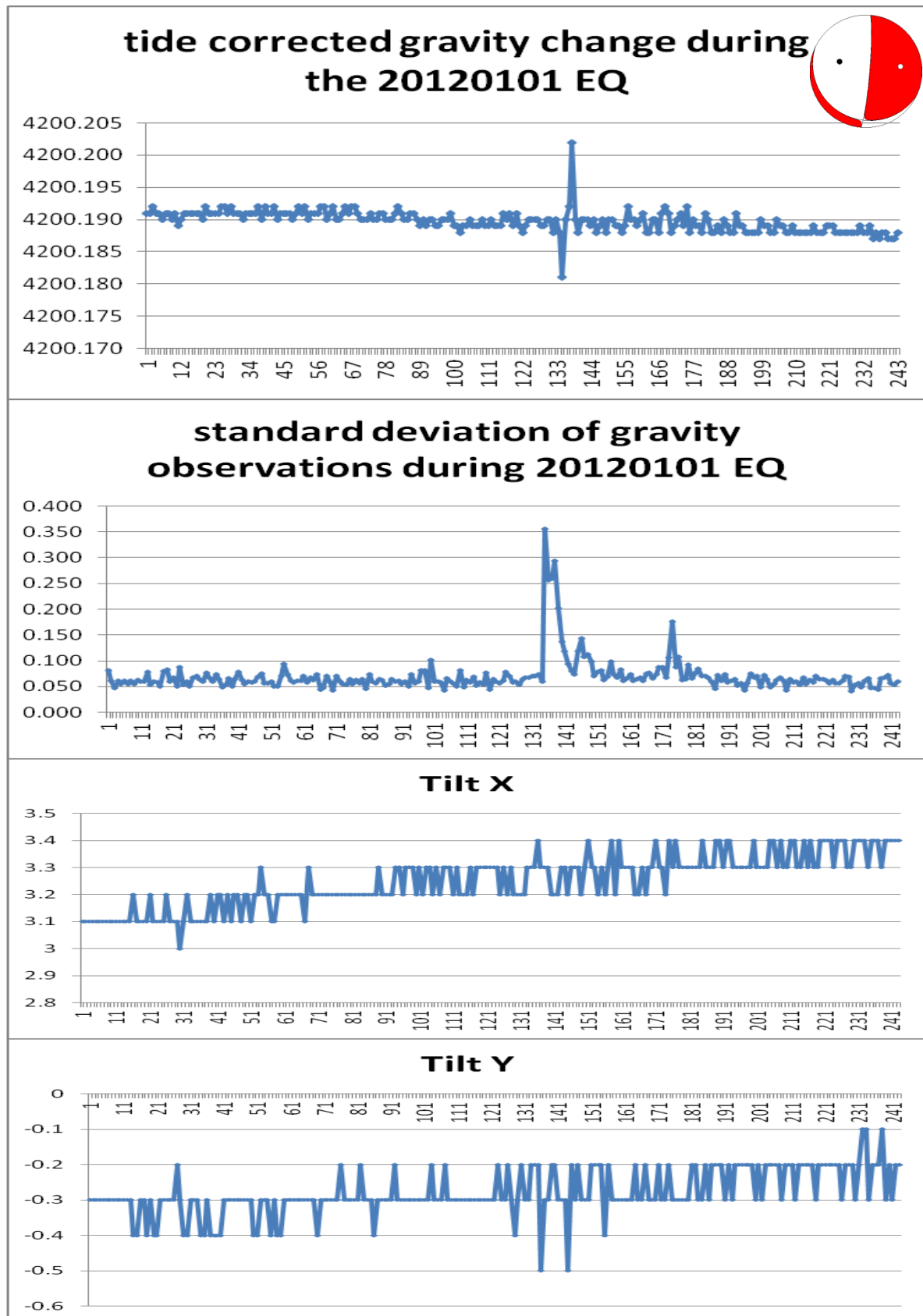
Cea mai importantă discordanță de impedanță este chiar suprafața Pământului. Odată ajunse aici, undele seismice/gravitaționale se reflectă intens, revenind în interiorul Globului și lovind suprafața terestră în alte puncte, de unde se întorc din nou. Fenomenul de reverberație apare astfel în mod repetat, fiind sesizabil pe suprafete intense și având durate de timp mult mai mari decât seismul care le-a generat.

Tabelul 1 prezintă o listă de cutremure mai semnificative care au survenit în perioada acestei etape, iar imaginile care urmează arată înregistrările efectuate în cadrul laboratorului nostru de gravitate.

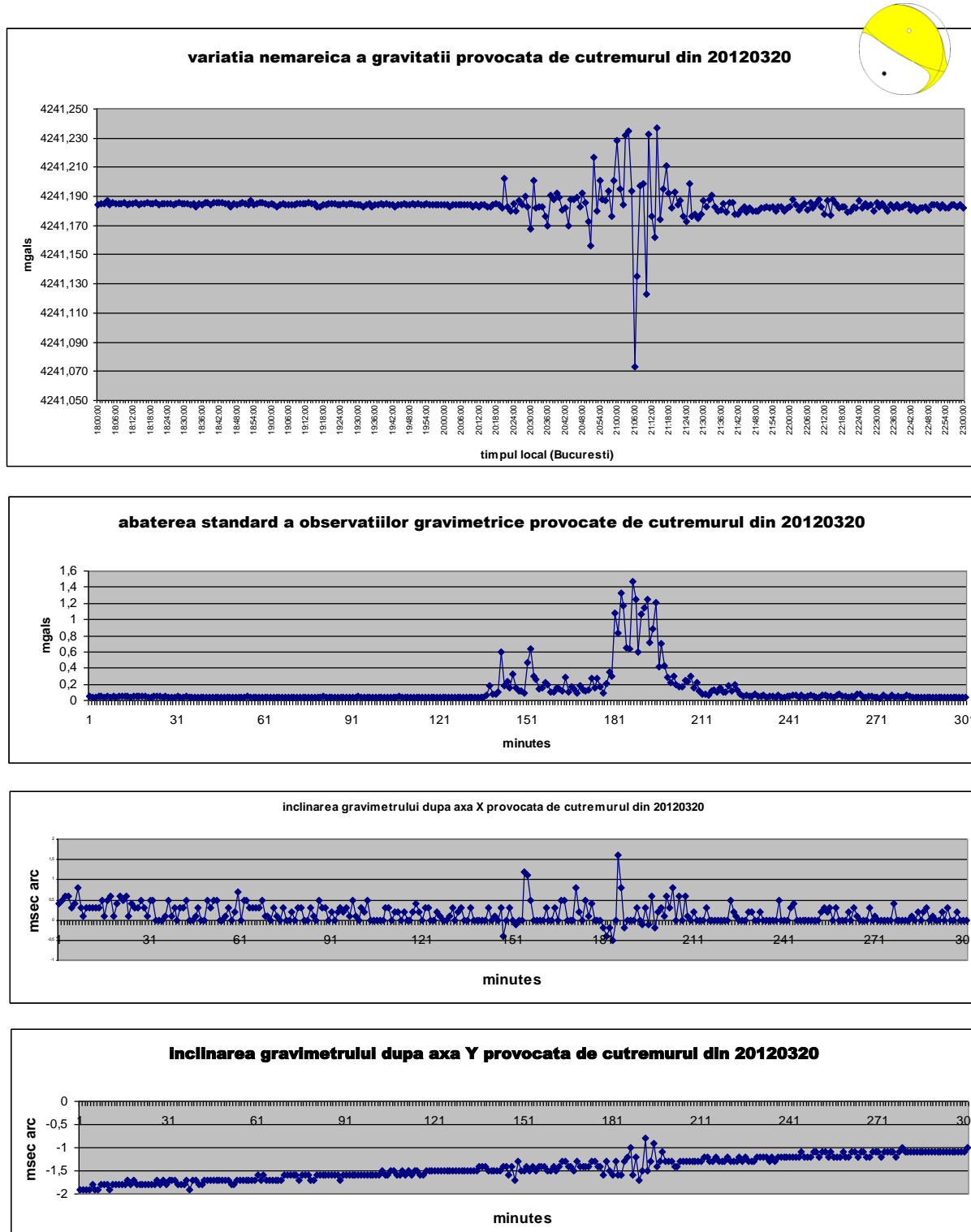
**Tabel 1 Cutremure majore înregistrate în perioada 1 ianuarie-1 iunie 2012**

DATE	UTC	COORDINATES		DEPTH	MAG	REGION
	hh:mm:ss	LAT(°)	LONG (°)	km		
20120101	5:27:56	31,48 N	138,12 E	365	7	IZU ISLANDS, JAPAN REGION.
20120110	18:36:59	2,49 N	93,23 E	10	7.2	OFF THE WEST COAST OF NORTHERN SUMATRA
	13:34:39	17,71 S	167,19 E	10	7.1	VANUATU
	9:08:35	40,95 N	144,91 E	10	6.9	OFF THE EAST COAST OF HONSHU, JAPAN
	18:02:49	16,69 N	98,24 W	19	7.4	GUERRERO, MEXICO
	22:37:01	35,18 S	72,06 W	1	7.1	MAULE, CHILE
	8:38:35	2,37 N	93,17 E	10	8.4	OFF THE WEST COAST OF NORTHERN SUMATRA
20120411	10:43:09	0,81 N	02,45 E	10	8	OFF THE WEST COAST OF NORTHERN SUMATRA
	7:15:48	28,70 N	113,12 W	10	7	GULF OF CALIFORNIA
	7:13:50	5,48 S	147,12 E	211	6.8	EASTERN NEW GUINEA REG, PAPUA NEW GUINEA
	2:03:53	44,90 N	11,24 E	10	6.1	NORTHERN ITALY
	0:00:33	42,66 N	23,01 E	10	5.6	BULGARIA
	22:47:46	73,04 N	5,77 E	4.3	6.2	NORWEGIAN SEA
	7:00:03	44,89 N	11,07 E	5	5.8	NORTHERN ITALY

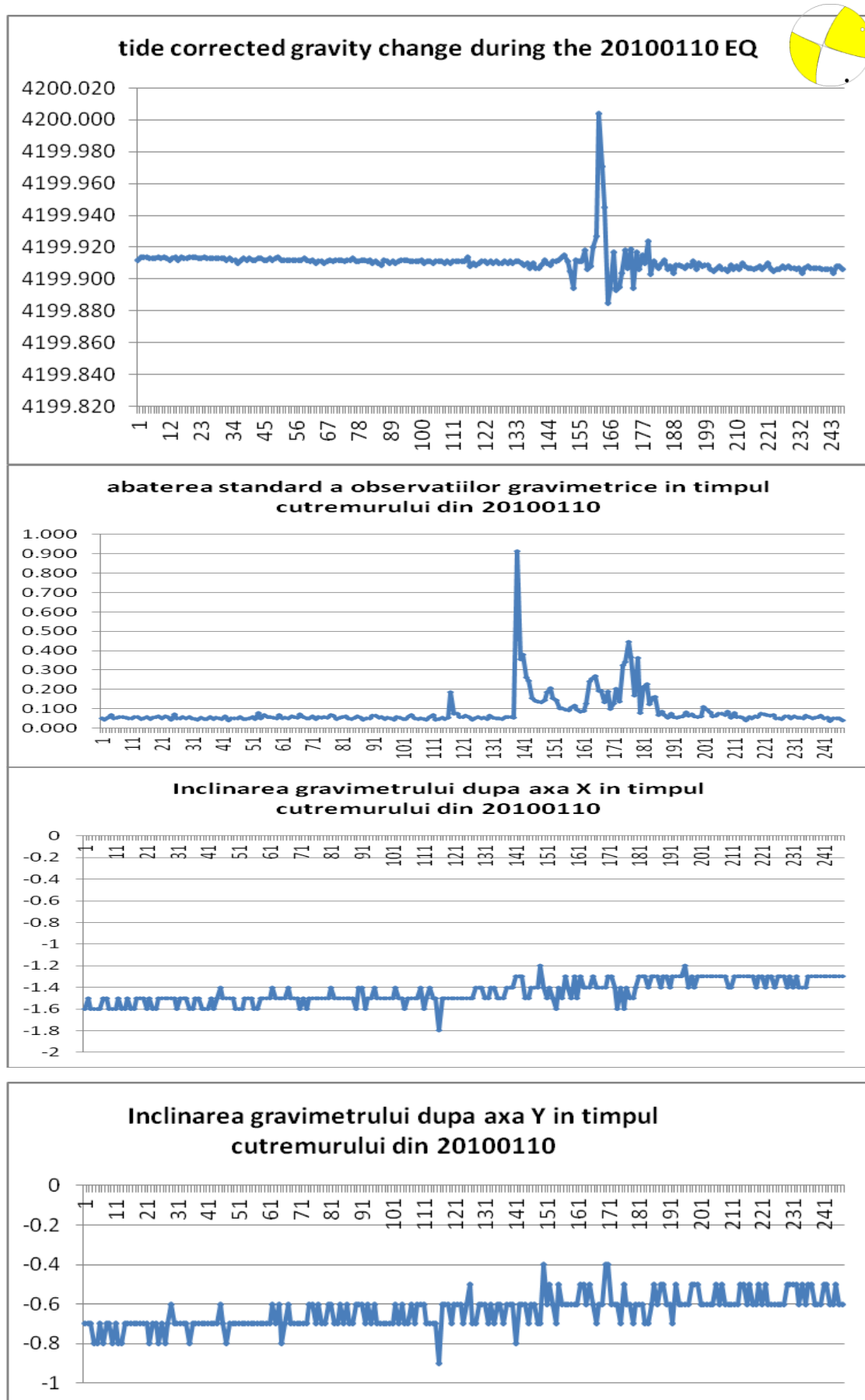
CUTREMURUL DIN 20120101 Insulele Izu, Japan



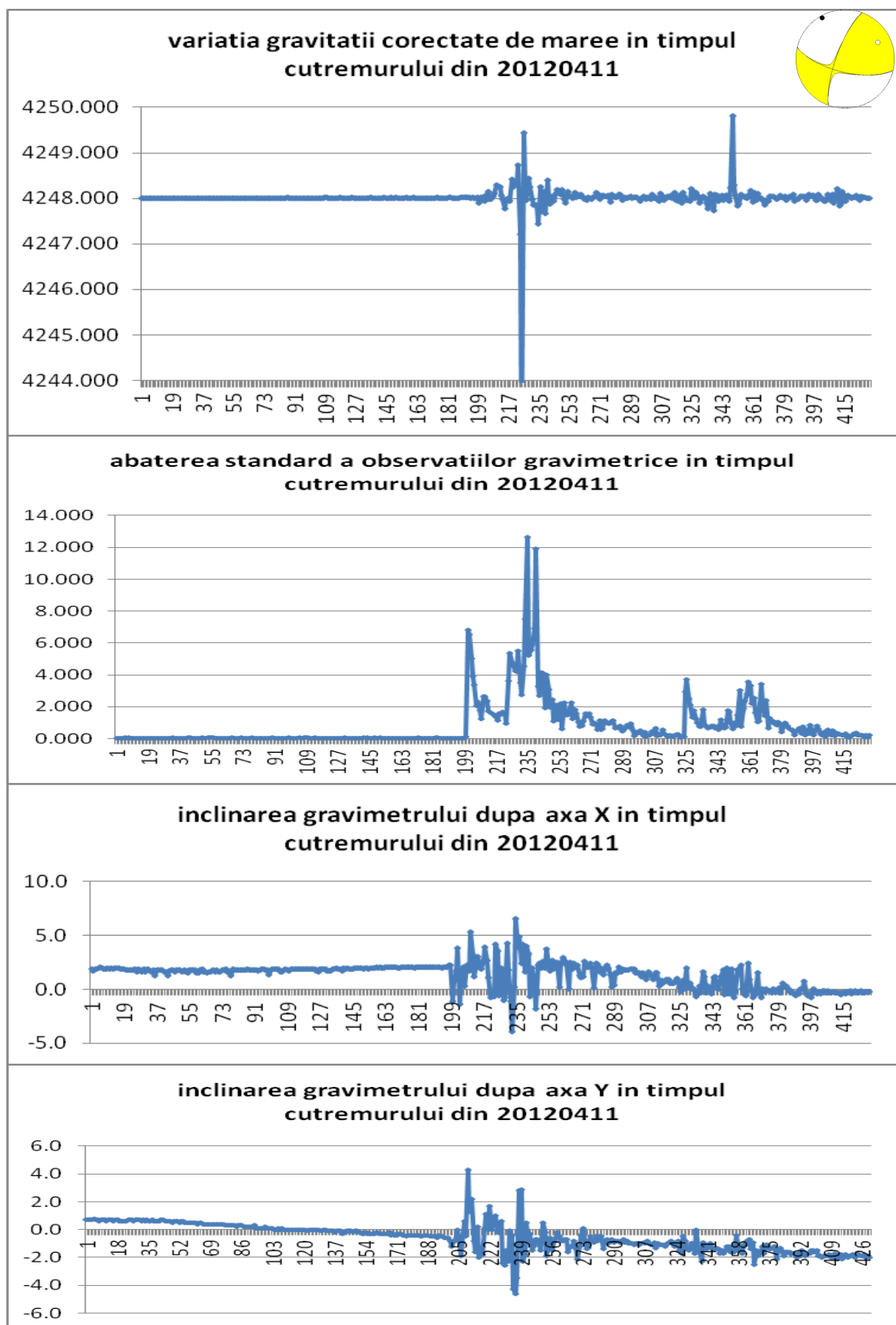
## CUTREMURUL DIN 20120320: Oaxaca, Mexico M7.3



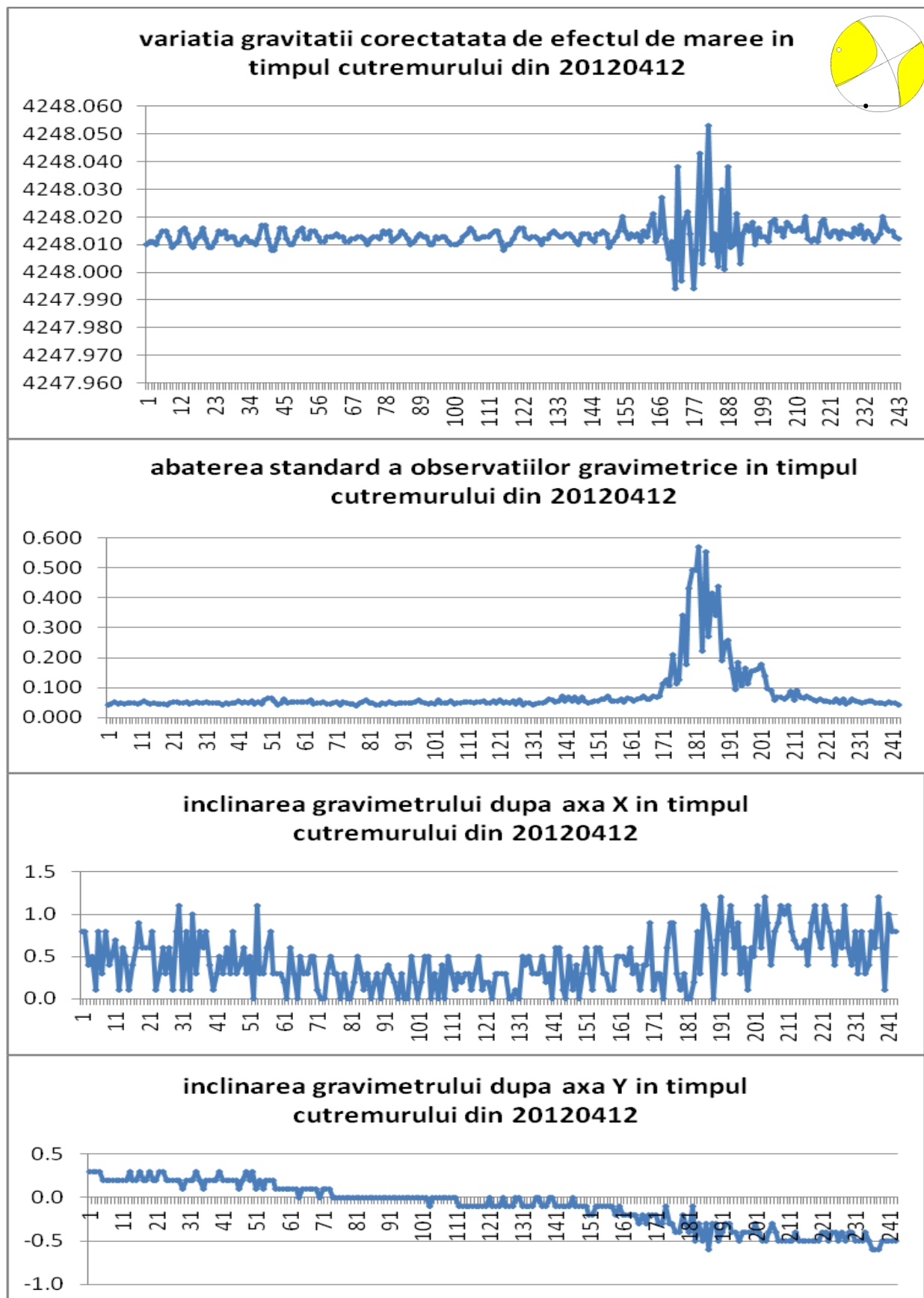
## CUTREMURUL DIN 20120411 W off-shore North Sumatra M8.6



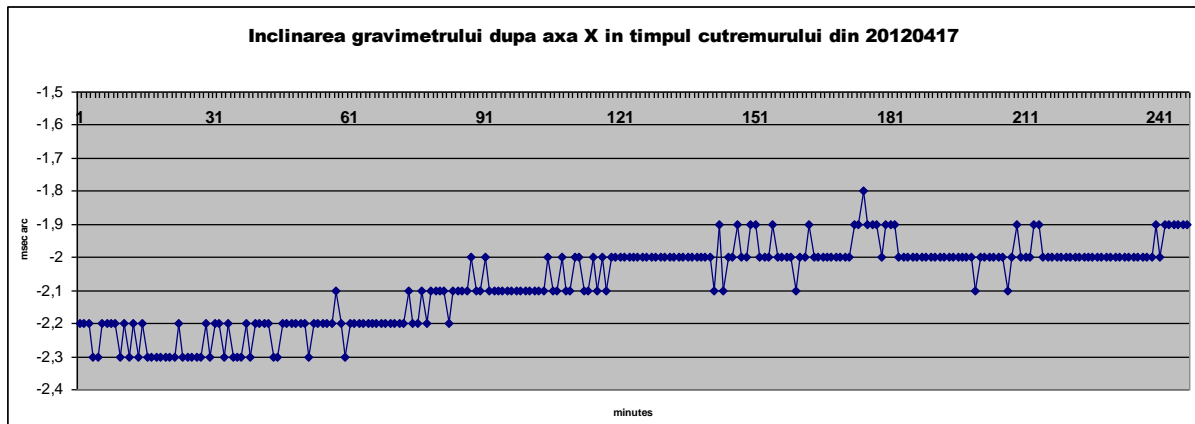
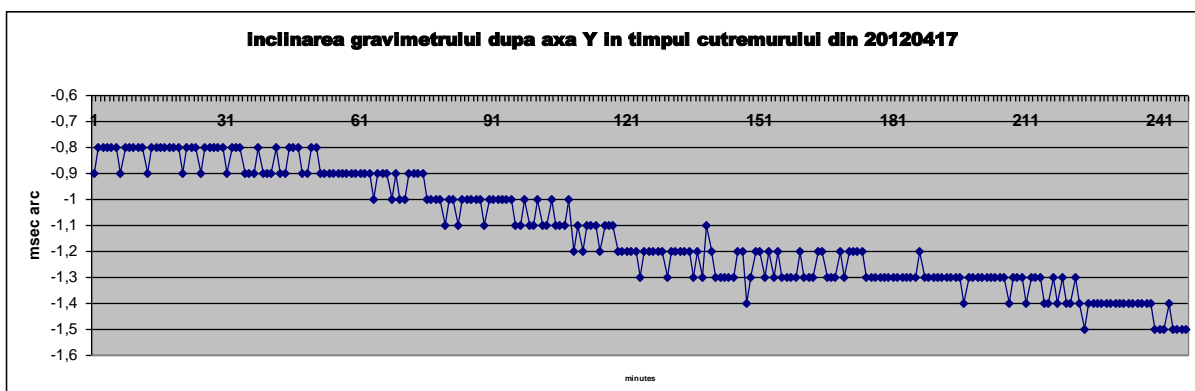
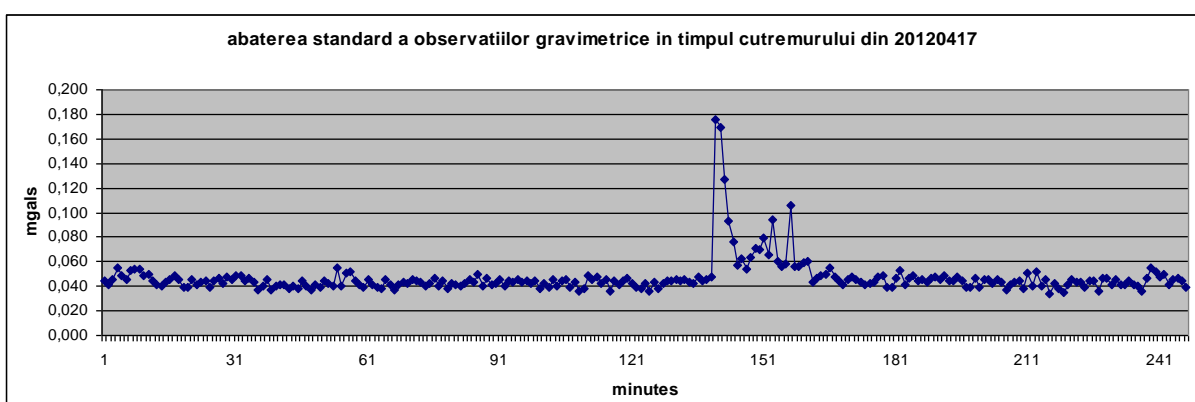
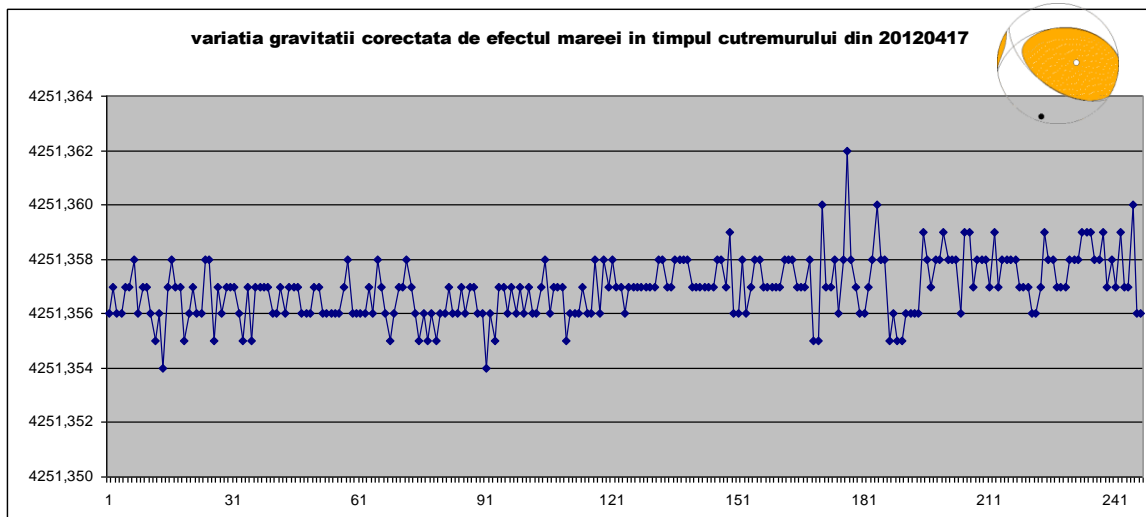
CUTREMURUL DIN 20120411: coasta de west a insulelor Sumatra M8.2



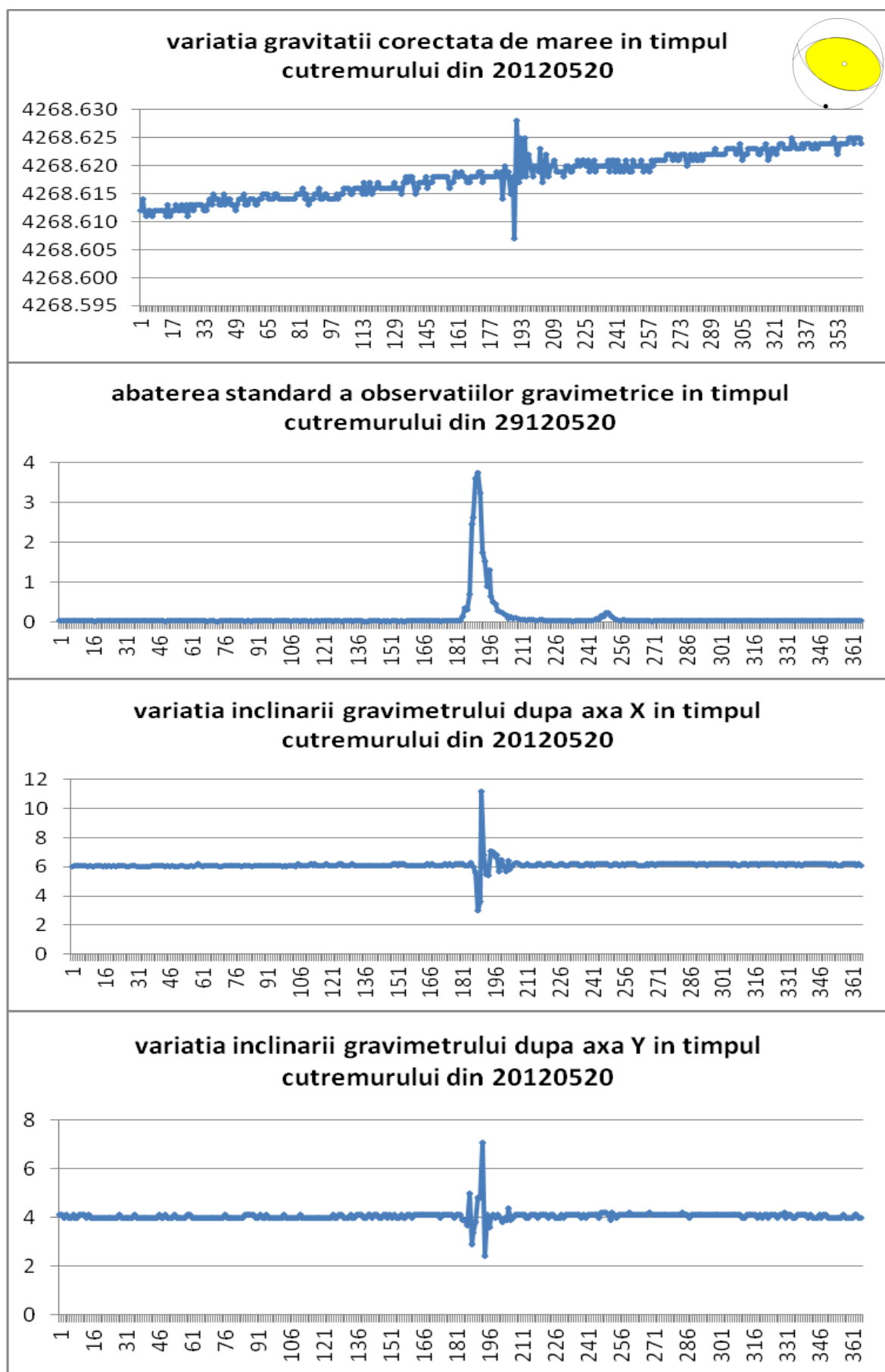
## CUTREMURUL DIN 20120412: Baja California, Mexic M6.9



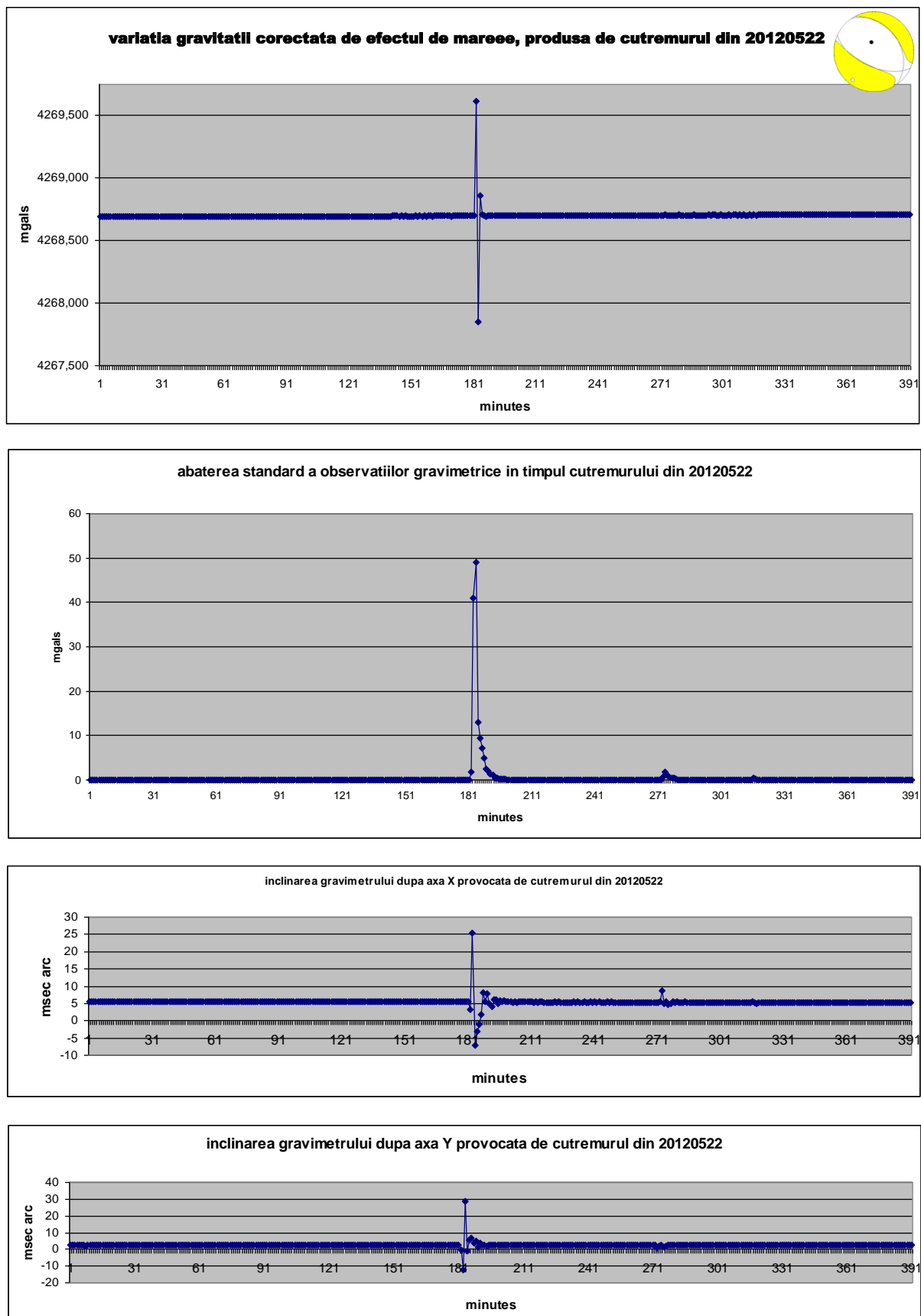
## CUTREMURUL DIN 2012.04.17: New Guinea M6.8



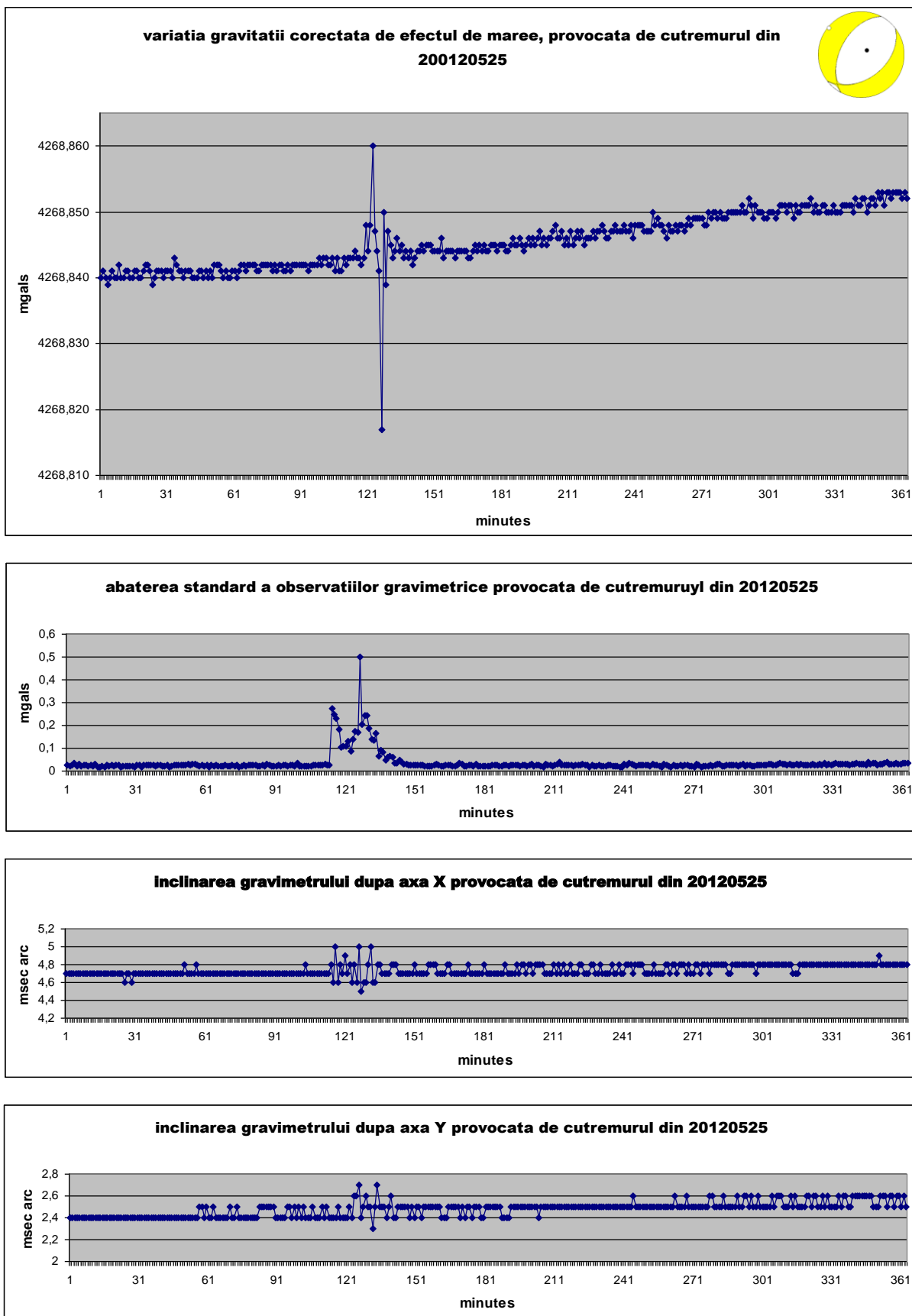
## CUTREMURUL DIN 20120520: Northern Italy M6.2



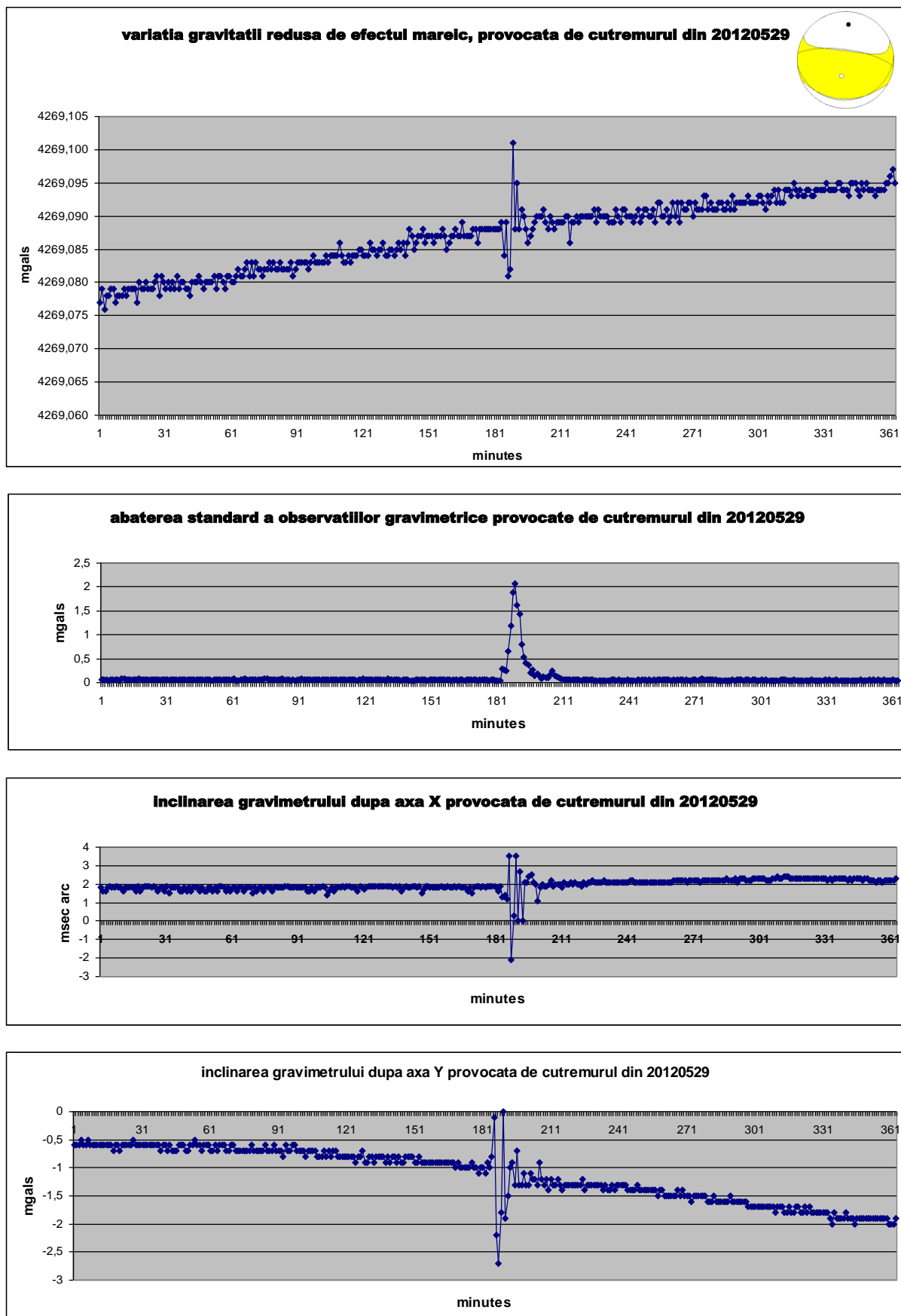
## CUTREMURUL DIN 20120522: Bulgaria M5.6



## CUTREMURUL DIN 20120525: Norwegian Sea M6.2



## CUTREMURUL DIN 20120529 Northern Italy M5.8



## **2.3. URMĂRIREA EVOLUȚIEI SPAȚIO-TEMPORALE A GRAVITĂȚII**

### **2.3.1. Determinări de gradient vertical**

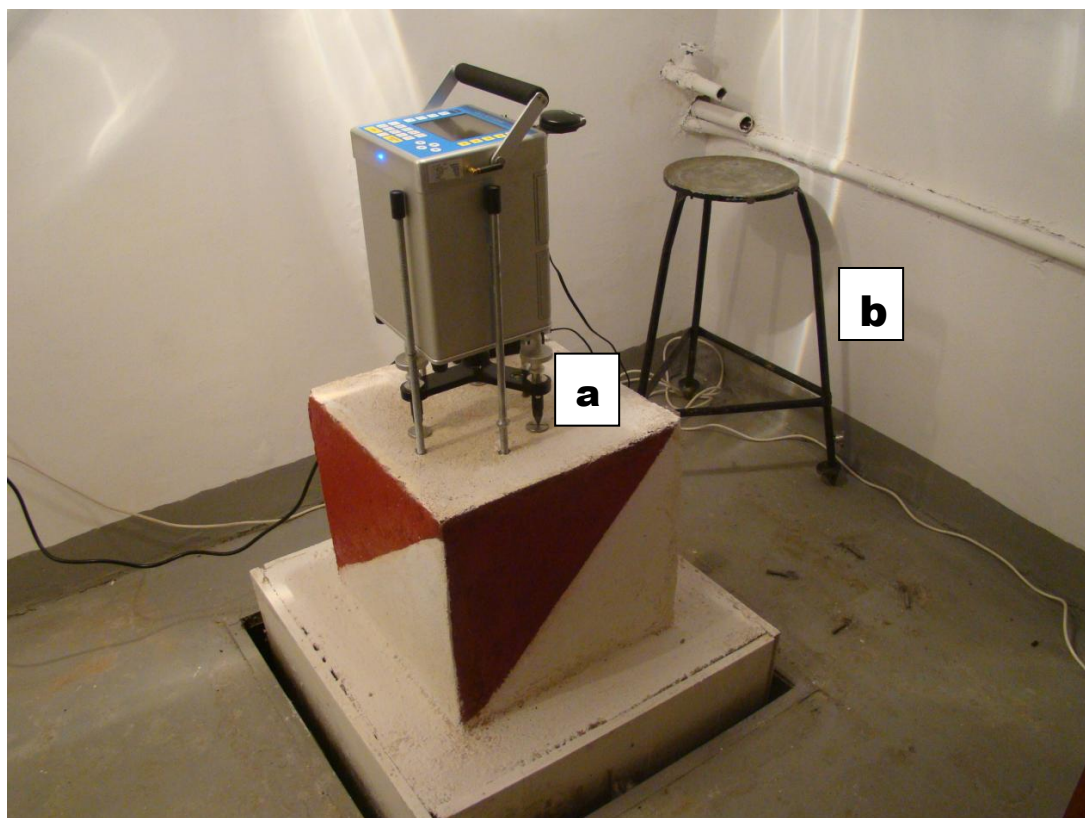
Urmare a realizării infrastructurii cibernetice propuse în cadrul proiectului (HPCC + HPVC + GeoWall), a avut loc o redistribuire de mase în cadrul clădirii care adăpostește laboratorul de gravitate, ceea ce a făcut necesară redeterminarea gradientului vertical al gravitației în zona pilastrului pentru observații gravimetrice.

Gradientul vertical al gravitației a fost realizat cu ajutorul unor masuratori diferențiale, la două nivele separate de un interval de 0.75 m.

Pentru asigurarea unei calități cât mai înalte, determinările au fost efectuate în mod repetat, în cicluri de măsură diferite și în zile diferite, având în vedere toate corectiile necesare (maree + drift).

Primele observații au fost efectuate la nivelul podelei, plasând trepiedul gravimetrului direct pe podeaua subsolului, în imediata vecinătate a pilastrului.

Pentru observații la o cotă superioară, trepiedul instrumentului a fost amplasat pe platoul unui trepied special confectionat în institut, având înălțimea de 0.75 m.



**Fig. 2.3.1.1 Trepiedele folosite în determinările de gradient vertical al gravitației: a) trepiedul gravimetrul CG-5; b) trepied auxiliar proiectat și realizat în atelierul mecanic al IGAR.**

Iată și rezultatele obținute.

LAT	LON	ALT	tide corr gravity	STD	Tilt X	Tilt Y	TEM	tide corr	cycle	rej	local timming	time	drift	drift corr g	dg	dg/dh =	
44.44	26.10	11	4225.035	0.064	1.6	-0.8	-0.90	0.019	55	1	10:22:10 40929.43137	2012/02/22	624	4225.031	-0.015		
44.44	26.10	11	4225.032	0.060	2.5	-0.5	-0.91	0.019	55	0	10:23:12 40929.43209	2012/02/22					
44.44	26.10	11	4225.031	0.053	3.1	-0.1	-0.91	0.019	55	1	10:24:12 40929.43278	2012/02/22					
44.44	26.10	11	4225.031	0.056	3.5	-0.1	-0.91	0.019	55	0	10:25:12 40929.43347	2012/02/22					
44.44	26.10	10	4225.031	0.056	3.8	0.0	-0.91	0.019	55	0	10:26:13 40929.43418	2012/02/22					
44.44	26.10	11	4224.826	0.071	-3.2	-1.5	-0.91	0.020	55	1	10:29:33 40929.43649	2012/02/22					
44.44	26.10	11	4224.827	0.050	-2.5	-1.2	-0.91	0.020	55	0	10:30:35 40929.43720	2012/02/22	630	-0.006	4224.832	-0.199	-0.2600
44.44	26.10	11	4224.829	0.050	-1.7	-1.0	-0.91	0.020	55	0	10:31:35 40929.43790	2012/02/22	631	-0.008	4224.835	-0.197	
44.44	26.10	11	4224.827	0.055	-0.7	0.2	-0.91	0.020	55	1	10:32:35 40929.43859	2012/02/22	632	-0.009	4224.838	-0.193	
44.44	26.10	10	4224.828	0.069	-1.2	-0.1	-0.90	0.020	55	0	10:33:36 40929.43930	2012/02/22	633	-0.010	4224.837	-0.194	
44.44	26.10	11	4225.018	0.058	-0.7	-2.0	-0.90	0.020	55	0	10:36:04 40929.44101	2012/02/22	634	-0.011	4224.839	-0.192	
44.44	26.10	11	4225.017	0.068	-0.3	-1.9	-0.90	0.020	55	0	10:37:06 40929.44172	2012/02/22	638	4225.016			
44.44	26.10	11	4225.017	0.058	0.0	-2.0	-0.90	0.020	55	0	10:38:06 40929.44242	2012/02/22	13.000				
44.44	26.10	11	4225.015	0.057	-0.9	-3.3	-0.90	0.020	55	4	10:39:06 40929.44311	2012/02/22	643	-0.001	4224.822	-0.194	-0.2592
44.44	26.10	10	4225.013	0.055	-0.4	-3.4	-0.90	0.020	55	0	10:40:07 40929.44381	2012/02/22	644	-0.001	4224.822	-0.194	
44.44	26.10	11	4224.821	0.066	-2.4	-2.3	-0.91	0.020	55	1	10:42:47 40929.44566	2012/02/22	645	-0.002	4224.821	-0.195	
44.44	26.10	11	4224.821	0.058	-2.1	-2.2	-0.91	0.020	55	0	10:43:49 40929.44638	2012/02/22	646	-0.002	4224.823	-0.193	
44.44	26.10	11	4224.819	0.061	-1.5	-1.5	-0.91	0.020	55	0	10:44:49 40929.44707	2012/02/22	647	-0.002	4224.820	-0.196	
44.44	26.10	11	4224.821	0.058	-1.6	-2.2	-0.91	0.020	55	1	10:45:49 40929.44777	2012/02/22	651	4225.013			
44.44	26.10	10	4224.818	0.061	-1.3	-2.3	-0.91	0.020	55	0	10:46:50 40929.44847	2012/02/22	13.000				
44.44	26.10	11	4225.015	0.066	-2.1	-2.9	-0.91	0.020	55	0	10:48:44 40929.44979	2012/02/22	656	-0.003	4224.827	-0.186	-0.2502
44.44	26.10	11	4225.021	0.064	-0.4	-0.7	-0.91	0.020	55	4	10:49:46 40929.45050	2012/02/22	657	-0.003	4224.825	-0.188	
44.44	26.10	11	4225.007	0.085	-1.3	-2.9	-0.91	0.020	55	6	10:50:46 40929.45120	2012/02/22	658	-0.004	4224.825	-0.188	
44.44	26.10	11	4225.011	0.048	-1.0	-2.9	-0.91	0.020	55	0	10:51:46 40929.45189	2012/02/22	659	-0.004	4224.825	-0.188	
44.44	26.10	10	4225.012	0.056	2.4	-2.2	-0.91	0.020	55	3	10:52:47 40929.45260	2012/02/22	660	-0.005	4224.825	-0.188	
44.44	26.10	11	4224.824	0.053	-0.3	-2.9	-0.92	0.020	55	0	10:55:31 40929.45449	2012/02/22	664	4225.006			
44.44	26.10	11	4224.822	0.050	0.6	-2.8	-0.92	0.020	55	0	10:56:33 40929.45521	2012/02/22					
44.44	26.10	11	4224.821	0.049	1.5	-2.8	-0.92	0.019	55	0	10:57:33 40929.45590	2012/02/22					
44.44	26.10	11	4224.821	0.049	2.1	-2.8	-0.92	0.019	55	0	10:58:33 40929.45659	2012/02/22					
44.44	26.10	11	4224.820	0.051	2.4	-3.0	-0.91	0.019	55	0	10:59:34 40929.45730	2012/02/22					
44.44	26.10	11	4225.009	0.061	-1.3	-2.2	-0.91	0.019	55	0	11:02:23 40929.45925	2012/02/22					
44.44	26.10	11	4225.007	0.051	-0.8	-2.1	-0.91	0.019	55	0	11:03:25 40929.45997	2012/02/22					
44.44	26.10	11	4225.005	0.057	-0.3	-2.0	-0.91	0.019	55	0	11:04:25 40929.46066	2012/02/22					
44.44	26.10	11	4225.006	0.049	0.0	-2.0	-0.91	0.019	55	0	11:05:25 40929.46136	2012/02/22					

44.44	26.10	10	4225.005	0.050	0.8	-2.1	-0.91	0.019	55	0	11:06:26	40929.46206	2012/02/22		13.000	0.011	
44.44	26.10	11	4224.809	0.052	-0.9	-2.9	-0.91	0.018	55	0	11:08:45	40929.46367	2012/02/22	669	0.004	4224.805	-0.201
44.44	26.10	11	4224.807	0.053	-0.5	-2.9	-0.91	0.018	55	0	11:09:47	40929.46438	2012/02/22	670	0.005	4224.802	-0.204
44.44	26.10	11	4224.805	0.058	0.0	-2.9	-0.91	0.018	55	0	11:10:47	40929.46508	2012/02/22	671	0.006	4224.799	-0.207
44.44	26.10	11	4224.804	0.052	0.8	-3.0	-0.91	0.018	55	0	11:11:47	40929.46577	2012/02/22	672	0.007	4224.797	-0.209
44.44	26.10	10	4224.805	0.052	1.5	-3.1	-0.91	0.018	55	0	11:12:48	40929.46647	2012/02/22	673	0.008	4224.797	-0.209
44.44	26.10	11	4225.025	0.064	-2.0	-3.5	-0.91	0.018	55	2	11:15:00	40929.46800	2012/02/22	677	4225.017		
44.44	26.10	11	4225.020	0.051	-1.3	-3.4	-0.91	0.017	55	0	11:16:02	40929.46872	2012/02/22		13.000		
44.44	26.10	11	4225.017	0.052	-1.0	-3.4	-0.91	0.017	55	0	11:17:02	40929.46941	2012/02/22		-0.002		
44.44	26.10	11	4225.013	0.052	-0.6	-3.4	-0.91	0.017	55	0	11:18:02	40929.47010	2012/02/22				
44.44	26.10	10	4225.011	0.046	-0.4	-3.5	-0.91	0.017	55	0	11:19:03	40929.47081	2012/02/22				
44.44	26.10	11	4224.818	0.047	-0.9	-4.0	-0.91	0.017	55	0	11:22:09	40929.47296	2012/02/22		682	-0.001	4224.819
44.44	26.10	11	4224.814	0.060	-0.3	-4.1	-0.91	0.016	55	0	11:23:11	40929.47367	2012/02/22	683	-0.001	4224.815	-0.202
44.44	26.10	11	4224.811	0.047	-0.1	-4.2	-0.91	0.016	55	0	11:24:11	40929.47437	2012/02/22	684	-0.001	4224.812	-0.205
44.44	26.10	11	4224.810	0.051	0.8	-4.5	-0.91	0.016	55	0	11:25:11	40929.47506	2012/02/22	685	-0.001	4224.811	-0.206
44.44	26.10	10	4224.807	0.048	1.2	-4.5	-0.90	0.016	55	0	11:26:12	40929.47577	2012/02/22	686	-0.001	4224.808	-0.209
44.44	26.10	11	4225.023	0.057	-0.9	-2.7	-0.90	0.015	55	0	11:28:27	40929.47733	2012/02/22	690	4225.015		
44.44	26.10	11	4225.018	0.052	-0.6	-3.0	-0.90	0.015	55	0	11:29:29	40929.47804	2012/02/22				
44.44	26.10	11	4225.015	0.054	-0.4	-3.2	-0.90	0.015	55	0	11:30:29	40929.47874	2012/02/22				
44.44	26.10	11	4225.012	0.051	1.1	-3.2	-0.90	0.015	55	0	11:31:29	40929.47943	2012/02/22				
44.44	26.10	10	4225.008	0.056	0.0	-3.4	-0.90	0.015	55	0	11:32:30	40929.48013	2012/02/22				
44.44	26.10	11	4224.858	0.062	-6.7	-2.7	-0.91	0.014	55	0	11:35:59	40929.48255	2012/02/22	696			
44.44	26.10	11	4224.849	0.062	-6.4	-2.1	-0.91	0.013	55	0	11:37:01	40929.48326	2012/02/22	697			
44.44	26.10	11	4224.844	0.053	-6.1	-2.0	-0.91	0.013	55	0	11:38:01	40929.48396	2012/02/22	698			
44.44	26.10	11	4224.838	0.052	-5.8	-2.1	-0.91	0.013	55	0	11:39:01	40929.48465	2012/02/22	699			
44.44	26.10	11	4224.836	0.062	-6.4	-2.3	-0.90	0.013	55	1	11:40:02	40929.48536	2012/02/22	700			
44.44	26.10	11	4225.071	0.060	-3.0	-2.7	-0.90	0.012	55	0	11:42:16	40929.48690	2012/02/22	704	4225.053		
44.44	26.10	11	4225.059	0.057	-2.3	-2.7	-0.90	0.012	55	0	11:43:18	40929.48762	2012/02/22				
44.44	26.10	12	4225.051	0.053	-1.8	-2.8	-0.90	0.012	55	0	11:44:18	40929.48831	2012/02/22				
44.44	26.10	10	4225.040	0.051	-1.2	-3.0	-0.91	0.011	55	0	11:46:19	40929.48971	2012/02/22				

44.44	26.10	9	4225.004	0.057	-0.4	-2.3	-0.90	-0.026	55	0	08:15:04	40930.34325	2012/02/23			
-------	-------	---	----------	-------	------	------	-------	--------	----	---	----------	-------------	------------	--	--	--

44.44	26.10	9	4225.004	0.050	0.2	-2.6	-0.90	-0.026	55	0	08:16:06 40930.34396	2012/02/23	497   4225.004 15.000 0.014
44.44	26.10	9	4225.004	0.061	-0.9	-3.9	-0.90	-0.025	55	2	08:17:06 40930.34466	2012/02/23	
44.44	26.10	9	4225.004	0.063	-0.5	-4.3	-0.90	-0.025	55	0	08:18:06 40930.34535	2012/02/23	
44.44	26.10	8	4225.004	0.046	-0.3	-4.7	-0.90	-0.024	55	0	08:19:07 40930.34605	2012/02/23	
44.44	26.10	9	4224.817	0.059	1.1	-0.7	-0.90	-0.022	55	1	08:22:45 40930.34857	2012/02/23	503 0.006 4224.811 -0.193 504 0.007 4224.811 -0.193 505 0.007 4224.811 -0.193 506 0.008 4224.809 -0.195 507 0.009 4224.804 -0.200 512 0.014 4225.018 14.000 0.004
44.44	26.10	9	4224.818	0.058	2.4	-0.7	-0.90	-0.021	55	0	08:23:47 40930.34929	2012/02/23	
44.44	26.10	10	4224.818	0.054	2.9	-0.8	-0.90	-0.021	55	0	08:24:47 40930.34998	2012/02/23	
44.44	26.10	10	4224.817	0.048	4.2	0.1	-0.90	-0.020	55	1	08:25:47 40930.35068	2012/02/23	
44.44	26.10	9	4224.813	0.079	3.4	-0.8	-0.90	-0.020	55	4	08:26:48 40930.35138	2012/02/23	
44.44	26.10	10	4225.020	0.057	-1.1	-1.4	-0.90	-0.018	55	1	08:30:21 40930.35384	2012/02/23	
44.44	26.10	10	4225.019	0.051	-0.2	-1.1	-0.90	-0.018	55	0	08:31:23 40930.35456	2012/02/23	
44.44	26.10	10	4225.017	0.048	1.1	-1.2	-0.90	-0.017	55	0	08:32:23 40930.35525	2012/02/23	
44.44	26.10	10	4225.016	0.079	2.3	-1.1	-0.90	-0.017	55	6	08:33:23 40930.35595	2012/02/23	-0.2598
44.44	26.10	9	4225.016	0.074	2.7	-1.1	-0.90	-0.016	55	3	08:34:24 40930.35665	2012/02/23	
44.44	26.10	11	4224.824	0.067	-0.7	1.1	-0.90	-0.014	55	1	08:37:47 40930.35900	2012/02/23	
44.44	26.10	11	4224.824	0.053	0.4	1.2	-0.90	-0.013	55	0	08:38:49 40930.35971	2012/02/23	
44.44	26.10	11	4224.823	0.060	2.3	1.2	-0.90	-0.013	55	0	08:39:49 40930.36041	2012/02/23	
44.44	26.10	11	4224.825	0.052	2.9	1.3	-0.90	-0.012	55	0	08:40:49 40930.36110	2012/02/23	
44.44	26.10	10	4224.823	0.069	3.4	1.3	-0.90	-0.012	55	1	08:41:50 40930.36180	2012/02/23	
44.44	26.10	11	4225.028	0.049	0.1	-3.7	-0.90	-0.011	55	4	08:44:01 40930.36332	2012/02/23	
44.44	26.10	11	4225.022	0.051	2.3	-3.5	-0.90	-0.010	55	0	08:45:03 40930.36403	2012/02/23	
44.44	26.10	11	4225.021	0.049	3.1	-3.3	-0.90	-0.010	55	0	08:46:03 40930.36473	2012/02/23	-0.2620
44.44	26.10	11	4225.019	0.053	3.5	-3.3	-0.90	-0.009	55	0	08:47:03 40930.36542	2012/02/23	
44.44	26.10	10	4225.018	0.056	4.1	-3.3	-0.90	-0.009	55	0	08:48:04 40930.36613	2012/02/23	
44.44	26.10	11	4224.838	0.061	-2.7	-1.1	-0.91	-0.007	55	1	08:51:01 40930.36817	2012/02/23	
44.44	26.10	11	4224.833	0.052	-1.9	-0.9	-0.90	-0.007	55	0	08:52:03 40930.36889	2012/02/23	
44.44	26.10	11	4224.833	0.061	-1.1	-1.1	-0.90	-0.006	55	0	08:53:03 40930.36958	2012/02/23	
44.44	26.10	11	4224.831	0.055	0.0	-0.9	-0.90	-0.006	55	6	08:54:03 40930.37027	2012/02/23	
44.44	26.10	10	4224.924	0.147	1.2	-0.6	-0.90	-0.005	55	14	08:55:04 40930.37098	2012/02/23	
44.44	26.10	11	4225.107	0.082	0.3	-2.6	-0.90	-0.004	55	3	08:57:17 40930.37252	2012/02/23	539   4225.065
44.44	26.10	11	4225.040	0.054	2.3	-2.6	-0.90	-0.004	55	0	08:58:19 40930.37323	2012/02/23	
44.44	26.10	11	4225.061	0.126	2.5	-2.8	-0.91	-0.003	55	22	08:59:19 40930.37393	2012/02/23	
44.44	26.10	11	4225.049	0.070	2.9	-2.7	-0.91	-0.003	55	4	09:00:19 40930.37462	2012/02/23	

44.44	26.10	11	4225.069	0.125	2.3	-3.4	-0.90	-0.002	55	3	09:01:20	40930.37532	2012/02/23		
44.44	26.10	9	4224.971	0.046	-1.9	-2.8	-0.88	-0.043	55	0	07:56:20	40931.33026	2012/02/24	478 4224.968  13.000 0.016	-0.2646
44.44	26.10	9	4224.968	0.044	-1.2	-2.7	-0.88	-0.043	55	0	07:57:22	40931.33097	2012/02/24		
44.44	26.10	9	4224.969	0.043	-0.6	-2.4	-0.89	-0.042	55	1	07:58:22	40931.33167	2012/02/24		
44.44	26.10	9	4224.966	0.052	-0.4	-3.1	-0.89	-0.042	55	0	07:59:22	40931.33236	2012/02/24		
44.44	26.10	9	4224.967	0.043	-0.2	-3.3	-0.88	-0.041	55	0	08:00:23	40931.33307	2012/02/24		
44.44	26.10	10	4224.782	0.069	-2.4	0.3	-0.88	-0.040	55	3	08:02:47	40931.33473	2012/02/24		
44.44	26.10	10	4224.779	0.051	-1.9	0.2	-0.88	-0.039	55	0	08:03:49	40931.33545	2012/02/24		
44.44	26.10	10	4224.778	0.049	-1.2	0.1	-0.88	-0.038	55	0	08:04:49	40931.33614	2012/02/24		
44.44	26.10	10	4224.777	0.054	-0.9	0.0	-0.88	-0.038	55	0	08:05:49	40931.33683	2012/02/24		
44.44	26.10	9	4224.775	0.058	-0.5	0.0	-0.88	-0.037	55	0	08:06:50	40931.33754	2012/02/24		
44.44	26.10	10	4224.989	0.062	-3.2	-4.1	-0.88	-0.036	55	6	08:08:55	40931.33898	2012/02/24	491 4224.984  13.000 -0.013	-0.2731
44.44	26.10	11	4224.986	0.051	-2.4	-4.4	-0.88	-0.036	55	0	08:09:57	40931.33970	2012/02/24		
44.44	26.10	10	4224.984	0.050	-1.7	-4.5	-0.88	-0.035	55	0	08:10:57	40931.34039	2012/02/24		
44.44	26.10	11	4224.981	0.038	-1.1	-4.7	-0.88	-0.035	55	0	08:11:57	40931.34109	2012/02/24		
44.44	26.10	10	4224.980	0.041	-0.7	-4.8	-0.88	-0.034	55	0	08:12:58	40931.34179	2012/02/24		
44.44	26.10	11	4224.776	0.057	0.7	-2.7	-0.88	-0.033	55	3	08:15:20	40931.34343	2012/02/24		
44.44	26.10	11	4224.774	0.069	1.9	-2.6	-0.88	-0.033	55	1	08:16:22	40931.34415	2012/02/24		
44.44	26.10	11	4224.772	0.044	2.5	-2.5	-0.88	-0.032	55	0	08:17:22	40931.34484	2012/02/24		
44.44	26.10	11	4224.771	0.048	2.9	-2.5	-0.88	-0.032	55	0	08:18:22	40931.34553	2012/02/24		
44.44	26.10	10	4224.773	0.050	3.2	-2.4	-0.88	-0.031	55	0	08:19:23	40931.34624	2012/02/24		
44.44	26.10	11	4224.976	0.047	-0.7	-3.8	-0.89	-0.029	55	0	08:21:30	40931.34771	2012/02/24	504 4224.971  12.000 -0.003	-0.2345
44.44	26.10	11	4224.972	0.053	0.8	-3.8	-0.89	-0.029	55	0	08:22:32	40931.34842	2012/02/24		
44.44	26.10	11	4224.970	0.049	2.1	-4.0	-0.89	-0.028	55	0	08:23:32	40931.34912	2012/02/24		
44.44	26.10	11	4224.970	0.049	2.6	-4.1	-0.89	-0.028	55	1	08:24:32	40931.34981	2012/02/24		
44.44	26.10	10	4224.969	0.050	2.9	-4.1	-0.89	-0.027	55	0	08:25:33	40931.35051	2012/02/24		
44.44	26.10	11	4224.800	0.055	-3.2	-3.0	-0.89	-0.026	55	0	08:28:13	40931.35236	2012/02/24		
44.44	26.10	11	4224.795	0.045	-2.7	-2.7	-0.89	-0.026	55	0	08:29:15	40931.35308	2012/02/24		
44.44	26.10	11	4224.792	0.053	-2.0	-2.5	-0.89	-0.025	55	0	08:30:15	40931.35377	2012/02/24		
44.44	26.10	11	4224.791	0.056	-1.5	-2.4	-0.89	-0.024	55	0	08:31:15	40931.35447	2012/02/24		
44.44	26.10	11	4224.790	0.049	-0.9	-2.2	-0.89	-0.024	55	0	08:32:16	40931.35517	2012/02/24		
44.44	26.10	12	4224.967	0.050	-0.5	-1.4	-0.89	-0.023	55	0	08:34:16	40931.35656	2012/02/24		

44.44	26.10	12	4224.968	0.058	1.9	-1.3	-0.89	-0.022	55	0	08:35:18 40931.35727	2012/02/24
44.44	26.10	12	4224.970	0.052	2.6	-1.3	-0.89	-0.022	55	0	08:36:18 40931.35797	2012/02/24
44.44	26.10	12	4224.968	0.051	3.1	-1.3	-0.89	-0.021	55	0	08:37:18 40931.35866	2012/02/24
44.44	26.10	11	4224.969	0.054	3.4	-1.4	-0.89	-0.021	55	0	08:38:19 40931.35937	2012/02/24

LAT	LON	ALT	tide corr gravity	STD	Tilt X	Tilt Y	TEM	tide corr	cyc	rej	local timing	medie zilnica	-0.2608	0.009	dg/dh mediu	STD
44.4383	26.1052	10	4224.708	0.086	-1.2	-3	-0.88	-0.063	55	0	10:04:41 40935.41925	2012/02/28	607	4224.706	dg/dh	0.0055
44.4383	26.1027	10	4224.706	0.074	-0.3	-4	-0.88	-0.063	55	0	10:05:43 40935.41996	2012/02/28				
44.4383	26.1027	10	4224.705	0.063	-0.4	-4.4	-0.89	-0.063	55	0	10:06:43 40935.42066	2012/02/28				
44.4383	26.1027	10	4224.705	0.068	0.3	-5.7	-0.89	-0.063	55	1	10:07:43 40935.42135	2012/02/28				
44.4383	26.1027	9	4224.705	0.071	0	-6.6	-0.89	-0.062	55	0	10:08:44 40935.42206	2012/02/28	16	0.019	dg/dh	0.0055
44.4383	26.1026	10	4224.529	0.085	-0.9	-1.3	-0.90	-0.062	55	0	10:11:51 40935.42422	2012/02/28				
44.4383	26.1029	11	4224.528	0.085	-0.4	-1.1	-0.90	-0.061	55	0	10:12:53 40935.42493	2012/02/28				
44.4383	26.1029	11	4224.526	0.077	-0.4	-1.3	-0.90	-0.061	55	0	10:13:53 40935.42563	2012/02/28				
44.4383	26.1029	11	4224.524	0.093	-0.4	-1.2	-0.89	-0.061	55	0	10:14:53 40935.42632	2012/02/28				
44.4383	26.1029	10	4224.524	0.067	0.2	-1.1	-0.89	-0.061	55	0	10:15:54 40935.42702	2012/02/28	616	-0.011	4224.513	-0.2569
44.4383	26.1028	11	4224.726	0.094	-0.4	-2.4	-0.88	-0.059	55	0	10:20:57 40935.43053	2012/02/28				
44.4383	26.1031	11	4224.726	0.066	1.9	-2.2	-0.87	-0.059	55	0	10:21:59 40935.43124	2012/02/28				
44.4383	26.1031	12	4224.725	0.073	2.6	-2.3	-0.87	-0.059	55	0	10:22:59 40935.43194	2012/02/28				
44.4383	26.1032	12	4224.723	0.091	3.4	-1.7	-0.86	-0.059	55	0	10:23:59 40935.43263	2012/02/28	623	4224.724	dg/dh	0.0077
44.4383	26.1032	11	4224.722	0.078	3.9	-1.5	-0.86	-0.058	55	0	10:25:00 40935.43333	2012/02/28				
44.4383	26.1030	12	4224.548	0.074	-1.3	-4.4	-0.87	-0.057	55	0	10:28:47 40935.43596	2012/02/28				
44.4383	26.1032	12	4224.546	0.073	-1	-3.9	-0.87	-0.057	55	0	10:29:49 40935.43667	2012/02/28				
44.4383	26.1032	12	4224.542	0.092	-1	-3.5	-0.87	-0.057	55	0	10:30:49 40935.43737	2012/02/28	631	-0.012	4224.530	-0.2568
44.4383	26.1033	12	4224.541	0.082	-0.6	-2.7	-0.88	-0.056	55	0	10:31:49 40935.43806	2012/02/28				
44.4383	26.1033	11	4224.540	0.080	-0.9	-2.5	-0.88	-0.056	55	0	10:32:50 40935.43876	2012/02/28				
44.4383	26.1031	12	4224.754	0.091	-2.6	0.8	-0.89	-0.055	55	0	10:36:40 40935.44142	2012/02/28				
44.4383	26.1033	12	4224.751	0.081	-1.6	1.2	-0.89	-0.055	55	0	10:37:42 40935.44214	2012/02/28	639	4224.749	dg/dh	0.0011
44.4383	26.1033	12	4224.747	0.069	-1	1.5	-0.89	-0.054	55	0	10:38:42 40935.44283	2012/02/28				
44.4383	26.1033	12	4224.746	0.070	-0.5	1.8	-0.89	-0.054	55	0	10:39:42 40935.44353	2012/02/28				
44.4383	26.1033	11	4224.745	0.059	-0.1	2.1	-0.89	-0.054	55	0	10:40:43 40935.44423	2012/02/28				
44.4383	26.1031	12	4224.541	0.057	-3	-0.9	-0.89	-0.053	55	0	10:42:50 40935.44570	2012/02/28	643	0.006	4224.547	-0.2687
44.4383	26.1033	12	4224.538	0.091	-2.5	-0.4	-0.89	-0.053	55	0	10:43:52 40935.44641	2012/02/28				
44.4383	26.1033	12	4224.537	0.073	-2.5	-0.3	-0.89	-0.053	55	0	10:44:52 40935.44711	2012/02/28				
44.4383	26.1033	12	4224.534	0.083	-2.6	-0.7	-0.90	-0.052	55	0	10:45:52 40935.44780	2012/02/28				

44.4383	26.1033	11	4224.534	0.088	-2.3	-0.7	-0.90	-0.052	55	0	10:46:53 40935.44851	2012/02/28	647	0.013	4224.547	-0.2694		
44.4383	26.1031	12	4224.731	0.072	-1.3	-2.1	-0.90	-0.051	55	0	10:49:58 40935.45064	2012/02/28	652	4224.727	13	-0.009		
44.4383	26.1033	12	4224.729	0.071	-0.5	-2.5	-0.90	-0.051	55	0	10:51:00 40935.45136	2012/02/28						
44.4383	26.1033	12	4224.728	0.080	0	-2.5	-0.90	-0.050	55	0	10:52:00 40935.45205	2012/02/28						
44.4383	26.1033	12	4224.725	0.092	2.2	-2.4	-0.90	-0.050	55	0	10:53:00 40935.45275	2012/02/28						
44.4383	26.1033	11	4224.723	0.075	2.3	-2.6	-0.90	-0.050	55	0	10:54:01 40935.45345	2012/02/28						
44.4383	26.1031	12	4224.528	0.064	-0.1	-5.7	-0.91	-0.049	55	0	10:56:24 40935.45510	2012/02/28						
44.4383	26.1033	12	4224.525	0.084	0.1	-5.8	-0.91	-0.049	55	0	10:57:26 40935.45582	2012/02/28	657	0.003	4224.528	-0.2652	-0.2655	0.0021
44.4383	26.1033	12	4224.524	0.074	1.1	-6.2	-0.91	-0.048	55	0	10:58:26 40935.45651	2012/02/28	658	0.004	4224.528	-0.2657		
44.4383	26.1033	12	4224.522	0.072	1.8	-7	-0.91	-0.048	55	0	10:59:26 40935.45721	2012/02/28	659	0.004	4224.526	-0.2676		
44.4383	26.1033	11	4224.522	0.093	2.1	-6.7	-0.91	-0.048	55	0	11:00:27 40935.45791	2012/02/28	660	0.005	4224.527	-0.2668		
44.4383	26.1031	12	4224.722	0.085	-0.9	-4	-0.91	-0.047	55	0	11:02:55 40935.45962	2012/02/28						
44.4383	26.1033	12	4224.720	0.075	-0.1	-3.8	-0.91	-0.046	55	0	11:03:57 40935.46034	2012/02/28						
44.4383	26.1033	12	4224.718	0.067	1.5	-4	-0.91	-0.046	55	0	11:04:57 40935.46103	2012/02/28	665	0.009	4224.719			
44.4383	26.1033	12	4224.716	0.069	2.4	-4	-0.91	-0.046	55	0	11:05:57 40935.46173	2012/02/28						
44.4383	26.1033	11	4224.717	0.062	2.5	-4.2	-0.91	-0.045	55	0	11:06:58 40935.46243	2012/02/28						
44.4383	26.1031	12	4224.708	0.078	-1	1.2	-0.91	-0.044	55	0	11:10:00 40935.46453	2012/02/28						
44.4383	26.1033	12	4224.709	0.081	-0.2	0.8	-0.91	-0.044	55	0	11:11:02 40935.46525	2012/02/28						
44.4383	26.1033	12	4224.707	0.071	1.1	0.7	-0.91	-0.044	55	0	11:12:02 40935.46594	2012/02/28						
44.4383	26.1034	12	4224.706	0.073	2	0.6	-0.91	-0.043	55	0	11:13:02 40935.46664	2012/02/28	672	0.019	4224.707			
44.4383	26.1034	11	4224.705	0.079	2.3	0.6	-0.90	-0.043	55	0	11:14:03 40935.46734	2012/02/28						
44.4383	26.1031	12	4224.504	0.075	-3.4	-5.5	-0.90	-0.042	55	0	11:17:38 40935.46983	2012/02/28						
44.4383	26.1033	12	4224.507	0.086	-3.5	-5.8	-0.90	-0.041	55	0	11:18:40 40935.47054	2012/02/28						
44.4383	26.1033	12	4224.505	0.070	-3.5	-6.3	-0.90	-0.041	55	0	11:19:40 40935.47124	2012/02/28						
44.4383	26.1033	12	4224.505	0.085	-3.9	-6.7	-0.90	-0.040	55	0	11:20:40 40935.47193	2012/02/28						
44.4383	26.1033	12	4224.504	0.076	-4	-8.2	-0.90	-0.040	55	0	11:21:41 40935.47263	2012/02/28	682	-0.014	4224.490	-0.2888	-0.2838	0.0036
44.4383	26.1032	12	4224.735	0.095	0	-0.5	-0.90	-0.039	55	0	11:23:33 40935.47393	2012/02/28						
44.4383	26.1034	12	4224.729	0.071	2.9	-0.4	-0.90	-0.039	55	0	11:24:35 40935.47464	2012/02/28						
44.4383	26.1034	12	4224.725	0.071	3.7	-0.3	-0.90	-0.039	55	0	11:25:35 40935.47534	2012/02/28						
44.4383	26.1034	12	4224.721	0.088	4.1	-0.6	-0.90	-0.038	55	0	11:26:35 40935.47603	2012/02/28						
44.4383	26.1034	12	4224.720	0.088	4	-0.8	-0.90	-0.038	55	0	11:27:36 40935.47674	2012/02/28						
44.4383	26.1032	12	4224.538	0.064	-4.3	-5.5	-0.91	-0.037	55	0	11:30:37 40935.47883	2012/02/28	691	-0.001	4224.537	-0.2522	-0.2643	0.0084
44.4383	26.1033	12	4224.532	0.083	-4.3	-5.9	-0.91	-0.036	55	0	11:31:39 40935.47954	2012/02/28	692	-0.001	4224.531	-0.2605		
44.4383	26.1034	12	4224.529	0.080	-4	-6	-0.91	-0.036	55	0	11:32:39 40935.48024	2012/02/28	693	-0.002	4224.527	-0.2648		
44.4383	26.1034	12	4224.525	0.076	-4.3	-6.4	-0.91	-0.036	55	0	11:33:39 40935.48093	2012/02/28	694	-0.002	4224.523	-0.2705		
44.4383	26.1034	12	4224.523	0.071	-3.9	-6.5	-0.91	-0.035	55	0	11:34:40 40935.48164	2012/02/28	695	-0.002	4224.521	-0.2734		
44.4383	26.1032	12	4224.739	0.101	-2.2	-3.3	-0.91	-0.034	55	0	11:36:47 40935.48310	2012/02/28						

44.4383	26.1035	12	4224.732	0.073	-1.6	-3.5	-0.91	-0.034	55	0	11:37:49 40935.48382	2012/02/28	699	4224.729	12	-0.002		
44.4383	26.1034	12	4224.728	0.093	-0.9	-3.6	-0.91	-0.034	55	0	11:38:49 40935.48451	2012/02/28						
44.4383	26.1035	12	4224.724	0.096	-0.6	-3.9	-0.91	-0.033	55	0	11:39:49 40935.48521	2012/02/28						
44.4383	26.1035	12	4224.721	0.081	0	-3.8	-0.91	-0.033	55	0	11:40:50 40935.48591	2012/02/28						
44.4383	26.1032	12	4224.566	0.082	-3.8	-5.9	-0.91	-0.032	55	0	11:43:06 40935.48748	2012/02/28						
44.4383	26.1034	12	4224.558	0.087	-3.1	-5.2	-0.91	-0.032	55	0	11:44:08 40935.48820	2012/02/28	704	0.001	4224.559	-0.2269	-0.2339	0.0126
44.4383	26.1034	12	4224.551	0.072	-3.6	-6.1	-0.91	-0.031	55	0	11:45:08 40935.48889	2012/02/28	705	0.001	4224.552	-0.2360		
44.4383	26.1034	12	4224.547	0.077	-3.5	-6.5	-0.91	-0.031	55	3	11:46:08 40935.48959	2012/02/28	706	0.001	4224.548	-0.2411		
44.4383	26.1034	11	4224.541	0.088	-3.4	-6.5	-0.91	-0.030	55	0	11:47:09 40935.49029	2012/02/28	707	0.001	4224.542	-0.2489		
44.4383	26.1031	12	4224.736	0.076	-0.9	-1.5	-0.91	-0.030	55	0	11:49:03 40935.49161	2012/02/28	711	4224.727	26	0.003		
44.4383	26.1034	12	4224.730	0.085	-0.5	-1.7	-0.91	-0.029	55	0	11:50:05 40935.49232	2012/02/28						
44.4383	26.1034	12	4224.726	0.091	0	-2.1	-0.91	-0.029	55	0	11:51:05 40935.49302	2012/02/28						
44.4383	26.1034	12	4224.723	0.085	0	-2.7	-0.91	-0.028	55	0	11:52:05 40935.49371	2012/02/28						
44.4383	26.1034	12	4224.720	0.069	1.2	-3.2	-0.91	-0.028	55	0	11:53:06 40935.49442	2012/02/28						
44.4383	26.1032	12	4224.536	0.080	-4	-4.6	-0.92	-0.027	55	0	11:55:39 40935.49618	2012/02/28	716	-0.001	4224.535	-0.2554	-0.2661	0.0077
44.4383	26.1034	12	4224.531	0.086	-3.9	-5.2	-0.92	-0.026	55	0	11:56:41 40935.49690	2012/02/28	717	-0.001	4224.530	-0.2623		
44.4383	26.1034	12	4224.527	0.070	-3.5	-5.5	-0.92	-0.026	55	0	11:57:41 40935.49759	2012/02/28	718	-0.001	4224.526	-0.2677		
44.4383	26.1034	12	4224.526	0.079	-3.3	-5.8	-0.91	-0.026	55	0	11:58:41 40935.49829	2012/02/28	719	-0.001	4224.525	-0.2692		
44.4383	26.1034	12	4224.521	0.088	-3.3	-5.9	-0.91	-0.025	55	0	11:59:42 40935.49899	2012/02/28	720	-0.001	4224.520	-0.2761		
44.4383	26.1032	12	4224.705	0.077	0	-1	-0.92	-0.024	55	0	12:01:40 40935.50036	2012/02/28	724	4224.702	26	-0.002		
44.4383	26.1035	12	4224.701	0.072	1.8	-1.4	-0.92	-0.024	55	1	12:02:42 40935.50107	2012/02/28						
44.4383	26.1035	12	4224.701	0.097	2.3	-1.5	-0.91	-0.023	55	0	12:03:42 40935.50177	2012/02/28						
44.4383	26.1035	12	4224.701	0.076	2.8	-1.9	-0.92	-0.023	55	0	12:04:42 40935.50246	2012/02/28						
44.4383	26.1032	12	4224.513	0.093	-7.7	-5.7	-0.92	-0.022	55	0	12:08:12 40935.50489	2012/02/28	728	-0.002	4224.511	-0.2879	-0.2936	0.0050
44.4383	26.1034	12	4224.511	0.088	-7.9	-6.4	-0.92	-0.021	55	0	12:09:14 40935.50560	2012/02/28	729	-0.002	4224.509	-0.2908		
44.4383	26.1035	12	4224.510	0.075	-7.7	-6.7	-0.92	-0.021	55	1	12:10:14 40935.50630	2012/02/28	730	-0.002	4224.508	-0.2923		
44.4383	26.1035	12	4224.507	0.079	-7.6	-8.3	-0.92	-0.021	55	0	12:11:14 40935.50699	2012/02/28	731	-0.002	4224.505	-0.2964		
44.4383	26.1035	12	4224.504	0.075	-7.5	-8.3	-0.92	-0.020	55	0	12:12:15 40935.50769	2012/02/28	732	-0.002	4224.502	-0.3006		
44.4383	26.1032	12	4224.741	0.087	-3.5	-2.3	-0.92	-0.019	55	0	12:14:34 40935.50930	2012/02/28	737	4224.730	26	-0.003		
44.4383	26.1035	12	4224.734	0.095	-2.8	-2.2	-0.92	-0.018	55	0	12:15:36 40935.51002	2012/02/28						
44.4383	26.1035	12	4224.729	0.080	-2.6	-2.4	-0.92	-0.018	55	0	12:16:36 40935.51071	2012/02/28						
44.4383	26.1035	12	4224.725	0.087	-1.9	-2.5	-0.92	-0.018	55	0	12:17:36 40935.51140	2012/02/28						
44.4383	26.1035	12	4224.723	0.070	-1.9	-2.7	-0.92	-0.017	55	0	12:18:37 40935.51211	2012/02/28						

LAT	LON	ALT	tide corr gravity	STD	Tilt X	Tilt Y	TEM	tide corr	cyc	REJ	local timing	time	drift	drift corr g	dg	dg/dh	-0.2553	0.0065
44.44	26.10	25	4224.512	0.072	3.3	-1.8	-1.07	-0.056	55	0	09:44:56 40940.40555	2012/03/02						







44.44	26.10	12	4224.506	0.047	0.3	-1.8	-0.98	-0.054	55	0	11:48:20 40940.49111	2012/03/02												
44.44	26.10	11	4224.505	0.064	0.9	-1.8	-0.98	-0.054	55	0	11:49:21 40940.49182	2012/03/02	13	0.003										
44.44	26.10	12	4224.313	0.055	-6.2	-6.1	-0.99	-0.054	55	0	11:51:31 40940.49332	2012/03/02	712	-0.001	4224.312	-0.191	-0.2549	<b>-0.2624</b>	<b>0.0050</b>					
44.44	26.10	12	4224.309	0.050	-6.0	-6.4	-0.98	-0.054	55	0	11:52:33 40940.49403	2012/03/02	713	-0.001	4224.308	-0.195	-0.2605							
44.44	26.10	12	4224.307	0.054	-5.6	-6.6	-0.99	-0.054	55	0	11:53:33 40940.49473	2012/03/02	714	-0.002	4224.305	-0.198	-0.2635							
44.44	26.10	12	4224.306	0.057	-5.3	-6.8	-0.98	-0.054	55	0	11:54:33 40940.49542	2012/03/02	715	-0.002	4224.304	-0.199	-0.2651							
44.44	26.10	11	4224.304	0.052	-5.3	-7.9	-0.98	-0.054	55	0	11:55:34 40940.49613	2012/03/02	716	-0.002	4224.302	-0.201	-0.2681							
44.44	26.10	12	<b>4224.522</b>	0.052	2.2	0.2	-0.98	-0.054	55	0	11:57:43 40940.49762	2012/03/02												
44.44	26.10	12	4224.516	0.054	2.7	0.5	-0.98	-0.053	55	0	11:58:45 40940.49833	2012/03/02												
44.44	26.10	12	4224.514	0.061	2.9	0.7	-0.98	-0.053	55	0	11:59:45 40940.49903	2012/03/02	<b>720</b>	-0.003	<b>4224.513</b>									
44.44	26.10	12	4224.512	0.046	3.0	0.6	-0.98	-0.053	55	0	12:00:45 40940.49972	2012/03/02												
44.44	26.10	11	4224.510	0.057	3.2	0.6	-0.98	-0.053	55	0	12:01:46 40940.50042	2012/03/02	12	0.006										
44.44	26.10	12	4224.310	0.055	-3.5	-5.5	-0.98	-0.053	55	0	12:04:02 40940.50200	2012/03/02	724	-0.002	4224.308	-0.195	-0.2600	<b>-0.2675</b>	<b>0.0051</b>					
44.44	26.10	12	4224.307	0.062	-3.4	-5.7	-0.98	-0.053	55	0	12:05:04 40940.50271	2012/03/02	725	-0.003	4224.305	-0.198	-0.2647							
44.44	26.10	12	4224.304	0.058	-3.0	-5.9	-0.98	-0.053	55	0	12:06:04 40940.50341	2012/03/02	726	-0.003	4224.301	-0.202	-0.2693							
44.44	26.10	12	4224.303	0.051	-3.0	-6.4	-0.98	-0.053	55	0	12:07:04 40940.50410	2012/03/02	727	-0.004	4224.300	-0.203	-0.2713							
44.44	26.10	11	4224.303	0.058	-2.8	-6.5	-0.98	-0.053	55	0	12:08:05 40940.50480	2012/03/02	728	-0.004	4224.299	-0.204	-0.2720							
44.44	26.10	12	4224.528	0.062	-0.9	0.8	-0.99	-0.053	55	0	12:09:57 40940.50610	2012/03/02												
44.44	26.10	12	<b>4224.522</b>	0.059	-0.3	1.0	-0.99	-0.053	55	0	12:10:59 40940.50682	2012/03/02												
44.44	26.10	12	4224.518	0.059	0.0	1.0	-0.99	-0.053	55	0	12:11:59 40940.50751	2012/03/02	<b>732</b>	-0.006	<b>4224.519</b>									
44.44	26.10	12	4224.515	0.062	1.5	0.7	-0.99	-0.053	55	0	12:12:59 40940.50820	2012/03/02												
44.44	26.10	11	4224.513	0.056	2.0	0.5	-0.99	-0.053	55	1	12:14:00 40940.50891	2012/03/02												

LAT	LON	ALT	tide corr gravity	STD	Tilt X	Tilt Y	TEM	tide corr	c	r	local timing			time	drift	drift corr g	dg	dg/dh	-0,2598	0,0062
44.44	26,10	16.89	4245,309	0.067	-1,1	-3,7	-1,09	0,060	55	8	12:08:03 40960.50478	2012/03/22								
44.44	26,10	16.89	4245,310	0.043	-0,2	-3,7	-1,09	0,060	55	0	12:09:05 40960.50550	2012/03/22								
44.44	26,10	16.89	4245,309	0.040	-0,5	-3,9	-1,10	0,060	55	0	12:10:05 40960.50619	2012/03/22	730		4245,309					
44.44	26,10	16.89	4245,308	0.042	-0,3	-3,9	-1,10	0,060	55	0	12:11:05 40960.50688	2012/03/22								
44.44	26,10	16,16	4245,308	0.043	-0,2	-3,8	-1,10	0,060	55	0	12:12:06 40960.50759	2012/03/22	12	0,011						
44.44	26,10	16.89	4245,126	0,045	-0,1	-2,3	-1,10	0,060	55	0	12:14:12 40960.50905	2012/03/22	734	-0,004	4245,122	-0,187	-0,2489	<b>-0,2569</b>	<b>0,0060</b>	
44.44	26,10	16.89	4245,124	0,054	1,2	-2,3	-1,11	0,060	55	0	12:15:14 40960.50976	2012/03/22	735	-0,005	4245,119	-0,190	-0,2528			
44.44	26,10	16.89	4245,121	0,046	1,4	-2,4	-1,11	0,060	55	0	12:16:14 40960.51046	2012/03/22	736	-0,006	4245,116	-0,194	-0,2580			
44.44	26,10	16.89	4245,119	0,049	2,2	-2,6	-1,11	0,060	55	0	12:17:14 40960.51115	2012/03/22	737	-0,006	4245,113	-0,196	-0,2619			

44,44	26,10	16,16	4245,119	0,043	2,3	-3,1	-1,11	0,060	55	0	12:18:15 40960.51185	2012/03/22	738	-0,007	4245,112	-0,197	-0,2631				
44,44	26,10	17,14	4245,323	0,051	-2,0	-3,0	-1,11	0,060	55	3	12:20:22 40960.51332	2012/03/22									
44,44	26,10	16,89	4245,322	0,061	-1,5	-2,9	-1,11	0,060	55	4	12:21:24 40960.51404	2012/03/22									
44,44	26,10	16,89	4245,320	0,041	-1,1	-3,0	-1,11	0,060	55	4	12:22:24 40960.51473	2012/03/22	742		4245,320						
44,44	26,10	16,89	4245,317	0,051	-0,9	-3,0	-1,11	0,059	55	1	12:23:24 40960.51542	2012/03/22									
44,44	26,10	16,41	4245,316	0,048	-0,5	-3,0	-1,11	0,059	55	4	12:24:25 40960.51613	2012/03/22	13	-0,002							
44,44	26,10	16,89	4245,122	0,049	-0,8	-3,4	-1,11	0,059	55	0	12:26:46 40960.51776	2012/03/22	747	0,001	4245,123	-0,197	-0,2630				
44,44	26,10	17,14	4245,120	0,045	-0,3	-3,0	-1,11	0,059	55	0	12:27:48 40960.51847	2012/03/22	748	0,001	4245,121	-0,199	-0,2654				
44,44	26,10	17,14	4245,119	0,052	0,6	-2,9	-1,11	0,059	55	0	12:28:48 40960.51917	2012/03/22	749	0,001	4245,120	-0,200	-0,2666				
44,44	26,10	16,89	4245,117	0,045	0,4	-3,1	-1,11	0,059	55	0	12:29:48 40960.51986	2012/03/22	750	0,001	4245,118	-0,202	-0,2690				
44,44	26,10	16,16	4245,116	0,039	0,6	-3,2	-1,11	0,059	55	0	12:30:49 40960.52057	2012/03/22	751	0,001	4245,117	-0,203	-0,2702				
44,44	26,10	17,14	4245,318	0,055	-2,4	-3,8	-1,11	0,059	55	2	12:32:55 40960.52202	2012/03/22									
44,44	26,10	17,14	4245,332	0,052	-1,9	-4,0	-1,11	0,059	55	14	12:33:57 40960.52274	2012/03/22									
44,44	26,10	17,14	4245,315	0,044	-1,4	-4,2	-1,11	0,059	55	0	12:34:57 40960.52343	2012/03/22	755		4245,318						
44,44	26,10	17,14	4245,313	0,049	-1,1	-4,4	-1,11	0,058	55	0	12:35:57 40960.52413	2012/03/22									
44,44	26,10	16,41	4245,313	0,038	-0,8	-4,4	-1,11	0,058	55	0	12:36:58 40960.52483	2012/03/22	13	-0,008							
44,44	26,10	17,14	4245,131	0,046	-0,2	-1,0	-1,12	0,058	55	0	12:39:07 40960.52632	2012/03/22	759	0,002	4245,133	-0,185	-0,2461				
44,44	26,10	16,89	4245,127	0,041	1,4	-0,8	-1,12	0,058	55	0	12:40:09 40960.52704	2012/03/22	760	0,003	4245,130	-0,188	-0,2506				
44,44	26,10	17,14	4245,125	0,043	1,8	-1,1	-1,12	0,058	55	0	12:41:09 40960.52773	2012/03/22	761	0,004	4245,129	-0,189	-0,2524				
44,44	26,10	17,14	4245,123	0,038	2,1	-1,2	-1,12	0,058	55	0	12:42:09 40960.52842	2012/03/22	762	0,004	4245,127	-0,191	-0,2543				
44,44	26,10	16,41	4245,122	0,044	2,3	-1,2	-1,11	0,058	55	0	12:43:10 40960.52913	2012/03/22	763	0,005	4245,127	-0,191	-0,2548				
44,44	26,10	17,14	4245,313	0,048	-2,7	-2,2	-1,11	0,057	55	2	12:44:52 40960.53031	2012/03/22									
44,44	26,10	17,14	4245,310	0,042	-2,3	-2,0	-1,11	0,057	55	0	12:45:54 40960.53102	2012/03/22									
44,44	26,10	17,14	4245,309	0,045	-1,8	-2,1	-1,11	0,057	55	0	12:46:54 40960.53172	2012/03/22	767		4245,310						
44,44	26,10	16,89	4245,312	0,041	-1,5	-2,4	-1,11	0,057	55	5	12:47:54 40960.53241	2012/03/22									
44,44	26,10	16,41	4245,307	0,049	-1,2	-2,6	-1,11	0,057	55	0	12:48:55 40960.53312	2012/03/22	12	-0,010							
44,44	26,10	17,14	4245,111	0,049	-3,4	-4,1	-1,11	0,056	55	0	12:50:54 40960.53449	2012/03/22	771	0,003	4245,114	-0,196	-0,2609				
44,44	26,10	17,14	4245,110	0,047	-2,8	-4,0	-1,12	0,056	55	0	12:51:56 40960.53521	2012/03/22	772	0,004	4245,114	-0,196	-0,2611				
44,44	26,10	17,14	4245,109	0,045	-2,7	-4,2	-1,12	0,056	55	0	12:52:56 40960.53590	2012/03/22	773	0,005	4245,114	-0,196	-0,2613				
44,44	26,10	17,38	4245,108	0,046	-2,7	-4,5	-1,12	0,056	55	0	12:53:56 40960.53659	2012/03/22	774	0,006	4245,114	-0,196	-0,2616				
44,44	26,10	16,41	4245,107	0,041	-2,4	-4,6	-1,12	0,056	55	0	12:54:57 40960.53730	2012/03/22	775	0,007	4245,114	-0,196	-0,2618				
44,44	26,10	17,14	4245,300	0,058	-2,7	0,7	-1,12	0,055	55	5	12:57:03 40960.53875	2012/03/22									
44,44	26,10	17,14	4245,301	0,044	-2,1	0,9	-1,12	0,055	55	0	12:58:05 40960.53947	2012/03/22									
44,44	26,10	17,14	4245,300	0,048	-1,3	1,0	-1,12	0,055	55	0	12:59:05 40960.54016	2012/03/22	779		4245,300						





44,44	26,10	17,38	4245,106	0,045	-4,6	-4,9	-1,13	0,021	55	0	14:24:24 40960.59932	2012/03/22	864	0,006	4245,112	-0,208	-0,2778	<b>-0,2793</b>	<b>0,0016</b>		
44,44	26,10	17,63	4245,103	0,042	-4,2	-5,3	-1,13	0,020	55	0	14:25:26 40960.60003	2012/03/22	865	0,007	4245,110	-0,210	-0,2799				
44,44	26,10	17,38	4245,101	0,044	-4,1	-5,4	-1,13	0,020	55	0	14:26:26 40960.60073	2012/03/22	866	0,009	4245,110	-0,211	-0,2807				
44,44	26,10	17,63	4245,102	0,042	-3,9	-5,7	-1,13	0,019	55	0	14:27:26 40960.60142	2012/03/22	867	0,010	4245,112	-0,208	-0,2774				
44,44	26,10	16,89	4245,098	0,053	-3,8	-5,8	-1,13	0,019	55	5	14:28:27 40960.60213	2012/03/22	868	0,011	4245,109	-0,211	-0,2809				
44,44	26,10	17,63	4245,310	0,046	-2,3	1,7	-1,13	0,017	55	0	14:30:19 40960.60342	2012/03/22	872								
44,44	26,10	17,63	4245,295	0,069	-1,9	2,1	-1,14	0,017	55	13	14:31:21 40960.60414	2012/03/22									
44,44	26,10	17,63	4245,305	0,042	-1,6	2,1	-1,14	0,016	55	2	14:32:21 40960.60483	2012/03/22									
44,44	26,10	17,63	4245,302	0,045	-1,5	1,8	-1,14	0,016	55	0	14:33:21 40960.60552	2012/03/22									
44,44	26,10	16,89	4245,301	0,056	-1,3	1,6	-1,14	0,015	55	1	14:34:22 40960.60623	2012/03/22									

LAT	LON	ALT	tide corr gravity	STD	Tilt X	Tilt Y	TEM	tide corr	c	r	local timing	time	drift	drift corr g	dg	dg/dh	Medie -0,2596	STD 0,0073			
44,44	26,10	14,94	4245,315	0,063	-1,80	-2,30	-1,10	-0,015	55	1	09:16:19 40961.38571	2012/03/23	558						<b>-0,2511</b>	<b>0,0028</b>	
44,44	26,10	14,94	4245,313	0,056	-1,30	-3,00	-1,10	-0,015	55	2	09:17:21 40961.38643	2012/03/23									
44,44	26,10	14,94	4245,310	0,062	-1,00	-3,50	-1,10	-0,014	55	3	09:18:21 40961.38712	2012/03/23									
44,44	26,10	15,19	4245,310	0,066	-0,90	-4,00	-1,10	-0,013	55	3	09:19:21 40961.38782	2012/03/23									
44,44	26,10	14,70	4245,308	0,050	-0,60	-4,40	-1,10	-0,013	55	1	09:20:22 40961.38852	2012/03/23									
44,44	26,10	15,67	4245,122	0,047	-1,20	0,80	-1,10	-0,011	55	2	09:22:47 40961.39020	2012/03/23	563	0,003	4245,125	-0,186	-0,2479	<b>-0,2621</b>	<b>0,0017</b>		
44,44	26,10	15,67	4245,121	0,053	-1,20	0,60	-1,10	-0,010	55	0	09:23:49 40961.39091	2012/03/23	564	0,004	4245,125	-0,186	-0,2484				
44,44	26,10	15,92	4245,118	0,047	-1,00	0,20	-1,10	-0,010	55	0	09:24:49 40961.39161	2012/03/23	565	0,004	4245,122	-0,189	-0,2516				
44,44	26,10	15,92	4245,116	0,046	-0,80	0,00	-1,10	-0,009	55	0	09:25:49 40961.39230	2012/03/23	566	0,005	4245,121	-0,190	-0,2534				
44,44	26,10	15,19	4245,115	0,050	-0,50	-0,40	-1,10	-0,008	55	0	09:26:50 40961.39300	2012/03/23	567	0,006	4245,121	-0,190	-0,2539				
44,44	26,10	16,16	4245,330	0,063	-0,30	-1,70	-1,10	-0,007	55	6	09:28:39 40961.39426	2012/03/23	571						<b>-0,2621</b>	<b>0,0017</b>	
44,44	26,10	16,41	4245,319	0,058	1,10	-2,20	-1,10	-0,006	55	1	09:29:41 40961.39498	2012/03/23									
44,44	26,10	16,41	4245,316	0,058	2,00	-2,40	-1,10	-0,006	55	1	09:30:41 40961.39567	2012/03/23									
44,44	26,10	16,41	4245,314	0,060	2,40	-2,40	-1,10	-0,005	55	1	09:31:41 40961.39637	2012/03/23									
44,44	26,10	15,67	4245,317	0,064	3,30	-2,30	-1,10	-0,004	55	9	09:32:42 40961.39707	2012/03/23									
44,44	26,10	16,65	4245,122	0,050	-4,90	1,70	-1,11	-0,003	55	0	09:35:08 40961.39876	2012/03/23	575	0,002	4245,124	-0,195	-0,2600	<b>-0,2621</b>	<b>0,0017</b>		
44,44	26,10	16,65	4245,121	0,052	-5,00	1,70	-1,11	-0,003	55	0	09:36:10 40961.39948	2012/03/23	576	0,003	4245,124	-0,196	-0,2607				
44,44	26,10	16,65	4245,119	0,045	-4,70	1,50	-1,11	-0,002	55	0	09:37:10 40961.40017	2012/03/23	577	0,003	4245,122	-0,197	-0,2627				
44,44	26,10	16,65	4245,118	0,049	-4,50	1,20	-1,11	-0,001	55	0	09:38:10 40961.40086	2012/03/23	578	0,004	4245,122	-0,198	-0,2633				
44,44	26,10	15,92	4245,117	0,046	-4,30	1,20	-1,11	-0,001	55	0	09:39:11 40961.40157	2012/03/23	579	0,004	4245,121	-0,198	-0,2640				



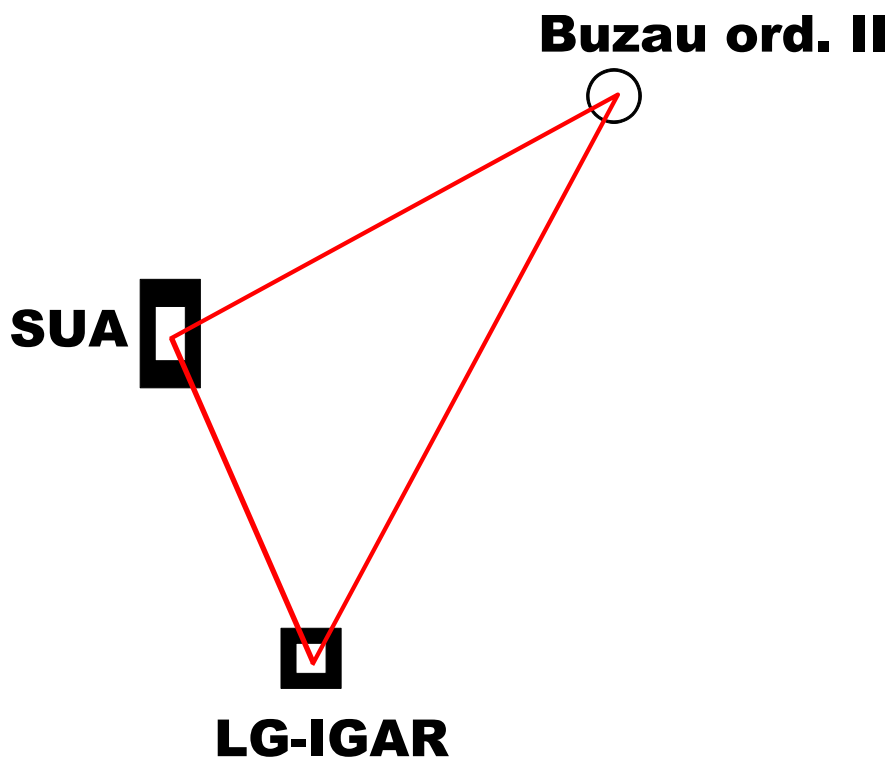
44,44	26,10	16,41	4245,294	0,063	2,10	-1,30	-1,12	0,025	55	4	10:22:14	40961.43142	2012/03/23							
44,44	26,10	17,38	4245,292	0,053	-2,30	-1,50	-1,12	0,027	55	3	10:24:48	40961.43319	2012/03/23							
44,44	26,10	17,14	4245,293	0,046	-1,60	-1,30	-1,12	0,027	55	0	10:25:50	40961.43391	2012/03/23							
44,44	26,10	17,14	4245,292	0,046	-1,30	-1,20	-1,11	0,028	55	0	10:26:50	40961.43460	2012/03/23							
44,44	26,10	17,14	4245,289	0,057	0,00	-0,60	-1,11	0,029	55	2	10:27:50	40961.43530	2012/03/23							
44,44	26,10	16,41	4245,292	0,048	-0,20	-0,90	-1,10	0,029	55	0	10:28:51	40961.43600	2012/03/23							
															12	0,003				
44,44	26,10	17,14	4245,102	0,052	-3,40	3,70	-1,10	0,030	55	0	10:30:54	40961.43742	2012/03/23	631	-0,001	4245,101	-0,191	-0,2547		
44,44	26,10	17,38	4245,102	0,050	-3,50	3,90	-1,10	0,031	55	0	10:31:56	40961.43814	2012/03/23	632	-0,001	4245,101	-0,191	-0,2550		
44,44	26,10	17,38	4245,099	0,049	-3,20	3,90	-1,10	0,031	55	0	10:32:56	40961.43883	2012/03/23	633	-0,002	4245,098	-0,195	-0,2593		
44,44	26,10	17,38	4245,099	0,045	-3,00	4,00	-1,10	0,032	55	0	10:33:56	40961.43953	2012/03/23	634	-0,002	4245,097	-0,195	-0,2597		
44,44	26,10	16,65	4245,094	0,067	-2,80	3,90	-1,10	0,033	55	6	10:34:57	40961.44023	2012/03/23	635	-0,002	4245,092	-0,200	-0,2667		
44,44	26,10	17,14	4245,293	0,060	-2,70	1,40	-1,10	0,034	55	7	10:36:51	40961.44155	2012/03/23							
44,44	26,10	17,14	4245,296	0,044	-1,80	1,70	-1,10	0,034	55	0	10:37:53	40961.44227	2012/03/23							
44,44	26,10	17,14	4245,296	0,050	-1,10	1,60	-1,11	0,035	55	0	10:38:53	40961.44296	2012/03/23							
44,44	26,10	17,38	4245,295	0,046	-0,70	1,30	-1,11	0,035	55	0	10:39:53	40961.44365	2012/03/23							
44,44	26,10	16,65	4245,294	0,064	-0,40	1,10	-1,11	0,036	55	8	10:40:54	40961.44436	2012/03/23							
															12	0,001				
44,44	26,10	17,38	4245,100	0,043	-4,70	-0,30	-1,11	0,037	55	0	10:43:10	40961.44593	2012/03/23	643	0,000	4245,100	-0,195	-0,2604		
44,44	26,10	17,38	4245,099	0,044	-4,60	-0,20	-1,11	0,037	55	0	10:44:12	40961.44665	2012/03/23	644	0,000	4245,099	-0,196	-0,2619		
44,44	26,10	17,38	4245,097	0,052	-4,30	-0,30	-1,11	0,038	55	0	10:45:12	40961.44734	2012/03/23	645	-0,001	4245,097	-0,199	-0,2647		
44,44	26,10	17,38	4245,097	0,044	-4,20	-0,90	-1,11	0,039	55	0	10:46:12	40961.44803	2012/03/23	646	-0,001	4245,096	-0,199	-0,2648		
44,44	26,10	16,65	4245,094	0,045	-3,80	-0,60	-1,11	0,039	55	0	10:47:13	40961.44874	2012/03/23	647	-0,001	4245,093	-0,202	-0,2689		
44,44	26,10	17,38	4245,299	0,048	-2,00	0,50	-1,11	0,040	55	5	10:49:09	40961.45008	2012/03/23							
44,44	26,10	17,38	4245,298	0,042	-1,10	0,60	-1,11	0,041	55	0	10:50:11	40961.45079	2012/03/23							
44,44	26,10	17,38	4245,295	0,049	-0,60	0,60	-1,11	0,041	55	0	10:51:11	40961.45149	2012/03/23							
44,44	26,10	17,38	4245,293	0,052	-0,30	0,60	-1,11	0,042	55	1	10:52:11	40961.45218	2012/03/23							
44,44	26,10	16,65	4245,296	0,042	0,00	0,50	-1,11	0,042	55	0	10:53:12	40961.45289	2012/03/23							
															13	0,004				
44,44	26,10	17,38	4245,095	0,053	-3,70	-4,40	-1,11	0,043	55	0	10:55:15	40961.45431	2012/03/23	655	-0,001	4245,094	-0,202	-0,2696		
44,44	26,10	17,38	4245,095	0,040	-3,60	-4,30	-1,11	0,044	55	0	10:56:17	40961.45502	2012/03/23	656	-0,002	4245,093	-0,203	-0,2701		
44,44	26,10	17,14	4245,094	0,040	-3,40	-4,50	-1,11	0,044	55	1	10:57:17	40961.45572	2012/03/23	657	-0,002	4245,092	-0,204	-0,2718		
44,44	26,10	17,38	4245,093	0,039	-3,40	-4,80	-1,11	0,045	55	0	10:58:17	40961.45641	2012/03/23	658	-0,002	4245,091	-0,205	-0,2735		
44,44	26,10	16,65	4245,093	0,042	-3,30	-5,10	-1,11	0,045	55	0	10:59:18	40961.45711	2012/03/23	659	-0,002	4245,091	-0,205	-0,2739		
44,44	26,10	17,38	4245,303	0,055	-2,00	-0,10	-1,11	0,047	55	1	11:01:33	40961.45867	2012/03/23							



### **2.3.2. Legături între LG-IGAR și rețelele nationale de gravitate**

În vederea transferului unei valori absolute de gravitate pe pilastrul LG-IGAR, în cadrul lucrărilor etapei a treia din planul de cercetare au fost efectuate legături gravimetrice la stații din rețelele naționale și europene de referință.

Acestea au constat în legarea LG-IGAR de pilastrul gravimetric fundamental de la Observatorul Geomagnetic "Liviu Constantinescu" de la Surlari (cod INTERMAGNET "SUA") pe care au fost efectuate și determinări absolute de gravitate în cadrul proiectului UNIGRACE de integrare a standardelor de gravitate ale fostelor țări socialiste în standardul de gravitate al Europei Centrale și de Vest, precum și de stația Buzău din Rețeaua Națională Gravimetrică de Referință de ord. II (Fig. 2.3.2.1).



**Fig. 2.3.2.1. Schita legăturilor gravimetrice pentru transferul unei valori absolute de gravitate pe pilastrul LG-IGAR**

Subliniem că observațiile au fost efectuate în mod repetat, în cicluri distincte din zile diferite.

Tabelele care urmează prezintă rezultatele obținute. De menționat că observațiile au fost efectuate în paralel cu o echipă a Institutului Geologic al României care avea un gravimetru LaCoste&Romberg D-211.

code	LAT	LONG	ALT	tide corr gravity	STD	TiltX	TiltY	TEM	tide corr	cyc	R	LOCAL TIME	time	drift	drift corr gravity	dg	dg	std	
IGAR	44,4057846	26,1023197	23	4215,482	0,110	-0,5	1,2	-1,08	-0,044	55	0	06:29:23 40907.26997	2012/01/31						
	44,4057846	26,1063213	22	4215,483	0,093	0,6	2,1	-1,07	-0,044	55	0	06:30:25 40907.27069	2012/01/31						
	44,4057846	26,106184	22	4215,484	0,094	2	2,6	-1,06	-0,044	55	0	06:31:25 40907.27138	2012/01/31						
	44,4057846	26,1060486	21	4215,484	0,071	1,9	2,9	-1,05	-0,045	55	0	06:32:25 40907.27208	2012/01/31						
	44,4057846	26,1060486	20	4215,485	0,076	0,7	3,3	-1,05	-0,045	55	0	06:33:26 40907.27278	2012/01/31						
	44,4057846	26,1055737	20	4215,484	0,108	-1,2	1,5	-1,05	-0,045	55	0	06:35:20 40907.27410	2012/01/31						
	44,4057846	26,1055069	20	4215,484	0,105	-0,6	2	-1,05	-0,045	55	0	06:36:22 40907.27481	2012/01/31						
	44,4057846	26,1054382	19	4215,486	0,088	-0,3	2,4	-1,05	-0,045	55	0	06:37:22 40907.27551	2012/01/31						
	44,4057846	26,1053028	19	4215,485	0,106	0	3	-1,06	-0,046	55	0	06:38:22 40907.27620	2012/01/31						
	44,4057846	26,1053028	18	4215,484	0,095	-0,4	3,3	-1,06	-0,046	55	0	06:39:23 40907.27691	2012/01/31						
	44,4057846	26,1048965	18	4215,483	0,085	-0,9	0,1	-1,07	-0,046	55	0	06:41:02 40907.27805	2012/01/31						
	44,4057846	26,1049633	18	4215,482	0,091	-0,7	0,2	-1,08	-0,046	55	0	06:42:04 40907.27877	2012/01/31						
	<b>44,4057846</b>	<b>26,1048965</b>	<b>17</b>	<b>4215,483</b>	<b>0,088</b>	<b>-0,9</b>	<b>0,5</b>	<b>-1,08</b>	<b>-0,046</b>	<b>55</b>	<b>0</b>	<b>06:43:04 40907.27946</b>	<b>2012/01/31</b>	<b>403</b>	<b>546</b>	<b>0,001</b>	<b>4215,483</b>		
	44,4057846	26,1048279	17	4215,483	0,097	-1,3	0,9	-1,09	-0,046	55	0	06:44:04 40907.28015	2012/01/31						
	44,4057846	26,1048279	16	4215,480	0,094	-1,9	1	-1,09	-0,047	55	0	06:45:05 40907.28086	2012/01/31						
SUA	44,6776466	26,2541504	16	4205,290	0,072	-1,4	-1,2	-1,12	-0,063	55	0	08:24:13 40907.34959	2012/01/31	504	0,000	4205,290	-10,193	<b>-10,200</b>	<b>0,004</b>
	44,6776466	26,2544899	17	4205,289	0,091	-2	-1,6	-1,11	-0,063	55	0	08:25:15 40907.35031	2012/01/31	505	0,000	4205,289	-10,194		
	44,6776466	26,2546253	17	4205,285	0,087	-2,8	-1,7	-1,11	-0,063	55	0	08:26:15 40907.35100	2012/01/31	506	0,000	4205,285	-10,198		
	44,6776466	26,2546921	17	4205,287	0,109	-3,4	-1,7	-1,1	-0,063	55	0	08:27:15 40907.35169	2012/01/31	507	0,000	4205,287	-10,196		
	44,6776466	26,2546921	17	4205,286	0,089	-3,8	-1,7	-1,1	-0,063	55	0	08:28:16 40907.35240	2012/01/31	508	0,000	4205,286	-10,197		
	44,6776466	26,2546921	18	4205,284	0,098	-0,4	-1,3	-1,1	-0,063	55	0	08:29:55 40907.35354	2012/01/31	510	0,000	4205,284	-10,199		
	44,6776466	26,2551003	18	4205,283	0,072	-0,6	-1,5	-1,1	-0,064	55	0	08:30:57 40907.35426	2012/01/31	511	0,000	4205,283	-10,200		
	44,6776466	26,2551003	19	4205,283	0,130	-0,8	-1,4	-1,1	-0,064	55	0	08:31:57 40907.35495	2012/01/31	512	0,000	4205,283	-10,200		
	44,6776466	26,255167	19	4205,281	0,066	-1,1	-1,2	-1,1	-0,064	55	0	08:32:57 40907.35565	2012/01/31	513	0,000	4205,281	-10,202		
	44,6776466	26,255167	18	4205,282	0,106	-1,2	-1,2	-1,1	-0,064	55	0	08:33:58 40907.35635	2012/01/31	514	0,000	4205,282	-10,201		
	44,6776466	26,2551003	19	4205,281	0,062	-1,4	-0,8	-1,1	-0,064	55	0	08:35:10 40907.35718	2012/01/31	515	0,000	4205,281	-10,202		
	44,6776466	26,2553711	20	4205,280	0,078	-1,8	-0,7	-1,1	-0,064	55	0	08:36:12 40907.35790	2012/01/31	516	0,000	4205,280	-10,203		
	44,6776466	26,2554398	20	4205,277	0,092	-2,1	-0,5	-1,1	-0,064	55	0	08:37:12 40907.35859	2012/01/31	517	0,000	4205,277	-10,206		
	44,6776466	26,2555752	20	4205,278	0,076	-2,4	-0,7	-1,1	-0,064	55	0	08:38:12 40907.35929	2012/01/31	518	0,000	4205,278	-10,205		
	44,6776466	26,2555752	20	4205,277	0,058	-2,6	-0,6	-1,1	-0,065	55	0	08:39:13 40907.35999	2012/01/31	519	0,000	4205,277	-10,206		
Buza od II	45,1408195	26,8060493	21	4205,690	0,113	3,5	-2,5	-1,41	-0,070	55	0	10:53:14 40907.45291	2012/01/31	653	0,000	4205,690	-9,793		
	45,1408195	26,8058453	21	4205,687	0,093	2,1	-4,7	-1,39	-0,070	55	0	10:54:16 40907.45362	2012/01/31	654	0,000	4205,687	-9,796		
	45,1408195	26,8057098	20	4205,686	0,100	-0,3	-5,9	-1,36	-0,070	55	0	10:55:16 40907.45432	2012/01/31	655	0,000	4205,686	-9,797		

45,1408195	26,8055058	19	4205,684	0,079	-1,4	-6,8	-1,34	-0,070	55	0	10:56:16 40907.45501	2012/01/31	656	0,000	4205,684	-9,799	
45,1408195	26,8055058	18	4205,683	0,086	-4,1	-8,3	-1,32	-0,070	55	0	10:57:17 40907.45572	2012/01/31	657	0,000	4205,683	-9,800	
45,1408195	26,8050995	18	4205,688	0,141	-4,5	2,6	-1,3	-0,069	55	0	10:58:45 40907.45673	2012/01/31	659	0,000	4205,688	-9,795	
45,1408195	26,8050995	18	4205,687	0,121	-6,7	3,9	-1,29	-0,069	55	0	10:59:47 40907.45745	2012/01/31	660	0,000	4205,687	-9,796	
45,1408195	26,8049641	17	4205,686	0,078	-6,9	4,3	-1,29	-0,069	55	0	11:00:47 40907.45814	2012/01/31	661	0,000	4205,686	-9,797	
45,1408195	26,8048286	17	4205,685	0,106	-8,8	4,8	-1,28	-0,069	55	0	11:01:47 40907.45884	2012/01/31	662	0,000	4205,685	-9,798	
45,1408195	26,8048286	15	4205,685	0,082	-9,3	4,6	-1,27	-0,069	55	0	11:02:48 40907.45954	2012/01/31	663	0,000	4205,685	-9,798	
45,1408195	26,804285	16	4205,682	0,084	-1,3	-0,3	-1,26	-0,069	55	0	11:04:05 40907.46043	2012/01/31	664	0,000	4205,682	-9,801	
45,1408195	26,8043537	15	4205,679	0,086	-1,9	-0,6	-1,26	-0,069	55	0	11:05:07 40907.46115	2012/01/31	665	0,000	4205,679	-9,804	
45,1408195	26,8042183	14	4205,678	0,082	-4	-0,8	-1,25	-0,069	55	0	11:06:07 40907.46184	2012/01/31	666	0,000	4205,678	-9,805	
45,1408195	26,8040142	14	4205,678	0,112	-5,2	-0,8	-1,24	-0,069	55	0	11:07:07 40907.46253	2012/01/31	667	0,000	4205,678	-9,805	
45,1408195	26,8040142	13	4205,678	0,133	-3,6	-0,8	-1,24	-0,069	55	0	11:08:08 40907.46324	2012/01/31	668	0,000	4205,678	-9,805	
SUA	44,6777763	26,2544384	24	4205,288	0,052	-5,7	-1,1	-0,96	-0,030	55	0	13:54:56 40907.57889	2012/01/31	835	-0,001	4205,287	-10,196
	44,6777763	26,2565918	23	4205,289	0,071	-8,7	-1,6	-0,96	-0,030	55	0	13:55:58 40907.57960	2012/01/31	836	-0,001	4205,288	-10,195
	44,6777763	26,2565231	23	4205,287	0,096	-10,4	-2,1	-0,97	-0,029	55	0	13:56:58 40907.58030	2012/01/31	837	-0,001	4205,286	-10,197
	44,6777763	26,2564564	23	4205,284	0,073	-11,5	-2,6	-0,97	-0,029	55	0	13:57:58 40907.58099	2012/01/31	838	-0,001	4205,283	-10,200
	44,6777763	26,2564564	23	4205,282	0,089	-12	-3	-0,98	-0,029	55	0	13:58:59 40907.58170	2012/01/31	839	-0,001	4205,281	-10,202
	44,6777763	26,2562523	23	4205,282	0,088	-0,6	-1,9	-1	-0,028	55	0	14:00:48 40907.58295	2012/01/31	841	-0,001	4205,281	-10,202
	44,6777763	26,2565231	23	4205,282	0,091	-0,4	-2	-1,01	-0,028	55	0	14:01:50 40907.58367	2012/01/31	842	-0,001	4205,281	-10,202
	44,6777763	26,2565231	23	4205,279	0,091	-0,3	-1,8	-1,03	-0,027	55	0	14:02:50 40907.58436	2012/01/31	843	-0,001	4205,278	-10,205
	44,6777763	26,2565231	23	4205,278	0,076	-0,3	-1,8	-1,04	-0,027	55	0	14:03:50 40907.58506	2012/01/31	844	-0,001	4205,277	-10,206
	44,6777763	26,2565231	23	4205,277	0,050	-0,2	-1,7	-1,05	-0,026	55	0	14:04:51 40907.58576	2012/01/31	845	-0,001	4205,276	-10,207
	44,6777763	26,2563877	24	4205,278	0,072	-0,1	-1,2	-1,07	-0,026	55	0	14:06:08 40907.58665	2012/01/31	846	-0,001	4205,277	-10,206
	44,6777763	26,2566605	24	4205,274	0,072	0	-1,1	-1,08	-0,026	55	0	14:07:10 40907.58737	2012/01/31	847	-0,001	4205,273	-10,210
	44,6777763	26,2566605	24	4205,274	0,121	0	-1	-1,09	-0,025	55	0	14:08:10 40907.58806	2012/01/31	848	-0,001	4205,273	-10,210
	44,6777763	26,2566605	24	4205,274	0,106	0	-1	-1,1	-0,025	55	0	14:09:10 40907.58876	2012/01/31	849	-0,001	4205,273	-10,210
	44,6777763	26,2566605	23	4205,272	0,067	0	-0,9	-1,1	-0,025	55	0	14:10:11 40907.58946	2012/01/31	850	-0,001	4205,271	-10,212
IGAR	44,4384689	26,1051102	20	4215,493	0,098	-1,5	2,3	-1,39	0,008	55	0	15:40:55 40907.65237	2012/01/31	941			
	44,4384689	26,1055737	20	4215,492	0,104	-1,9	3,6	-1,36	0,009	55	0	15:41:57 40907.65309	2012/01/31	942			
	44,4384689	26,1054382	19	4215,492	0,098	-2,3	4,3	-1,33	0,009	55	0	15:42:57 40907.65378	2012/01/31	943			
	44,4384689	26,1053028	19	4215,491	0,089	-2,8	4,9	-1,3	0,009	55	0	15:43:57 40907.65447	2012/01/31	944			
	44,4384689	26,1053028	18	4215,490	0,108	-3,5	5,4	-1,27	0,010	55	0	15:44:58 40907.65518	2012/01/31	945			
	44,4384689	26,1049633	18	4215,484	0,109	-1,2	-0,7	-1,24	0,011	55	0	15:46:42 40907.65638	2012/01/31	947			
	44,4384689	26,105032	18	4215,484	0,110	-1,6	-0,3	-1,22	0,011	55	0	15:47:44 40907.65710	2012/01/31	948			
	44,4384689	26,1049633	18	4215,483	0,103	-1,7	0	-1,21	0,011	55	0	15:48:44 40907.65779	2012/01/31	949		4215,484	

44,4384689	26,1049633	17	4215,481	0,102	-1,8	0,1	-1,2	0,012	55	0	15:49:44 40907.65848	2012/01/31	950			
44,4384689	26,1049633	16	4215,481	0,114	-2,1	0,4	-1,2	0,012	55	0	15:50:45 40907.65919	2012/01/31	951			
44,4384689	26,104557	17	4215,480	0,097	-1,9	0,8	-1,19	0,012	55	0	15:51:53 40907.65997	2012/01/31	952			
44,4384689	26,1046925	17	4215,479	0,079	-1,3	0,9	-1,18	0,013	55	0	15:52:55 40907.66069	2012/01/31	953			
44,4384689	26,1046257	16	4215,479	0,095	-1,3	0,8	-1,18	0,013	55	0	15:53:55 40907.66138	2012/01/31	954			
44,4384689	26,1044903	15	4215,479	0,116	-1,3	0,9	-1,17	0,014	55	0	15:55:56 40907.66278	2012/01/31	956			

code	LAT	LONG	ALT	tide corr gravity	STD	TiltX	TiltY	TEM	tide corr	cycle	REJ	LOCAL TIME	time	drift	drift corr gravity	dg	Dg mediu	std	
IGAR	44,4384689	26,1042175	21,7772	4219,990	0,098	-0,5	-0,5	-1,09	-0,050	55	0	06:31:03 40908.27113	2012/02/01	391	4219,989				
	44,4384689	26,1060486	21,2889	4219,990	0,076	-0,9	-0,7	-1,08	-0,050	55	0	06:32:05 40908.27184	2012/02/01	392					
	44,4384689	26,1059132	21,0447	4219,991	0,092	-1,6	-0,8	-1,08	-0,050	55	0	06:33:05 40908.27254	2012/02/01	393					
	44,4384689	26,1058464	20,8006	4219,989	0,085	-2,1	-0,9	-1,08	-0,050	55	0	06:34:05 40908.27323	2012/02/01	394					
	44,4384689	26,1058464	19,3358	4219,989	0,085	-2,7	-1,0	-1,08	-0,051	55	0	06:35:06 40908.27394	2012/02/01	395					
	44,4384689	26,1053715	19,824	4219,989	0,083	-0,6	-1,5	-1,09	-0,051	55	0	06:36:57 40908.27522	2012/02/01	397					
	44,4384689	26,1055069	19,5799	4219,990	0,112	-0,9	-1,6	-1,09	-0,051	55	0	06:37:59 40908.27594	2012/02/01	398					
	44,4384689	26,1054382	19,3358	4219,989	0,097	-1,1	-1,6	-1,10	-0,051	55	0	06:38:59 40908.27663	2012/02/01	399					
	44,4384689	26,1053715	19,0916	4219,989	0,096	-1,4	-1,6	-1,10	-0,051	55	0	06:39:59 40908.27732	2012/02/01	400					
	44,4384689	26,1053715	18,1151	4219,987	0,100	-1,9	-1,6	-1,11	-0,051	55	0	06:41:00 40908.27803	2012/02/01	401					
SUA	44,6776772	26,254467	16,8944	4209,819	0,051	-4,5	1,2	-1,36	-0,059	55	0	08:09:36 40908.33946	2012/02/01	490	0,002	4209,821	-10,168	-10,184	0,009
	44,6776772	26,2546921	16,8944	4209,814	0,069	-6,7	1,3	-1,33	-0,059	55	0	08:10:38 40908.34017	2012/02/01	491	0,002	4209,816	-10,173		
	44,6776772	26,2546921	17,1385	4209,814	0,095	-8,0	1,7	-1,31	-0,059	55	0	08:11:38 40908.34087	2012/02/01	492	0,002	4209,816	-10,173		
	44,6776772	26,2547607	17,3826	4209,812	0,128	-8,6	2,3	-1,29	-0,059	55	0	08:12:38 40908.34156	2012/02/01	493	0,002	4209,814	-10,175		
	44,6776772	26,2547607	16,8944	4209,809	0,088	-9,1	2,8	-1,27	-0,059	55	0	08:13:39 40908.34226	2012/02/01	494	0,002	4209,811	-10,178		
	44,6776772	26,2546921	18,1151	4209,804	0,072	-1,7	-1,1	-1,24	-0,059	55	0	08:15:38 40908.34364	2012/02/01	496	0,002	4209,806	-10,183		
	44,6776772	26,2550316	18,6033	4209,802	0,099	-1,8	-0,7	-1,23	-0,059	55	2	08:16:40 40908.34436	2012/02/01	496	0,002	4209,804	-10,185		
	44,6776772	26,255167	18,8475	4209,801	0,061	-1,9	-0,3	-1,22	-0,059	55	0	08:17:40 40908.34505	2012/02/01	496	0,002	4209,803	-10,186		
	44,6776772	26,2552357	19,0916	4209,799	0,081	-2,0	0,1	-1,21	-0,059	55	0	08:18:40 40908.34574	2012/02/01	496	0,002	4209,801	-10,188		
	44,6776772	26,2552357	18,6033	4209,798	0,073	-1,9	0,3	-1,21	-0,059	55	0	08:19:41 40908.34645	2012/02/01	496	0,002	4209,800	-10,189		
	44,6776772	26,255167	19,5799	4209,796	0,089	-1,7	0,9	-1,20	-0,060	55	0	08:21:07 40908.34744	2012/02/01	496	0,002	4209,798	-10,191		
	44,6776772	26,2554398	19,824	4209,794	0,089	-1,6	1,0	-1,19	-0,060	55	0	08:22:09 40908.34816	2012/02/01	496	0,002	4209,796	-10,193		
	44,6776772	26,2555065	20,0682	4209,793	0,113	-1,5	1,1	-1,19	-0,060	55	0	08:23:09 40908.34885	2012/02/01	496	0,002	4209,795	-10,194		
	44,6776772	26,2555752	20,3123	4209,794	0,066	-1,5	1,1	-1,18	-0,060	55	0	08:24:09 40908.34954	2012/02/01	496	0,002	4209,796	-10,193		
	44,6776772	26,2555752	19,824	4209,793	0,057	-1,5	1,2	-1,18	-0,060	55	0	08:25:10 40908.35025	2012/02/01	496	0,002	4209,795	-10,194		
Buzau	45,1407967	26,8058357	18,8475	4210,213	0,081	-3,6	0,0	-1,32	-0,068	55	0	10:42:36 40908.44554	2012/02/01	643	0,005	4210,218	-9,771		

ord II	45,1407967	26,8052349	18,1151	4210,213	0,083	-4,5	-0,3	-1,30	-0,068	55	0	10:43:38	40908.44625	2012/02/01	644	0,005	4210,218	-9,771	
	45,1407967	26,8050327	17,1385	4210,210	0,100	-6,0	-0,2	-1,29	-0,068	55	0	10:44:38	40908.44695	2012/02/01	645	0,005	4210,215	-9,774	
	45,1407967	26,80476	16,4061	4210,207	0,090	-7,8	-0,7	-1,28	-0,068	55	0	10:45:38	40908.44764	2012/02/01	646	0,005	4210,212	-9,777	
	45,1407967	26,80476	14,6971	4210,206	0,078	-8,5	-1,7	-1,27	-0,068	55	0	10:46:39	40908.44834	2012/02/01	647	0,005	4210,211	-9,778	
	45,1407967	26,8040829	14,453	4210,209	0,094	-1,4	-1,2	-1,26	-0,068	55	0	10:48:01	40908.44929	2012/02/01	648	0,005	4210,214	-9,775	
	45,1407967	26,8040142	13,7205	4210,208	0,081	-2,5	-1,4	-1,25	-0,068	55	0	10:49:03	40908.45001	2012/02/01	649	0,005	4210,213	-9,776	
	45,1407967	26,803812	13,2323	4210,204	0,073	-4,0	-1,1	-1,25	-0,068	55	0	10:50:03	40908.45070	2012/02/01	650	0,005	4210,209	-9,780	
	45,1407967	26,8036747	12,744	4210,202	0,079	-4,0	-1,6	-1,24	-0,068	55	0	10:51:03	40908.45139	2012/02/01	651	0,005	4210,207	-9,782	
	45,1407967	26,8036747	11,2791	4210,202	0,087	-3,2	-1,7	-1,24	-0,068	55	0	10:52:04	40908.45210	2012/02/01	652	0,005	4210,207	-9,782	
	45,1407967	26,803133	11,2791	4210,202	0,094	-2,2	-1,9	-1,24	-0,068	55	0	10:53:31	40908.45310	2012/02/01	654	0,005	4210,207	-9,782	
	45,1407967	26,803133	10,7909	4210,200	0,127	-3,7	-2,0	-1,23	-0,068	55	0	10:54:33	40908.45382	2012/02/01	654	0,005	4210,205	-9,784	
	45,1407967	26,8029976	10,0584	4210,199	0,071	-3,9	-1,6	-1,23	-0,068	55	0	10:55:33	40908.45451	2012/02/01	654	0,005	4210,204	-9,785	
	45,1407967	26,8027935	9,8143	4210,198	0,081	-4,0	-1,9	-1,22	-0,068	55	0	10:56:33	40908.45521	2012/02/01	654	0,005	4210,203	-9,786	
	45,1407967	26,8027935	8,5936	4210,197	0,109	-5,2	-2,0	-1,21	-0,068	55	0	10:57:34	40908.45591	2012/02/01	654	0,005	4210,202	-9,787	
	45,1407967	26,8023872	8,8377	4210,197	0,098	-1,6	-0,4	-1,21	-0,068	55	0	10:59:18	40908.45711	2012/02/01	654	0,005	4210,202	-9,787	
	45,1407967	26,802454	8,3495	4210,197	0,103	-3,3	-0,2	-1,20	-0,068	55	1	11:00:20	40908.45783	2012/02/01	654	0,005	4210,202	-9,787	
	45,1407967	26,8023186	8,1053	4210,195	0,075	-4,3	0,0	-1,19	-0,068	55	0	11:01:20	40908.45852	2012/02/01	654	0,005	4210,200	-9,789	
	45,1407967	26,8022518	7,8612	4210,192	0,086	-3,1	-0,2	-1,19	-0,068	55	0	11:02:20	40908.45922	2012/02/01	654	0,005	4210,197	-9,792	
	45,1407967	26,8022518	6,6405	4210,195	0,081	-4,4	-0,4	-1,18	-0,068	55	0	11:03:21	40908.45992	2012/02/01	654	0,005	4210,200	-9,789	
SUA	44,6776848	26,2544479	20,8006	4209,783	0,063	-1,2	-0,5	-0,93	-0,049	55	0	13:40:23	40908.56880	2012/02/01	820	0,008	4209,791	-10,198	
	44,6776848	26,2557774	21,0447	4209,782	0,074	-1,7	-0,6	-0,94	-0,049	55	0	13:41:25	40908.56952	2012/02/01	821	0,008	4209,790	-10,199	
	44,6776848	26,255846	21,0447	4209,780	0,055	-2,1	-0,7	-0,95	-0,048	55	0	13:42:25	40908.57021	2012/02/01	822	0,008	4209,788	-10,201	
	44,6776848	26,255846	21,2889	4209,780	0,062	-2,0	-0,6	-0,96	-0,048	55	0	13:43:25	40908.57090	2012/02/01	823	0,008	4209,788	-10,201	
	44,6776848	26,255846	20,8006	4209,779	0,062	-2,1	-0,7	-0,98	-0,048	55	0	13:44:26	40908.57161	2012/02/01	824	0,008	4209,787	-10,202	
	44,6776848	26,2557774	21,533	4209,777	0,063	-1,3	-0,7	-1,00	-0,047	55	0	13:45:46	40908.57253	2012/02/01	826	0,008	4209,785	-10,204	
	44,6776848	26,2559814	21,7772	4209,776	0,069	-1,1	-0,8	-1,02	-0,047	55	0	13:46:48	40908.57325	2012/02/01	827	0,008	4209,784	-10,205	
	44,6776848	26,2560501	22,0213	4209,775	0,042	-1,0	-0,9	-1,03	-0,047	55	0	13:47:48	40908.57394	2012/02/01	828	0,008	4209,783	-10,206	
	44,6776848	26,2561169	22,2654	4209,774	0,065	-0,9	-1,0	-1,05	-0,047	55	0	13:48:48	40908.57463	2012/02/01	829	0,008	4209,782	-10,207	
	44,6776848	26,2561169	21,533	4209,772	0,063	-0,8	-1,1	-1,06	-0,046	55	0	13:49:49	40908.57534	2012/02/01	830	0,008	4209,780	-10,209	
	44,6776848	26,2559814	22,5096	4209,771	0,048	-0,9	-0,9	-1,08	-0,046	55	0	13:51:04	40908.57621	2012/02/01	831	0,008	4209,779	-10,210	
	44,6776848	26,2562523	22,5096	4209,770	0,065	-0,9	-1,1	-1,09	-0,046	55	0	13:52:06	40908.57692	2012/02/01	832	0,008	4209,778	-10,211	
	44,6776848	26,2562523	22,7537	4209,769	0,067	-0,9	-1,3	-1,11	-0,045	55	0	13:53:06	40908.57762	2012/02/01	833	0,008	4209,778	-10,211	
	44,6776848	26,2562523	22,0213	4209,768	0,070	-0,9	-1,3	-1,12	-0,045	55	0	13:54:06	40908.57831	2012/02/01	834	0,008	4209,777	-10,212	
	44,6776848	26,2562523	22,0213	4209,768	0,070	-0,9	-1,3	-1,12	-0,045	55	0	13:55:07	40908.57901	2012/02/01	835	0,008	4209,776	-10,213	
IGAR	44,4382668	26,1051388	18,1151	4219,987	0,076	-2,9	-1,8	-1,39	-0,017	55	0	15:19:35	40908.63758	2012/02/01	920				

44,4382668	26,105032	17,8709	4219,986	0,085	-4,8	-3,2	-1,37	-0,017	55	0	15:20:37 40908.63829 2012/02/01	921	
44,4382668	26,1049633	17,6268	4219,982	0,118	-6,7	-4,1	-1,34	-0,016	55	0	15:21:37 40908.63899 2012/02/01	922	
44,4382668	26,1048965	17,1385	4219,980	0,073	-7,5	-5,2	-1,32	-0,016	55	0	15:22:37 40908.63968 2012/02/01	923	
44,4382668	26,1048965	15,9178	4219,979	0,079	-8,4	-6,0	-1,30	-0,015	55	0	15:23:38 40908.64039 2012/02/01	924	
44,4382668	26,1044216	16,4061	4219,982	0,086	-1,9	-0,5	-1,27	-0,015	55	1	15:25:09 40908.64144 2012/02/01	925	
44,4382668	26,104557	16,1619	4219,979	0,073	-2,3	-0,9	-1,26	-0,015	55	0	15:26:11 40908.64215 2012/02/01	926	
44,4382668	26,1044903	15,9178	4219,980	0,073	-2,9	-1,2	-1,25	-0,014	55	0	15:27:11 40908.64285 2012/02/01	927	0,010 4219,979
44,4382668	26,1044216	15,6737	4219,977	0,074	-3,5	-1,6	-1,24	-0,014	55	0	15:28:11 40908.64354 2012/02/01	928	
44,4382668	26,1044216	14,6971	4219,975	0,086	-4,1	-1,7	-1,23	-0,014	55	0	15:29:12 40908.64425 2012/02/01	929	
44,4382668	26,1040821	15,1854	4219,977	0,080	-1,3	-0,6	-1,22	-0,013	55	0	15:30:44 40908.64531 2012/02/01	931	
44,4382668	26,1042175	14,9412	4219,978	0,077	-1,6	-0,6	-1,21	-0,012	55	0	15:31:46 40908.64602 2012/02/01	932	
44,4382668	26,1041508	14,6971	4219,978	0,057	-1,7	-0,6	-1,21	-0,012	55	0	15:32:46 40908.64672 2012/02/01	933	
44,4382668	26,1040821	14,4453	4219,975	0,063	-1,9	-0,6	-1,20	-0,012	55	0	15:33:46 40908.64741 2012/02/01	934	
44,4382668	26,1040821	13,7205	4219,975	0,106	-2,8	-0,5	-1,20	-0,011	55	0	15:34:47 40908.64812 2012/02/01	935	

Pe cicluri distincte lucrurile stau în felul următor

### CICLUL IGAR-SUA-IGAR (31 ianuarie 2012)

code	LAT	LONG	ALT	tide corr gravity	STD	TiltX	TiltY	TEM	tide corr	cycle	REJ	LOCAL TIMING	time drift	drift corr gravity	dg	average	STD
IGAR	44,41	26,10	23	4215,482	0,110	-0,5	1,2	-1,08	-0,044	55	0	06:29:23 40907.26997 2012/01/31					
	44,41	26,11	22	4215,483	0,093	0,6	2,1	-1,07	-0,044	55	0	06:30:25 40907.27069 2012/01/31					
	44,41	26,11	22	4215,484	0,094	2,0	2,6	-1,06	-0,044	55	0	06:31:25 40907.27138 2012/01/31					
	44,41	26,11	21	4215,484	0,071	1,9	2,9	-1,05	-0,045	55	0	06:32:25 40907.27208 2012/01/31					
	44,41	26,11	20	4215,485	0,076	0,7	3,3	-1,05	-0,045	55	0	06:33:26 40907.27278 2012/01/31					
	44,41	26,11	20	4215,484	0,108	-1,2	1,5	-1,05	-0,045	55	0	06:35:20 40907.27410 2012/01/31					
	44,41	26,11	20	4215,484	0,105	-0,6	2,0	-1,05	-0,045	55	0	06:36:22 40907.27481 2012/01/31					
	44,41	26,11	19	4215,486	0,088	-0,3	2,4	-1,05	-0,045	55	0	06:37:22 40907.27551 2012/01/31					
	44,41	26,11	19	4215,485	0,106	0,0	3,0	-1,06	-0,046	55	0	06:38:22 40907.27620 2012/01/31					
	44,41	26,11	18	4215,484	0,095	-0,4	3,3	-1,06	-0,046	55	0	06:39:23 40907.27691 2012/01/31					
	44,41	26,10	18	4215,483	0,085	-0,9	0,1	-1,07	-0,046	55	0	06:41:02 40907.27805 2012/01/31					
	44,41	26,10	18	4215,482	0,091	-0,7	0,2	-1,08	-0,046	55	0	06:42:04 40907.27877 2012/01/31					
	<b>44,41</b>	<b>26,10</b>	<b>17</b>	<b>4215,483</b>	<b>0,088</b>	<b>-0,9</b>	<b>0,5</b>	<b>-1,08</b>	<b>-0,046</b>	<b>55</b>	<b>0</b>	<b>06:43:04 40907.27946 2012/01/31</b>	<b>403</b>	<b>546</b>	<b>0,001</b>	<b>4215,483</b>	
	44,41	26,10	17	4215,483	0,097	-1,3	0,9	-1,09	-0,046	55	0	06:44:04 40907.28015 2012/01/31					

	44,41	26,10	16	4215,480	0,094	-1,9	1,0	-1,09	-0,047	55	0	06:45:05 40907.28086 2012/01/31				
<b>SUA</b>	44,68	26,25	16	4205,290	0,072	-1,4	-1,2	-1,12	-0,063	55	0	08:24:13 40907.34959 2012/01/31	504	0,000	4205,290	-10,193
	44,68	26,25	17	4205,289	0,091	-2,0	-1,6	-1,11	-0,063	55	0	08:25:15 40907.35031 2012/01/31	505	0,000	4205,289	-10,194
	44,68	26,25	17	4205,285	0,087	-2,8	-1,7	-1,11	-0,063	55	0	08:26:15 40907.35100 2012/01/31	506	0,000	4205,285	-10,198
	44,68	26,25	17	4205,287	0,109	-3,4	-1,7	-1,10	-0,063	55	0	08:27:15 40907.35169 2012/01/31	507	0,000	4205,287	-10,196
	44,68	26,25	17	4205,286	0,089	-3,8	-1,7	-1,10	-0,063	55	0	08:28:16 40907.35240 2012/01/31	508	0,000	4205,286	-10,197
	44,68	26,25	18	4205,284	0,098	-0,4	-1,3	-1,10	-0,063	55	0	08:29:55 40907.35354 2012/01/31	510	0,000	4205,284	-10,199
	44,68	26,26	18	4205,283	0,072	-0,6	-1,5	-1,10	-0,064	55	0	08:30:57 40907.35426 2012/01/31	511	0,000	4205,283	-10,200
	44,68	26,26	19	4205,283	0,130	-0,8	-1,4	-1,10	-0,064	55	0	08:31:57 40907.35495 2012/01/31	512	0,000	4205,283	-10,200
	44,68	26,26	19	4205,281	0,066	-1,1	-1,2	-1,10	-0,064	55	0	08:32:57 40907.35565 2012/01/31	513	0,000	4205,281	-10,202
	44,68	26,26	18	4205,282	0,106	-1,2	-1,2	-1,10	-0,064	55	0	08:33:58 40907.35635 2012/01/31	514	0,000	4205,282	-10,201
	44,68	26,26	19	4205,281	0,062	-1,4	-0,8	-1,10	-0,064	55	0	08:35:10 40907.35718 2012/01/31	515	0,000	4205,281	-10,202
	44,68	26,26	20	4205,280	0,078	-1,8	-0,7	-1,10	-0,064	55	0	08:36:12 40907.35790 2012/01/31	516	0,000	4205,280	-10,203
	44,68	26,26	20	4205,277	0,092	-2,1	-0,5	-1,10	-0,064	55	0	08:37:12 40907.35859 2012/01/31	517	0,000	4205,277	-10,206
	44,68	26,26	20	4205,278	0,076	-2,4	-0,7	-1,10	-0,064	55	0	08:38:12 40907.35929 2012/01/31	518	0,000	4205,278	-10,205
	44,68	26,26	20	4205,277	0,058	-2,6	-0,6	-1,10	-0,065	55	0	08:39:13 40907.35999 2012/01/31	519	0,000	4205,277	-10,206
<b>SUA</b>	44,68	26,25	24	4205,288	0,052	-5,7	-1,1	-0,96	-0,030	55	0	13:54:56 40907.57889 2012/01/31	835	-0,001	4205,287	-10,196
	44,68	26,26	23	4205,289	0,071	-8,7	-1,6	-0,96	-0,030	55	0	13:55:58 40907.57960 2012/01/31	836	-0,001	4205,288	-10,195
	44,68	26,26	23	4205,287	0,096	-10,4	-2,1	-0,97	-0,029	55	0	13:56:58 40907.58030 2012/01/31	837	-0,001	4205,286	-10,197
	44,68	26,26	23	4205,284	0,073	-11,5	-2,6	-0,97	-0,029	55	0	13:57:58 40907.58099 2012/01/31	838	-0,001	4205,283	-10,200
	44,68	26,26	23	4205,282	0,089	-12,0	-3,0	-0,98	-0,029	55	0	13:58:59 40907.58170 2012/01/31	839	-0,001	4205,281	-10,202
	44,68	26,26	23	4205,282	0,088	-0,6	-1,9	-1,00	-0,028	55	0	14:00:48 40907.58295 2012/01/31	841	-0,001	4205,281	-10,202
	44,68	26,26	23	4205,282	0,091	-0,4	-2,0	-1,01	-0,028	55	0	14:01:50 40907.58367 2012/01/31	842	-0,001	4205,281	-10,202
	44,68	26,26	23	4205,279	0,091	-0,3	-1,8	-1,03	-0,027	55	0	14:02:50 40907.58436 2012/01/31	843	-0,001	4205,278	-10,205
	44,68	26,26	23	4205,278	0,076	-0,3	-1,8	-1,04	-0,027	55	0	14:03:50 40907.58506 2012/01/31	844	-0,001	4205,277	-10,206
	44,68	26,26	23	4205,277	0,050	-0,2	-1,7	-1,05	-0,026	55	0	14:04:51 40907.58576 2012/01/31	845	-0,001	4205,276	-10,207
	44,68	26,26	24	4205,278	0,072	-0,1	-1,2	-1,07	-0,026	55	0	14:06:08 40907.58665 2012/01/31	846	-0,001	4205,277	-10,206
	44,68	26,26	24	4205,274	0,072	0,0	-1,1	-1,08	-0,026	55	0	14:07:10 40907.58737 2012/01/31	847	-0,001	4205,273	-10,210
	44,68	26,26	24	4205,274	0,121	0,0	-1,0	-1,09	-0,025	55	0	14:08:10 40907.58806 2012/01/31	848	-0,001	4205,273	-10,210
	44,68	26,26	24	4205,274	0,106	0,0	-1,0	-1,10	-0,025	55	0	14:09:10 40907.58876 2012/01/31	849	-0,001	4205,273	-10,210
	44,68	26,26	23	4205,272	0,067	0,0	-0,9	-1,10	-0,025	55	0	14:10:11 40907.58946 2012/01/31	850	-0,001	4205,271	-10,212
<b>IGAR</b>	44,44	26,11	20	4215,493	0,098	-1,5	2,3	-1,39	0,008	55	0	15:40:55 40907.65237 2012/01/31	941			
	44,44	26,11	20	4215,492	0,104	-1,9	3,6	-1,36	0,009	55	0	15:41:57 40907.65309 2012/01/31	942			
	44,44	26,11	19	4215,492	0,098	-2,3	4,3	-1,33	0,009	55	0	15:42:57 40907.65378 2012/01/31	943			
	44,44	26,11	19	4215,491	0,089	-2,8	4,9	-1,30	0,009	55	0	15:43:57 40907.65447 2012/01/31	944			
	44,44	26,11	18	4215,490	0,108	-3,5	5,4	-1,27	0,010	55	0	15:44:58 40907.65518 2012/01/31	945			

44,44	26,10	18	4215,484	0,109	-1,2	-0,7	-1,24	0,011	55	0	15:46:42 40907.65638	2012/01/31	947			
44,44	26,11	18	4215,484	0,110	-1,6	-0,3	-1,22	0,011	55	0	15:47:44 40907.65710	2012/01/31	948			
44,44	26,10	18	4215,483	0,103	-1,7	0,0	-1,21	0,011	55	0	15:48:44 40907.65779	2012/01/31	949	4215,484		
44,44	26,10	17	4215,481	0,102	-1,8	0,1	-1,20	0,012	55	0	15:49:44 40907.65848	2012/01/31	950			
44,44	26,10	16	4215,481	0,114	-2,1	0,4	-1,20	0,012	55	0	15:50:45 40907.65919	2012/01/31	951			
44,44	26,10	17	4215,480	0,097	-1,9	0,8	-1,19	0,012	55	0	15:51:53 40907.65997	2012/01/31	952			
44,44	26,10	17	4215,479	0,079	-1,3	0,9	-1,18	0,013	55	0	15:52:55 40907.66069	2012/01/31	953			
44,44	26,10	16	4215,479	0,095	-1,3	0,8	-1,18	0,013	55	0	15:53:55 40907.66138	2012/01/31	954			
44,44	26,10	16	4215,478	0,099	-1,2	0,9	-1,17	0,013	55	0	15:54:55 40907.66208	2012/01/31	955			
44,44	26,10	15	4215,479	0,116	-1,3	0,9	-1,17	0,014	55	0	15:55:56 40907.66278	2012/01/31	956			

-10,202 -10,202 0,005

### CICLUL IGAR-SUA-IGAR (1 februarie 2012)

code	LAT	LON	ALT	tide corr gravity	STD	TiltX	TiltY	TEM	tide corr	cycle	REJ	LOCAL TIMING	time	drift	drift corr gravity	dg	average	STD	
IGAR	44,44	26,10	22	4219,990	0,098	-0,5	-0,5	-1,09	-0,050	55	0	06:31:03 40908.27113	2012/02/01	391	0,010	532			
	44,44	26,11	21	4219,990	0,076	-0,9	-0,7	-1,08	-0,050	55	0	06:32:05 40908.27184	2012/02/01	392					
	44,44	26,11	21	4219,991	0,092	-1,6	-0,8	-1,08	-0,050	55	0	06:33:05 40908.27254	2012/02/01	393					
	44,44	26,11	21	4219,989	0,085	-2,1	-0,9	-1,08	-0,050	55	0	06:34:05 40908.27323	2012/02/01	394					
	44,44	26,11	19	4219,989	0,085	-2,7	-1,0	-1,08	-0,051	55	0	06:35:06 40908.27394	2012/02/01	395	4219,989				
	44,44	26,11	20	4219,989	0,083	-0,6	-1,5	-1,09	-0,051	55	0	06:36:57 40908.27522	2012/02/01	397					
	44,44	26,11	20	4219,990	0,112	-0,9	-1,6	-1,09	-0,051	55	0	06:37:59 40908.27594	2012/02/01	398					
	44,44	26,11	19	4219,989	0,097	-1,1	-1,6	-1,10	-0,051	55	0	06:38:59 40908.27663	2012/02/01	399					
	44,44	26,11	19	4219,989	0,096	-1,4	-1,6	-1,10	-0,051	55	0	06:39:59 40908.27732	2012/02/01	400					
	44,44	26,11	18	4219,987	0,100	-1,9	-1,6	-1,11	-0,051	55	0	06:41:00 40908.27803	2012/02/01	401					
SUA	44,68	26,25	17	4209,819	0,051	-4,5	1,2	-1,36	-0,059	55	0	08:09:36 40908.33946	2012/02/01	490	0,002	4209,821	-10,168		
	44,68	26,25	17	4209,814	0,069	-6,7	1,3	-1,33	-0,059	55	0	08:10:38 40908.34017	2012/02/01	491	0,002	4209,816	-10,173		
	44,68	26,25	17	4209,814	0,095	-8,0	1,7	-1,31	-0,059	55	0	08:11:38 40908.34087	2012/02/01	492	0,002	4209,816	-10,173		
	44,68	26,25	17	4209,812	0,128	-8,6	2,3	-1,29	-0,059	55	0	08:12:38 40908.34156	2012/02/01	493	0,002	4209,814	-10,175		
	44,68	26,25	17	4209,809	0,088	-9,1	2,8	-1,27	-0,059	55	0	08:13:39 40908.34226	2012/02/01	494	0,002	4209,811	-10,178		
	44,68	26,25	18	4209,804	0,072	-1,7	-1,1	-1,24	-0,059	55	0	08:15:38 40908.34364	2012/02/01	496	0,002	4209,806	-10,183		
	44,68	26,26	19	4209,802	0,099	-1,8	-0,7	-1,23	-0,059	55	2	08:16:40 40908.34436	2012/02/01	496	0,002	4209,804	-10,185		
	44,68	26,26	19	4209,801	0,061	-1,9	-0,3	-1,22	-0,059	55	0	08:17:40 40908.34505	2012/02/01	496	0,002	4209,803	-10,186		
	44,68	26,26	19	4209,799	0,081	-2,0	0,1	-1,21	-0,059	55	0	08:18:40 40908.34574	2012/02/01	496	0,002	4209,801	-10,188		
	44,68	26,26	19	4209,798	0,073	-1,9	0,3	-1,21	-0,059	55	0	08:19:41 40908.34645	2012/02/01	496	0,002	4209,800	-10,189		

	44,68	26,26	20	4209,796	0,089	-1,7	0,9	-1,20	-0,060	55	0	08:21:07 40908.34744	2012/02/01	496	0,002	4209,798	-10,191		
	44,68	26,26	20	4209,794	0,089	-1,6	1,0	-1,19	-0,060	55	0	08:22:09 40908.34816	2012/02/01	496	0,002	4209,796	-10,193		
	44,68	26,26	20	4209,793	0,113	-1,5	1,1	-1,19	-0,060	55	0	08:23:09 40908.34885	2012/02/01	496	0,002	4209,795	-10,194		
	44,68	26,26	20	4209,794	0,066	-1,5	1,1	-1,18	-0,060	55	0	08:24:09 40908.34954	2012/02/01	496	0,002	4209,796	-10,193		
	44,68	26,26	20	4209,793	0,057	-1,5	1,2	-1,18	-0,060	55	0	08:25:10 40908.35025	2012/02/01	496	0,002	4209,795	-10,194		
SUA	44,68	26,25	21	4209,783	0,063	-1,2	-0,5	-0,93	-0,049	55	0	13:40:23 40908.56880	2012/02/01	820	0,008	4209,791	-10,198		
	44,68	26,26	21	4209,782	0,074	-1,7	-0,6	-0,94	-0,049	55	0	13:41:25 40908.56952	2012/02/01	821	0,008	4209,790	-10,199		
	44,68	26,26	21	4209,780	0,055	-2,1	-0,7	-0,95	-0,048	55	0	13:42:25 40908.57021	2012/02/01	822	0,008	4209,788	-10,201		
	44,68	26,26	21	4209,780	0,062	-2,0	-0,6	-0,96	-0,048	55	0	13:43:25 40908.57090	2012/02/01	823	0,008	4209,788	-10,201		
	44,68	26,26	21	4209,779	0,062	-2,1	-0,7	-0,98	-0,048	55	0	13:44:26 40908.57161	2012/02/01	824	0,008	4209,787	-10,202		
	44,68	26,26	22	4209,777	0,063	-1,3	-0,7	-1,00	-0,047	55	0	13:45:46 40908.57253	2012/02/01	826	0,008	4209,785	-10,204		
	44,68	26,26	22	4209,776	0,069	-1,1	-0,8	-1,02	-0,047	55	0	13:46:48 40908.57325	2012/02/01	827	0,008	4209,784	-10,205		
	44,68	26,26	22	4209,775	0,042	-1,0	-0,9	-1,03	-0,047	55	0	13:47:48 40908.57394	2012/02/01	828	0,008	4209,783	-10,206		
	44,68	26,26	22	4209,774	0,065	-0,9	-1,0	-1,05	-0,047	55	0	13:48:48 40908.57463	2012/02/01	829	0,008	4209,782	-10,207		
	44,68	26,26	22	4209,772	0,063	-0,8	-1,1	-1,06	-0,046	55	0	13:49:49 40908.57534	2012/02/01	830	0,008	4209,780	-10,209		
	44,68	26,26	23	4209,771	0,048	-0,9	-0,9	-1,08	-0,046	55	0	13:51:04 40908.57621	2012/02/01	831	0,008	4209,779	-10,210		
	44,68	26,26	23	4209,770	0,065	-0,9	-1,1	-1,09	-0,046	55	0	13:52:06 40908.57692	2012/02/01	832	0,008	4209,778	-10,211		
	44,68	26,26	23	4209,770	0,050	-0,8	-1,2	-1,10	-0,046	55	0	13:53:06 40908.57762	2012/02/01	833	0,008	4209,778	-10,211		
	44,68	26,26	23	4209,769	0,067	-0,9	-1,3	-1,11	-0,045	55	0	13:54:06 40908.57831	2012/02/01	834	0,008	4209,777	-10,212		
	44,68	26,26	22	4209,768	0,070	-0,9	-1,3	-1,12	-0,045	55	0	13:55:07 40908.57901	2012/02/01	835	0,008	4209,776	-10,213		
IGAR	44,44	26,11	18	4219,987	0,076	-2,9	-1,8	-1,39	-0,017	55	0	15:19:35 40908.63758	2012/02/01	920					
	44,44	26,11	18	4219,986	0,085	-4,8	-3,2	-1,37	-0,017	55	0	15:20:37 40908.63829	2012/02/01	921					
	44,44	26,10	18	4219,982	0,118	-6,7	-4,1	-1,34	-0,016	55	0	15:21:37 40908.63899	2012/02/01	922					
	44,44	26,10	17	4219,980	0,073	-7,5	-5,2	-1,32	-0,016	55	0	15:22:37 40908.63968	2012/02/01	923					
	44,44	26,10	16	4219,979	0,079	-8,4	-6,0	-1,30	-0,015	55	0	15:23:38 40908.64039	2012/02/01	924					
	44,44	26,10	16	4219,982	0,086	-1,9	-0,5	-1,27	-0,015	55	1	15:25:09 40908.64144	2012/02/01	925					
	44,44	26,10	16	4219,979	0,073	-2,3	-0,9	-1,26	-0,015	55	0	15:26:11 40908.64215	2012/02/01	926					
	44,44	26,10	16	4219,980	0,073	-2,9	-1,2	-1,25	-0,014	55	0	15:27:11 40908.64285	2012/02/01	927	0,010	4219,979			
	44,44	26,10	16	4219,977	0,074	-3,5	-1,6	-1,24	-0,014	55	0	15:28:11 40908.64354	2012/02/01	928					
	44,44	26,10	15	4219,975	0,086	-4,1	-1,7	-1,23	-0,014	55	0	15:29:12 40908.64425	2012/02/01	929					
	44,44	26,10	15	4219,977	0,080	-1,3	-0,6	-1,22	-0,013	55	0	15:30:44 40908.64531	2012/02/01	931					
	44,44	26,10	15	4219,978	0,077	-1,6	-0,6	-1,21	-0,012	55	0	15:31:46 40908.64602	2012/02/01	932					
	44,44	26,10	14	4219,975	0,063	-1,9	-0,6	-1,20	-0,012	55	0	15:33:46 40908.64741	2012/02/01	934					
	44,44	26,10	14	4219,975	0,106	-2,8	-0,5	-1,20	-0,011	55	0	15:34:47 40908.64812	2012/02/01	935					

-10,195 -10,199 0,007

CICLUL SUA-Buzau\_SUA 31 ianuarie 2012

code	LAT	LONG	ALT	tide corr gravity	STD	TiltX	TiltY	TEM	tide corr	cyc	R	LOCAL TIME	time	drift	drift corr gravity	dg	average	STD
SUA	44,6776466	26,2541504	16	4205,290	0,072	-1,4	-1,2	-1,12	-0,063	55	0	08:24:13 40907.34959 2012/01/31	504	-0,003	331			
	44,6776466	26,2544899	17	4205,289	0,091	-2,0	-1,6	-1,11	-0,063	55	0	08:25:15 40907.35031 2012/01/31	505					
	44,6776466	26,2546253	17	4205,285	0,087	-2,8	-1,7	-1,11	-0,063	55	0	08:26:15 40907.35100 2012/01/31	506					
	44,6776466	26,2546921	17	4205,287	0,109	-3,4	-1,7	-1,10	-0,063	55	0	08:27:15 40907.35169 2012/01/31	507					
	44,6776466	26,2546921	17	4205,286	0,089	-3,8	-1,7	-1,10	-0,063	55	0	08:28:16 40907.35240 2012/01/31	508					
	44,6776466	26,2546921	18	4205,284	0,098	-0,4	-1,3	-1,10	-0,063	55	0	08:29:55 40907.35354 2012/01/31	510					
	44,6776466	26,2551003	18	4205,283	0,072	-0,6	-1,5	-1,10	-0,064	55	0	08:30:57 40907.35426 2012/01/31	511					
	44,6776466	26,2551003	19	4205,283	0,130	-0,8	-1,4	-1,10	-0,064	55	0	08:31:57 40907.35495 2012/01/31	512	4205,283				
	44,6776466	26,255167	19	4205,281	0,066	-1,1	-1,2	-1,10	-0,064	55	0	08:32:57 40907.35565 2012/01/31	513					
	44,6776466	26,255167	18	4205,282	0,106	-1,2	-1,2	-1,10	-0,064	55	0	08:33:58 40907.35635 2012/01/31	514					
	44,6776466	26,2551003	19	4205,281	0,062	-1,4	-0,8	-1,10	-0,064	55	0	08:35:10 40907.35718 2012/01/31	515					
	44,6776466	26,2553711	20	4205,280	0,078	-1,8	-0,7	-1,10	-0,064	55	0	08:36:12 40907.35790 2012/01/31	516					
	44,6776466	26,2554398	20	4205,277	0,092	-2,1	-0,5	-1,10	-0,064	55	0	08:37:12 40907.35859 2012/01/31	517					
	44,6776466	26,2555752	20	4205,278	0,076	-2,4	-0,7	-1,10	-0,064	55	0	08:38:12 40907.35929 2012/01/31	518					
	44,6776466	26,2555752	20	4205,277	0,058	-2,6	-0,6	-1,10	-0,065	55	0	08:39:13 40907.35999 2012/01/31	519					
Buzau od II	45,1408195	26,8060493	21	4205,690	0,113	3,5	-2,5	-1,41	-0,070	55	0	10:53:14 40907.45291 2012/01/31	653	0,002	4205,692	0,413		
	45,1408195	26,8058453	21	4205,687	0,093	2,1	-4,7	-1,39	-0,070	55	0	10:54:16 40907.45362 2012/01/31	654	0,002	4205,689	0,410		
	45,1408195	26,8057098	20	4205,686	0,100	-0,3	-5,9	-1,36	-0,070	55	0	10:55:16 40907.45432 2012/01/31	655	0,002	4205,688	0,409		
	45,1408195	26,8055058	19	4205,684	0,079	-1,4	-6,8	-1,34	-0,070	55	0	10:56:16 40907.45501 2012/01/31	656	0,002	4205,686	0,407		
	45,1408195	26,8055058	18	4205,683	0,086	-4,1	-8,3	-1,32	-0,070	55	0	10:57:17 40907.45572 2012/01/31	657	0,002	4205,685	0,406		
	45,1408195	26,8050995	18	4205,688	0,141	-	4,5	2,6	-1,30	-0,069	55	0	10:58:45 40907.45673 2012/01/31	659	0,002	4205,690	0,411	
	45,1408195	26,8050995	18	4205,687	0,121	-6,7	3,9	-1,29	-0,069	55	0	10:59:47 40907.45745 2012/01/31	660	0,002	4205,689	0,410		
	45,1408195	26,8049641	17	4205,686	0,078	-6,9	4,3	-1,29	-0,069	55	0	11:00:47 40907.45814 2012/01/31	661	0,002	4205,688	0,409		
	45,1408195	26,8048286	17	4205,685	0,106	-8,8	4,8	-1,28	-0,069	55	0	11:01:47 40907.45884 2012/01/31	662	0,002	4205,687	0,408		
	45,1408195	26,8048286	15	4205,685	0,082	-9,3	4,6	-1,27	-0,069	55	0	11:02:48 40907.45954 2012/01/31	663	0,002	4205,687	0,408		
	45,1408195	26,804285	16	4205,682	0,084	-1,3	-0,3	-1,26	-0,069	55	0	11:04:05 40907.46043 2012/01/31	664	0,002	4205,684	0,405		
	45,1408195	26,8043537	15	4205,679	0,086	-1,9	-0,6	-1,26	-0,069	55	0	11:05:07 40907.46115 2012/01/31	665	0,002	4205,681	0,402		
	45,1408195	26,8042183	14	4205,678	0,082	-4,0	-0,8	-1,25	-0,069	55	0	11:06:07 40907.46184 2012/01/31	666	0,002	4205,680	0,401		
	45,1408195	26,8040142	14	4205,678	0,112	-5,2	-0,8	-1,24	-0,069	55	0	11:07:07 40907.46253 2012/01/31	667	0,002	4205,680	0,401		
	45,1408195	26,8040142	13	4205,678	0,133	-3,6	-0,8	-1,24	-0,069	55	0	11:08:08 40907.46324 2012/01/31	668	0,002	4205,680	0,401		
SUA	44,6777763	26,2544384	24	4205,288	0,052	-5,7	-1,1	-0,96	-0,030	55	0	13:54:56 40907.57889 2012/01/31	835					

44,6777763	26,2565918	23	4205,289	0,071	-8,7	-1,6	-0,96	-0,030	55	0	13:55:58 40907.57960	2012/01/31	836		
44,6777763	26,2565231	23	4205,287	0,096	-10,4	-2,1	-0,97	-0,029	55	0	13:56:58 40907.58030	2012/01/31	837		
44,6777763	26,2564564	23	4205,284	0,073	-11,5	-2,6	-0,97	-0,029	55	0	13:57:58 40907.58099	2012/01/31	838		
44,6777763	26,2564564	23	4205,282	0,089	-12,0	-3,0	-0,98	-0,029	55	0	13:58:59 40907.58170	2012/01/31	839		
44,6777763	26,2562523	23	4205,282	0,088	-0,6	-1,9	-1,00	-0,028	55	0	14:00:48 40907.58295	2012/01/31	841		
44,6777763	26,2565231	23	4205,282	0,091	-0,4	-2,0	-1,01	-0,028	55	0	14:01:50 40907.58367	2012/01/31	842		
44,6777763	26,2565231	23	4205,279	0,091	-0,3	-1,8	-1,03	-0,027	55	0	14:02:50 40907.58436	2012/01/31	843	4205,280	
44,6777763	26,2565231	23	4205,278	0,076	-0,3	-1,8	-1,04	-0,027	55	0	14:03:50 40907.58506	2012/01/31	844		
44,6777763	26,2565231	23	4205,277	0,050	-0,2	-1,7	-1,05	-0,026	55	0	14:04:51 40907.58576	2012/01/31	845		
44,6777763	26,2563877	24	4205,278	0,072	-0,1	-1,2	-1,07	-0,026	55	0	14:06:08 40907.58665	2012/01/31	846		
44,6777763	26,2566605	24	4205,274	0,072	0,0	-1,1	-1,08	-0,026	55	0	14:07:10 40907.58737	2012/01/31	847		
44,6777763	26,2566605	24	4205,274	0,121	0,0	-1,0	-1,09	-0,025	55	0	14:08:10 40907.58806	2012/01/31	848		
44,6777763	26,2566605	24	4205,274	0,106	0,0	-1,0	-1,10	-0,025	55	0	14:09:10 40907.58876	2012/01/31	849		
44,6777763	26,2566605	23	4205,272	0,067	0,0	-0,9	-1,10	-0,025	55	0	14:10:11 40907.58946	2012/01/31	850		

### CICLUL SUA-Buzau-SUA 1 februarie 2012

code	LAT	LONG	ALT	tide corr gravity	STD	TiltX	TiltY	TEM	tide corr	Cy	R	LOCAL TIMING	time	drift	drift corr gravity dg	average	STD
SUA	44,6776772	26,254467	16,8944	4209,819	0,051	-4,5	1,2	-1,36	-0,059	55	0	08:09:36 40908.33946	2012/02/01	490	-0,028 330'		
	44,6776772	26,2546921	16,8944	4209,814	0,069	-6,7	1,3	-1,33	-0,059	55	0	08:10:38 40908.34017	2012/02/01	491			
	44,6776772	26,2546921	17,1385	4209,814	0,095	-8,0	1,7	-1,31	-0,059	55	0	08:11:38 40908.34087	2012/02/01	492			
	44,6776772	26,2547607	17,3826	4209,812	0,128	-8,6	2,3	-1,29	-0,059	55	0	08:12:38 40908.34156	2012/02/01	493			
	44,6776772	26,2547607	16,8944	4209,809	0,088	-9,1	2,8	-1,27	-0,059	55	0	08:13:39 40908.34226	2012/02/01	494			
	44,6776772	26,2546921	18,1151	4209,804	0,072	-1,7	-1,1	-1,24	-0,059	55	0	08:15:38 40908.34364	2012/02/01	496			
	44,6776772	26,2550316	18,6033	4209,802	0,099	-1,8	-0,7	-1,23	-0,059	55	2	08:16:40 40908.34436	2012/02/01	497			
	44,6776772	26,255167	18,8475	4209,801	0,061	-1,9	-0,3	-1,22	-0,059	55	0	08:17:40 40908.34505	2012/02/01	498	4209,803		
	44,6776772	26,2552357	19,0916	4209,799	0,081	-2,0	0,1	-1,21	-0,059	55	0	08:18:40 40908.34574	2012/02/01	499			
	44,6776772	26,2552357	18,6033	4209,798	0,073	-1,9	0,3	-1,21	-0,059	55	0	08:19:41 40908.34645	2012/02/01	500			
	44,6776772	26,255167	19,5799	4209,796	0,089	-1,7	0,9	-1,20	-0,060	55	0	08:21:07 40908.34744	2012/02/01	501			
	44,6776772	26,2554398	19,824	4209,794	0,089	-1,6	1,0	-1,19	-0,060	55	0	08:22:09 40908.34816	2012/02/01	502			
	44,6776772	26,2555065	20,0682	4209,793	0,113	-1,5	1,1	-1,19	-0,060	55	0	08:23:09 40908.34885	2012/02/01	503			
	44,6776772	26,2555752	20,3123	4209,794	0,066	-1,5	1,1	-1,18	-0,060	55	0	08:24:09 40908.34954	2012/02/01	504			
	44,6776772	26,2555752	19,824	4209,793	0,057	-1,5	1,2	-1,18	-0,060	55	0	08:25:10 40908.35025	2012/02/01	496			
Buzau od II	45,1407967	26,8040829	14,453	4210,209	0,094	-1,4	-1,2	-1,26	-0,068	55	0	10:48:01 40908.44929	2012/02/01	648	0,011	4210,220	0,417
	45,1407967	26,8040142	13,7205	4210,208	0,081	-2,5	-1,4	-1,25	-0,068	55	0	10:49:03 40908.45001	2012/02/01	649	0,011	4210,219	0,416

	45,1407967	26,803812	13,2323	4210,204	0,073	-4,0	-1,1	-1,25	-0,068	55	0	10:50:03	40908.45070	2012/02/01	650	0,011	4210,215	0,412		
	45,1407967	26,8036747	12,744	4210,202	0,079	-4,0	-1,6	-1,24	-0,068	55	0	10:51:03	40908.45139	2012/02/01	651	0,011	4210,213	0,410		
	45,1407967	26,8036747	11,2791	4210,202	0,087	-3,2	-1,7	-1,24	-0,068	55	0	10:52:04	40908.45210	2012/02/01	652	0,011	4210,213	0,410		
	45,1407967	26,803133	11,2791	4210,202	0,094	-2,2	-1,9	-1,24	-0,068	55	0	10:53:31	40908.45310	2012/02/01	654	0,011	4210,213	0,410		
	45,1407967	26,803133	10,7909	4210,200	0,127	-3,7	-2,0	-1,23	-0,068	55	0	10:54:33	40908.45382	2012/02/01	654	0,011	4210,211	0,408		
	45,1407967	26,8029976	10,0584	4210,199	0,071	-3,9	-1,6	-1,23	-0,068	55	0	10:55:33	40908.45451	2012/02/01	654	0,011	4210,210	0,407	0,408	0,005
	45,1407967	26,8027935	9,8143	4210,198	0,081	-4,0	-1,9	-1,22	-0,068	55	0	10:56:33	40908.45521	2012/02/01	654	0,011	4210,209	0,406		
	45,1407967	26,8027935	8,5936	4210,197	0,109	-5,2	-2,0	-1,21	-0,068	55	0	10:57:34	40908.45591	2012/02/01	654	0,011	4210,208	0,405		
	45,1407967	26,8023872	8,8377	4210,197	0,098	-1,6	-0,4	-1,21	-0,068	55	0	10:59:18	40908.45711	2012/02/01	654	0,011	4210,208	0,405		
	45,1407967	26,802454	8,3495	4210,197	0,103	-3,3	-0,2	-1,20	-0,068	55	1	11:00:20	40908.45783	2012/02/01	654	0,011	4210,208	0,405		
	45,1407967	26,8023186	8,1053	4210,195	0,075	-4,3	0,0	-1,19	-0,068	55	0	11:01:20	40908.45852	2012/02/01	654	0,011	4210,206	0,403		
	45,1407967	26,8022518	7,8612	4210,192	0,086	-3,1	-0,2	-1,19	-0,068	55	0	11:02:20	40908.45922	2012/02/01	654	0,011	4210,203	0,400		
	45,1407967	26,8022518	6,6405	4210,195	0,081	-4,4	-0,4	-1,18	-0,068	55	0	11:03:21	40908.45992	2012/02/01	654	0,011	4210,206	0,403		
SUA	44,6776848	26,2544479	20,8006	4209,783	0,063	-1,2	-0,5	-0,93	-0,049	55	0	13:40:23	40908.56880	2012/02/01	820					
	44,6776848	26,2557774	21,0447	4209,782	0,074	-1,7	-0,6	-0,94	-0,049	55	0	13:41:25	40908.56952	2012/02/01	821					
	44,6776848	26,255846	21,0447	4209,780	0,055	-2,1	-0,7	-0,95	-0,048	55	0	13:42:25	40908.57021	2012/02/01	822					
	44,6776848	26,255846	21,2889	4209,780	0,062	-2,0	-0,6	-0,96	-0,048	55	0	13:43:25	40908.57090	2012/02/01	823					
	44,6776848	26,255846	20,8006	4209,779	0,062	-2,1	-0,7	-0,98	-0,048	55	0	13:44:26	40908.57161	2012/02/01	824					
	44,6776848	26,2557774	21,533	4209,777	0,063	-1,3	-0,7	-1,00	-0,047	55	0	13:45:46	40908.57253	2012/02/01	826					
	44,6776848	26,2559814	21,7772	4209,776	0,069	-1,1	-0,8	-1,02	-0,047	55	0	13:46:48	40908.57325	2012/02/01	827					
	44,6776848	26,2560501	22,0213	4209,775	0,042	-1,0	-0,9	-1,03	-0,047	55	0	13:47:48	40908.57394	2012/02/01	828	4209,775				
	44,6776848	26,2561169	22,2654	4209,774	0,065	-0,9	-1,0	-1,05	-0,047	55	0	13:48:48	40908.57463	2012/02/01	829					
	44,6776848	26,2561169	21,533	4209,772	0,063	-0,8	-1,1	-1,06	-0,046	55	0	13:49:49	40908.57534	2012/02/01	830					
	44,6776848	26,2559814	22,5096	4209,771	0,048	-0,9	-0,9	-1,08	-0,046	55	0	13:51:04	40908.57621	2012/02/01	831					
	44,6776848	26,2562523	22,5096	4209,770	0,065	-0,9	-1,1	-1,09	-0,046	55	0	13:52:06	40908.57692	2012/02/01	832					
	44,6776848	26,2562523	22,5096	4209,770	0,050	-0,8	-1,2	-1,10	-0,046	55	0	13:53:06	40908.57762	2012/02/01	833					
	44,6776848	26,2562523	22,7537	4209,769	0,067	-0,9	-1,3	-1,11	-0,045	55	0	13:54:06	40908.57831	2012/02/01	834					
	44,6776848	26,2562523	22,0213	4209,768	0,070	-0,9	-1,3	-1,12	-0,045	55	0	13:55:07	40908.57901	2012/02/01	835					

### **3. ACHIZITIE DE DATE GEODINAMICE: INREGISTRAREA MISCARILOR DE PE FALIA PECENEAGA CAMENA**

#### **3.1. ASPECTE METROLOGICE: OBSERVATORUL DE GEODINAMICA BASPUNAR**

Monitorizarea deplasărilor flancurilor faliei Peceneaga-Camena, în cadrul Observatorului de geodinamică de la Bașpunar, situat în satul Fântâna Mare, com. Ciucurova, jud. Tulcea a fost continuată pe parcursul etapei a treia. În vederea obținerii unor rezultate credibile, înregistrările au fost dublate cu ajutorul a două stații totale Leica TC 1201 și Leica TCR 1201 (Fig. 3.1.1) amplasate pe flancul sudic al faliei Peceneaga-Camena (Dobrogea Centrală) și, inițial, a două reflectoare amplasate pe obiective de pe flancul de nord al faliei (în Dobrogea de Nord).



**3.1.1 Stațiile totale Leica TC 1201 și TCR 1201 în poziție de lucru la observatorul Bașpunar**

Intrucât observațiile sunt afectate de refracția atmosferică dintre țintă și stațiile totale, refracție care depinde strâns de parametrii atmosferici locali (temperatură, presiune, umiditate relativă), pentru eliminarea sau acestor influențe, la fața locului a fost amplasată și o stație meteo (fig.3.1.2).



### 3.1.2 Detaliu din interiorul observatorului: amplasarea unității centrale a stației meteo și parametrii atmosferici înregistrati

## 3.2. MASURI TEHNOLOGICE DE IMBUNATATIRE A CALITATII OBSERVATIILOR

Într-o încercare de diminuare a influenței pe care variațiile de temperatură o au asupra poziției receptorului stației totale, a fost construit un pilaster special din beton armat (fig. 3.2.1) în vârful căruia a fost montat reflectorul stației totale. În cea de a doua parte a etapei, ambele stații totale au fost indreptate spre acest reflector, în locul locațiilor precedente (peretele bisericii și peretele școlii din localitate). Simetria cilindrică a construcției, cu amplasarea reflectorului în centru, a permis astfel reducerea considerabilă a efectelor de dilatare care afectau puternic peretele constructiilor susmenționate pe care era amplasat reflectorul.

Cu toate acestea ușoara asimetrie în amplasare mai generează încă unele efecte nedorite, dar de circa zece ori mai mici decât înainte.

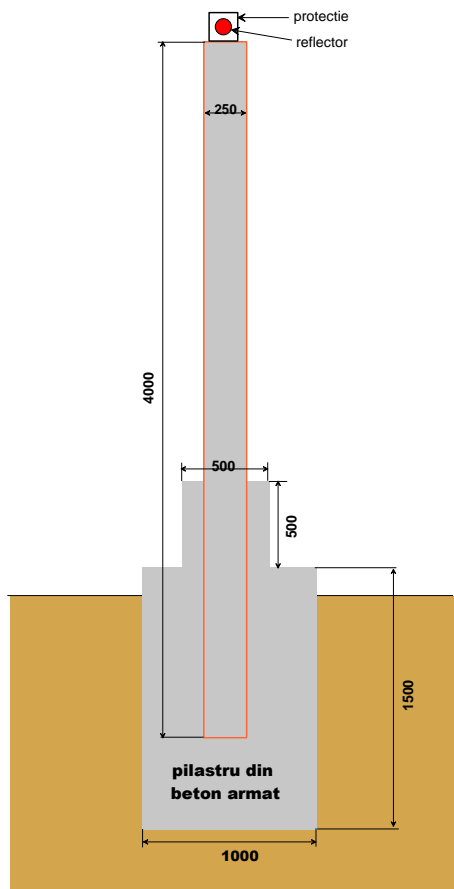


Fig. 3.2.1. Schița noului pilastru realizat pentru amplasarea reflectorului

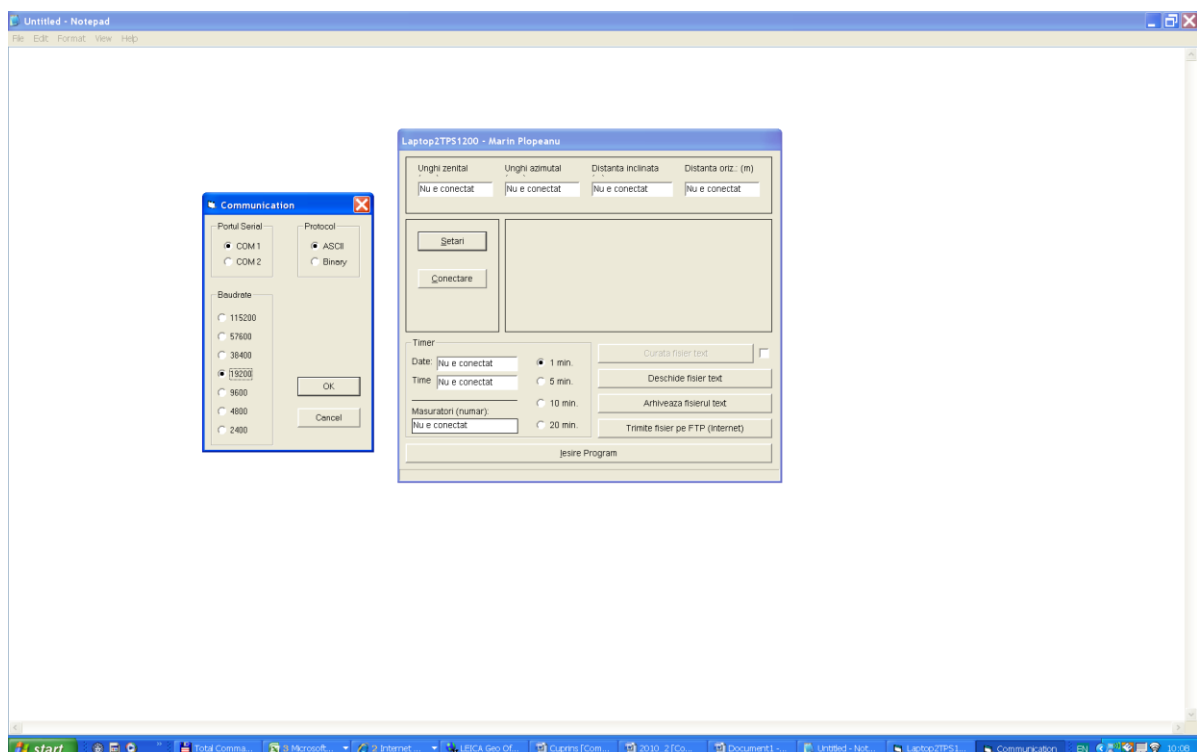
### **3.3. ASPECTE METODOLOGICE LEGATE DE PRELUCRARE**

#### **3.3.1. Considerații asupra software-ului utilizat**

In vederea achiziției și procesării datelor obținute cu cele două stații totale, a fost proiectat și realizat un nou pachet software.

În prezent, cele două stații totale TC 1201 și TCR 1201 lucrează sub comanda pachetului software GEOCOM.EXE, care permite stabilirea ratei de eșantionare a semnalului, comandă stația totală și stochează în memoria computerului de control datele observate.

Pachetul oferă de asemenea posibilitatea compactării fișierelor de date și transmiterea lor la distanță prin INTERNET.



**Fig. 3.3.1. Aspect din menu-ul software-ului geocom.exe**

Un avantaj il constituie posibilitatea sincronizării ceasului stației totale cu cel al calculatorului, știut fiind că lipsa unei baze de timp unitare pentru măsurările de distanță și înregistrarea factorilor atmosferici de către stația meteo îngreunează procesarea informației și introduce erori în rezultate.

Datele sunt salvate în fisier (.txt), iar în măsura în care se reușește conectarea la internet se poate face și transmisia acestor date, pe FTP, în timp real. Informațiile meteo necesare corecțiilor aplicate măsurătorilor se stochează pe același calculator.

Simultan cu implementarea noului soft s-a realizat si verificarea parametrilor (lungimilor de undă) ale stărilor totale si adaptarea formulelor de reducere a distanțelor la orizontală respectiv de reducere a influenței factorilor atmosferici.

### **3.3.2 Determinarea distanței reduse la orizontală**

Pentru a evita problemele legate de variația diferențelor de cotă dintre stație și reflector distanța înclinată măsurată între instrument și reflector este redusă la orizontală.

Formula după care se face această transformare este prezentată în ecuația 3.1:

$$HD = s \times \sin \left[ Z \times \frac{\pi}{200} \right] - s^2 \times \sin \left[ 2 \times Z \times \frac{\pi}{200} \right] \times (1 - \frac{k}{2}) / (2 \times R) \quad (3.1)$$

unde

s = distanța înclinată dintre stație și reflector (m)

Z = unghiul azimutal (ex. 111<sup>g</sup>.47124)

k = 0.13 (coeficientul de refracție)

R = 6378500 m

### **3.3.3. Reducerea influenței factorilor atmosferici**

Distanțele înclinate și orizontale măsurate au fost corectate de influența refracției atmosferice care depinde strâns de parametrii atmosferici locali (presiune absolută, temperatură externă, umiditate relativă).

$$S_{D\text{cor}} = (s \times n_0) / n_A \quad (3.2)$$

Unde  $S_{D\text{cor}}$  = distanța inclinată corectată

s = distanța inclinată măsurată

$n_0$  = indicele de refracție determinat în condiții standard ( $p = 1013,25$  mbar)

$t = 12^\circ\text{C}$ ,  $r$  (umiditatea relativă) = 60%, constante ale aparatului

Indicele de refracție  $n_A$  (3.3) determinat pentru parametrii atmosferici înregistrati la observator are următoarea expresie:

$$n_A = \left( 1 + \frac{n_g - 1}{1 + 0,003661 \times t} \right) \times \frac{P \text{ mmHg}}{760} - \frac{5,5 \times 10^{-8}}{1 + 0,003661 \times t} \times 4,58 \times 10^{\frac{at}{b+t}} \times \frac{r}{100} \quad (3.3)$$

unde

760 mmHg = 1013,25 mbari

a = 7,5

b = 237,3

$t^\circ$  = temperatura în momentul determinării distanței  
 $r(\%)$  = umiditatea relativă în momentul determinării distanței

Formula de determinare a indicelui de refracție de grup  $n_g$  este prezentată în 3.4:

$$n_g = \left( 2876,04 + 3 \times \frac{16,288}{\lambda^2} + 5 \times \frac{0,136}{\lambda^4} \right) \times 10^{-7} + 1 \quad (3.4)$$

$\lambda(TC1200) = 0,780 \mu m$

$\lambda(TCR 1201) = 0,658 \mu m$

Noua modalitate de organizare a bazei de date este prezentată în figura 3.3.2.

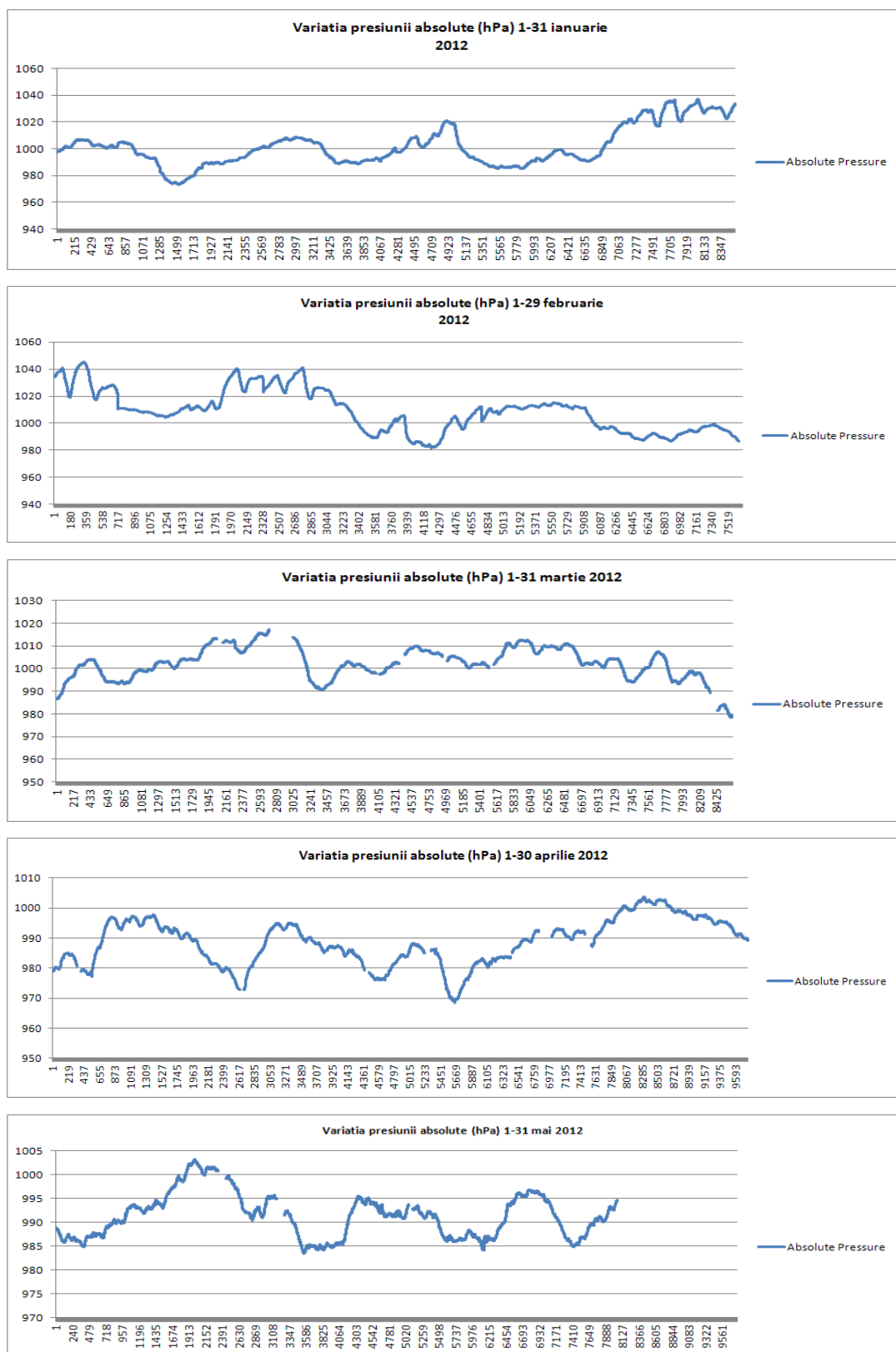
Fig.3.3.2 Exemplu al noului mod de organizare a bazei de date

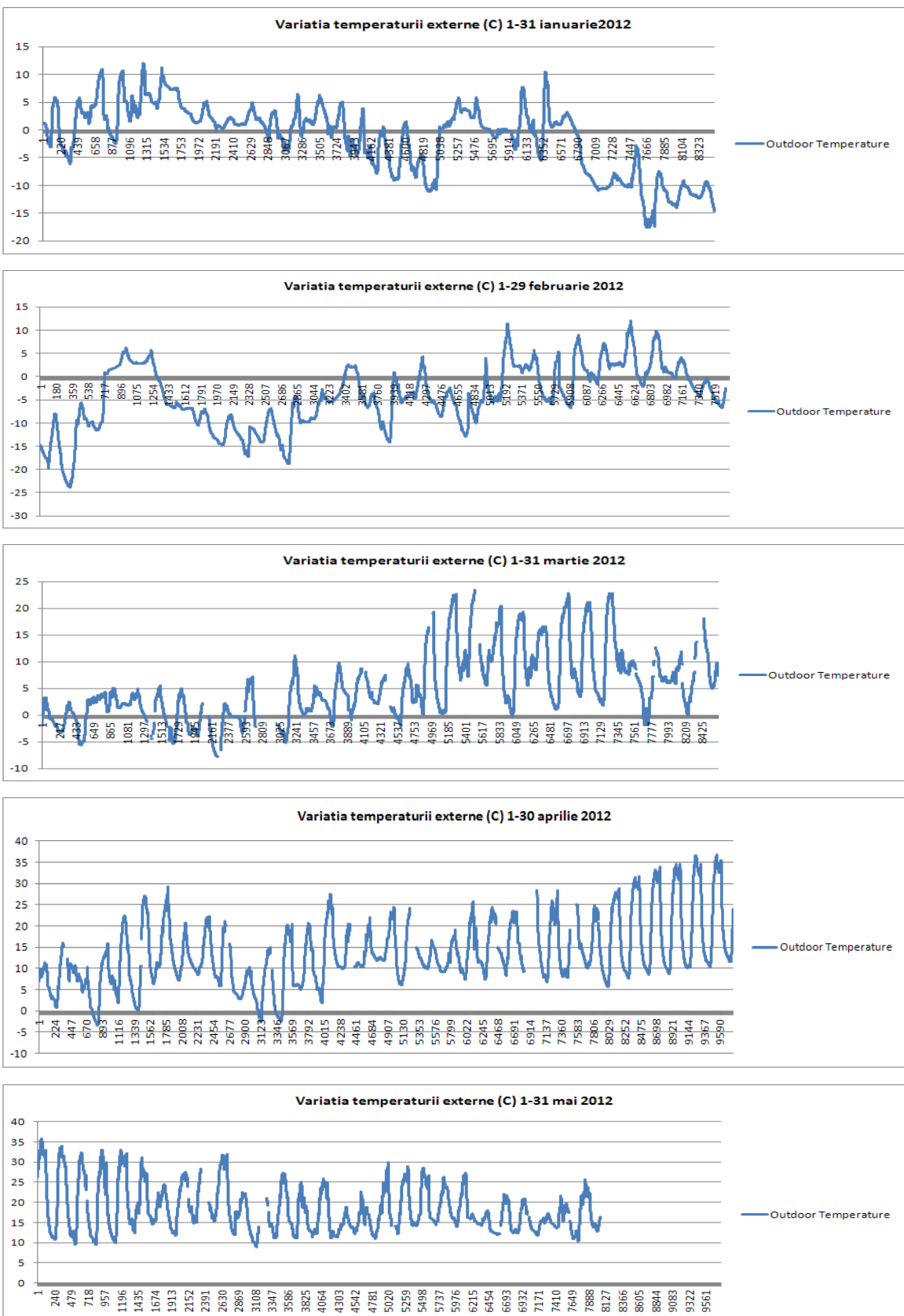
### 3.4. RESULTATE OBTINUTE

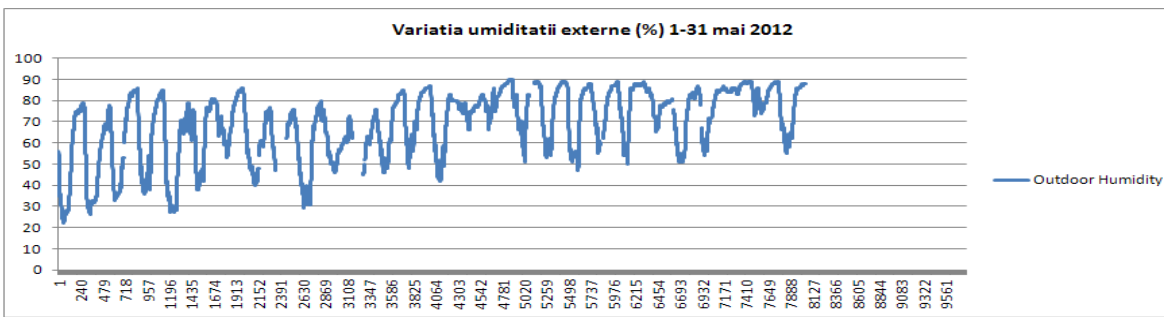
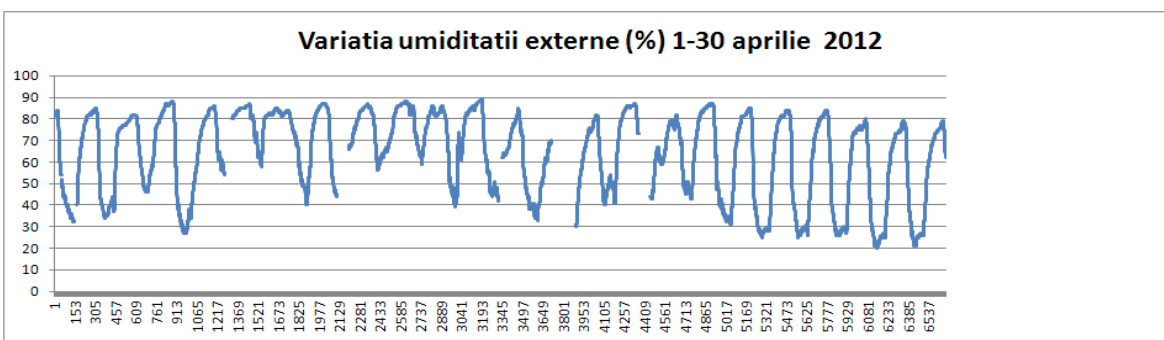
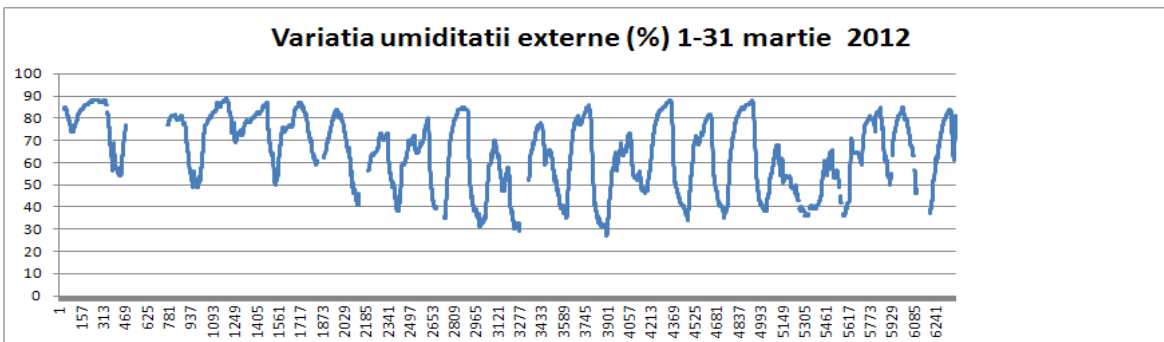
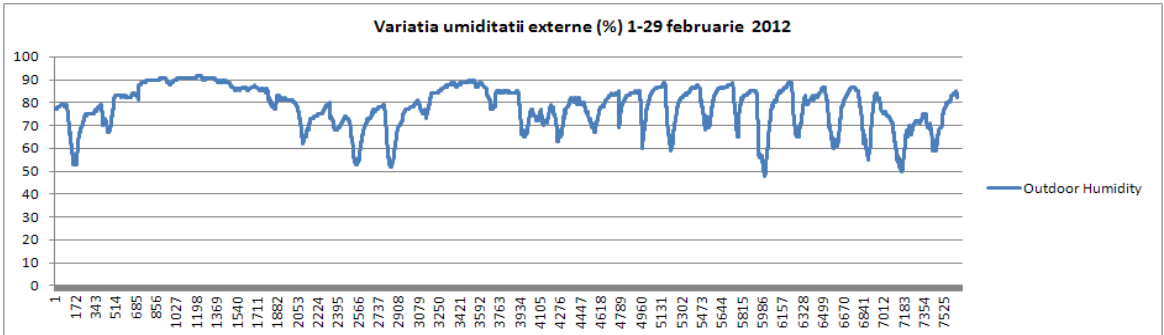
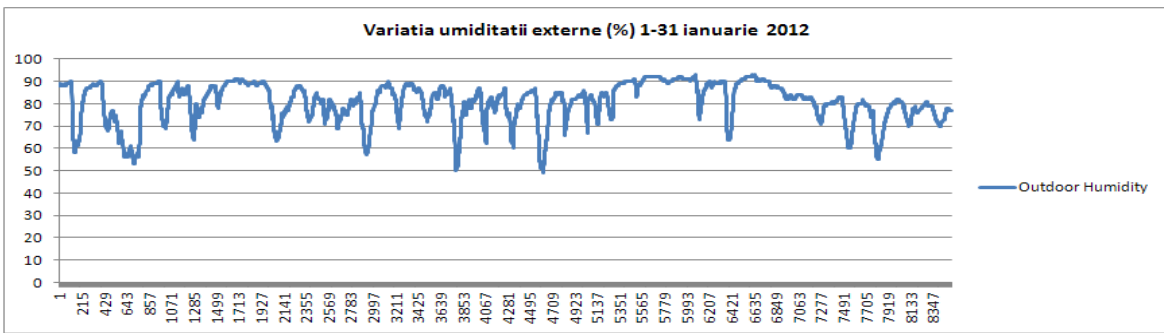
In urma efectuării observațiilor și procesării datelor au fost întocmite grafice care marchează activitatea faliei. Le prezentăm în continuare sub formă de diagrame întocmite pentru fiecare din stațiile totale utilizate.

De mentionat că pe parcursul etapei au existat perioade cand ne-am confruntat cu diverse probleme tehnice sau meteorologice (cum ar fi ceata sau temperaturi extrem de scăzute (sub limita metrologică de funcționare) ceea ce face să nu avem înregistrari continui cu ambele stații pe întreg intervalul analizat.

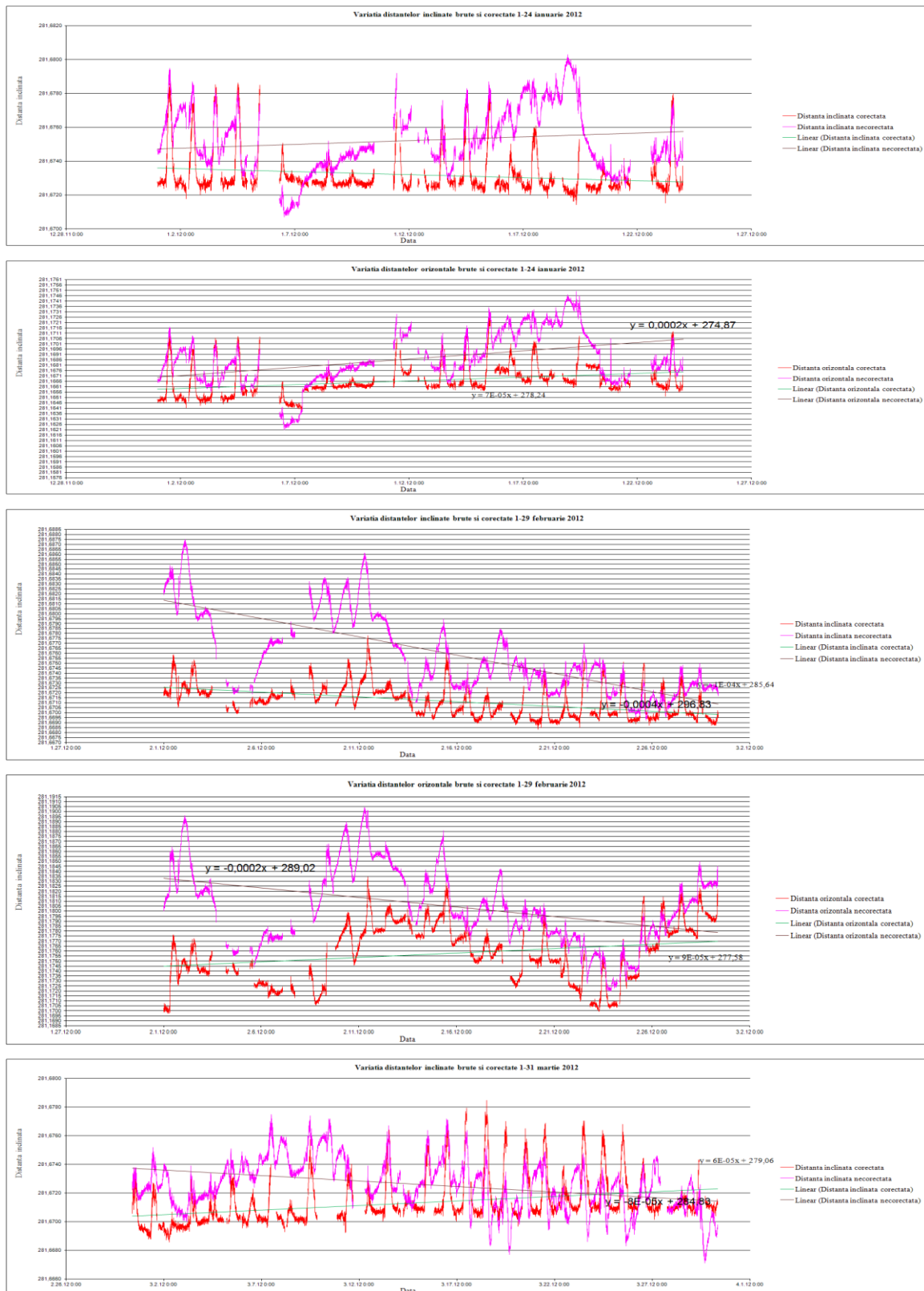
### **3.4.1 Date meteorologice**

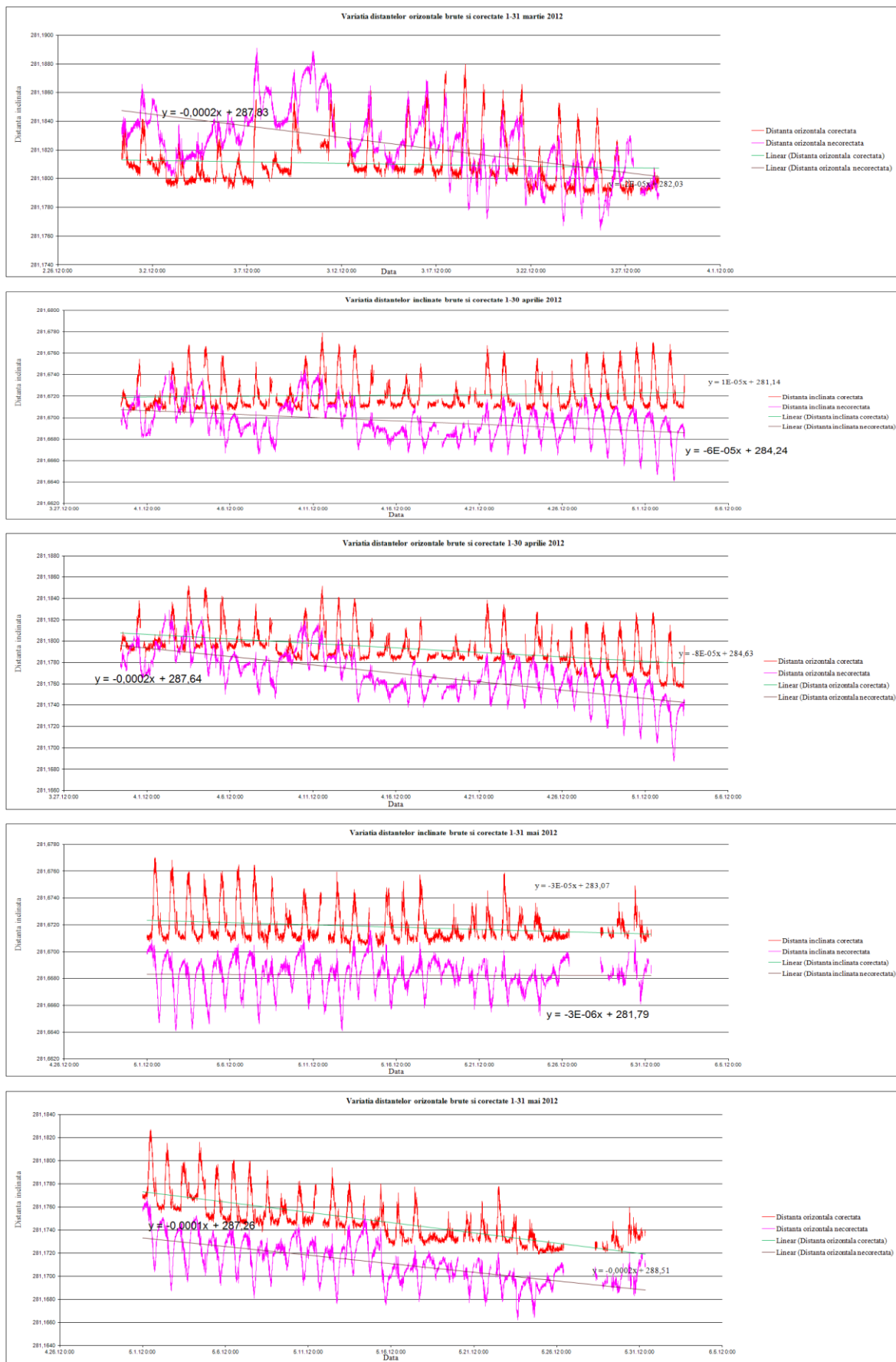




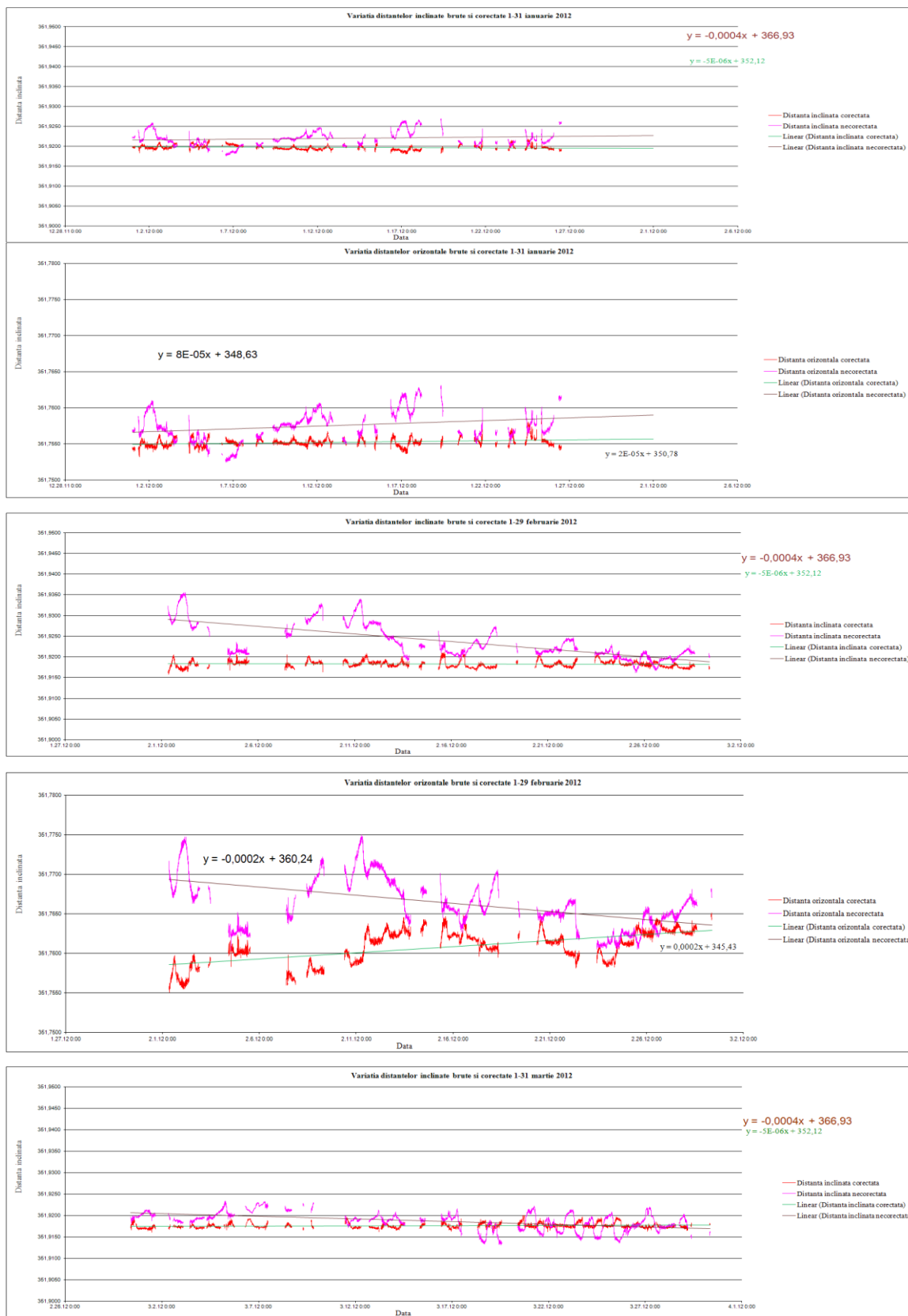


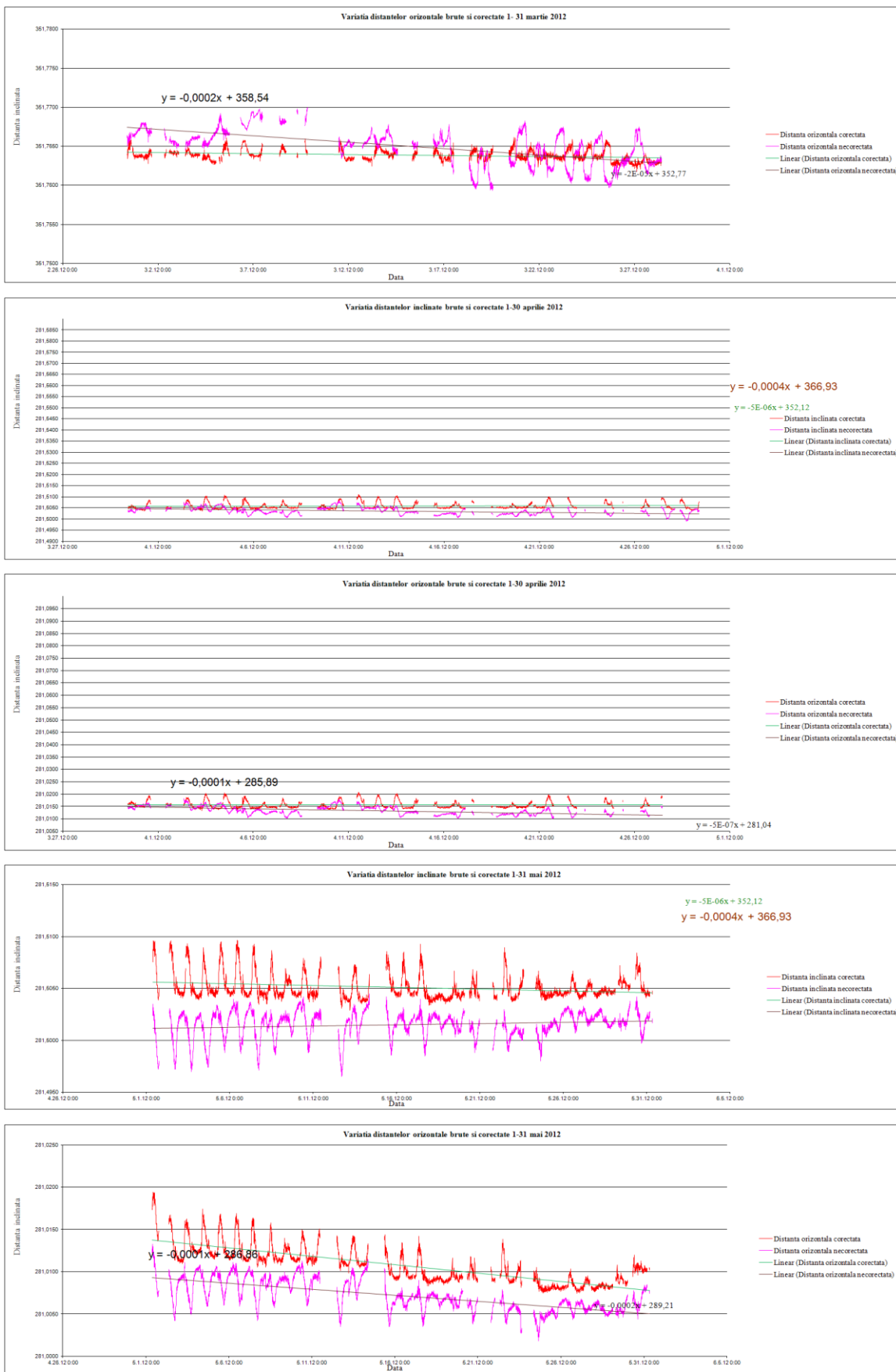
### **3.4.2. Date achizitionate cu statia Leica TC 1201**





### 3.4.2 Date achizitionate cu statia Leica TCR1201





## **4. ANALIZA REZULTATELOR OBTINUTE**

### **4.1. DATE GRAVIMETRICE**

#### **4.1.1. Operațiuni auxiliare în studiul evoluției spațio-temporale a gravitației**

Pentru a putea valorifica observațiile de teren curente prin care se urmărește evoluția spațio-temporală a câmpului gravitației în scopul monitorizării dinamicii litosferei (Varga, 1977; Mrolina, 1982; Burșa, 1986; Ekman, 1989; Stus et al, 1993; Lio et al, 2002; Xu et al, 2008), este necesară realizarea unor operațiuni ajutătoare, cum ar fi, calibrarea instrumentului, verificarea periodică a factorului de corecție automată a driftului și a altor parametrii metrologici care asigură sensibilitatea și precizia gravimetrului, etc. Transferul de valori absolute din sistemul de gravitate național în rețelele de monitorizare geodinamică a zonei Vrancea se numără printre acestea.

Profitând de faptul că perioada de desfășurare a lucrărilor din această etapă nu era propice realizării unor observații de teren în zonele muntoase, cercetările gravimetrice s-au concentrat în principal pe aspecte de laborator sau observații de teren care reclamau expuneri îndelungate în aer liber.

In condiții de laborator, au fost realizate noi determinări care au condus la realizarea unui model al distribuției **gradientului vertical al gravitației în jurul pilastrului pe care funcționează gravimetrul în incinta laboratorului de gravitate** al Departamentului Dinamica Globului Terestru (DDGT). Acest aspect este de importanță majoră atunci când trebuie calculată valoarea câmpului la nivelul pilastrului, sau la cota senzorului gravimetrului cu care se face transmiterea de valori absolute de gravitate de la sau înspre laboratorul nostru de gravitate.

A doua categorie de determinări gravimetrice auxiliare au vizat **transportul de valori absolute de gravitate** din sistemul național de gravitate în rețea pentru monitorizarea gravimetrică a zonei Vrancea și laboratorul de gravitate al DDGT.

Valori absolute de gravitate pe teritoriul României sunt furnizate prin intermediul sistemului național de gravitate pe două căi (Besutiu et al, 2001a,b):

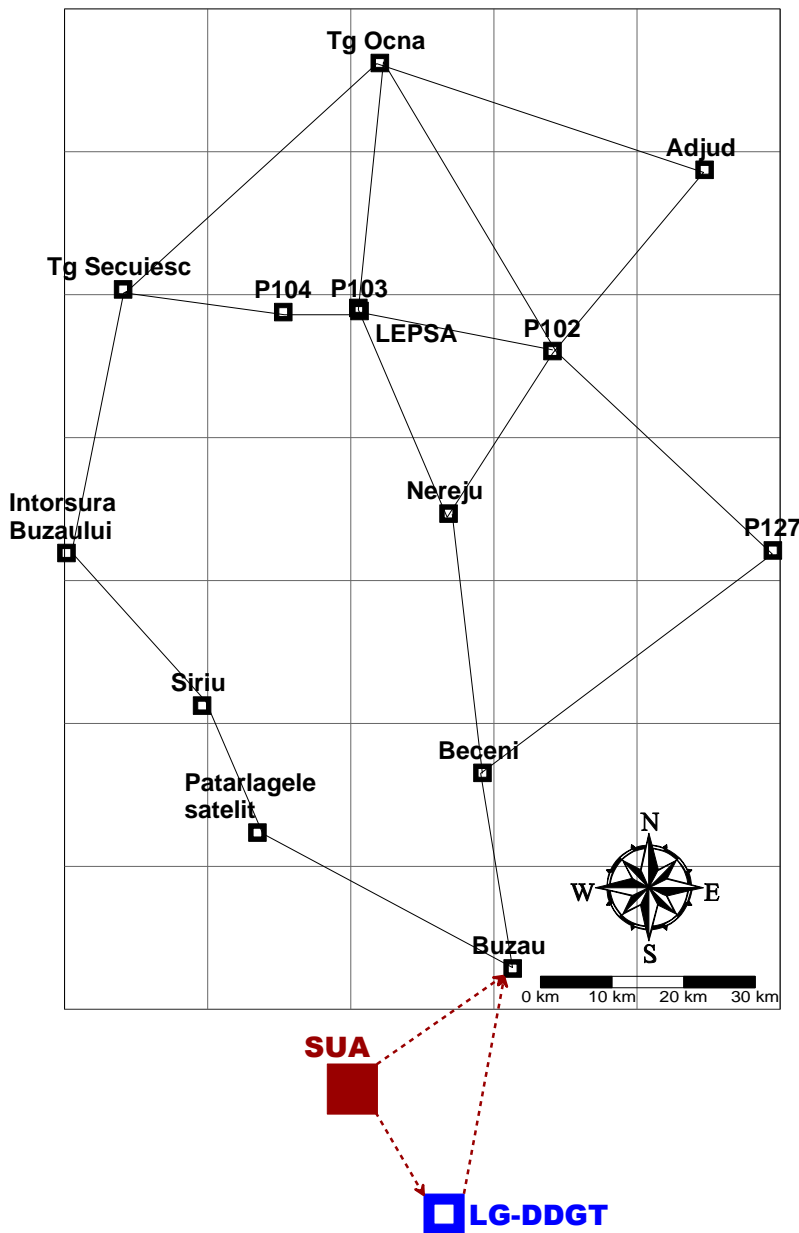
din rețelele gravimetrice naționale de referință de ordinul I și II (Besutiu et al, 1994)

din statele ale rețelei europene de referință UNIGRACE (Rosca și Besutiu, 2001).

De menționat de asemenea cele câteva puncte în care o echipă de cercetători americani de la US National Imagery and Mapping Agency a efectuat determinări absolute de gravitate cu un gravimetru FG 105 (US NIMA open file report GIMGD-97-035), între

care și cea de la Observatorul Geomagnetic Surlari (acronim SUA în rețeaua INTERMAGNET). Astfel, în acest punct, ca și la Constanța, pot fi făcute direct comparații între sistemul american de gravitație și sistemul european.

Determinările efectuate în iarna 2011-2012 (vezi fig. 2.3.2.1) au vizat transmiterea de



valori absolute din punctul de gravitate fundamental de gravitate de la Observatorul geomagnetic Surlari (în care există determinări absolute de gravitate întreprinse în sistem american (epoca 1996), cât și european (UNIGRACE) corespunzător epocii 2000. S-a constatat însă că cele două standarde sunt perfect compatibile.

**Fig. 4.1.1.1 Canevasul legaturilor gravimetrice pentru transportul valorilor absolute de gravitate**

In urma activităților desfășurate am transmis valori absolute de gravitate atât pe pilastrul din laboratorul de gravitate, cât și în stația Buzău, din rețeaua gravimetrică Vrancea, prin intermediul căreia au putut fi transmise ulterior valori absolute de gravitate în întreaga rețea gravimetrică dedicată monitorizării dinamicii litosferei zonei Vrancea (fig. 4.1.1.1).

#### **4.1.2. Tentative de discriminare a semnalului gravimetric produs de cutremure**

Studiul influenței cutremurilor asupra câmpului gravitației (Hinderer and Crossley, 2000), inițiat și continuat în speranța identificării unui eventual semnal precursor, nu a putut furniza informația dorită întrucât nici în această etapă nu s-a înregistrat în Vrancea un cutremur cu energie suficientă de puternică pentru a putea produce un semnal gravimetric semnificativ.

In schimb, au fost înregistrate o serie de distorsiuni produse în câmpul gravitației de o serie de mari cutremure de pământ petrecute pe Glob la mari distanțe de România.

Fig. 4.1.2.1 prezintă unul dintre cele mai spectaculoase: Oaxaca, Mexic, 20.03.2012.

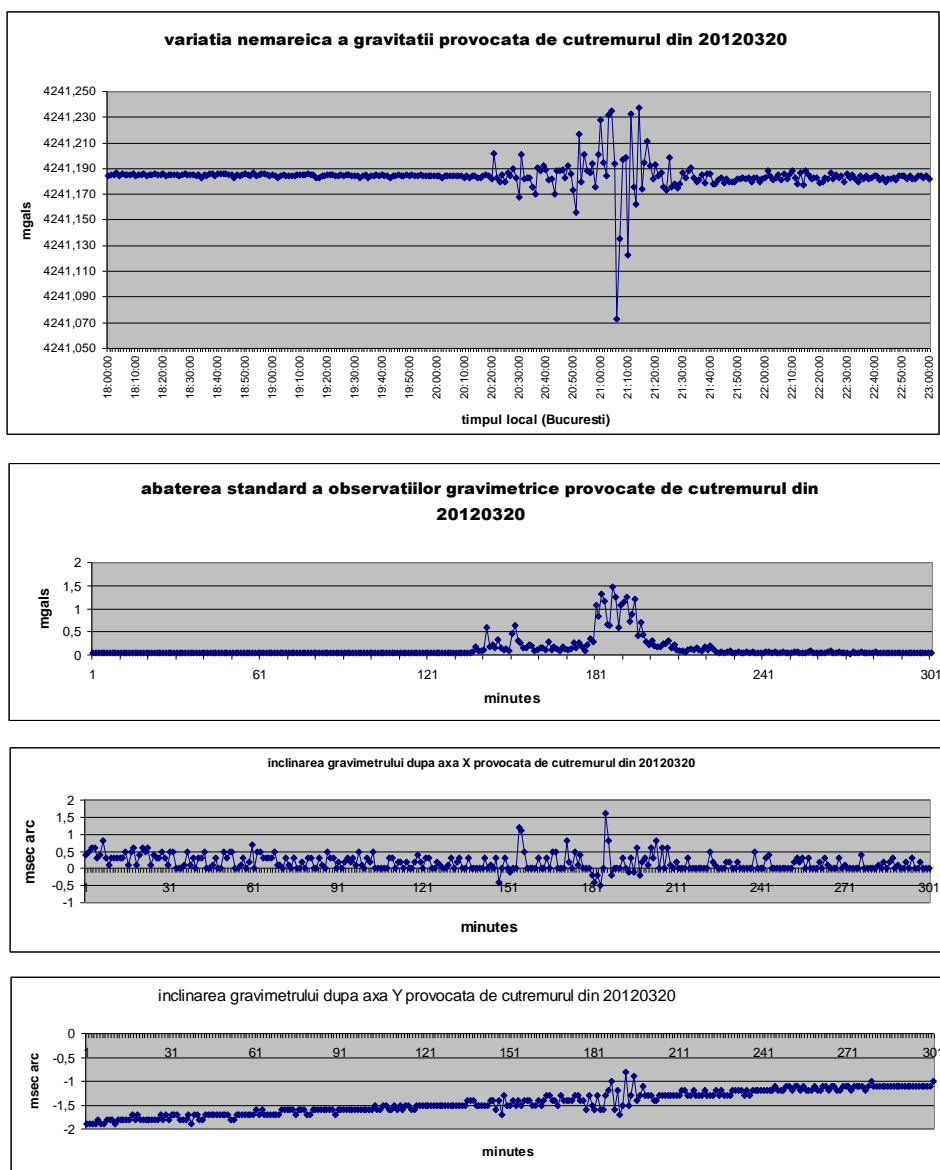


Fig. 4.1.2.1 Inregistrarea în laboratorul de gravitate al DDGT a distorsiunilor produse câmpului gravitației de cutremurul de la Oaxaca, Mexic

## 4.2. DATE GEODEZICE

Datele geodezice achiziționate și procesate în această perioadă se referă exclusiv la monitorizarea dinamicii faliei Peceneaga-Camena.

Condițiile meteorologice dificile, în care lipsa vizibilității (provocate de ceață sau ninsori), sau temperaturile extrem de scăzute, sub pragul metrologic, au făcut să existe numeroase întreruperi în înregistrările observatorului și o calitate uneori mai redusă a observațiilor. Fig. 4.2.1 prezintă un rezultat al procesării acestora: valoarea medie a ratei de alunecare pe falie în perioada studiată,

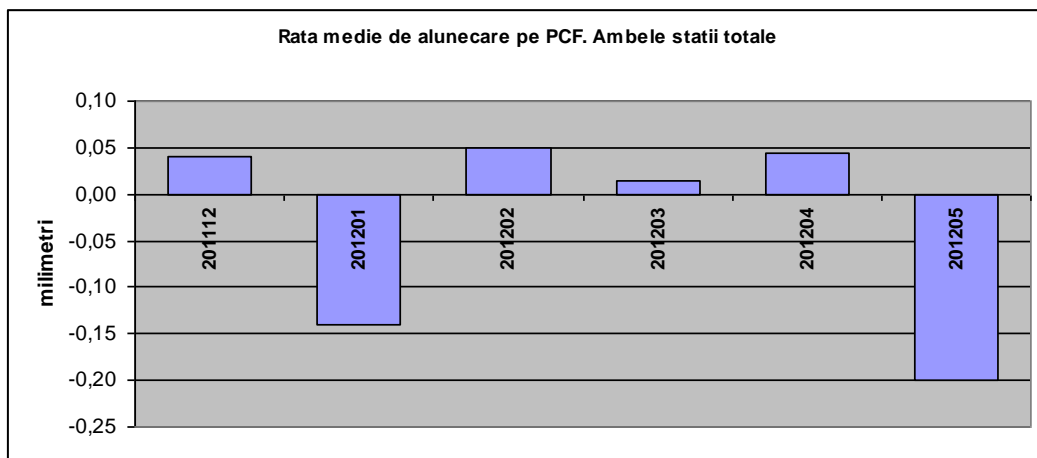


Fig. 4.2.1 Rata medie a alunecării pe falia Peceneaga-Camena în perioada decembrie 2011-iunie 2012

în timp ce în fig. 4.2.2 se limitează observațiile la determinări de noapte, aşa cum se recomanda în raportul din etapa precedentă.

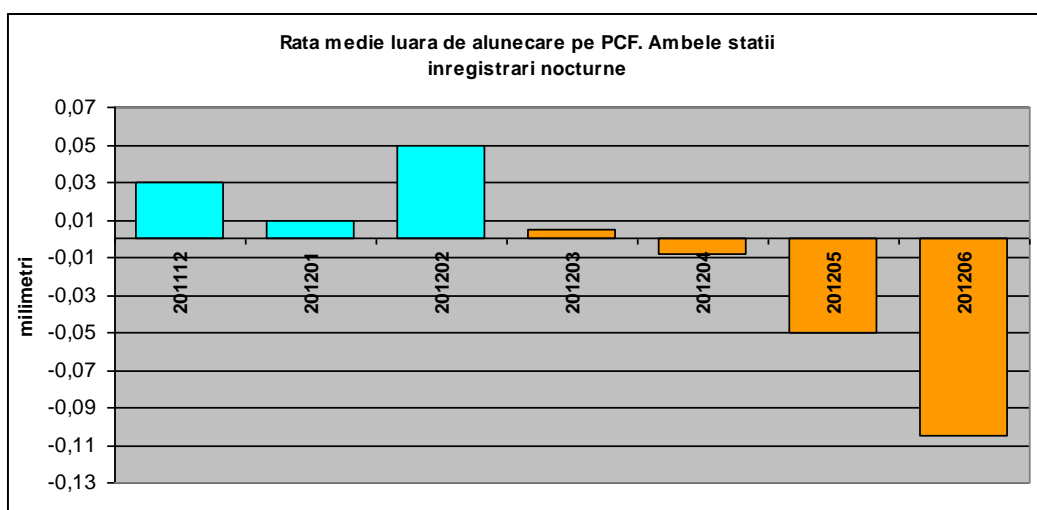


Fig. 4.2.1 Rata medie a alunecării pe falia Peceneaga-Camena în perioada decembrie 2011-iunie 2012

După cum se observă, datele nocturne prezintă o coerentă mult mai bună, relevând o trecere treptată a PCF de la comportament senestr la comportament dextru.

## **5. CONCLUZII**

Achizitia de date din etapa a treia a proiectului a adus un volum mult mai mic de informații în raport cu etapele precedente datorită în principal condițiilor meteorologice care au îngreunat sau chiar împiedicat desfșurarea de activități în aer liber.

Dintre rezultatele cele mai importante merită menționate următoarele:

a) achizitia de date gravimetrice

- a permis conturarea unui nou model al distribuției gradientului vertical în spațiul laboratorului subteran de gravitate, ca urmare a redistribuirii de mase din clădirea de deasupra sa prin instalarea și punerea în funcțiune a sistemului HPCC;
- a contribuit la transferul de valori absolute de gravitate în rețeaua gravimetrică dedicată pentru studii geodinamice în zona Vrancea, precum și pe pilastrul laboratorul de gravitate;
- a condus la relevarea amprentei gravimetrice ale unor mari cutremure de pe Glob, dar în absența unui eveniment seismic cu energie suficient de mare, nu a putut contura un semnal gravimetric aparținând cutremurelor din Vrancea;

b) achiziția de date geodezice

- a funcționat cu unele întreruperi dictate de condițiile meteorologice și metrologice din intervalul analizat;
- a permis monitorizarea dinamicii faliei Peceneaga-Camena, ca margine de placă din sistemul contactului litosferic triplu din zona Vrancea;
- dinamica monitorizată a relevat o trecere de la un regim senestrul în ultima parte a anului 2011 și primele luni ale lui 2012, la un regim dextru, cu o creștere progresivă a amplitudinii mișcării, în prima jumătate a anului 2012.

## BIBLIOGRAFIE

- Besutiu L., Rosca VL., Gulie, N., 1994. *On the reference gravity networks of Romania: Bur. Grav. Int., Bull. Inf. No. 73, 35-41, Toulouse*
- Besutiu, L., Nicolescu, A., Zorilescu, VL. (2001) Considerations on the gravity system of Romania: *Bur. Grav. Int., Bull. Inf. No. 89, 35-47, Toulouse*
- Besutiu L., Neaga V., Nicolescu A., Besutiu G., Ilies I. ,2001, Consideratii preliminare asupra integrarii retelelor gravimetrice ale României si Republicii Moldova. *St. cerc. geofizica, 39, 51-65*
- Besutiu, L., Zugrăvescu, D. (2004) Geophysical considerations on the Black Sea opening and its seismo-tectonic consequences. *Rev.Roum. Geophysique,48,p.3-13, Bucuresti*
- Besutiu, L. 2009, Geodynamic and seismotectonic setting of the SE Carpathians and their foreland. Integrated research on the intermediate depth earthquake genesis within Vrancea zone, In Besutiu, L. (Ed.), Vergiliu Publishing House pp.233-248, ISBN978-973-7600-59-2.
- Besutiu L., Zlăgnean L.,2009, Watching structural and geodynamic features of a plate boundary: Peceneaga-Camena Fault, *Geophysical Research Abstracts, Vol. 11, EGU2009-12023, 2009*
- Besutiu L., Zlăgnean L.,2010, Monitoring Dynamics of an active plate boundary: Peceneaga-Camena Fault, *Geophysical Research Abstracts Vol. 12, EGU2010-1514, 2010*
- Burša Milan, Reviewer Z. Šimon, 1986,A note on secular variation of gravity due to non-tidal geodynamic phenomena. *Studia Geophysica et Geodaetica, 30,1, 31-34*
- Ekman, Martin, 1989, Impacts of geodynamic phenomena on systems for height and gravity. *Bulletin Géodésique, 1989, Volume 63, Issue 3, pp 281-296*
- Grădinaru, E, 1980, Rocile sedimentare si vulcanitele acide si bazice ale Jurasicului superior (Oxfordian) din zona Camena (Dobrogea de Nord). *An . Univ. Buc., XXX, 80-110*
- Grădinaru, E., 1984, Jurassic rocks of north Dobrogea. A depositional–tectonic approach. *Rev. Roum. Géol., Géophys. Géogr. 28, 61– 72.*

- Hinderer J., Crossley D., 2000. Time Variations In Gravity And Inferences On The Earth's Structure And Dynamics. Surveys in Geophysics, Volume 21, Issue 1, pp 1-45
- Lio Sh., Gao R., et al. 2002, The Local Crustal Deformation around Xiangshan Absolute Station and Its Effect on the Gravimetric Result, Journal Of Geodesy and Geodynamics, 22(2), Wuhan
- Martin, M., F. Wenzel, and the CALIXTO Working Group (2006), High resolution teleseismic body wave tomography beneath SE Romania, II.Imaging of a slab detachment scenario: Geophys. J. Int., 164, 579- 595
- Mrlina Jan , 1997, Temporal Variations of Gravity in Western Bohemia: Period 1993 – 1996: Studia Geophysica et Geodaetica , October 1997, Volume 41, Issue 4, pp 307-318
- Rosca, VL., Besutiu, L. ,2000,*Romanian Annual Progress Report for the UNIGRACE Project: Reports on Geodesy*, No. 5 (51), 71-76, Warszawa
- Stus, Y. F., G. P. Arnaudov, E. N. Kalish, V. Y. Timofeev, 1995, Non Tidal Gravity Variations and Geodynamic Processes. Gravity and Geoid, International Association of Geodesy Symposia Volume 113, 1995, pp 484-490
- Varga, P., 1977, Investigation of gravimetric records at non-tidal frequencies. Studia Geophysica et Geodaetica . Volume 21, Issue 2, pp 195-199
- Xu JianQiao, JiangCun Zhou, ShaoCong Luo, HePing Sun , 2008, Study on characteristics of long-term gravity changes at Wuhan station. Chinese Science Bulletin , July 2008, Volume 53, Issue 13, pp 2033-2040
- \*\*\* US NIMA Geodesy and Geophysics Department, 1997. Absolute gravity campaign in Romania, Open file report, GIMGD-97-035